

PROCESE DE ARDERE

*Bogdan Horbaniuc
Gheorghe Dumitrașcu*

**Editura POLITEHNIUM
Iași, 2008**

PREFAȚĂ

Această lucrare cu caracter monografic este destinată celor care, în practica inginerescă, au de soluționat probleme care implică arderea substanțelor combustibile. Procesele de ardere sunt prezente în industriile energetică, metalurgică, petrochimică, a materialelor de construcții, alimentară și diverse industrii prelucrătoare. Practic, puține ramuri industriale nu fac apel la aceste procese. În transporturi, propulsia se realizează actualmente practic în exclusivitate pe baza arderii combustibililor fosili sau regenerabili. Putem deci afirma că nu există domeniu al vieții umane în care arderea să nu fie prezentă. Din această cauză, și ținând cont de efectele secundare produse (poluarea și încălzirea globală sunt cauzate de combustie), o bună cunoaștere și stăpânire a proceselor de ardere sunt necesare pentru a economisi combustibil și a reduce gradul de poluare.

Prezenta carte tratează procesele de ardere plecând de la baze (termodinamică, termochimie, cinetică chimică și combustibili) și abordează calculul arderii cu sau fără disociere pentru cele trei tipuri de combustibili (solizi, lichizi și gazoși). Se abordează deasemeni controlul arderii și se tratează pe larg problematica poluării produse prin ardere și metodele de reducere a acesteia.

O atenție specială se acordă arderii cu aer îmbogățit cu oxigen (oxi-combustia), care este o metodă eficientă utilizată în tehnicile de sechestrare a dioxidului de carbon.

În carte este prezentat pe larg cu titlu de exemplu algoritmul de calcul dezvoltat de autori pentru arderea cu disociere a unui combustibil gazos cu aer îmbogățit cu oxigen (mergând până la 100% O₂), iar programul de computer scris și rulat pe baza acestui algoritm este prezentat într-o anexă.

Autorii își exprimă speranța că prezenta carte va fi utilă celor care o vor consulta și că observațiile și propunerile de îmbunătățire a conținutului pentru o eventuală ediție viitoare vor da măsura interesului trezit în rândul specialiștilor în domeniu.

Iași, 2008

Autorii

Mențiune: Această carte a fost elaborată în cadrul grantului CEEX nr. 281/2006 intitulat „Noi tipuri de camere de ardere policarburante cu funcționare în regim pulsatoriu” – PULSOCAM.

CUPRINS

Procese de ardere	1
Prefață.....	3
Cuprins	5
1. Noțiuni de termodinamică	9
1.1. Generalități	10
1.2. Mărimi energetice.....	11
1.2.1. Energia internă.....	12
1.2.2. Entalpia	12
1.2.3. Căldura	13
1.3. Principiul I al termodinamicii.....	13
1.4. Principiul II al termodinamicii	14
1.5. Gazul perfect	15
1.5.1. Ecuația termică de stare a gazelor perfecte.....	15
1.5.2. Călduri specifice ale gazelor perfecte.....	16
1.5.3. Amestecuri de gaze perfecte.....	18
1.6. Potențiale termodinamice	21
1.7. Potențialul chimic	23
2. Noțiuni de termochimie	31
2.1. Entalpia de formare	32
2.1.1. Mărimi molare parțiale	32
2.1.2. Entalpia de formare	33
2.2. Entalpia (Căldura) de reacție. Legea lui Hess	37
3. Combustibili	41
3.1. Generalități	42
3.1.1. Puterea calorică a unui combustibil.....	42
3.1.2. Clasificarea combustibililor.....	45
3.1.3. Compoziția combustibililor	46
3.2. Combustibili solizi. Cărbunii.....	47
3.2.1. Clasificarea cărbunilor.....	47
3.2.2. Compoziția cărbunilor	48
3.3. Combustibili lichizi	52
3.4. Combustibili gazoși	53
4. Calculul arderii	57
4.1. Introducere.....	58

4.2. Calculul arderii pentru combustibilii solizi și lichizi.....	60
4.2.1. Arderea carbonului	60
a. arderea completă a carbonului	60
b. arderea incompletă a carbonului	63
4.2.2. Arderea hidrogenului	64
4.2.3. Arderea sulfurului	65
4.2.4. Calculul oxigenului minim necesar	67
4.2.5. Calculul aerului uscat minim necesar	67
4.2.6. Calculul aerului minim necesar	68
4.2.7. Calculul aerului necesar.....	69
4.2.8. Calculul produșilor de ardere	70
4.2.8.1. Gazele de ardere triatomice	70
4.2.8.2. Azotul teoretic din gazele de ardere	71
4.2.8.3. Volumul și masa teoretice de vapori de apă din gazele de ardere	71
4.2.8.4. Volumul și masa teoretice de gaze de ardere uscate.....	72
4.2.8.5. Volumul și masa teoretice ale gazelor de ardere	73
4.2.8.6. Volumul și masa reale ale gazelor de ardere uscate	74
4.2.8.7. Volumul și masa reale ale gazelor de ardere	75
4.3. Calculul arderii pentru combustibilii gazoși.....	76
4.3.1. Arderea monoxidului de carbon	76
4.3.2. Arderea hidrogenului	77
4.3.3. Arderea hidrogenului sulfurat.....	78
4.3.4. Arderea metanului	78
4.3.5. Arderea hidrocarburilor superioare	79
4.3.6. Oxigenul minim necesar	80
4.3.7. Aerul uscat minim necesar	81
4.3.8. Aerul umed minim necesar	81
4.3.9. Calculul produșilor de ardere	81
4.3.9.1. Volumul teoretic de gaze de ardere triatomice	81
4.3.9.2. Volumul teoretic de azot din gazele de ardere.....	81
4.3.9.3. Volumul teoretic de gaze de ardere uscate	82
4.3.9.4. Volumul teoretic de vapori de apă din gazele de ardere.....	82
4.3.9.5. Volumul teoretic al gazelor de ardere.....	82
4.3.9.6. Volumul real al gazelor de ardere uscate.....	83
4.3.9.7. Volumul real al gazelor de ardere.....	83
4.4. Raportul aer-combustibil	83
4.5. Raportul combustibil-aer	85
4.6. Arderea cu exces sau cu deficit de aer.....	87
5. Elemente de cinetică chimică	91
5.1. Introducere.....	92

5.2. Viteza reacției	93
5.3. Legea acțiunii maselor și viteza reacției chimice	95
6. Arderea cu disociere	105
6.1. Introducere	106
6.2. Temperatura adiabatică de ardere	106
6.3. Calculul gradului de disociere	108
6.4. Exemplu și algoritm de calcul al arderii cu disociere	111
6.4.1. Date inițiale	111
6.4.2. Ecuații de ardere	112
6.4.3. Oxigenul minim necesar	114
6.4.4. Volumul minim de aer uscat	114
6.4.5. Volumul minim de aer umed	114
6.4.6. Aerul necesar arderii	115
6.4.7. Bilanțul de substanță al focarului cazanului	115
6.4.8. Volumul de gaze de ardere rezultate	117
6.4.9. Temperatura adiabatică de ardere în absența disocierii	117
6.4.10. Calculul arderii cu disociere	120
6.4.10.1. Expresiile constantelor de reacție rezultate din legea acțiunii masei	124
6.4.10.2. Determinarea constantelor reacțiilor de disociere	131
6.4.10.3. Determinarea temperaturii adiabatică de ardere după disociere	135
6.4.10.4. Programele de computer pentru calculul arderii	139
6.4.10.4. Rezultate numerice	141
7. Controlul arderii	143
7.1. Introducere	144
7.2. Controlul analitic al procesului de ardere	147
7.2.1. Combustibili solizi și lichizi	147
7.2.1.1. Calculul volumului gazelor de ardere	147
7.2.1.2. Calculul volumului de aer consumat în procesul de ardere incompletă	156
7.2.1.3. Calculul coeficientului de exces de aer	157
7.2.2. Combustibili gazoși	160
7.2.2.1. Calculul volumului gazelor de ardere	160
7.2.2.2. Calculul volumului de aer consumat la arderea incompletă	162
7.2.2.2.3. Calculul coeficientului de exces de aer	162
7.3. Controlul arderii pe cale grafică. Triunghiul arderii	163
7.3.1. Bazele teoretice ale construcției diagramei Ostwald	163
7.3.2. Construcția diagramei Ostwald	169
7.4. Analizoare de gaze	172
7.4.1. Analizoare <i>in situ</i>	172

7.4.2. Analizoare pentru analiză periodică	173
8. Poluarea produsă prin ardere	177
8.1. Introducere	178
8.1.1. Efectele poluării atmosferice prin ardere	180
8.1.1.1. Încălzirea globală	180
8.1.1.2. Ploaia acidă	184
8.1.1.3. Efecte asupra stării de sănătate a oamenilor	184
8.1.1.4. Efecte asupra vegetației și faunei	184
8.1.2. Controlul poluării	185
8.2. Oxizii de azot	186
8.2.1. Mecanisme de formare	187
8.2.1.1. Monoxidul de azot (NO)	187
8.2.1.2. Dioxidul de azot (NO ₂)	190
8.2.1.3. Protoxidul de azot (N ₂ O)	190
8.2.2. Efecte asupra mediului	190
8.2.3. Reducerea și controlul emisiilor de oxizi de azot	191
8.2.3.1. Tratarea preliminară	193
8.2.3.2. Modificarea procesului	193
8.2.3.3. Modificarea arderii	195
8.2.3.4. Tratarea post-ardere a gazelor de ardere	197
8.3. Oxizii de sulf	200
8.3.1. Mecanisme de formare	200
8.3.2. Surse	201
8.3.3. Efecte	201
8.3.4. Reducerea și controlul emisiilor de oxizi de sulf	201
8.3.4.1. Tratarea preliminară	201
8.3.4.2. Modificarea procesului	201
8.3.4.3. Modificarea arderii	202
8.3.4.4. Tratarea post-ardere a gazelor de ardere	202
8.4. Monoxidul de carbon	203
8.4.1. Mecanism de formare	203
8.4.2. Efecte	204
8.4.3. Reducere	205
8.5. Funinginea	205
Bibliografie	209
Boil Combustion	213
Index	239

CAPITOLUL 1.

NOȚIUNI DE TERMODINAMICĂ

1.1. GENERALITĂȚI

Termodinamica este un capitol fundamental al fizicii clasice, care studiază forma termică a interacțiunilor energetice. *Sistemul termodinamic* este o porțiune a lumii materiale care este privită separat, fiind delimitată prin suprafețe ipotetice, numite *frontiere*, *granițe* sau *suprafețe de control*. Sistemul termodinamic este studiat prin prisma interacțiunilor sale energetice și sub formă de transfer de substanță (masă) în raport cu restul lumii înconjurătoare, numită *mediu exterior*. Sistemul termodinamic care poate schimba substanță cu exteriorul se numește *sistem deschis*, iar cel care nu poate schimba masă cu mediul exterior, se numește *sistem închis*.

Situația în care se află sistemul la un moment dat, se numește stare termodinamică. Aceasta poate fi cunoscută prin măsurarea unor mărimi fizice caracteristice, numite *proprietăți* sau *parametri de stare*. Parametrii de stare uzuali sunt *temperatura*, *presiunea* și *volumul*. Parametrii de stare pot fi *extensivi* (depind de cantitatea de substanță – ex.: volumul) sau *intensivi* (nu depind de cantitatea de substanță – ex.: temperatura). Prin convenție, parametrii de stare extensivi se notează cu majusculă, iar cei intensivi cu minusculă. Parametrii extensivi raportați la masă se numesc *specifci* sau *masici* și se notează cu minusculă. De exemplu, volumul raportat la masă, se numește *volum specific* sau *volum masic* (v):

$$v = \frac{V}{m} \left[\frac{\text{m}^3}{\text{kg}} \right] \quad (1.1)$$

Cantitatea de substanță se poate exprima fie prin intermediul masei (m), fie în *kilomoli* (masă molară - M). Kilomolul este cantitatea de substanță care, exprimată în kg, este numeric egală cu masa moleculară a substanței și deci se măsoară în kg / kmol. Vom nota mărimile molare cu majuscule rotunde. Legătura dintre o mărime molară (raportată la masa molară M) și una masică (raportată la masa m) este exemplificată de relația:

$$\mathcal{V} = Mv \left[\frac{\text{m}^3}{\text{kmol}} \right] \quad (1.2)$$

unde \mathcal{V} este volumul molar.

Un sistem este în echilibru atunci când există egalitatea dintre mărimile de stare ale sistemului și cele ale mediului exterior. Echilibrul include mai multe aspecte (condiții):

- echilibrul *termic*, atunci când există egalitatea temperaturilor;
- echilibrul *mecanic*, atunci când presiunile sunt egale;
- echilibrul *chimic*, atunci când există egalitatea potențialelor chimice.

Echilibrul se instalează atunci când sunt satisfăcute **simultan** toate condițiile de echilibru.

Temperatura este un parametru intensiv de stare care reflectă intensitatea agitației termice. Se utilizează două scări de temperatură: scara empirică Celsius, definită pe punctele de topire a gheții și de fierbere a apei la presiune atmosferică normală (101325 Pa), respectiv scara absolută (Kelvin), definită pe considerații termodinamice. Cele două scări au aceeași unitate ($1^\circ\text{C} = 1\text{K}$), diferind doar prin origine. Relațiile dintre temperaturile exprimate în cele două scări sunt:

$$t = T - 273,15 \quad [^\circ\text{C}] \quad (1.3)$$

$$T = t + 273,15 \quad [\text{K}] \quad (1.4)$$

1.2. MĂRIMI ENERGETICE

Energia este un concept fundamental, prin care se înțelege capacitatea unui sistem de a produce un efect. Energia îmbracă o multitudine de forme (mecanică, termică, chimică, electromagnetică etc.), trecând dintr-o formă în alta și de la un sistem la altul, întotdeauna în cantități echivalente. Obiectul de studiu al termodinamicii îl constituie formele termice de energie și conversia reciprocă în alte forme. Formele de acumulare a energiei termice sunt *energia internă* și *entalpia*, iar forma de transfer o constituie *căldura*. Formele de acumulare caracterizează starea sistemului, motiv pentru care se numesc și *funcții de stare*, iar forma de transfer se manifestă doar în timpul trecerii sistemului dintr-o stare în alta (proces termodinamic), motiv pentru care căldura se numește *mărime de proces*.

Energia nu este o cantitate **absolută**, deoarece unei stări oarecare îi putem asocia o valoare arbitrară a energiei, stabilită prin convenție; de obicei determinăm variații de energie.

1.2.1. Energia internă

Energia internă (notată U) este o mărime extensivă de stare care reprezintă suma energiilor particulelor care alcătuiesc un corp și caracterizează la nivel microscopic energia termică a corpului într-o stare dată. Este de fapt în principal energia de agitație termică a particulelor componente.

1.2.2. Entalpia

Ca și energia internă, entalpia (notată H) este o funcție de stare extensivă, dar care nu are suport fizic decât în cazul proceselor izobare, în care variația sa măsoară căldura schimbată. Entalpia se definește matematic prin expresia:

$$H = U + pV \quad [\text{J}] \quad (1.5)$$

Într-un proces elementar¹, diferențiala entalpiei se calculează astfel:

$$dH = d(U + pV) = dU + d(pV) = dU + p dV + V dp \quad (1.6)$$

Într-un proces finit între stările 1 și 2, variația de entalpie se calculează cu relația:

$$\Delta H = \int_1^2 dH = H_2 - H_1 = \Delta U + \Delta(pV) = U_2 - U_1 + p_2 V_2 - p_1 V_1 \quad (1.7)$$

Entalpia este importantă în termochimie, deoarece reacțiile chimice studiate

¹ Un proces elementar este un proces între două stări infinit apropiate, astfel încât variațiile parametrilor de stare au caracter diferențial, fiind infinitezimale.

se petrec la presiune constantă, or entalpia – așa cum s-a văzut – măsoară efectul termic la presiune constantă.

1.2.3. Căldura

Căldura este o mărime de proces care intervine atunci când sistemul schimbă cu mediul exterior energie sub formă termică. Într-un proces elementar, căldura schimbată se scrie:

$$\delta Q = mcdT \quad [J] \quad (1.8)$$

unde: m – masa [kg];
 c – căldura specifică [J/kgK];
 T – temperatura absolută [K].

Observație

În ecuația (1.8), simbolul δ denotă o cantitate elementară și nu o diferențială, datorită caracterului specific al mărimilor de proces, a căror valoare depinde de drum. Diferențiala se utilizează numai în cazul mărimilor de stare.

Pentru un proces finit între stările 1 și 2, căldura schimbată se calculează prin integrare:

$$Q_{12} = \int_1^2 dQ = \int_1^2 mcdT \quad (1.9)$$

Prin convenție, căldura primită de sistem este pozitivă ($Q > 0$), iar cea cedată de sistem mediului exterior, este negativă ($Q < 0$).

1.3. PRINCIPIUL I AL TERMODINAMICII

Principiul I afirmă că energia nu poate fi creată și este indestructibilă, ea trecând dintr-o formă în alta în cantități echivalente.

În formă diferențială, expresia Principiului I este:

$$\delta Q = dU + pdV = dH - Vdp \quad (1.10)$$

În formă finită, scriem:

$$Q_{12} - L_{12} = U_2 - U_1 \quad (1.11)$$

unde L_{12} reprezintă lucrul mecanic de variație a volumului.

1.4. PRINCIPIUL II AL TERMODINAMICII

Dacă Principiul I afirmă că energia se conservă, Principiul II statuează că transformarea integrală în mod ciclic (continuu) a unei cantități de căldură în lucru mecanic este imposibilă, deoarece o parte din această căldură trebuie cedată unui alt sistem decât cel în care are loc conversia în lucru mecanic. În mod similar, extragerea în mod continuu a unei cantități de căldură de la un corp mai rece și transferul acesteia către unul mai cald, nu se poate realiza decât cu consum de energie din exterior. Principiul II introduce o nouă mărime de stare, de extremă importanță, și anume *entropia* (S):

$$dS = \frac{\delta Q}{T} \left[\frac{\text{J}}{\text{K}} \right] \quad (1.12)$$

Relația de mai sus reprezintă expresia matematică a Principiului II pentru procese reversibile² (ideale). Pentru cazul proceselor ireversibile³ (reale), scriem:

$$dS = \frac{\delta Q}{T} + \delta S_{\text{gen}} \quad (1.13)$$

² Un proces se numește *reversibil* dacă se desfășoară cu viteză infinit mică, astfel încât procesul invers trece prin **exact** aceleași stări ca și cel direct, ceea ce este echivalent cu a afirma că revenirea sistemului în starea de plecare prin procesul invers nu necesită introducerea unor schimbări permanente în mediul exterior.

³ Un proces este *ireversibil* fie dacă se desfășoară cu viteză finită, fie dacă viteza este infinit mică, dar revenirea în starea inițială prin procesul invers se face prin stări intermediare **diferite**, deci atingerea stării de plecare nu este posibilă decât prin introducerea unor modificări permanente în mediul exterior.

unde δS_{gen} reprezintă generarea de entropie datorită ireversibilităților.

Observație

Deși aparent contradictorie, notația pentru generarea de entropie este corectă deoarece mărimea acesteia depinde de proces, deci aici entropia îmbracă forma unei mărimi de proces.

Pentru un proces finit între stările 1 și 2, variația de entropie se calculează prin integrare:

- pentru procese reversibile:

$$S_2 - S_1 = \int_1^2 \frac{\delta Q}{T} \quad (1.14)$$

- pentru procese ireversibile:

$$S_2 - S_1 = \int_1^2 \frac{\delta Q}{T} + S_{\text{gen}} \quad (1.15)$$

Rezultă de aici extrema importanță și semnificație a entropiei, și anume aceea de a constitui o măsură a gradului de ireversibilitate a proceselor termodinamice.

1.5. GAZUL PERFECT

1.5.1. Ecuația termică de stare a gazelor perfecte

Gazul perfect este un model simplificat al gazelor reale, bazat pe ipoteza că moleculele sale, punctiforme, interacționează doar prin ciocniri perfect elastice, între ele neexercitându-se forțe de atracție sau respingere.

Ecuația termică de stare a gazului perfect se poate scrie în două moduri, funcție de exprimarea cantității de substanță:

- a) în kg:

- pentru 1 kg:

$$pv = RT \quad (1.16)$$

unde R reprezintă constanta caracteristică a gazului considerat, exprimată în [J/kgK]

– pentru m kg:

$$pV = mRT \quad (1.17)$$

b) în kmoli:

– pentru 1 kmol:

$$p\mathcal{V} = \mathcal{R}T \quad (1.18)$$

unde \mathcal{V} reprezintă volumul molar, iar \mathcal{R} este constanta universală a gazelor perfecte ($\mathcal{R} = 8314$ J/kmolK)

– pentru n kmoli ($n = m/M$):

$$pV = n\mathcal{R}T \quad (1.19)$$

Între constantele caracteristică și universală există relația evidentă:

$$\mathcal{R} = MR \quad (1.20)$$

1.5.2. Călduri specifice ale gazelor perfecte

Căldura specifică a unui gaz se poate exprima în trei moduri:

1. Căldură specifică masică (c), raportată la kilogramul de gaz [J/kgK]:

$$\delta Q = mcdT \quad (1.21)$$

2. Căldură specifică molară (\mathcal{C}), raportată la kilomolul de gaz [J/kmolK]:

$$\delta Q = n\mathcal{C}dT \quad (1.22)$$

3. Căldură specifică volumică (c'), raportată la metrul cub normal de gaz [J/m³_NK]:

$$\delta Q = V_0c'dT \quad (1.23)$$

unde V_0 reprezintă volumul de gaz în condiții normale fizice ($p_0 = 101325 \text{ Pa}$, $T_0 = 273,15 \text{ K}$).

Între cele trei tipuri de călduri specifice există relațiile:

$$\begin{aligned} \mathcal{E} &= Mc \\ c' &= \rho_0 c \\ \mathcal{E} &= \mathcal{V}_0 c' \end{aligned} \quad (1.24)$$

unde ρ_0 [kg/m^3_{N}] este densitatea gazului în stare normală fizică iar $\mathcal{V}_0 = 22,414 \text{ m}^3_{\text{N}}/\text{kmol}$ este volumul molar în stare normală fizică.

Scriind pentru un proces izocor Principiul I și definiția căldurii $\delta Q = dU = c_v dT$ ⁴, rezultă expresia pentru *căldura specifică izocoră* (la volum constant):

$$c_v = \left(\frac{\partial U}{\partial T} \right)_v \left[\frac{\text{J}}{\text{kgK}} \right] \quad (1.25)$$

În mod similar pentru un proces izobar $\delta Q = dH = c_p dT$, obținem expresia pentru *căldura specifică izobară* (la presiune constantă):

$$c_p = \left(\frac{\partial H}{\partial T} \right)_p \left[\frac{\text{J}}{\text{kgK}} \right] \quad (1.26)$$

Între cele două călduri specifice există *relația lui Mayer*:

$$\begin{aligned} c_p - c_v &= R \\ \mathcal{E}_p - \mathcal{E}_v &= \mathcal{R} \end{aligned} \quad (1.27)$$

Căldura specifică a unui gaz perfect nu este constantă, ci variază cu temperatura. De obicei, aproximarea variației căldurii specifice reale (determinate

⁴ Aici ținem cont de legea lui Joule, conform căreia energia internă a gazelor perfecte este funcție numai de temperatură. În consecință, și entalpia gazelor perfecte este tot funcție numai de temperatură.

experimental) se face printr-un polinom de forma:

$$c = aT + bT^2 + dT^3 + eT^4 + \dots \quad (1.28)$$

unde coeficienții polinomiali a, b, d, e, \dots , sunt determinați și tabelați pentru fiecare gaz în parte.

Raportul

$$k = \frac{c_p}{c_v} = \frac{\mathcal{E}_p}{\mathcal{E}_v} = \frac{c'_p}{c'_v} \quad (1.29)$$

se numește *exponent adiabatic* și este funcție de temperatură. Relația lui Mayer și ecuația (1.29) permit exprimarea căldurilor specifice astfel:

$$c_v = \frac{R}{k-1}; \quad c_p = \frac{k}{k-1} R \quad \left[\frac{\text{J}}{\text{kgK}} \right] \quad (1.30)$$

$$\mathcal{E}_v = \frac{\mathcal{R}}{k-1}; \quad \mathcal{E}_p = \frac{k}{k-1} \mathcal{R} \quad \left[\frac{\text{J}}{\text{kmolK}} \right] \quad (1.31)$$

$$c'_v = \frac{1}{k-1} \frac{\mathcal{R}}{\%_0} = \frac{370,9288}{k-1}; \quad c'_v = \frac{k}{k-1} \frac{\mathcal{R}}{\%_0} = 370,9288 \frac{k}{k-1} \quad \left[\frac{\text{J}}{\text{m}_N^3 \text{K}} \right] \quad (1.32)$$

1.5.3. Amestecuri de gaze perfecte

Amestecurile gazoase presupun existența în același volum a mai multor componente care nu reacționează chimic.

Compoziția unui amestec se exprimă:

a) **masic**:

$$g_i = \frac{m_i}{\sum_{i=1}^n m_i} = \frac{m_i}{m_a} \quad (1.33)$$

unde g_i este *fracția (participația) masică* a componentului i .

b) **volumic:**

$$r_i = \frac{V_i}{\sum_{i=1}^n V_i} = \frac{V_i}{V_a} \quad (1.34)$$

unde r_i este *fracția (participația) volumică* a componentului i , iar V_i reprezintă *volumul parțial*⁵ al componentului.

c) **molar:**

$$\mathcal{N}_i = \frac{n_i}{n_a} \quad (1.35)$$

unde \mathcal{N}_i reprezintă *fracția (participația) molară* a componentului i .

Se demonstrează că fracțiile molare sunt numeric egale cu cele volumice, motiv pentru care relațiile în care intervin cele două tipuri de compoziție sunt aceleași.

Relațiile pentru mărimile amestecului funcție de compoziție și mărimile respective ale componentilor sunt:

– masa molară a amestecului:

$$M_a = \sum_{i=1}^n r_i M_i = \frac{1}{\sum_{i=1}^n \frac{g_i}{M_i}} \left[\frac{\text{kg}}{\text{kmol}} \right] \quad (1.36)$$

⁵ Prin *volum parțial* înțelegem volumul pe care l-ar ocupa respectivul component dacă ar avea presiunea amestecului la temperatura acestuia.

- constanta caracteristică:

$$R_a = \sum_{i=1}^n g_i R_i = \frac{1}{\sum_{i=1}^n \frac{r_i}{R_i}} \left[\frac{\text{J}}{\text{kgK}} \right] \quad (1.37)$$

- căldura specifică masică:

$$c_{p_a} = \sum_{i=1}^n g_i c_{p_i} \left[\frac{\text{J}}{\text{kgK}} \right] \quad (1.38)$$

- căldura specifică molară:

$$\mathcal{E}_{p_a} = \sum_{i=1}^n r_i \mathcal{E}_{p_i} \left[\frac{\text{J}}{\text{kmolK}} \right] \quad (1.39)$$

- entalpia masică:

$$h_a = \sum_{i=1}^n g_i h_i \left[\frac{\text{J}}{\text{kg}} \right] \quad (1.40)$$

- entalpia molară:

$$\mathcal{H}_a = \sum_{i=1}^n r_i \mathcal{H}_i \left[\frac{\text{J}}{\text{kmolK}} \right] \quad (1.41)$$

Presiunea parțială⁶ a unui component se calculează cu relația:

$$p_i = r_i p_a \quad [\text{Pa}] \quad (1.42)$$

⁶ Prin *presiune parțială* se înțelege presiunea pe care ar avea-o respectivul component, dacă ar ocupa singur volumul amestecului, la temperatura acestuia.

unde p_a reprezintă presiunea amestecului.

1.6. POTENȚIALE TERMODINAMICE

Scriem ecuația Principiului II al termodinamicii pentru procese ireversibile: $dS = \frac{\delta Q}{T} + \delta S_{\text{gen}}$ și ținem cont că $\delta Q = dU + pdV = dH - Vdp$. Înlocuind, obținem:

$$dS = \frac{dU + pdV}{T} + \delta S_{\text{gen}} \quad (1.43)$$

$$dS = \frac{dH - Vdp}{T} + \delta S_{\text{gen}} \quad (1.44)$$

În ecuațiile (1.43) și (1.44) amplificăm cu T , rezultând:

$$TdS = dU + pdV + T\delta S_{\text{gen}} \quad (1.45)$$

$$TdS = dH - Vdp + T\delta S_{\text{gen}} \quad (1.46)$$

Ținem seama că $d(TS) = TdS + SdT$ și deci:

$$TdS = d(TS) - SdT \quad (1.47)$$

și înlocuim acest rezultat în ecuațiile (1.45) și (1.46). Obținem:

$$d(TS) - SdT = dU + pdV + T\delta S_{\text{gen}} \quad (1.48)$$

$$d(TS) - SdT = dH - Vdp + T\delta S_{\text{gen}} \quad (1.49)$$

Grupând convenabil, rezultă:

$$d(U - TS) = -pdV - SdT - T\delta S_{\text{gen}} \quad (1.50)$$

$$d(H - TS) = Vdp - SdT - T\delta S_{\text{gen}} \quad (1.51)$$

Ecuatiile (1.50) și (1.51) pun în evidență două noi funcții de stare, pe care le numim *potențiale termodinamice*:

a) *potențialul Helmholtz*, numit și *energie liberă*, sau *potențial izocor-izoterm*, definit prin relația:

$$F = U - TS \quad [\text{J}] \quad (1.52)$$

b) *potențialul Gibbs*, numit și *entalpie liberă*, sau *potențial izobar-izoterm*, dat de expresia:

$$G = H - TS \quad [\text{J}] \quad (1.53)$$

Ecuatiile (1.50) și (1.51) devin respectiv:

$$dF = -pdV - SdT - T\delta S_{\text{gen}} \quad (1.54)$$

$$dG = Vdp - SdT - T\delta S_{\text{gen}} \quad (1.55)$$

Interpretarea ecuației (1.54) este următoarea:

În cazul proceselor spontane care se desfășoară la $V = \text{constant}$ și la $T = \text{constant}$ în sistemele izolate, energia liberă nu poate crește:

- dacă procesul este reversibil, atunci $\delta S_{\text{gen}} = 0$ și deci $dF = 0$; prin urmare, $F = \text{constant} = F_{\text{min}}$;
- dacă procesul este unul ireversibil, atunci $dF = -T\delta S_{\text{gen}} < 0$ (generarea de entropie este întotdeauna pozitivă), deci potențialul Helmholtz scade.

În mod similar, ecuația (1.55) se poate interpreta în felul următor:

Într-un sistem izolat în care procesele spontane au loc la $p = \text{constant}$ și la $T = \text{constant}$, entalpia liberă nu poate să crească:

- dacă procesul este reversibil, atunci $dH = 0$ și deci $G = \text{constant} = G_{\min}$;
- dacă procesul este unul ireversibil, atunci $dG = -T\delta S_{\text{gen}} < 0$, deci potențialul Gibbs scade.

Potențialul Gibbs poate crește doar în cazul proceselor nespontane, adică procesele care pot avea loc numai cu intervenție din exterior.

Entalpia liberă este de maximă importanță în termodinamica chimică, deoarece marea majoritate a reacțiilor chimice au loc la presiune constantă. Inițial, s-a crezut că la compoziția chimică de echilibru a unei reacții chimice, mărimea care atinge o valoare minimă este entalpia. Ulterior însă, s-a înțeles că de fapt echilibrul chimic este atins atunci când entalpia liberă devine minimă, deoarece trebuie ținut cont de faptul că în timpul reacției are loc concomitent și o variație a entropiei sistemului. Efectul combinat al variațiilor entalpiei și entropiei la presiune și temperatură constante reprezintă cantitatea care atinge minimumul la echilibru și care a fost numită entalpie liberă.

1.7. POTENȚIALUL CHIMIC

Ținând cont de faptul că $U = U(S, V)$, diferențiem:

$$dU = \left(\frac{\partial U}{\partial S} \right)_V dS + \left(\frac{\partial U}{\partial V} \right)_S dV \quad (1.56)$$

Deasemeni, conform ecuației Principiului I combinată cu Principiul II pentru procese reversibile, putem scrie:

$$dU = TdS - pdV \quad (1.57)$$

Prin identificare, rezultă:

$$\left(\frac{\partial U}{\partial S} \right)_V = T; \quad \left(\frac{\partial U}{\partial V} \right)_S = -p \quad (1.58)$$

Diferențiem funcția $F = F(T, V)$:

$$dF = \left(\frac{\partial F}{\partial T} \right)_V dT + \left(\frac{\partial F}{\partial V} \right)_T dV \quad (1.59)$$

Ecuatia (1.54) în ipoteza $\delta S_{\text{gen}} = 0$ (proces reversibil) devine:

$$dF = -SdT - pdV \quad (1.60)$$

ceea ce ne permite ca prin identificare să scriem:

$$\left(\frac{\partial F}{\partial T}\right)_V = -S; \quad \left(\frac{\partial F}{\partial V}\right)_T = -p \quad (1.61)$$

Entalpia liberă G este o funcție de entropia S și presiunea p , deci:

$$dG = \left(\frac{\partial G}{\partial S}\right)_p dS + \left(\frac{\partial G}{\partial p}\right)_S dp \quad (1.62)$$

și cum:

$$dH = TdS + Vdp \quad (1.63)$$

rezultă:

$$\left(\frac{\partial H}{\partial S}\right)_p = T; \quad \left(\frac{\partial H}{\partial p}\right)_S = V \quad (1.64)$$

În mod similar cu cazul energiei libere, ținând cont că potențialul Gibbs este o funcție de temperatură și presiune, scriem diferențiala:

$$dG = \left(\frac{\partial G}{\partial T}\right)_p dT + \left(\frac{\partial G}{\partial p}\right)_T dp \quad (1.65)$$

și, menținând ipoteza unui proces reversibil, scriem ecuația (1.55) în forma:

$$dG = -SdT + Vdp \quad (1.66)$$

(am făcut $\delta S_{\text{gen}} = 0$), astfel încât să putem identifica coeficienții diferențialelor:

$$\left(\frac{\partial G}{\partial T}\right)_p = -S; \quad \left(\frac{\partial G}{\partial p}\right)_T = V \quad (1.67)$$

Aceste rezultate vor fi generalizate după introducerea potențialului chimic.

Până în prezent, am văzut că potențialele termodinamice F și G variază atunci când sistemul schimbă căldură sau lucru mecanic cu exteriorul presupunându-se implicit că nu are loc și un schimb de masă. În cazul reacțiilor chimice însă, chiar dacă masa sistemului rămâne neschimbată (suma mase reactanți = suma mase produși), la nivelul speciilor de molecule care intervin în reacție au loc modificări, în sensul variației masei ca urmare a transformării (totale sau parțiale) a unei specii în altele. Prin urmare, la nivelul speciilor, are loc un schimb de masă, care-și pune amprenta asupra valorilor funcțiilor de stare și ale potențialelor termodinamice.

Fie specia i , care în starea inițială conține n_i kmoli de substanță. Dacă dn_i reprezintă modificarea numărului de kilomoli din specia i (celelalte specii j nefiind afectate, iar temperatura și volumul rămân constante), atunci energia liberă F se

modifică cu cantitatea $\left(\frac{\partial F}{\partial n_i}\right)_{T,V,n_j} \cdot dn_i$. Atunci:

$$dF = \left(\frac{\partial F}{\partial T}\right)_{V,n_i} dT + \left(\frac{\partial F}{\partial V}\right)_{T,n_i} dV + \left(\frac{\partial F}{\partial n_i}\right)_{T,V,n_j} dn_i \quad (1.68)$$

În mod identic, entalpia liberă G se modifică cu cantitatea $\left(\frac{\partial G}{\partial n_i}\right)_{T,p,n_j} \cdot dn_i$, unde s-a presupus că temperatura, presiunea și numărul de

kmoli din celelalte specii rămân constante. Prin urmare:

$$dG = \left(\frac{\partial G}{\partial T}\right)_{p,n_i} dT + \left(\frac{\partial G}{\partial p}\right)_{T,n_i} dp + \left(\frac{\partial G}{\partial n_i}\right)_{T,p,n_j} dn_i \quad (1.69)$$

În mod similar, scriem diferențialele energiei interne și entalpiei:

$$dU = \left(\frac{\partial U}{\partial S} \right)_{V, n_i} dS + \left(\frac{\partial U}{\partial V} \right)_{S, n_i} dV + \left(\frac{\partial U}{\partial n_i} \right)_{S, V, n_j} dn_i \quad (1.70)$$

$$dH = \left(\frac{\partial H}{\partial S} \right)_{p, n_i} dS + \left(\frac{\partial H}{\partial p} \right)_{S, n_i} dp + \left(\frac{\partial H}{\partial n_i} \right)_{S, p, n_j} dn_i \quad (1.71)$$

Din ecuațiile (1.68) ... (1.71) rezultă că:

$$\left(\frac{\partial U}{\partial n_i} \right)_{S, V, n_j} = \left(\frac{\partial H}{\partial n_i} \right)_{S, p, n_j} = \left(\frac{\partial F}{\partial n_i} \right)_{T, V, n_j} = \left(\frac{\partial G}{\partial n_i} \right)_{T, p, n_j} = \mu_i \quad (1.72)$$

unde μ_i reprezintă *potențialul chimic al speciei i*, măsurat în J/kmol.

În consecință, ținând cont și de modificările de masă ale speciilor chimice implicate, relațiile (1.57), (1.63), (1.60), respectiv (1.66) devin:

$$dU = TdS - pdV + \sum \mu_i dn_i \quad (1.73)$$

$$dH = TdS + Vdp + \sum \mu_i dn_i \quad (1.74)$$

$$dF = -SdT - pdV + \sum \mu_i dn_i \quad (1.75)$$

$$dG = -SdT + Vdp + \sum \mu_i dn_i \quad (1.76)$$

Prin identificare, vor rezulta și următoarele semnificații ale temperaturii, presiunii, volumului și potențialelor chimice ca derivate parțiale:

$$\left(\frac{\partial U}{\partial S} \right)_{V, n_i} = T; \quad \left(\frac{\partial U}{\partial V} \right)_{S, n_i} = -p; \quad \left(\frac{\partial U}{\partial n_i} \right)_{V, S, n_j} = \mu_i \quad (1.77)$$

$$\left(\frac{\partial H}{\partial S}\right)_{p,n_i} = T; \quad \left(\frac{\partial H}{\partial p}\right)_{S,n_i} = V; \quad \left(\frac{\partial H}{\partial n_i}\right)_{p,S,n_j} = \mu_i \quad (1.78)$$

$$\left(\frac{\partial F}{\partial T}\right)_{V,n_i} = -S; \quad \left(\frac{\partial F}{\partial V}\right)_{T,n_i} = -p; \quad \left(\frac{\partial F}{\partial n_i}\right)_{V,T,n_j} = \mu_i \quad (1.79)$$

$$\left(\frac{\partial G}{\partial T}\right)_{p,n_i} = -S; \quad \left(\frac{\partial G}{\partial p}\right)_{T,n_i} = V; \quad \left(\frac{\partial G}{\partial n_i}\right)_{p,T,n_j} = \mu_i \quad (1.80)$$

Deoarece U , H , F și G sunt funcții de stare, atunci ele admit diferențială totală exactă și deci derivatele parțiale mixte de ordinul II ale acestor funcții sunt egale. În consecință, ținând cont de această proprietate, rezultă următoarele relații, numite *relațiile lui Maxwell*:

$$\left(\frac{\partial T}{\partial V}\right)_{S,n_i} = -\left(\frac{\partial p}{\partial S}\right)_{V,n_i} \quad (1.81)$$

$$\left(\frac{\partial T}{\partial n_i}\right)_{S,V,n_j} = \left(\frac{\partial \mu_i}{\partial S}\right)_{V,n_i} \quad (1.82)$$

$$\left(\frac{\partial p}{\partial n_i}\right)_{S,V,n_j} = -\left(\frac{\partial \mu_i}{\partial V}\right)_{S,n_i} \quad (1.83)$$

$$\left(\frac{\partial T}{\partial p}\right)_{S,n_i} = \left(\frac{\partial V}{\partial S}\right)_{p,n_i} \quad (1.84)$$

$$\left(\frac{\partial T}{\partial n_i}\right)_{S,p,n_j} = \left(\frac{\partial \mu_i}{\partial S}\right)_{p,n_i} \quad (1.85)$$

$$\left(\frac{\partial V}{\partial n_i}\right)_{S,p,n_j} = \left(\frac{\partial \mu_i}{\partial p}\right)_{S,n_i} \quad (1.86)$$

$$\left(\frac{\partial S}{\partial V}\right)_{T,n_i} = \left(\frac{\partial p}{\partial T}\right)_{V,n_i} \quad (1.87)$$

$$\left(\frac{\partial S}{\partial n_i}\right)_{T,V,n_j} = -\left(\frac{\partial \mu_i}{\partial T}\right)_{V,n_i} \quad (1.88)$$

$$\left(\frac{\partial p}{\partial n_i}\right)_{T,V,n_j} = -\left(\frac{\partial \mu_i}{\partial V}\right)_{T,n_i} \quad (1.89)$$

$$\left(\frac{\partial S}{\partial p}\right)_{T,n_i} = -\left(\frac{\partial V}{\partial T}\right)_{p,n_i} \quad (1.90)$$

$$\left(\frac{\partial S}{\partial n_i}\right)_{T,p,n_j} = -\left(\frac{\partial \mu_i}{\partial T}\right)_{p,n_i} \quad (1.91)$$

$$\left(\frac{\partial V}{\partial n_i}\right)_{T,p,n_j} = \left(\frac{\partial \mu_i}{\partial p}\right)_{T,n_i} \quad (1.92)$$

Semnificația potențialului chimic poate fi pusă în evidență în felul următor:

Presupunem că are loc o modificare a numerelor de moli ale diverselor specii implicate în reacție astfel: numărul n_1 al speciei 1 se modifică cu cantitatea dn_1 ; numărul n_2 al speciei 2 se modifică cu cantitatea dn_2 ; numărul n_3 al speciei 3 se modifică cu cantitatea dn_3 ș.a.m.d.

- dacă presupunem că procesul are loc într-un volum de control fix ($dV = 0$) izolat adiabatic ($dS = 0$), atunci, conform ecuației (1.73), avem:

$$dU = \left(\sum \mu_i dn_i\right)_{V,S} \quad (1.93)$$

Deci, putem scrie:

$$U = \left(\sum \mu_i n_i\right)_{V,S} \quad (1.94)$$

- dacă facem ipoteza că volumul este variabil astfel încât presiunea să rămână constantă ($dp = 0$), păstrând condiția de adiabaticitate ($dS = 0$), ecuația (1.74) devine:

$$dH = \left(\sum \mu_i dn_i\right)_{p,S} \quad (1.95)$$

și astfel:

$$H = \left(\sum \mu_i n_i\right)_{p,S} \quad (1.96)$$

- considerând un proces care decurge la volum și temperatură constante ($dV = 0$, $dT = 0$), atunci ecuația (1.75) se poate scrie:

$$dF = \left(\sum \mu_i dn_i\right)_{V,T} \quad (1.97)$$

și în consecință:

$$F = \left(\sum \mu_i n_i \right)_{V,T} \quad (1.98)$$

- în fine, dacă imaginăm un proces izobar și izoterm (($dp = 0$, $dT = 0$), atunci ecuația (1.76) devine:

$$dG = \left(\sum \mu_i dn_i \right)_{p,T} \quad (1.99)$$

și astfel rezultă:

$$G = \left(\sum \mu_i n_i \right)_{p,T} \quad (1.100)$$

Ultimele două ecuații sunt de maximă importanță pentru termodinamica chimică, deoarece – așa cum am mai afirmat – marea majoritate a reacțiilor chimice au loc la presiune constantă. Ecuația (1.100) semnifică faptul că, la presiune și temperatură constante, potențialul Gibbs reprezintă suma potențialelor chimice ale componentilor (speciilor) sistemului. Pe de altă parte, entalpia liberă este o mărime aditivă și deci

$$G = \left(\sum \mu_i n_i \right)_{p,T} = \left(\sum G_i \right)_{p,T} \quad (1.101)$$

Acest din urmă rezultat conduce la concluzia că potențialul chimic al unui component reprezintă raportul dintre entalpia sa liberă și numărul de kilomoli:

$$\mu_i = \frac{G_i}{n_i} \quad (1.102)$$

Presupunând că sistemul este la echilibru chimic și că în această stare au loc – la presiune și temperatură constante – modificări infimezimale dn_i ale compoziției chimice a sistemului, atunci, conform ecuației (1.99), modificarea dG a potențialului Gibbs este zero, ceea ce înseamnă că la echilibru, funcția G atinge valoarea minimă.

CAPITOLUL 2.

NOȚIUNI DE TERMOCHIMIE

2.1. ENTALPIA DE FORMARE

Termochimia se ocupă în principal de aplicarea conservării energiei (Principiul I) pentru cazul reacțiilor chimice. Obiectivul urmărit este acela de a determina efectul termic al reacției, cu alte cuvinte, cantitatea de căldură degajată ca urmare a reacției (la reacțiile exoterme), sau cantitatea de căldură necesară a fi introdusă în sistem, pentru ca reacția să poată avea loc (în cazul reacțiilor endoterme).

2.1.1. Mărimi molare parțiale

Fie o mărime extensivă X . Cantitatea:

$$\bar{x}_i = \left(\frac{\partial X}{\partial n_i} \right)_{T,p,n_j} \quad (2.1)$$

se numește *mărime molară parțială*.

Observație.

În relația de mai sus, nu am mai respectat convenția din Cap.1 conform căreia mărimile molare se notează cu litere rotunde (entalpia molară parțială face parte din această categorie). Motivele pentru care am renunțat la această convenție sunt două:

- calculele chimice folosesc doar mărimi molare;
- în termodinamică, era necesară distincția dintre diversele tipuri de mărimi, dar acum această distincție nu mai este necesară.

Ca urmare, în cele ce urmează vom utiliza doar notația consacrată, așa cum apare în ecuația (2.1).

Atunci, entalpia molară parțială corespunzătoare speciei i al unui sistem se scrie:

$$\bar{h}_i = \left(\frac{\partial H}{\partial n_i} \right)_{T,p,n_j} \quad \left[\frac{\text{J}}{\text{kmol}} \right] \quad (2.2)$$

Deci, entalpia totală a sistemului se poate exprima funcție de entalpiile molare parțiale ale speciilor care compun sistemul, astfel:

$$H = \sum n_i \bar{h}_i \quad (2.3)$$

2.1.2. Entalpia de formare

Scriem căldura schimbată într-un proces izobar:

$$Q = \Delta H = H_P - H_R \quad (2.4)$$

În ecuația (2.4), indicii P , respectiv R desemnează produșii de reacție, respectiv reactanții.

Conform ecuației (2.3), putem atunci scrie:

$$Q = \Delta H = H_P - H_R = \sum (n_i \bar{h}_i)_P - \sum (n_i \bar{h}_i)_R \quad (2.5)$$

Dacă reacția este stoechiometrică, atunci $n_i = v_i$ și deci:

$$Q = \sum (v_i \bar{h}_i)_P - \sum (v_i \bar{h}_i)_R \quad (2.6)$$

Stabilim prin convenție o *stare standard*. Uzual, aceasta este definită de parametrii: $p_0 = 0,1 \text{ MPa}$ (1 bar) și $T_0 = 298,15 \text{ K}$ (+25°C).

Tot în mod convențional, stabilim că **entalpiile tuturor elementelor chimice stabile sunt nule la starea standard**.

În aceste condiții, la starea standard, entalpia molară a unui compus poartă numele de **entalpie de formare**.

Definiție

Entalpia de formare a unui compus este variația de entalpie care are loc atunci când compusul respectiv rezultă stoechiometric din elemente stabile, la temperatură și presiune constante.

Un exemplu simplu va aduce clarificările necesare.

Fie reacția de formare a dioxidului de carbon din carbon (grafit) și oxigen:



Presupunem că reactanții sunt în proporții stoechiometrice iar reacția are loc într-o incintă (celulă de combustie) la presiune constantă și este completă (vezi

Fig.3.1). Am notat prin v coeficienții stoichiometrici ai reacției. Semnul minus din fața căldurii de reacție Q_r este în concordanță cu convenția de semn pentru sensul căldurii: reacția este una exotermă, deci se degajă căldură care părăsește celula de combustie astfel încât produșii de reacție să aibă la ieșire parametrii standard.

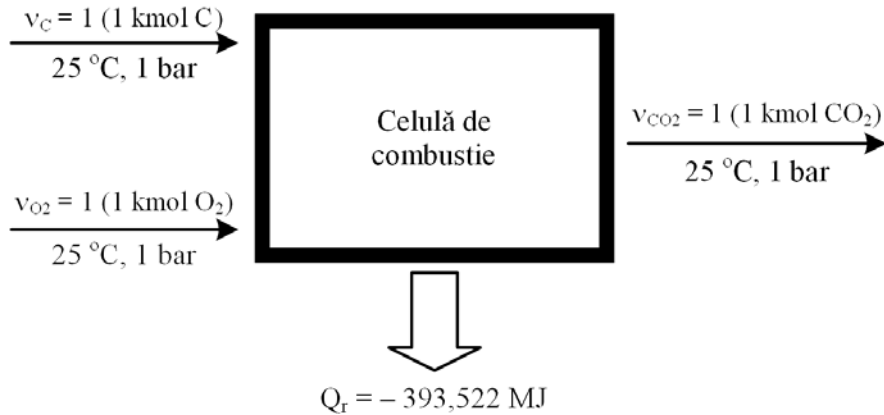


Fig. 2.1. Schema reacției de formare a dioxidului de carbon

Scriem ecuația Principiului I pentru procesul de combustie izobară:

$$Q_r - L = \Delta H = H_P - H_R \quad (2.8)$$

Cum reacția decurge fără schimb de lucru mecanic ($L = 0$), rezultă:

$$Q_r + H_R = H_P \quad (2.9)$$

Ținând cont de ecuația (2.3), scriem:

$$Q_r + \sum (n_i \bar{h}_i)_R = \sum (n_i \bar{h}_i)_P \quad (2.10)$$

Reamintim convenția că entalpiile tuturor elementelor stabile la starea standard (25°C și 1 bar) sunt nule. În cazul reacției analizate, elementele sunt carbonul și oxigenul, ambele în membrul stâng al ecuației reacției în calitate de fiind reactanți. Deci, $\sum (n_i \bar{h}_i)_R = n_C \bar{h}_C + n_{O_2} \bar{h}_{O_2} = 0$ și atunci rămâne că

entalpia produșilor (în acest caz, dioxidul de carbon) reprezintă tocmai căldura de reacție:

$$Q_r = \sum (n_i \bar{h}_i)_P = n_{\text{CO}_2} \bar{h}_{\text{CO}_2} \quad (2.11)$$

Cum am presupus că reacția este completă, atunci $n_{\text{CO}_2} = v_{\text{CO}_2} = 1$ și prin urmare:

$$Q_r = H_R = \bar{h}_{\text{CO}_2} = -392,522 \frac{\text{MJ}}{\text{kmol}} \quad (2.12)$$

Deci, căldura reacției de formare a dioxidului de carbon este tocmai entalpia molară parțială a acestuia și, date fiind condițiile de desfășurare a reacției, poartă numele de *entalpie de formare*. Notăția consacrată pentru entalpia de formare este \bar{h}_f^0 , în care indicele superior „0” indică starea standard. Atunci, pentru exemplul considerat:

$$Q_r = (\bar{h}_f^0)_{\text{CO}_2} = -392,522 \frac{\text{MJ}}{\text{kmol}} \quad (2.13)$$

Această valoare va fi regăsită în tabelele de entalpii de formare.

Semnul „-” din fața valorii entalpiei de formare a dioxidului de carbon se mai poate acuma explica și prin aceea că, deoarece reacția este exotermă, este necesară evacuarea din volumul de control a căldurii generate pentru a readuce produșii de reacție (în cazul acesta CO_2) la temperatura reactanților. Aceasta înseamnă însă că entalpia produsului de reacție trebuie să fie **mai mică** decât suma entalpiilor reactanților. Dar, prin convenție acestea sunt nule, deoarece dioxidul de carbon se formează din elementele carbon și oxigen, stabile la temperatura și presiunea considerate. Drept urmare, entalpia de formare a dioxidului de carbon este negativă.

Entalpia de formare este pozitivă atunci când reacția este endotermă, adică este necesar aport de căldură din exterior pentru formarea compusului respectiv din elemente. De exemplu, reacția completă:



în care reactanții și produsul de reacție sunt la starea standard, pentru a putea avea

loc, necesită căldura de reacție $Q_r = 90,592 \text{ MJ/kmol}$, care reprezintă entalpia de formare a oxidului de azot.

În lumina celor prezentate, entalpia de formare se mai poate defini și ca **energia termică eliberată sau absorbită atunci când compusul respectiv se formează din elementele sale, acestea, ca și compusul, fiind la o presiune și o temperatură de referință.**

Reacțiile chimice decurg astfel încât masele elementelor se conservă, deoarece nu au loc reacții nucleare care să le modifice (nu au loc transmutații). Aceasta este explicația pentru faptul că este permisă alegerea unei valori arbitrare (în cazul acesta zero) pentru entalpiile elementelor la o stare standard (de referință), deasemeni aleasă arbitrar.

În exemplul clasic prezentat, entalpia de formare se determina pe baza căldurii de reacție la formarea unui compus. De fapt, valorile entalpiilor de formare se determină altfel, și anume pe baza datelor spectroscopice, folosind termodinamica statistică.

Ținând cont de modul în care se definește entalpia de formare, entalpia unui compus la altă temperatură și presiune decât cele standard se determină însumând entalpia de formare a acestuia cu variația de entalpie corespunzătoare trecerii de la presiunea și temperatura standard la presiunea și temperatura respective:

$$(\bar{h})_{T,p} = (\bar{h}_f^0)_{298 \text{ K}, 1 \text{ bar}} + (\Delta \bar{h})_{298 \text{ K}, 1 \text{ bar} \rightarrow T,p} \quad (2.15)$$

Tabelul 2.1., adaptat după [5], prezintă entalpiile de formare și entropiile pentru elementele și compușii cel mai des întâlniți în calculele de ardere.

Tab. 2.1. Entalpii de formare și entropii la 298 K și 0,1 MPa

Formula chimică	Denumirea	$(\bar{h}_f^0)_{298}$ [MJ / kmol]	$(\bar{s})_{298}$ [kJ / kmol · K]
O	Oxigen atomic în starea fundamentală	249,16	161,04
O ₂	Oxigen molecular	0	205,12
H	Hidrogen atomic	217,97	114,59
H ₂	Hidrogen molecular	0	130,57
OH	Hidroxil în starea fundamentală	37,17	183,71

Tab. 2.1. (continuare)

Formula chimică	Denumirea	$(\bar{h}_f^0)_{298}$ [MJ / kmol]	$(\bar{s})_{298}$ [kJ / kmol · K]
H ₂ O	Apă	-241,82	188,8
H ₂ O ₂	Peroxid de hidrogen	-136,31	234,49
N	Azot atomic în starea fundamentală	472,68	153,17
N ₂	Azot molecular	0	191,49
NO	Monoxid de azot	90,29	210,63
NO ₂	Dioxid de azot	33,09	210,63
NO ₃	Radical nitrat	73,70	252,53
N ₂ O	Protoxid de azot	82,05	219,86
NH ₃	Amoniac	-45,92	192,60
C	Carbon monoatomic	716,61	157,99
CO	Monoxid de carbon	-110,54	197,52
CO ₂	Dioxid de carbon	-393,53	213,71
CH ₄	Metan	-74,90	186,03
CH ₃ OH	Metanol	-201,50	239,77
C ₂ H ₆	Etan	-83,86	228,94
C ₂ H ₅ OH	Etanol	-234,95	280,54
C ₃ H ₈	Propan	-104,70	270,13
n- C ₄ H ₁₀	Butan normal	-125,79	309,67
iso- C ₄ H ₁₀	Izo-butan	-134,65	295,29

2.2. ENTALPIA (CĂLDURA) DE REACȚIE. LEGEA LUI HESS

Entalpia de reacție (numită și *căldură de reacție*) este variația de entalpie ce rezultă ca efect termic al unei reacții chimice, atunci când reactanții și produșii sunt în starea standard. Privind reacția ca un proces termodinamic, atunci trebuie definite stările inițială și finală, precum și drumul urmat de sistem în decursul procesului (adică tipul de proces). Schema din Fig.2.2. prezintă condițiile ce trebuie îndeplinite de stările inițială și finală. Drumul urmat de sistem definește de obicei un proces izobar-izoterm ($p = \text{constant}$, $T = \text{constant}$), deoarece marea majoritate a reacțiilor chimice sunt de acest tip.

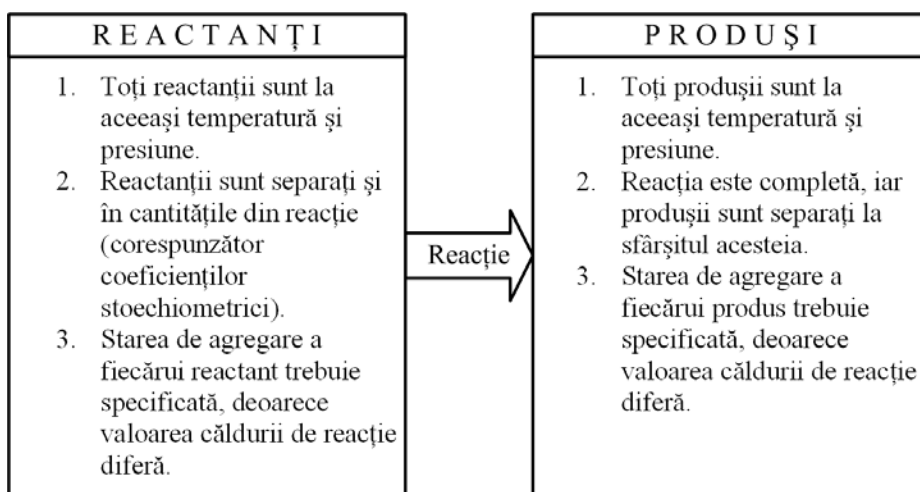


Fig. 2.2. Condiții pentru stările inițială și finală la determinarea căldurii de reacție

Determinarea căldurii de reacție se poate face în mai multe moduri. Primul se bazează pe legea lui Hess. Enunțul acesteia este următorul:

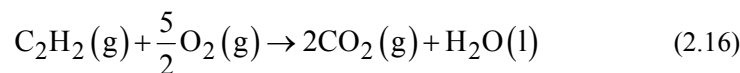
Entalpia unei reacții este egală cu suma entalpiilor celorlalte reacții în care aceasta poate fi formal descompusă.

Plecând de la enunțul de mai sus, se pot stabili următoarele reguli prin care procedura de urmat se formalizează:

1. Substanțele din aceiași membri ai ecuațiilor se adună
2. Substanțele din membrii diferiți ai ecuațiilor se scad
3. La inversarea sensului unei reacții, semnul entalpiei de reacție se schimbă
4. La multiplicarea unei reacții cu un număr, entalpia de reacție se înmulțește cu același număr

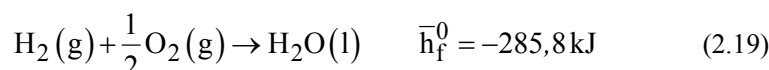
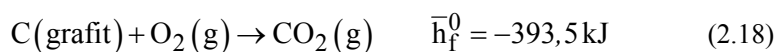
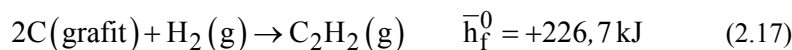
Exemplu

Să se determine entalpia reacției pentru condiții standard:



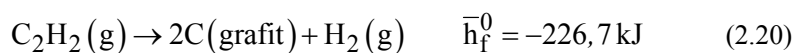
Se observă că a fost specificată starea de agregare a fiecărei substanțe. Dacă apa ar rezulta în stare gazoasă, atunci rezultatul ar fi diferit. Pentru condițiile specificate, starea lichidă este firească.

Scopul urmărit este de a descompune reacția inițială în reacții simple, în care compușii rezultă din elemente, astfel încât să intervină entalpiile de formare, ale căror valori sunt tabelate. Aceste reacții sunt:

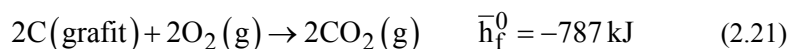


Procedăm după cum urmează:

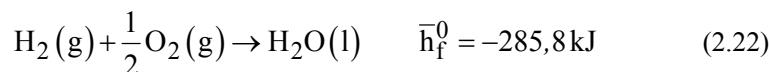
- deoarece în reacția (2.16) acetilena (C_2H_2) este în membrul stâng, iar în ecuația (2.17) este în membrul drept, inversăm această reacție:



- deoarece în reacția (2.16) dioxidul de carbon are coeficientul stoichiometric 2, amplificăm ecuația (2.18) cu 2, păstrându-i sensul întrucât în reacția inițială acesta se află tot în membrul drept:

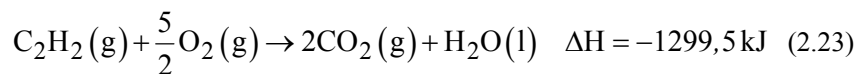


- deoarece în reacția (2.16) hidrogenul apare în membrul stâng și are coeficientul stoichiometric 1, reacția (2.19) rămâne neschimbată:



Acum, însumăm ecuațiile (2.20), (2.21), (2.22) și entalpiile aferente. Prin însumare produșii și reactanții intermediari se reduc, rezultând reacția inițială, cu

entalpia de reacție ca sumă a entalpiilor reacțiilor intermediare:



A doua metodă de determinare a căldurii de reacție este mai directă: se sumează entalpiile de formare standard ale produșilor și din această sumă se scade suma entalpiilor de formare standard ale reactanților, în procesul de sumare valorile respective fiind amplificate cu coeficienții stoichiometrici din reacție. Pentru exemplul considerat:

$$\begin{aligned} \Delta H &= \left(2\bar{h}_{\text{CO}_2}^0 + \bar{h}_{\text{H}_2\text{O}}^0 \right) - \left(\bar{h}_{\text{C}_2\text{H}_2}^0 + \frac{5}{2}\bar{h}_{\text{O}_2}^0 \right) = \\ &= [2(-393,5) + (-285,8)] - \left[+226,7 + \frac{5}{2} \cdot 0 \right] = -1299,5 \text{ kJ} \end{aligned} \quad (2.24)$$

CAPITOLUL 3.

COMBUSTIBILI

3.1. GENERALITĂȚI

Prin *combustibil* se înțelege orice substanță care conține și poate degaja elemente combustibile în stare atomică, acestea combinându-se cu oxigenul într-o reacție exotermă, numită *ardere*. Produșii reacției se numesc *gaze de ardere* și constituie „vehiculul” prin intermediul căruia căldura rezultată este transferată, rezultând efectul util urmărit.

Condițiile pe care trebuie să le îndeplinească un combustibil sunt următoarele:

- a. să degaje prin ardere o cantitate cât mai mare de căldură, iar temperatura de ardere să fie cât mai ridicată: efectul util al arderii combustibilului este cu atât mai mare, cu cât acesta degajă o cantitate mai mare de căldură la o temperatură mai ridicată;
- b. să fie stabil din punct de vedere chimic;
- c. să nu degaje prin ardere produși toxici sau otrăvitori;
- d. să nu conțină substanțe care prin ardere dau compuși care atacă materialele din care sunt făcute diversele părți ale instalației de ardere;
- e. să fie disponibil în cantități suficiente și în locuri cât mai accesibile, astfel încât exploatarea să fie ieftină;
- f. tehnologia de prelucrare să fie simplă și să implice costuri cât mai reduse;
- g. să nu aibă utilizări superioare.

Evident, criteriile enumerate mai sus definesc un combustibil „ideal”; în realitate, un asemenea combustibil nu există, combustibilii reali satisfacând mai mult sau mai puțin unele sau altele din cerințe.

3.1.1. Puterea calorică a unui combustibil

Puterea calorică este o caracteristică fundamentală a unui combustibil, deoarece reflectă capacitatea acestuia de a degaja căldură prin ardere; de aceea, puterea calorică este criteriul principal de comparație a combustibililor.

Definiție

Puterea calorică este căldura care se degajă la arderea completă cu aerul minim necesar a unei mase de 1 kg de combustibil solid sau lichid sau a unui volum de 1 m³ normal de combustibil gazos.

Combustibilii sunt constituiți în general din hidrogen, din care prin ardere rezultă apă. O altă sursă de apă o constituie umiditatea combustibilului. Apa astfel rezultată se regăsește în produșii de ardere. Prezența apei influențează căldura utilă prin aceea că aceasta poate sau nu să înglobeze căldura latentă de vaporizare a apei.

De aceea, puterea calorică se definește în două moduri, după cum apa din producții de ardere este sau nu în stare de vapori. Astfel, definim:

- a) *puterea calorică inferioară* (Q_i): este puterea calorică definită în condițiile în care apa este evacuată în stare de vapori în producții se ardere;
- b) *puterea calorică superioară* (Q_s): se definește în condițiile în care apa este evacuată în stare lichidă.

Relația între cele două puteri calorice este:

$$Q_i = Q_s - 2510(9h + w) \left[\frac{\text{kJ}}{\text{kg cb}} \right] \quad (3.1)$$

unde: 2510 este căldura latentă de vaporizare a apei la punctul triplu;

h și w reprezintă respectiv conținutul de hidrogen și apă sub formă de umiditate dintr-un kg de combustibil.

Determinarea puterii calorice se poate face fie experimental (direct), fie pe cale teoretică, plecând de la compoziția elementară a combustibilului.

Determinarea experimentală a puterii calorice a combustibililor solizi și lichizi se realizează într-un calorimetru de construcție specială, numit *bombă calorimetrică*. Aceasta este alcătuită dintr-un creuzet etanș în care se introduce proba, a cărei masă este măsurată cu precizie. Aprinderea probei se realizează cu ajutorul unui fir incandescent iar arderea are loc în atmosferă presurizată (2,5 MPa). Căldura degajată prin ardere se transmite apei din calorimetru, a cărei variație de temperatură se măsoară cu un termometru de precizie. Cunoscând masele implicate, căldurile specifice și variația de temperatură, se poate determina căldura degajată, deci puterea calorică. Pentru cazul combustibililor gazoși se utilizează un calorimetru de construcție specială. Se face totuși mențiunea că, datorită faptului că arderea are loc la volum constant, puterea calorică determinată cu bomba calorimetrică diferă de cea reală, care corespunde unei arderi izobare.

Plecând de la compoziția elementară a combustibilului și cunoscând căldurile de reacție ale oxidării diverselor elemente combustibile, se poate determina puterea calorică pe cale teoretică. O problemă apare însă aici, și anume cea a oxigenului legat din moleculele de combustibil, adică a existenței atomilor de oxigen legați chimic de atomi de hidrogen, care astfel nu vor mai putea participa la ardere, reducând puterea calorică.

Pentru combustibilii solizi și lichizi, puterea calorică inferioară se calculează cu relația:

$$Q_i = 33900c + 120120 \left(h - \frac{o}{8} \right) + 9250s - 2510w \left[\frac{\text{kJ}}{\text{kg cb}} \right] \quad (3.2)$$

unde c , h , o , s și w reprezintă conținutul în carbon, hidrogen, sulf și apă (umiditate) din kilogramul de combustibil.

Pentru combustibilii gazoși, relația de calcul este:

$$Q_i = 12720(c_o) + 10800(h_2) + 35910(ch_4) + 60020(c_2h_4) + 63730(c_2h_6) + 86402(c_3h_6) + 56920(c_2h_2) + 12635(c_o) \left[\frac{\text{kJ}}{\text{m}_N^3 \text{ cb}} \right] \quad (3.3)$$

unde simbolurile din paranteze reprezintă fracțiile volumice ale compușilor respectivi în metrul cub normal de combustibil.

Intervalele de variație a puterii calorice pentru diverse tipuri de combustibili sunt date în Tabelul 3.1.

Tab.3.1. Valori ale puterii calorice a diversilor combustibili (adaptat după [37], [39])

Combustibilul	Puterea calorică inferioară [MJ/kg]
A. Combustibili solizi	
Lemn umed	6,28 ... 10,40
Lemn uscat	12,56 ... 16,75
Turbă	6,28 ... 14,65
Lignit	5,02 ... 10,47
Cărbune brun	8,37 ... 16,75
Huilă	20,93 ... 29,30
Antracit	29,30 ... 31,40
Cocs	25,96 ... 33,50
B. Combustibili lichizi	
Motorină	41,84
Păcură	37,68 ... 41,67
Benzină	42,04
Kerosen	39,77

Tab.3.1. (continuare)

Combustibilul	Puterea calorică inferioară [MJ/m ³ _N]
C. Combustibili gazoși	
Hidrogen	10,76
Metan	35,80
Propan	93,57
Etan	64,35
n-Butan	123,55
Gaz de furnal	3,98
Gaz de generator	4,82
Gaz de cocserie	19,26

3.1.2. Clasificarea combustibililor

Clasificarea combustibililor se poate face după următoarele criterii:

- a) Starea de agregare:
 - combustibili solizi;
 - combustibili lichizi;
 - combustibili gazoși.
- b) Origine:
 - combustibili naturali: sunt extrași din zăcămintele naturale (exemplu: gazul natural);
 - combustibili artificiali: rezultă prin prelucrarea combustibililor naturali (exemplu: benzina);
 - combustibili sintetici: sunt obținuți prin sinteză din alte substanțe (exemplu: combustibilul solid pentru rachete).
- c) Puterea calorică:
 - inferiori ($Q_i < 12,6$ MJ/kg);
 - medii ($12,6$ MJ/kg $< Q_i < 21$ MJ/kg);
 - superiori ($Q_i > 21$ MJ/kg).
- d) Utilizare:
 - combustibili energetici: utilizați pentru producerea energiei (termice, electrice, mecanice etc.);
 - combustibili tehnologici: utilizați pentru realizarea diverselor procese tehnologice.

Tabelul 3.2. sintetizează clasificarea de mai sus, completând-o cu mai multe exemple.

Tab. 3.2. Clasificarea combustibililor (după [39])

		ORIGINE		
		Naturali	Artificiali	De sinteză
STAREA DE AGREGARE	Solizi	Lemn Turbă Cărbune brun Huilă Antracit Șisturi combustibile	Mangal Cocs Brichete de cărbune Deșeuri combustibile industriale și agricole Deșeuri menajere	Combustibili pentru rachete
	Lichizi	Petrol (țiței)	Benzină Motorină Kerosen (petrol lampant) Păcură Combustibil pentru calorifer Gaz lichefiat (GPL)	Benzine sintetice Metanol Combustibil lichid pentru rachete
	Gazoși	Gaz natural Gaz de sondă	Gaz de furnal Gaz de cocserie Gaz de generator	Hidrogen

3.1.3. Compoziția combustibililor

Compoziția unui combustibil se exprimă în mod diferit funcție de starea de agregare. Astfel, pentru combustibilii solizi și lichizi se exprimă în fracții masice ale elementelor și altor componente raportate la kilogramul de combustibil, în timp ce pentru combustibilii gazoși, compoziția se exprimă în fracții volumice raportate la metrul cub normal de combustibil.

În general, un combustibil este format din elemente combustibile, din substanțe care nu participă la ardere și din umiditate.

Elementele combustibile dintr-un combustibil solid sau lichid sunt carbonul (C), hidrogenul (H), și sulful (S). Elementele necombustibile sunt azotul (N), oxigenul (O) și cenușa (A)¹ – substanțele minerale din combustibil. Acestea,

¹ De la *ash* (cenușă) în engleză.

împreună cu umiditatea (W)² formează *balastul*. Analiza elementară a unei mase oarecare *m* de combustibil solid sau lichid va evidenția următoarele cantități: *m* kg combustibil = *C* kg carbon + *H* kg hidrogen + *O* kg oxigen + *N* kg azot + *S* kg sulf + *A* kg cenușă + *W* kg apă. Raportat la kilogramul de combustibil, rezultă:

$$c + h + o + n + s + a + w = 1 \quad (3.4)$$

Prin convenție, în relația (3.4) fracțiile masice (exprimate în kg/kg cb) au fost notate cu minuscula simbolului elementului sau substanței respective.

În mod similar, compoziția generală a unui combustibil gazos se exprimă astfel:

$$(h_2) + (co) + (ch_4) + \sum (c_m h_n) + (o_2) + (co_2) + (n_2) = 1 \quad (3.5)$$

unde fracțiile volumice (exprimate în m^3_N/m^3_N cb) au fost notate prin simbolul respectiv între paranteze, iar $c_m h_n$ denotă generic o hidrocarbură.

3.2. COMBUSTIBILI SOLIZI. CĂRBUNII

Cărbunii constituie principala grupă de combustibili solizi. Conform unei teorii aproape unanim acceptate, au origine biogenă, formându-se din resturile vegetale acumulate de-a lungul timpului și supuse unor temperaturi și presiuni ridicate în interiorul scoarței terestre. Procesul de transformare a acestor resturi în cărbuni poartă numele de *carbonificare* și constă în creșterea în timp a procentului de carbon din masa de material.

3.2.1. Clasificarea cărbunilor

Clasificarea românească a cărbunilor cuprinde următoarele grupe:

- a) **Turba** (simbolizare: **T**). Este un cărbune inferior, tânăr, la care carbonificarea este doar parțială. Valoarea energetică este foarte redusă.
- b) **Cărbunii bruni** (simbolizare: **CB**). Au culoare brun-deschis până la negru și au un conținut ridicat de cenușă și umiditate, fiind considerați ca făcând parte din categoria cărbunilor inferiori. Ca subgrupe, se enumeră:
 - cărbunele brun pământos (**BP**);
 - cărbunele brun lemnos – lignitul (**BL**);

² De la *water* (apă) în engleză.

- cărbunele brun mat (**BM**);
 - cărbunele brun huiilos (**B/H**), care face trecerea spre huile.
- c) **Huila** (simbolizare: **H**). Face parte din categoria cărbunilor superiori, având un conținut ridicat de carbon și unul redus de balast. Subgrupe:
- huila cu flacără lungă (**HL**);
 - huila pentru gaz (**HG**);
 - huila grasă (**HGr**);
 - huila pentru cocs (**HC**);
 - huila slabă degresată (**HS**);
 - huila antracitoasă (**H/A**) – face trecerea spre antracit.
- d) **Antracitul** (simbolizare: **A**). Are cel mai mare conținut de carbon, fiind și cel mai vechi cărbune.

Ultimele două clase fac parte din categoria cărbunilor superiori, datorită conținutului mare de carbon și puterii calorice ridicate.

3.2.2. Compoziția cărbunilor

Compoziția unui cărbune are următoarele părți:

1. Masa combustibilă

Este reprezentată de atomii elementelor care nu fac parte din balast: carbonul, hidrogenul, oxigenul, azotul și sulfurul. Azotul nu participă la ardere, dar în mod convențional a fost inclus în masa combustibilă. Prezența azotului este dăunătoare, deoarece acesta consumă din căldura degajată, micșorând puterea calorică. Deși contribuie la puterea calorică, sulfurul are o influență dăunătoare prin aceea că prin ardere produce oxizi de sulf (SO_2 și SO_3) care sunt toxici, iar în combinație cu vaporii de apă produc acizi care atacă părțile metalice ale instalației de ardere iar, odată ajunși în atmosferă, sunt principala sursă a fenomenului de ploaie acidă. Oxigenul din combustibil este legat chimic de atomii de carbon și hidrogen, ceea ce reduce puterea calorică deoarece acei atomi nu mai pot participa la ardere.

2. Masa minerală necombustibilă

Este compusă fie din substanțele minerale care intrau în compoziția plantelor din care s-a format combustibilul, fie din mineralele prezente în zăcământ în timpul formării acestuia, fie din sterilul antrenat accidental în procesul de exploatare a stratului de cărbune în mină și rămas după separare. Masa minerală necombustibilă este compusă din diverse săruri (carbonați, silicați, fosfați etc.) și oxizi și în urma arderii formează *cenușa*. Aceasta reduce puterea calorică deoarece reține o parte din căldură și înrăutățește condițiile de transfer termic, depunându-se pe suprafețele de schimb de căldură.

3. Umiditatea

Umiditatea are același efect ca și azotul, consumând o parte din căldură pentru vaporizarea apei. Este de două tipuri: *de îmbibație* (se degajă prin uscare la aer) și *higroscopică* (nu se degajă prin uscare la aer, fiind reținută în structura capilară a lemnului din care s-a format cărbunele; se degajă prin încălzire la 105°C).

Raportată la masa probei și exprimată în procente, compoziția cărbunilor se exprimă în următoarele situații:

- starea inițială (indice superior „i”):

$$C^i + H^i + O^i + N^i + S_c^i + A^i + W_t^i = 100 \% \quad (3.6)$$

unde W_t^i reprezintă umiditatea totală, cu componentele W_h^i (higroscopică) și W_a^i (de îmbibație):

$$W_t^i = W_h^i + W_a^i \quad [\%] \quad (3.7)$$

iar S_c^i este sulful combustibil, având drept componente sulful organic S_o^i și sulful din sulfuri S_s^i :

$$S_c^i = S_o^i + S_s^i \quad [\%] \quad (3.8)$$

- starea pentru analiză – proba uscată la aer – (indice superior „a”):

$$C^a + H^a + O^a + N^a + S_c^a + A^a + W_h^a = 100 \% \quad (3.9)$$

- starea anhidră (indice superior „anh”):

$$C^{anh} + H^{anh} + O^{anh} + N^{anh} + S_c^{anh} + A^{anh} = 100 \% \quad (3.10)$$

- masa combustibilă (indice superior „mc”):

$$C^{mc} + H^{mc} + O^{mc} + N^{mc} + S_c^{mc} = 100 \% \quad (3.11)$$

- masa organică (indice superior „o”):

$$C^0 + H^0 + O^0 + N^0 + S_0^0 = 100 \% \quad (3.12)$$

Analiza tehnică imediată a unui cărbune mai pune în evidență următoarele componente importante pentru caracteristicile de ardere ale acestuia (vezi și Fig. 3.1.):

a) Materiile volatile

Reprezintă fracțiunile gazoase care se degajă la încălzirea cărbunelui și care se aprind primele, inițiind arderea componentelor mai greu combustibile, cum ar fi carbonul. Volatilele constituie de fapt așa-numitul *gaz de generator*, care se degajă prin încălzirea anaerobă a cărbunelui (proces de distilare uscată, numită și *pirogenare*) și care era utilizat în sec. XIX la iluminatul casnic și stradal înainte de introducerea iluminatului electric. Cantitatea de materii volatile degajate are o importanță decisivă asupra caracteristicilor de aprindere, temperatura la care acestea se aprind constituind chiar temperatura de aprindere a cărbunelui. Conținutul de materii volatile se determină prin cântărire, urmată de încălzirea probei în absența aerului până la temperatura de $815 \pm 20^\circ\text{C}$ și menținerea un interval de timp la această temperatură. O nouă cântărire va permite determinarea prin diferență a conținutului de volatile. Cu cât cărbunele este mai vechi, cu atât acesta va produce o cantitate mai redusă de materii volatile. Tabelul 3.3. prezintă intervalele de temperaturi la care începe degajarea volatilelor pentru principalele clase de cărbuni.

Tab. 3.3. Temperaturi de degajare a materiilor volatile [39]

Tipul de cărbune	Temperatura de degajare [°C]
Turba	100...110
Cărbunele brun	130...170
Huila	170...390
Antracitul	280...400

b) Cocsul brut

Reprezintă reziduum rămas după degajarea volatilelor și este constituit din cenușă și cărbunele fix.

c) Cărbunele fix (cocsul net)

Rezultă prin înlăturarea cenușii din cocsul brut și deci reprezintă substanța combustibilă din acesta.

d) Balastul

Este partea din cărbune care nu arde și deci reprezintă suma dintre

cenușă și umiditate.

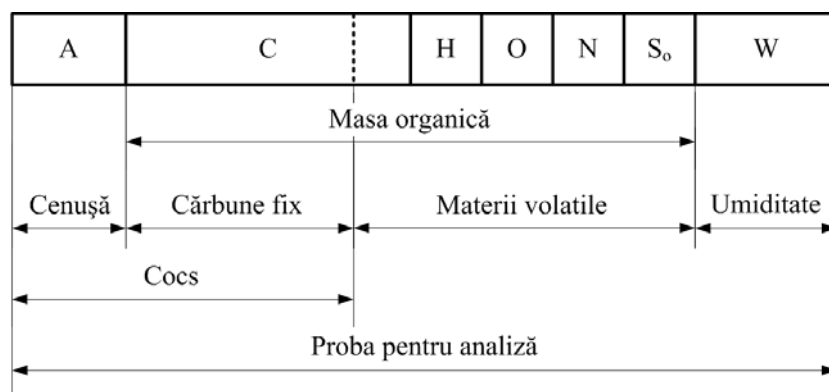


Fig. 3.1. Analiza chimică (imediată) a cărbunelui

Funcție de compoziție, pentru fiecare cărbune se definesc două caracteristici care constituie în același timp și criteriile de clasificare:

1. Criteriul de aprindere K_a

Acest criteriu caracterizează capacitatea cărbunelui de a se aprinde și se calculează cu relația:

$$K_a = \frac{V^i}{C_f^i} = \frac{V^i}{100 - W_t^i - A^i - V^i} \quad (3.13)$$

unde: V^i este conținutul procentual de volatile din proba inițială;
 C_f^i este conținutul procentual de cărbune fix din proba inițială.

Criteriul de aprindere ia în considerare conținutul relativ de materii volatile raportat la cărbunele fix, știut fiind că volatilele sunt cele care se aprind primele, favorizând aprinderea carbonului. Funcție de acest criteriu, cărbunii se împart în:

- cărbuni cu capacitate redusă de aprindere: antracitul și cele mai multe dintre huile, având $K_a < 0,5$;
- cărbuni cu capacitate medie de aprindere: cărbunele brun și unele huile, având K_a cuprins între 0,5 și 1;
- cărbuni cu capacitate ridicată de aprindere: lignitul, turba și șisturile bituminoase, cu $K_a > 1$.

2. Criteriul de intensitate a arderii K_i

Caracterizează capacitatea de ardere și se obține raportând conținutul procentual de cenușă din proba inițială la cărbunile fixe:

$$K_i = \frac{A^i}{C_f^i} = \frac{A^i}{100 - W_t^i - A^i - V^i} \quad (3.14)$$

Conform acestui criteriu, cărbunii se împart în următoarele clase:

- cărbuni cu intensitate de ardere ridicată: turba și unii cărbuni brun, având $K_i < 0,5$;
- cărbuni cu intensitate medie a arderii: antracitul, huila și unii ligniți, având K_i cuprins între 0,5 și 1;
- cărbuni cu intensitate redusă a arderii: ligniții și șisturile bituminoase, cu $K_i > 1$.

3.3. COMBUSTIBILI LICHIZI

Combustibilii lichizi sunt constituiți din amestecuri de hidrocarburi și pot fi artificiali sau sintetici. Cei din prima categorie se obțin plecând de la petrol sau șisturi bituminoase, prin procese de distilare fracționată sau separare și dizolvare. Combustibilii sintetici rezultă prin cracarea catalitică a petrolului sau prin hidrogenarea termică a cărbunilor.

Funcție de intervalul de temperaturi de fierbere, principalii combustibili obținuți prin distilarea fracționată a petrolului sunt:

- $t_{\text{fierbere}} = (30 \dots 205)^\circ\text{C}$: **benzinele**, care sunt utilizate la motoarele cu ardere internă cu aprindere prin scânteie;
- $t_{\text{fierbere}} = (150 \dots 280)^\circ\text{C}$: **petrolul lampant (kerosenul)**, utilizat în special pentru turbomotoarele de aviație;
- $t_{\text{fierbere}} = (200 \dots 380)^\circ\text{C}$: **motorina**, folosită drept combustibil pentru motoarele Diesel;
- $t_{\text{fierbere}} = (300 \dots 550)^\circ\text{C}$: **păcura**, având utilizări în domeniul energetic (ardere în focarele generatoarelor de abur).

Compoziția combustibililor lichizi este prezentată în Tabelul 3.4.

Tab. 3.4. Compoziția unor combustibili lichizi (după [39])

Combustibilul	Compoziție masă combustibilă [%]				Cenușă A ^{anh} [%]	Umiditate A _a ^a [%]
	C ^{mc}	C ^{mc}	C ^{mc}	C ^{mc} + C ^{mc}		
Benzină	85	14,9	0,05	0,05	0	0
Petrol	86	13,7	0,2	0,1	0	0
Motorină Diesel	86,3	13,3	0,3	0,1	urme	urme
Motorină	86,5	12,8	0,3	0,4	0,2	urme
Păcură (conținut redus de sulf)	87,5	11,2	0,6	0,7	0,2	0,3
Păcură (conținut ridicat de sulf)	85	11,8	2,5	0,7	0,15	1,0

3.4. COMBUSTIBILI GAZOȘI

Combustibilii gazoși sunt amestecuri de hidrocarburi gazoase și alte gaze cum ar fi dioxidul de carbon, monoxidul de carbon, hidrogenul, azotul, vaporii de apă etc. Ca origine sunt atât naturali, cât și artificiali. Combustibilii gazoși naturali sunt gazul natural, extras ca atare din zăcăminte, sau gazele de sondă care sunt prezente împreună cu țițeiul în zăcămintele de petrol. Combustibilii gazoși artificiali se obțin fie ca subproduse ale unor procese tehnologice (gazul de furnal, gazul de cocserie, gazul de rafinare), fie ca produși finali (gazul de generator). Gazul lichefiat este un amestec de butan și propan menținut în stare lichidă în recipienti sub presiune.

Compoziția combustibililor gazoși se exprimă procentual în proporții volumice, raportându-se la starea inițială (numită și *umedă*), sau la starea anhidră. De obicei, **umiditatea** (notată *d*) conținută în starea inițială se exprimă în g/m³_N.

Formula prin care se exprimă compoziția combustibilului gazos în starea inițială este:

$$\begin{aligned} & \text{CO}^i + \text{CO}_2^i + \text{H}_2^i + \text{H}_2\text{S}^i + \text{CH}_4^i + \sum (\text{C}_m\text{H}_n)^i + \\ & + \text{O}_2^i + \text{N}_2^i + \text{W}_t^i = 100 \% \end{aligned} \quad (3.15)$$

unde **procentul de umiditate conținută** se determină cu relația:

$$W_t^i = 0,1244 \cdot d \frac{100}{100 + 0,1244 \cdot d} [\%] \quad (3.16)$$

În raport cu starea anhidră, compoziția se scrie:

$$\begin{aligned} &CO^{\text{anh}} + CO_2^{\text{anh}} + H_2^{\text{anh}} + H_2S^{\text{anh}} + CH_4^{\text{anh}} + \sum (C_m H_n)^{\text{anh}} + \\ &+ O_2^{\text{anh}} + N_2^{\text{anh}} = 100 \% \end{aligned} \quad (3.17)$$

Tabelul 3.5. cuprinde câteva proprietăți ale principalilor componenți ai combustibililor gazoși.

Tab. 3.5. Proprietăți ale componentilor combustibililor gazoși – adaptat după [39]

Componentul gazos	Formula chimică	Densitatea [kg/m ³ _N]	Masa molară [kg/kmol]	Constanta caracteristică [J/kgK]	Puterea calorică inferioară [MJ/m ³ _N]
Oxid de carbon	CO	1,25	28,011	296,749	12,644
Hidrogen	H ₂	0,08987	2,016	4121,735	10,76
Metan	CH ₄	0,7168	16,04	518,722	35,797
Etan	C ₂ H ₆	1,356	30,068	276,744	64,351
Propan	C ₃ H ₈	2,0037	44,094	188,778	93,575
Butan	C ₄ H ₁₀	2,703	58,12	143,177	123,552
Pentan	C ₅ H ₁₂	3,457	72,146	115,24	146,077
Etilenă	C ₂ H ₄	1,2605	28,052	296,65	59,955
Propilenă	C ₃ H ₆	1,915	42,08	197,996	88,216
Acetilenă	C ₂ H ₂	1,1709	26,04	319,599	56,94

În Tabelul 3.6. sunt date proprietățile unor combustibili gazoși artificiali.

Tab. 3.5. Proprietăți ale unor combustibili gazoși artificiali – adaptat după [37]

Gazul	Masă molară [kg/kmol]	Densitate [kg/m ³ _N]	Compoziție volumică [%]						Putere calorică inferioară [MJ/m ³ _N]
			H ₂	CO	CH ₄	C ₂ H ₄	CO ₂	N ₂	
Gaz de generator	26,6	1,19	6	23	3	0,2	5	62	4,815

Tab. 3.5. (continuare)

Gazul	Masă molară [kg/kmol]	Densitate [kg/m ³ _N]	Compoziție volumică [%]						Putere calorică inferioară [MJ/m ³ _N]
			H ₂	CO	CH ₄	C ₂ H ₄	CO ₂	N ₂	
Gaz de apă	15,9	0,71	49	42	0,5	–	5	3	10,802
Gaz de cocserie	11,85	0,53	50	8	29	4	2	7	19,259
Gaz de furnal	28,2	1,25	4	28	–	–	8	60	3,977

CAPITOLUL 4.

CALCULUL ARDERII

4.1. INTRODUCERE

Într-un sens mai larg, arderea este un proces de oxidare rapidă a unei substanțe, însoțită de degajare de căldură și lumină. Arderea face parte din clasa reacțiilor chimice de oxidare, fiind considerată drept o combinație exotermă a combustibilului cu *oxidantul*. Oxidantul este fie oxigenul din aerul în prezența căruia are loc procesul de combustie, fie o substanță a cărei moleculă are în componență atomi de oxigen (exemplu: cazul motoarelor-rachetă cu combustibil solid). În aceste cazuri, combustibilul se numește *carburant*, iar substanța oxidantă, *comburant*.

Fenomenul de ardere comportă două aspecte:

- aspectul termodinamic**, în care se consideră bilanțul energetic al procesului între starea inițială (compușii inițiali) și cea finală (produșii de ardere).
- aspectul cinetic**, care ia în considerare mecanismul de desfășurare a procesului și durata acestuia, deci vizează viteza de ardere.

Procesul de ardere este de maximă complexitate, implicând factori cum ar fi contactul între combustibil și oxigen, viteza de reacție, disocierea (descompunerea moleculelor produșilor în atomi sau molecule mai simple, fenomen ce consumă o parte din căldura degajată), recombinația etc. De exemplu, arderea poate fi *completă*, atunci când întreaga energie de legătură a moleculelor de combustibil a fost convertită în căldură, rezultând produși ce nu mai pot fi oxidați. Acesta este însă un caz foarte rar întâlnit, deoarece în realitate, din diverse cauze, sau oxigenul disponibil nu poate reacționa integral cu combustibilul, sau este insuficient, arderea fiind *incompletă* (rezultă unii produși care mai pot fi oxidați). Tabelul 4.1. prezintă factorii care influențează arderea.

Tab. 4.1. Factori de influență ai arderii – adaptat după [43]

Factorul de influență	Tipul de ardere	Exemple
Dependența de timp	staționară	generatoare de abur, camere de ardere ale turbinelor cu gaze
	nestaționară	motoare cu ardere internă
Distribuția spațială	unidimensională	tuburi de flacără
	bidimensională	arzătorul Bunsen (flacără axisimetrică)
	tridimensională	ardere în general

Tab. 4.1. – continuare

Factorul de influență	Tipul de ardere	Exemple
Gradul de amestecare a reactanților	cu amestecare prealabilă	motoare cu ardere internă cu aprindere prin scânteie (MAS)
	fără amestecare prealabilă	camere de ardere al turbine cu gaze, motoare cu ardere internă cu aprindere prin comprimare (MAC)
Curgerea	laminară	cazuri speciale de măsurare a vitezei flăcării
	turbulentă	motoare cu ardere internă, cazane, camere de ardere la turbine cu gaze
Faza reactanților	cu reactanți gazoși	motoare cu aprindere prin scânteie cu combustibil gazos, cazane cu combustibil gazos
	cu reactanți multifazici	motoare Diesel, turbine cu gaz, cazane pe cărbune sau combustibil lichid
Mediul de reacție	în mediu omogen	MAS
	în mediu eterogen	MAC, camere de ardere la turbine cu gaze, cazane pe cărbune
Viteza de reacție	ardere de echilibru (cu viteză practic infinită)	proces de ardere a căror durată este mare comparativ cu viteza de reacție
	cu viteză finită	toate procesele de ardere reale
Condițiile de convecție	cu convecție naturală	cazane de încălzire centrală
	cu convecție forțată	camere de ardere la turbine cu gaze, cazane energetice
Gradul de comprimare	în mediu incompresibil	flacără liberă
	în mediu comprimat	motoare
Viteza de ardere	deflagrație	procesele normale de ardere
	detonație	MAS, explozii

La baza calculului arderii stau ecuațiile stoechiometrice de ardere scrise pentru elementele din compoziția combustibilului. Deoarece compoziția se exprimă în mod diferit funcție de starea combustibilului, calculul arderii se face în două cazuri:

- a. pentru combustibili solizi și lichizi
- b. pentru combustibili gazoși

Elementele bilanțului arderii se vor exprima raportate la unitatea de cantitate de combustibil ars.

4.2. CALCULUL ARDERII PENTRU COMBUSTIBILII SOLIZI ȘI LICHIZI

Fie un combustibil solid sau lichid a cărui compoziție elementară procentuală este:

$$C^i + H^i + O^i + N^i + S_c^i + A^i + W_t^i = 100 \% \quad (4.1)$$

sau exprimată în fracții masice (raportat la kg de combustibil):

$$c + h + o + n + s + a + w = 1 \quad (4.2)$$

Deoarece elementele combustibile sunt carbonul, hidrogenul și sulful, vom scrie ecuațiile stoechiometrice ale arderii acestor elemente.

Schema de bilanț al arderii este prezentată în Fig. 4.1.

4.2.1. Arderea carbonului

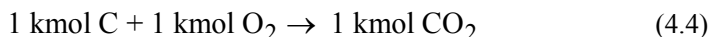
Carbonul poate arde complet sau incomplet.

a. arderea completă a carbonului

Reacția chimică de oxidare completă a carbonului este:



Din punct de vedere al bilanțului material:



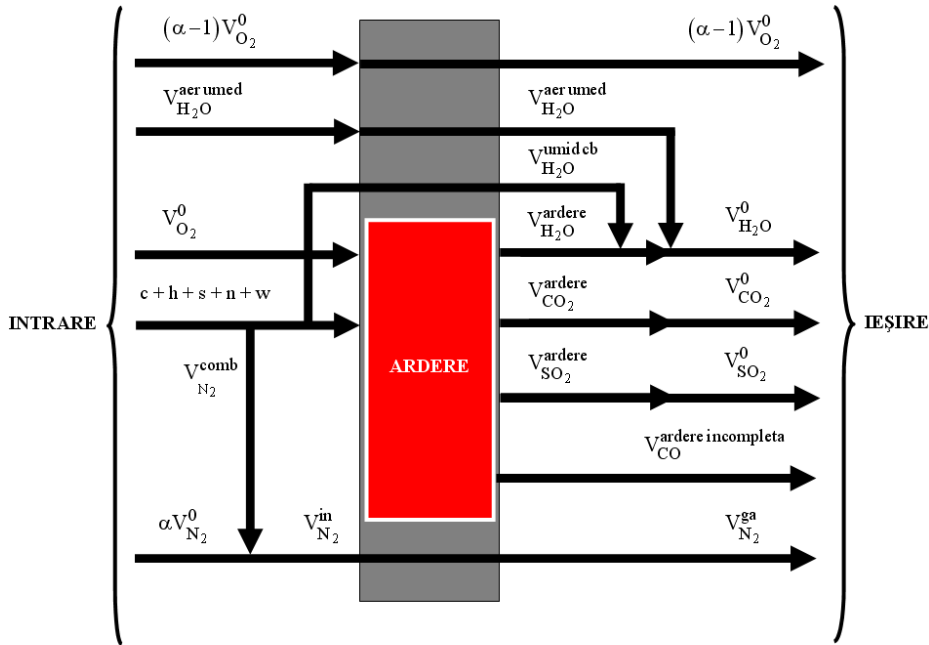
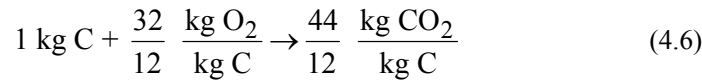
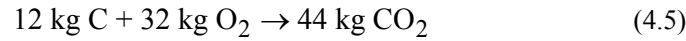
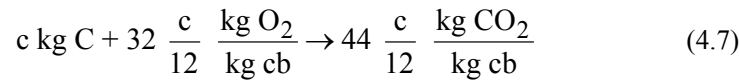


Fig. 4.1. Schema arderii unui combustibil solid sau lichid

Pentru c kg carbon în kilogramul de combustibil:



adică:

$$c \frac{\text{kg C}}{\text{kg cb}} + 2,667 c \frac{\text{kg O}_2}{\text{kg cb}} \rightarrow 3,667 c \frac{\text{kg CO}_2}{\text{kg cb}} \quad (4.8)$$

sau:

$$\frac{C^i}{100} \frac{\text{kg C}}{\text{kg cb}} + 2,667 \frac{C^i}{100} \frac{\text{kg O}_2}{\text{kg cb}} \rightarrow 3,667 \frac{C^i}{100} \frac{\text{kg CO}_2}{\text{kg cb}} \quad (4.9)$$

Dacă se ține cont de starea de agregare a reactanților și produșilor și se presupune că procesul are loc izobar la presiunea atmosferică normală, atunci, ținând cont că 1 kmol de gaz în condiții normale¹ ocupă 22,414 m³, ecuația (4.4) se scrie:

$$12 \text{ kg C} + 22,414 \text{ m}^3 \text{ O}_2 \rightarrow 22,414 \text{ m}^3 \text{ CO}_2 \quad (4.10)$$

Pentru 1 kg carbon care intră în reacție, rezultă:

$$1 \text{ kg C} + \frac{22,414}{12} \frac{\text{m}^3 \text{ O}_2}{\text{kg C}} \rightarrow \frac{22,414}{12} \frac{\text{m}^3 \text{ CO}_2}{\text{kg C}} \quad (4.11)$$

Dar, ținând cont că 1 kg combustibil conține $c \frac{\text{kg C}}{\text{kg cb}}$, atunci reacția pentru carbonul conținut într-un kg de combustibil este:

$$c \frac{\text{kg C}}{\text{kg cb}} + \frac{c}{12} 22,414 \frac{\text{m}^3 \text{ O}_2}{\text{kg cb}} \rightarrow \frac{c}{12} 22,414 \frac{\text{m}^3 \text{ CO}_2}{\text{kg cb}} \quad (4.12)$$

sau:

¹ Exprimarea în condiții normale presupune că reactanții sunt inițial în această stare, iar energia termică dezvoltată în reacție a fost evacuată din spațiul de ardere, produșii fiind astfel aduși la stare normală.

$$c \frac{\text{kg C}}{\text{kg cb}} + 1,8678 c \frac{\text{m}^3 \text{O}_2}{\text{kg cb}} \rightarrow 1,8678 c \frac{\text{m}^3 \text{CO}_2}{\text{kg cb}} \quad (4.13)$$

Ținând cont că $c = \frac{C^i}{100}$, ecuația (4.13) se poate scrie și funcție de carbonul procentual din combustibil:

$$\frac{C^i}{100} \frac{\text{kg C}}{\text{kg cb}} + 1,8678 \frac{C^i}{100} \frac{\text{m}^3 \text{O}_2}{\text{kg cb}} \rightarrow 1,8678 \frac{C^i}{100} \frac{\text{m}^3 \text{CO}_2}{\text{kg cb}} \quad (4.14)$$

b. arderea incompletă a carbonului

Carbonul arde incomplet conform reacției:



adică:

$$12 \text{ kg C} + \frac{22,414}{2} \text{ m}^3 \text{O}_2 \rightarrow 22,414 \text{ m}^3 \text{CO} \quad (4.16)$$

Prin raționamente similare celor de la punctul anterior, obținem succesiv:

$$1 \text{ kg C} + \frac{22,414}{24} \frac{\text{m}^3 \text{O}_2}{\text{kg C}} \rightarrow \frac{22,414}{12} \frac{\text{m}^3 \text{CO}}{\text{kg C}} \quad (4.17)$$

$$c \frac{\text{kg C}}{\text{kg cb}} + 0,934 c \frac{\text{m}^3 \text{O}_2}{\text{kg cb}} \rightarrow 0,934 c \frac{\text{m}^3 \text{CO}}{\text{kg cb}} \quad (4.18)$$

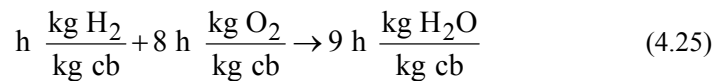
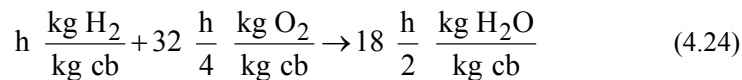
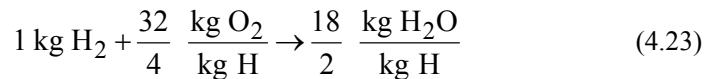
$$\frac{C^i}{100} \frac{\text{kg C}}{\text{kg cb}} + 0,934 \frac{C^i}{100} \frac{\text{m}^3 \text{O}_2}{\text{kg cb}} \rightarrow 0,934 \frac{C^i}{100} \frac{\text{m}^3 \text{CO}}{\text{kg cb}} \text{m}_N^3 \quad (4.19)$$

Observatie

În procesele reale de ardere, carbonul arde în două etape: o primă etapă corespunde arderii incomplete – ecuația (4.15) – iar etapa a doua reprezintă oxidarea monoxidului de carbon, rezultând dioxid de carbon:



Dacă oxigenul disponibil este insuficient, atunci numai o parte din monoxidul de carbon arde, restul rămânând nears.

4.2.2. Arderea hidrogenului

$$\frac{H^i}{100} \frac{\text{kg H}_2}{\text{kg cb}} + 8 \frac{H^i}{100} \frac{\text{kg O}_2}{\text{kg cb}} \rightarrow 9 \frac{H^i}{100} \frac{\text{kg H}_2\text{O}}{\text{kg cb}} \quad (4.26)$$

Ținând cont de starea de agregare:

$$2 \text{ kg H}_2 + \frac{22,414}{2} \text{ m}^3 \text{ O}_2 \rightarrow 22,414 \text{ m}^3 \text{ H}_2\text{O} \quad (4.27)$$

$$1 \text{ kg H}_2 + \frac{22,414}{4} \frac{\text{m}^3 \text{ O}_2}{\text{kg H}_2} \rightarrow \frac{22,414}{2} \frac{\text{m}^3 \text{ H}_2\text{O}}{\text{kg H}_2} \quad (4.28)$$

$$h \frac{\text{kg H}_2}{\text{kg cb}} + \frac{h}{4} 22,414 \frac{\text{m}^3 \text{ O}_2}{\text{kg cb}} \rightarrow \frac{h}{2} 22,414 \frac{\text{m}^3 \text{ H}_2\text{O}}{\text{kg cb}} \quad (4.29)$$

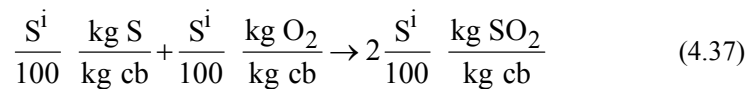
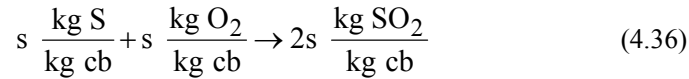
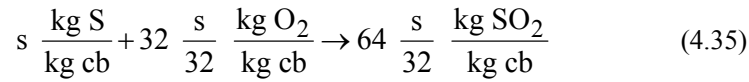
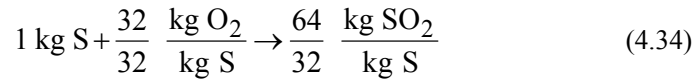
$$h \text{ kg } \frac{\text{H}_2}{\text{kg cb}} + 5,6 h \frac{\text{m}^3 \text{ O}_2}{\text{kg cb}} \rightarrow 11,2 h \frac{\text{m}^3 \text{ H}_2\text{O}}{\text{kg cb}} \quad (4.30)$$

$$\frac{H^i}{100} \text{ kg } \frac{\text{H}_2}{\text{kg cb}} + 5,6 \frac{H^i}{100} \frac{\text{m}^3 \text{ O}_2}{\text{kg cb}} \rightarrow 11,2 \frac{H^i}{100} \frac{\text{m}^3 \text{ H}_2\text{O}}{\text{kg cb}} \quad (4.31)$$

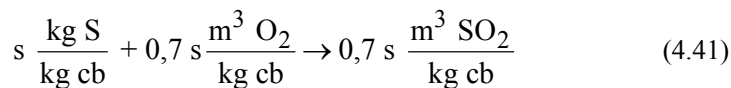
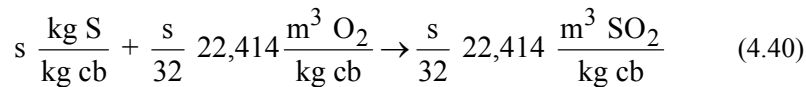
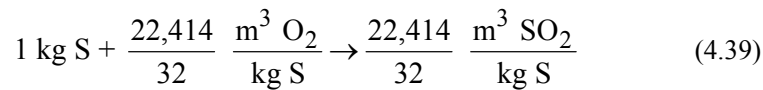
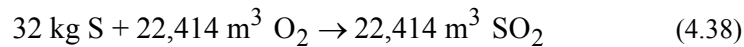
4.2.3. Arderea sulfurului

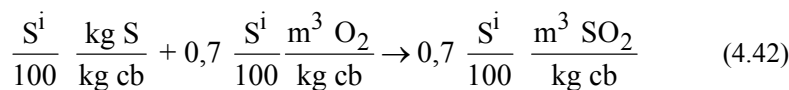


$$32 \text{ kg S} + 32 \text{ kg O}_2 \rightarrow 64 \text{ kg SO}_2 \quad (4.33)$$



În termeni de volume molare:





4.2.4. Calculul oxigenului minim necesar

Oxigenul minim reprezintă cantitatea de oxigen necesară arderii complete a unității de cantitate de combustibil și se poate exprima atât în termeni de volum, cât și în termeni de masă.

Determinarea oxigenului minim necesar se face știind că în compoziția combustibilului se găsește și oxigen legat, care face ca necesarul de oxigen pentru ardere să fie mai mic.

Volumul de oxigen minim necesar $V_{\text{O}_2}^0$ se va calcula însumând volumele de oxigen care participă la fiecare din reacțiile de ardere ale elementelor combustibile din compoziția combustibilului (ecuațiile (4.12) ... (4.14), (4.29) ... (4.31), (4.40) ... (4.42)) și scăzând oxigenul legat:

$$\begin{aligned} V_{\text{O}_2}^0 &= 22,414 \left(\frac{c}{12} + \frac{h}{4} + \frac{s}{32} - \frac{o}{32} \right) = 1,8678c + 5,6h + 0,7s - 0,7o = \\ &= 1,8678 \frac{C^i}{100} + 5,6 \frac{H^i}{100} + 0,7 \frac{S^i}{100} - 0,7 \frac{O^i}{100} \left[\frac{\text{m}^3_{\text{N}_2\text{O}_2}}{\text{kg cb}} \right] \end{aligned} \quad (4.43)$$

În termeni de masă (ecuațiile (4.7) ... (4.9), (4.24) ... (4.26) și (4.35) ... (4.37)) și ținând cont de oxigenul legat, **masa minimă de oxigen necesar** $m_{\text{O}_2}^0$ se scrie:

$$\begin{aligned} m_{\text{O}_2}^0 &= 32 \left(\frac{c}{12} + \frac{h}{4} + \frac{s}{32} - \frac{o}{32} \right) = 2,667c + 8h + s - o = \\ &= 2,667 \frac{C^i}{100} + 8 \frac{H^i}{100} + \frac{S^i}{100} - \frac{O^i}{100} \left[\frac{\text{kg O}_2}{\text{kg cb}} \right] \end{aligned} \quad (4.44)$$

4.2.5. Calculul aerului uscat minim necesar

Se știe că în aerul uscat, conținutul în oxigen reprezintă 0,232 în proporții masice și 0,21 în proporții volumice. În consecință, **volumul minim de aer uscat**

necesar V_a^0 este:

$$\begin{aligned} V_a^0 &= \frac{V_{O_2}^0}{0,21} = \frac{1}{0,21} (1,8678c + 5,6h + 0,7s - 0,7o) = \\ &= 8,894c + 26,67h + 3,33s - 3,33o = \\ &= 8,894 \frac{C^i}{100} + 26,67 \frac{H^i}{100} + 3,33 \frac{S^i}{100} - 3,33 \frac{O^i}{100} \left[\frac{m^3_{\text{N aer uscat}}}{\text{kg cb}} \right] \end{aligned} \quad (4.45)$$

Masa minimă de aer uscat necesar m_a^0 este:

$$\begin{aligned} m_a^0 &= \frac{m_a^0}{0,232} = 11,495c + 34,482h + 4,31s - 4,31o = \\ &= 11,495 \frac{C^i}{100} + 34,482 \frac{H^i}{100} + 4,31 \frac{S^i}{100} - 4,31 \frac{O^i}{100} \left[\frac{\text{kg aer uscat}}{\text{kg cb}} \right] \end{aligned} \quad (4.46)$$

4.2.6. Calculul aerului minim necesar

Aerul atmosferic conține vapori de apă sub formă de umiditate. Prezența umidității atmosferice modifică cantitatea de aer necesar arderii.

Fie $x \left[\frac{\text{kg vapori } H_2O}{\text{kg aer uscat}} \right]$ conținutul de umiditate al aerului umed. Știind că volumul vaporilor de apă din aer se calculează cu formula $V_{H_2O} = 1,61 \times V_{\text{aer uscat}}$, atunci această relație rămâne valabilă și pentru aerul raportat la kilogramul de combustibil:

$$V_{H_2O}^0 = 1,61 \times V_a^0 \left[\frac{m^3 H_2O}{\text{kg cb}} \right] \quad (4.47)$$

Drept urmare, **volumul minim de aer umed necesar** $V_{\text{aer umed}}^0$ este suma dintre volumele de aer uscat V_a^0 și de vapori de apă $V_{H_2O}^0$ și, ținând seama de

ecuația (4.47), vom obține:

$$V_{\text{aer umed}}^0 = (1 + 1,61x) V_a^0 \left[\frac{m_N^3 \text{ aer umed}}{\text{kg cb}} \right] \quad (4.48)$$

Masa minimă de aer umed necesar arderii $m_{\text{aer umed}}^0$ se obține însumând masa minimă de aer uscat și masa de vapori de umiditate raportată la kilogramul de combustibil:

$$m_{\text{aer umed}}^0 = m_a^0 + x m_a^0 = (1 + x) m_a^0 \left[\frac{\text{kg aer umed}}{\text{kg cb}} \right] \quad (4.49)$$

Pentru determinarea lui x se recurge la relația binecunoscută din termodinamica aerului umed:

$$x = 0,622 \frac{p_v}{p_b - p_v} = 0,622 \frac{\varphi p_s}{p_b - \varphi p_s} \left[\frac{\text{kg vapori H}_2\text{O}}{\text{kg aer uscat}} \right] \quad (4.50)$$

în care:

- p_v este presiunea parțială a vaporilor de apă din aer;
- p_s este presiunea de saturație a vaporilor la temperatura aerului;
- p_b este presiunea atmosferică (barometrică);
- φ este umiditatea relativă.

4.2.7. Calculul aerului necesar

În instalațiile reale de ardere, contactul aer-combustibil este insuficient pentru a asigura o ardere completă cu aerul minim (teoretic), motiv pentru care este necesară asigurarea unei cantități suplimentare de aer. Se introduce *coeficientul de exces de aer* λ , definit ca raportul dintre volumul real de aer V_a introdus în incinta de ardere și volumul minim de aer umed necesar:

$$\lambda = \frac{V_a}{V_{\text{aer umed}}^0} \quad (4.51)$$

4.2.8. Calculul produșilor de ardere

Determinarea produșilor din gazele de ardere se face însumând cantitățile din membrul drept al ecuațiilor de ardere și elemente care nu participă la procesul de combustie. Calculul volumului unui component plecând de la masa acestuia raportată la kilogramul de combustibil se face scriind:

$$V = mv = m \frac{v}{M} \left[\frac{m_N^3}{\text{kg cb}} \right] \quad (4.52)$$

unde m este masa de component raportată la kilogramul de combustibil, iar n reprezintă numărul de kilomoli raportat la kilogramul de combustibil.

Schema din Fig. 4.1. poate servi drept ghid pentru identificarea componentelor care trebuie luate în calcul.

4.2.8.1. Gazele de ardere triatomice

Pentru a se obține volumul sau masa gazelor de ardere triatomice, se însumează valorile din membrul drept al ecuațiilor de ardere ale carbonului și sulfurii (gaze triatomice – notate generic RO_2).

- **volumul gazelor de ardere uscate** ($V_{RO_2}^0$): ecuațiile (4.13) și (4.41):

$$\begin{aligned} V_{RO_2}^0 &= V_{CO_2}^0 + V_{SO_2}^0 = 1,8678c + 0,7s = \\ &= 1,8678 \frac{C^i}{100} + 0,7 \frac{S^i}{100} = 0,018678C^i + 0,007S^i \left[\frac{m_N^3 RO_2}{\text{kg cb}} \right] \end{aligned} \quad (4.53)$$

- **masa gazelor de ardere uscate** ($m_{RO_2}^0$): ecuațiile (4.8) și (4.36):

$$\begin{aligned} m_{RO_2}^0 &= m_{CO_2}^0 + m_{SO_2}^0 = \\ &= 3,667c + 2s = 3,667 \frac{C^i}{100} + 2 \frac{S^i}{100} = \\ &= 0,03667C^i + 0,02S^i \left[\frac{\text{kg } RO_2}{\text{kg cb}} \right] \end{aligned} \quad (4.54)$$

4.2.8.2. Azotul teoretic din gazele de ardere

În urma arderii cu aerul minim, în gazele de ardere se va regăsi azotul provenit din aer (acesta nu participă la ardere) și cel provenit din compoziția combustibilului.

– **volumul teoretic de azot** ($V_{N_2}^{0,ga}$):

$$\begin{aligned} V_{N_2}^{0,ga} &= V_{N_2}^0 + V_{N_2}^{comb} = 0,79 V_a^0 + n v_{N_2} = \\ &= 0,79 V_a^0 + 0,8n = 0,79 V_a^0 + 0,8 \frac{N^i}{100} = \\ &= 0,79 V_a^0 + 0,008 N^i \left[\frac{m_N^3 N_2}{kg\ cb} \right] \end{aligned} \quad (4.55)$$

În ecuația (4.55), volumul azotului a fost calculat utilizând ecuația generală (4.52).

– **masa teoretică de azot** ($m_{N_2}^0$):

$$\begin{aligned} m_{N_2}^{0,ga} &= m_{N_2}^0 + m_{N_2}^{comb} = 0,768 m_a^0 + n = \\ &= 0,768 m_a^0 + \frac{N^i}{100} = 0,768 m_a^0 + 0,01 N^i \left[\frac{kg\ N_2}{kg\ cb} \right] \end{aligned} \quad (4.56)$$

În ecuația de mai sus s-a ținut cont că proporția masică a azotului în aerul uscat este de 0,768.

4.1.8.3. Volumul și masa teoretice de vapori de apă din gazele de ardere

Vaporii de apă aflați în gazele de ardere provin din următoarele surse:

- procesul de combustie a hidrogenului de constituție al combustibilului – ecuațiile (4.30) pentru volum, respectiv (4.25) pentru masă;
- umiditatea atmosferică – ecuația (4.47) pentru volum;
- umiditatea combustibilului – ecuația (4.52) pentru volum.

Însumând cele trei componente, rezultă volumul sau masa teoretice de

vapori:

- volumul teoretic de vapori de apă ($V_{H_2O}^0$):

$$\begin{aligned}
 V_{H_2O}^0 &= V_{H_2O}^{ardere} + V_{H_2O}^{aer\ umed} + V_{H_2O}^{umid\ cb} = \\
 &= 11,2h + 1,61x V_a^0 + 1,244w = \\
 &= 11,2 \frac{H^i}{100} + 1,61x V_a^0 + 1,244 \frac{W_t^i}{100} = \quad (4.57) \\
 &= 0,112H^i + 1,61x V_a^0 + 0,01244 W_t^i \left[\frac{m_N^3 H_2O}{kg\ cb} \right]
 \end{aligned}$$

- masa teoretică de vapori de apă ($m_{H_2O}^0$):

$$\begin{aligned}
 m_{H_2O}^0 &= m_{H_2O}^{ardere} + m_{H_2O}^{aer\ umed} + m_{H_2O}^{umid\ cb} = \\
 &= 9h + x m_a^0 + w = 9 \frac{H^i}{100} + x m_a^0 + \frac{W_t^i}{100} = \quad (4.58) \\
 &= 0,09H^i + x m_a^0 + 0,01 W_t^i \left[\frac{kg\ H_2O}{kg\ cb} \right]
 \end{aligned}$$

4.2.8.4. Volumul și masa teoretice de gaze de ardere uscate

Gazele de ardere uscate sunt alcătuite din gazele triatomice și azot.

- volumul teoretic de gaze de ardere uscate (V_{gu}^0) – ecuațiile (4.53) și (4.55):

$$\begin{aligned}
 V_{\text{gu}}^0 &= V_{\text{RO}_2}^0 + V_{\text{N}_2}^{0,\text{ga}} = \\
 &= 1,8678c + 0,7s + 0,79V_a^0 + 0,8n = \\
 &= 1,8678 \frac{C^i}{100} + 0,7 \frac{S^i}{100} + 0,79V_a^0 + 0,8 \frac{N^i}{100} = \quad (4.59) \\
 &= 0,018678C^i + 0,007S^i + 0,79V_a^0 + 0,008N^i \left[\frac{\text{m}_N^3 \text{ gu}}{\text{kg cb}} \right]
 \end{aligned}$$

- masa teoretică de gaze de ardere uscate (m_{gu}^0) – ecuațiile (4.54) și (4.56):

$$\begin{aligned}
 m_{\text{gu}}^0 &= m_{\text{RO}_2}^0 + m_{\text{N}_2}^{0,\text{ga}} = \\
 &= 3,667c + 2s + 0,768m_a^0 + n = \\
 &= 3,667 \frac{C^i}{100} + 2 \frac{S^i}{100} + 0,768m_a^0 + \frac{N^i}{100} = \quad (4.60) \\
 &= 0,03667C^i + 0,02S^i + 0,768m_a^0 + 0,01N^i \left[\frac{\text{kg gu}}{\text{kg cb}} \right]
 \end{aligned}$$

4.2.8.5. Volumul și masa teoretice ale gazelor de ardere

Cantitatea teoretică de gaze de ardere cuprinde gazele de ardere uscate și vaporii de apă.

- volumul teoretic al gazelor de ardere (V_{ga}^0) – ecuațiile (4.59) și (4.57):

$$\begin{aligned}
V_{ga}^0 &= V_{gu}^0 + V_{H_2O}^0 = \\
&= 1,8678c + 11,2h + 0,7s + 0,8n + (0,79 + 1,61x)V_a^0 + 1,244w = \\
&= 1,8678 \frac{C^i}{100} + 11,2 \frac{H^i}{100} + 0,7 \frac{S^i}{100} + 0,8 \frac{N^i}{100} + (0,79 + 1,61x)V_a^0 + 1,244 \frac{W_t^i}{100} = \\
&= 0,018678C^i + 0,112H^i + 0,007S^i + 0,008N^i + (0,79 + 1,61x)V_a^0 + 0,01244W_t^i \left[\frac{m_N^3 ga}{kg cb} \right]
\end{aligned} \tag{4.61}$$

– masa teoretică a gazelor de ardere (m_a^0) – ecuațiile (4.60) și (4.58):

$$\begin{aligned}
m_{ga}^0 &= m_{gu}^0 + m_{H_2O}^0 = \\
&= 3,667c + 9h + 2s + n + (0,768 + x)m_a^0 + w = \\
&= 3,667 \frac{C^i}{100} + 9 \frac{H^i}{100} + 2 \frac{S^i}{100} + \frac{N^i}{100} + (0,768 + x)m_a^0 + \frac{W_t^i}{100} = \\
&= 0,03667C^i + 0,09H^i + 0,02S^i + 0,01N^i + (0,768 + x)m_a^0 + 0,01W_t^i \left[\frac{kg ga}{kg cb} \right]
\end{aligned} \tag{4.62}$$

4.2.8.6. Volumul și masa reale ale gazelor de ardere uscate

Acestea cuprind gazele de ardere uscate teoretice și excesul de aer uscat.

– volumul real al gazelor de ardere uscate (V_{gu}):

$$\begin{aligned}
V_{gu} &= V_{gu}^0 + (\lambda - 1)V_a^0 = \\
&= 1,8678c + 0,7s + 0,8n + \lambda V_a^0 - V_{O_2}^0 = \\
&= 1,8678 \frac{C^i}{100} + 0,7 \frac{S^i}{100} + 0,8 \frac{N^i}{100} + \lambda V_a^0 - V_{O_2}^0 = \\
&= 0,018678C^i + 0,007S^i + 0,008N^i + \lambda V_a^0 - V_{O_2}^0 \left[\frac{m_N^3 gu}{kg cb} \right]
\end{aligned} \tag{4.63}$$

– masa reală a gazelor de ardere uscate (m_{gu}):

$$\begin{aligned}
 m_{gu} &= m_{gu}^0 + (\lambda - 1)m_a^0 = \\
 &= 3,667c + 2s + n + \lambda m_a^0 - m_{O_2}^0 = \\
 &= 3,667 \frac{C^i}{100} + 2 \frac{S^i}{100} + \frac{N^i}{100} + \lambda m_a^0 - m_{O_2}^0 = \\
 &= 0,03667C^i + 0,02S^i + 0,01N^i + \lambda m_a^0 - m_{O_2}^0 \left[\frac{\text{kg gu}}{\text{kg cb}} \right]
 \end{aligned} \tag{4.64}$$

4.2.8.7. Volumul și masa reale ale gazelor de ardere

Gazele de ardere cuprind cantitatea teoretică de gaze de ardere și excesul de aer umed.

– volumul real de gaze de ardere (V_{ga}):

$$\begin{aligned}
 V_{ga} &= V_{ga}^0 + (\lambda - 1)V_{aer\ umed}^0 = \\
 &= 1,8678c + 11,2h + 0,7s + 0,8n + 1,244w + \lambda V_{aer\ umed}^0 - V_{O_2}^0 = \\
 &= 1,8678 \frac{C^i}{100} + 11,2 \frac{H^i}{100} + 0,7 \frac{S^i}{100} + 0,8 \frac{N^i}{100} + 1,244 \frac{W_t^i}{100} + \lambda V_{aer\ umed}^0 - V_{O_2}^0 = \\
 &= 0,018678C^i + 0,112H^i + 0,007S^i + 0,008N^i + 0,01244W_t^i + \lambda V_{aer\ umed}^0 - V_{O_2}^0 \left[\frac{\text{m}^3_{N\ ga}}{\text{kg cb}} \right]
 \end{aligned} \tag{4.65}$$

– masa reală de gaze de ardere (m_{ga}):

$$\begin{aligned}
 m_{ga} &= m_{ga}^0 + (\lambda - 1)m_{aer\ umed}^0 = \\
 &= 3,667c + 9h + 2s + n + w + \lambda m_{aer\ umed}^0 - m_{O_2}^0 = \\
 &= 3,667 \frac{C^i}{100} + 9 \frac{H^i}{100} + 2 \frac{S^i}{100} + \frac{N^i}{100} + \frac{W_t^i}{100} + \lambda m_{aer\ umed}^0 - m_{O_2}^0 = \\
 &= 0,03667C^i + 0,09H^i + 0,02S^i + 0,01N^i + 0,01W_t^i + \lambda m_{aer\ umed}^0 - m_{O_2}^0 \left[\frac{\text{kg ga}}{\text{kg cb}} \right]
 \end{aligned} \tag{4.66}$$

4.3. CALCULUL ARDERII PENTRU COMBUSTIBILII GAZOȘI

Fie un combustibil gazos având compoziția procentuală generală:

$$\begin{aligned} & \text{CO}^i + \text{CO}_2^i + \text{H}_2^i + \text{H}_2\text{S}^i + \text{CH}_4^i + \sum (\text{C}_m\text{H}_n)^i + \\ & + \text{O}_2^i + \text{N}_2^i + \text{W}_t^i = 100 \% \end{aligned} \quad (4.67)$$

sau exprimată în fracții volumice (sau molare):

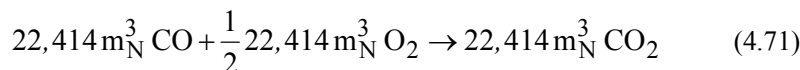
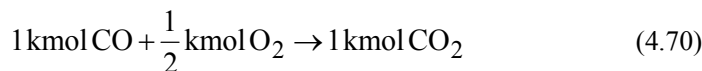
$$\begin{aligned} & (\text{co}) + (\text{co}_2) + (\text{h}_2) + (\text{h}_2\text{s}) + (\text{ch}_4) + \sum (\text{c}_m\text{h}_n) + \\ & + (\text{o}_2) + (\text{n}_2) + (\text{w}) = 1 \end{aligned} \quad (4.68)$$

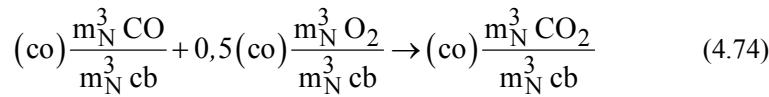
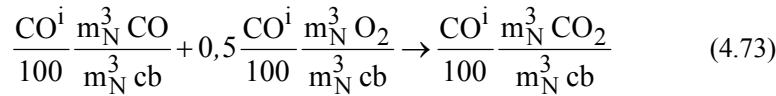
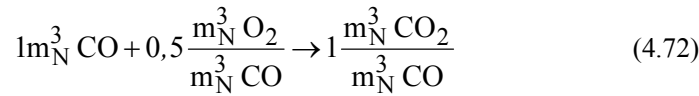
unde fracția volumică a fost notată cu formula chimică a componentului gazos între paranteze.

Calculule de ardere pentru combustibilii gazoși se fac prin raportare la metrul cub normal de combustibil.

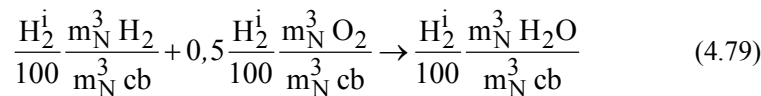
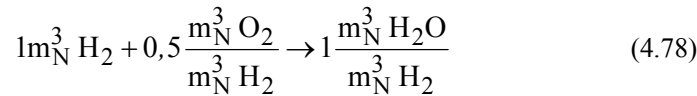
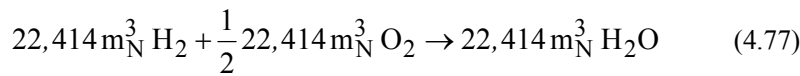
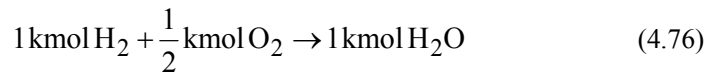
4.3.1. Arderea monoxidului de carbon

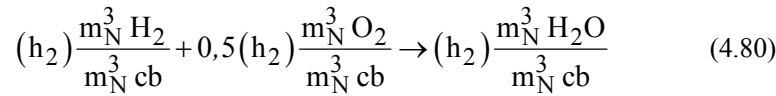
Ecuția de ardere a monoxidului de carbon este:



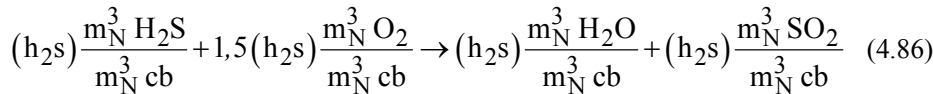
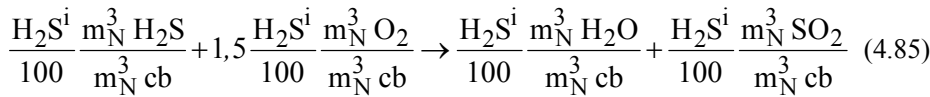
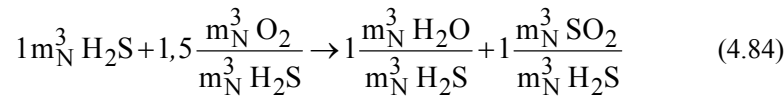
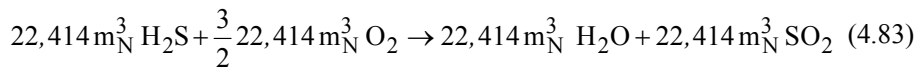
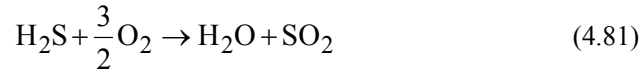


4.3.2. Arderea hidrogenului

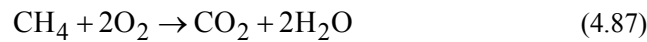


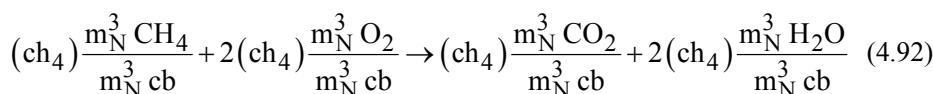
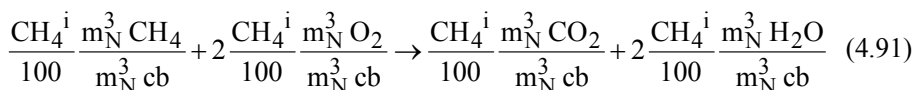
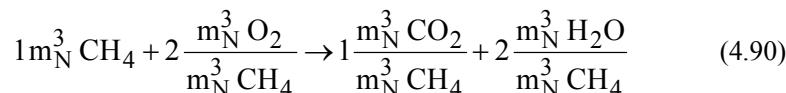
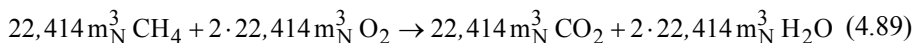
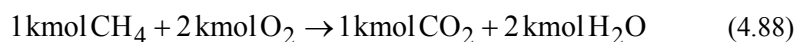


4.3.3. Arderea hidrogenului sulfurat

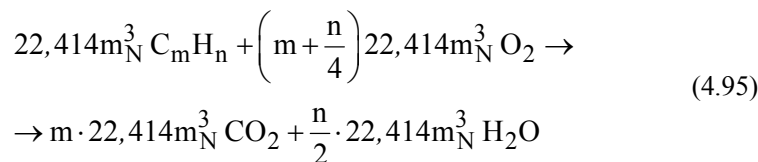
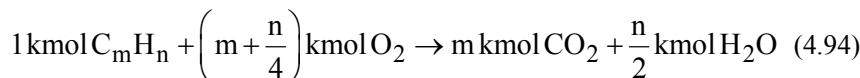
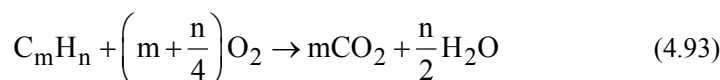


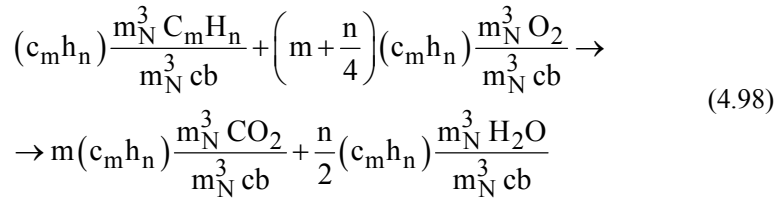
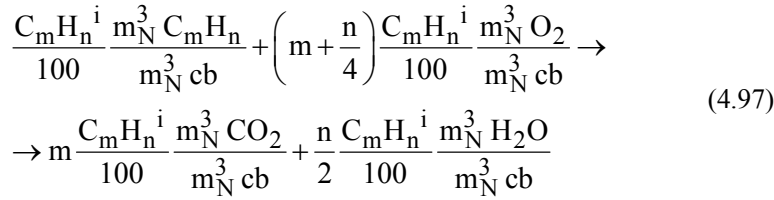
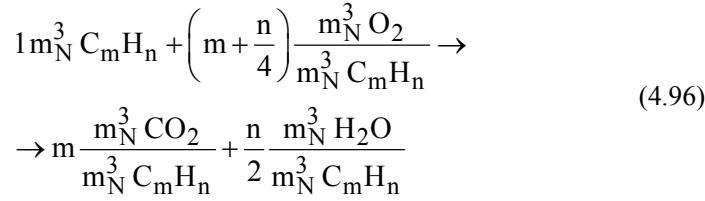
4.3.4. Arderea metanului





4.3.5. Arderea hidrocarburilor superioare





4.3.6. Oxigenul minim necesar

$$\begin{aligned}
 V_{O_2}^0 &= \frac{1}{100} \left[0,5 CO^i + 0,5 H_2^i + 1,5 H_2 S^i + 2 CH_4^i + \sum \left(m + \frac{n}{4}\right) C_m H_n^i - O_2^i \right] = \\
 &= 0,5 (co) + 0,5 (h_2) + 1,5 (h_2s) + 2 (ch_4) + \sum \left(m + \frac{n}{4}\right) (c_m h_n) - (o_2) \left[\frac{m_N^3 O_2}{m_N^3 cb} \right]
 \end{aligned} \tag{4.99}$$

4.3.7. Aerul uscat minim necesar

$$V_a^0 = \frac{V_{O_2}^0}{0,21} = \frac{1}{21} \left[0,5CO^i + 0,5H_2^i + 1,5H_2S^i + 2CH_4^i + \sum \left(m + \frac{n}{4} \right) C_m H_n^i - O_2^i \right] = \quad (4.100)$$

$$= \frac{1}{0,21} \left[0,5(co) + 0,5(h_2) + 1,5(h_2s) + 2(ch_4) + \sum \left(m + \frac{n}{4} \right) (c_m h_n) - (o_2) \right] \left[\frac{m_N^3 O_2}{m_N^3 cb} \right]$$

4.3.8. Aerul umed minim necesar

$$V_{aer\ umed}^0 = (1 + 1,61x) V_a^0 \left[\frac{m_N^3\ aer\ umed}{kg\ cb} \right] \quad (4.101)$$

4.3.9. Calculul produşilor de ardere

4.3.9.1. Volumul teoretic de gaze de ardere triatomice

Gazele de ardere triatomice provin din arderea oxidului de carbon, a hidrogenului sulfurat, a metanului și a hidrocarburilor superioare, al care se adaugă dioxidul de carbon existent în gazele de ardere.

$$V_{RO_2}^0 = \frac{1}{100} \left[CO^i + CO_2^i + H_2S^i + CH_4^i + \sum \left(m \cdot C_m H_n^i \right) \right] =$$

$$= (co) + (co_2) + (h_2s) + (ch_4) + \sum \left[m \cdot (c_m m_n) \right] \left[\frac{m_N^3 RO_2}{m_N^3 cb} \right] \quad (4.102)$$

4.3.9.2. Volumul teoretic de azot din gazele de ardere

Azotul din gazele de ardere provine din aerul uscat minim și din compoziția combustibilului.

$$V_{N_2}^0 = 0,79 \cdot V_a^0 + \frac{N_2^i}{100} = 0,79 \cdot V_a^0 + (n_2) \left[\frac{m_N^3 N_2}{m_N^3 cb} \right] \quad (4.103)$$

4.3.9.3. Volumul teoretic de gaze de ardere uscate

$$\begin{aligned}
 V_{\text{gu}}^0 &= V_{\text{RO}_2}^0 + V_{\text{N}_2}^0 = \frac{1}{100} \left[\text{CO}^i + \text{CO}_2^i + \text{H}_2\text{S}^i + \text{CH}_4^i + \text{N}_2^i + \right. \\
 &+ \left. \sum \left(m \cdot C_m \text{H}_n^i \right) \right] + 0,79 \cdot V_a^0 = \\
 &= (\text{co}) + (\text{co}_2) + (\text{h}_2\text{s}) + (\text{ch}_4) + (\text{n}_2) + \sum \left[m \cdot (c_m m_n) \right] + 0,79 \cdot V_a^0 \left[\frac{m_N^3 \text{ gu}}{m_N^3 \text{ cb}} \right]
 \end{aligned} \quad (4.104)$$

4.3.9.4. Volumul teoretic de vapori de apă din gazele de ardere

Vaporii de apă provin din arderea hidrogenului, a hidrogenului sulfurat, a metanului și a hidrocarburilor superioare, la care se adaugă vaporii prezenți în compoziția combustibilului și vaporii din umiditatea atmosferică.

$$\begin{aligned}
 V_{\text{H}_2\text{O}}^0 &= \frac{1}{100} \left[\text{H}_2^i + \text{H}_2\text{S}^i + 2\text{CH}_4^i + \text{W}_t^i + \sum \left(\frac{n}{2} \cdot C_m \text{H}_n^i \right) \right] + 1,61x V_a^0 = \\
 &= (\text{h}_2) + (\text{h}_2\text{s}) + 2(\text{ch}_4) + (\text{w}) + \sum \left[\frac{n}{2} \cdot (c_m m_n) \right] + 1,61x V_a^0 \left[\frac{m_N^3 \text{ H}_2\text{O}}{m_N^3 \text{ cb}} \right]
 \end{aligned} \quad (4.105)$$

4.3.9.5. Volumul teoretic al gazelor de ardere

$$\begin{aligned}
 V_{\text{ga}}^0 &= V_{\text{gu}}^0 + V_{\text{H}_2\text{O}}^0 = \\
 &= \frac{1}{100} \left[\text{CO}^i + \text{CO}_2^i + 2\text{H}_2\text{S}^i + 3\text{CH}_4^i + \text{N}_2^i + \text{H}_2^i + \text{W}_t^i \right. \\
 &+ \left. \sum \left(m + \frac{n}{2} \right) \cdot C_m \text{H}_n^i \right] + (0,79 + 1,61x) \cdot V_a^0 = \\
 &= (\text{co}) + (\text{co}_2) + 2(\text{h}_2\text{s}) + 3(\text{ch}_4) + (\text{n}_2) + (\text{h}_2) + (\text{w}) + \\
 &\sum \left(m + \frac{n}{2} \right) \cdot (c_m m_n) + (0,79 + 1,61x) \cdot V_a^0 \left[\frac{m_N^3 \text{ ga}}{m_N^3 \text{ cb}} \right]
 \end{aligned} \quad (4.106)$$

4.3.9.6. Volumul real al gazelor de ardere uscate

$$\begin{aligned}
 V_{gu} &= V_{gu}^0 + (\lambda - 1)V_a^0 = \\
 &= \frac{1}{100} \left[CO^i + CO_2^i + H_2S^i + CH_4^i + N_2^i + \sum (m \cdot C_m H_n^i) \right] + \lambda \cdot V_a^0 - V_{O_2}^0 = \\
 &= (co) + (co_2) + (h_2s) + (ch_4) + (n_2) + \sum [m \cdot (c_m h_n)] + \lambda \cdot V_a^0 - V_{O_2}^0 \left[\frac{m_N^3 O_2^{gu}}{m_N^3 cb} \right]
 \end{aligned} \tag{4.107}$$

4.3.9.7. Volumul real al gazelor de ardere

$$\begin{aligned}
 V_{ga} &= V_{ga}^0 + (\lambda - 1)V_{aer\ umed}^0 = \\
 &= \frac{1}{100} \left[CO^i + CO_2^i + 2H_2S^i + 3CH_4^i + N_2^i + H_2^i + W_t^i \right. \\
 &+ \left. \sum \left(m + \frac{n}{2} \right) \cdot C_m H_n^i \right] + \lambda \cdot V_{aer\ umed}^0 - V_{O_2}^0 = \\
 &= (co) + (co_2) + 2(h_2s) + 3(ch_4) + (n_2) + (h_2) + (w) + \\
 &\sum \left(m + \frac{n}{2} \right) \cdot (c_m m_n) + \lambda \cdot V_{aer\ umed}^0 - V_{O_2}^0 \left[\frac{m_N^3 ga}{m_N^3 cb} \right]
 \end{aligned} \tag{4.108}$$

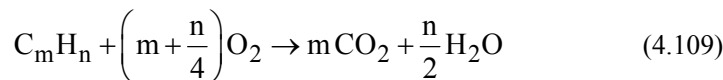
4.4. RAPORTUL AER-COMBUSTIBIL

Un amestec aer-combustibil în proporție stoichiometrică² are componentele astfel dozate încât teoretic³ arderea este completă, iar în produșii de ardere oxigenul lipsește.

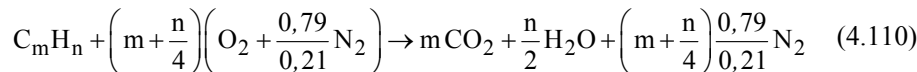
Fie ecuația de oxidare prin ardere a unei hidrocarburi:

² stoichiometrie – din gr. *stoikheion* = element + *metrein* = măsurare. Se ocupă cu stabilirea proporțiilor corecte ale reactanților și produșilor unei reacții chimice.

³ În instalațiile reale de ardere, chiar în condiții de proporții stoichiometrice, arderea poate fi incompletă din cauze legate de contactul imperfect aer-combustibil.



Arderea având loc în prezența aerului care conține oxigenul necesar, vom introduce în ecuație și componenta necombustibilă a aerului – și anume azotul – ținând cont de proporțiile volumice în care oxigenul și azotul se află în aerul uscat ($O_2 - 0,21$ respectiv $N_2 - 0,79$):



Proporțiile în care se află oxigenul și azotul în aerul uscat dau rapoartele:

a. *volumice* (21% O_2 , 79% N_2):

$$\frac{V_a}{V_{O_2}} = \frac{100}{21} = 4,76 \quad (4.111)$$

$$\frac{V_{N_2}}{V_{O_2}} = \frac{79}{21} = 3,76 \quad (4.112)$$

b. *masice* (23,2% O_2 , 76,8% N_2):

$$\frac{m_a}{m_{O_2}} = \frac{100}{23,2} = 4,31 \quad (4.113)$$

$$\frac{m_{N_2}}{m_{O_2}} = \frac{76,8}{23,2} = 3,31 \quad (4.114)$$

Definiție

Se numește **raport aer-combustibil** (notat ϵ sau *RAC*), raportul dintre volumul sau masa de aer de ardere și volumul respectiv masa combustibilului care arde.

Pentru cazul ecuației (4.110), avem:

– **raportul volumic aer-combustibil** (ε_v sau RAC_v):

$$\varepsilon_v = \frac{V_a}{V_{cb}} = \frac{\left(m + \frac{n}{4}\right) \left(1 + \frac{0,79}{0,21}\right)}{1} = \left(m + \frac{n}{4}\right) (1 + 3,76)$$

deci:

$$\varepsilon_v = 4,76 \left(m + \frac{n}{4}\right) \quad (4.115)$$

deoarece la un volum de aer corespund 4,76 volume de O_2 , iar un volum de combustibil se combină prin ardere completă cu $\left(m + \frac{n}{4}\right)$ volume de aer.

– **raportul masic aer-combustibil** (ε_m sau RAC_m):

$$\varepsilon_m = \frac{m_a}{m_{cb}} = \frac{\left(m + \frac{n}{4}\right) \left(M_{O_2} + \frac{0,79}{0,21} M_{N_2}\right)}{M_{cb}} = \left(m + \frac{n}{4}\right) \frac{(32 + 3,76 \cdot 28)}{m \cdot 12 + n \cdot 1}$$

și atunci:

$$\varepsilon_m = \left(m + \frac{n}{4}\right) \frac{137,28}{m \cdot 12 + n \cdot 1} \quad (4.116)$$

4.5. RAPORTUL COMBUSTIBIL-AER

Definiție

Se numește **raport combustibil - aer** (notat RCA), raportul dintre volumul sau masa combustibilului care arde și volumul respectiv masa de aer de ardere.

Pentru cazul particular al ecuației (4.110), avem:

- **raportul volumic combustibil-aer** (RCA_v):

$$RCA_v = \frac{V_{cb}}{V_a} = \frac{1}{\varepsilon_s} = \frac{1}{4,76 \left(m + \frac{n}{4} \right)} \quad (4.117)$$

- **raportul masic combustibil-aer** (RCA_m):

$$RCA_m = \frac{m_{cb}}{m_a} = \frac{1}{\varepsilon_{s,m}} = \frac{m \cdot 12 + n \cdot 1}{137,28 \left(m + \frac{n}{4} \right)} \quad (4.118)$$

Raportul de echivalență al unui amestec combustibil-aer (ϕ) se obține împărțind raportul combustibil-aer real la cel stoechiometric:

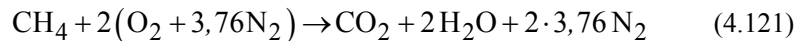
$$\phi = \frac{RCA_{v,r}}{RCA_{v,s}} = \frac{RCA_{m,r}}{RCA_{m,s}} \quad (4.119)$$

Procentul de exces de aer (EA) este raportul procentual dintre aerul în exces și aerul stoechiometric exprimate în termeni de raport aer-combustibil:

$$EA = \frac{\varepsilon_r - \varepsilon_s}{\varepsilon_s} \cdot 100 = \frac{100}{\phi} - 100 = \frac{1 - \phi}{\phi} \cdot 100 \quad [\%] \quad (4.120)$$

Până în momentul de față, specialiștii în ardere nu s-au pus de acord asupra căruia dintre rapoartele de mai sus să se oprească atunci când caracterizează un proces de ardere. Datorită caracterului său intuitiv mai evident, raportul aer-combustibil ε este preferat de comunitatea academică. Cercetătorii din domeniul combustiei sunt adepții raportului de echivalență ϕ . Persoanele cu experiență îndelungată în domeniul arderii preferă procentul de exces de aer EA.

Pentru a exemplifica noțiunile prezentate mai sus, să considerăm cazul particular al arderii metanului (CH_4 : $m = 1$, $n = 4$), ecuația (4.110) devine:



$$\text{Atunci } M_{\text{CH}_4} = 1 \cdot 12 + 4 \cdot 1 = 16 \frac{\text{kg}}{\text{kmol}} \text{ și deci:}$$

$$\varepsilon_v = 4,76 \cdot 2 = 9,52 \quad (4.122)$$

$$\varepsilon_m = \frac{137,28 \cdot 2}{16} = 17,167 \quad (4.123)$$

$$\text{RCA}_v = \frac{1}{\varepsilon_v} = \frac{1}{9,52} = 0,105 \quad (4.124)$$

$$\text{RCA}_m = \frac{1}{\varepsilon_m} = \frac{1}{17,167} = 0,058 \quad (4.125)$$

4.6. ARDEREA CU EXCES SAU CU DEFICIT DE AER

În Tabelul 4.2. sunt cuprinse proporțiile stoechiometrice pentru diverși combustibili.

Tab. 4.2. Proporții stoechiometrice pentru combustibilii uzuali (adaptat după [31])

Combustibilul	$\frac{m^3_{\text{N}} \text{O}_2}{m^3_{\text{N}} \text{cb}}$	$\frac{m^3_{\text{N}} \text{ aer}}{m^3_{\text{N}} \text{ cb}}$	$\frac{\text{kg O}_2}{\text{kg cb}}$	$\frac{\text{kg aer}}{\text{kg cb}}$	$\frac{m^3_{\text{N}} \text{ O}_2}{\text{kg cb}}$	$\frac{m^3_{\text{N}} \text{ aer}}{\text{kg cb}}$
Acetilenă C ₂ H ₂	2,50	11,9	3,08	13,3	2,28	10,8
Benzen C ₆ H ₆	7,50	35,7	3,08	13,3	2,28	10,8
Butan C ₄ H ₁₀	6,50	31,0	3,59	15,5	2,65	12,6
Carbon C	–	–	2,67	11,5	1,97	9,39
Cărbune (valori medii)	–	–	2,27	9,8	1,68	7,96
Etan C ₂ H ₆	3,50	16,7	3,73	16,1	2,76	13,1
Hidrogen H ₂	0,50	2,38	8,0	34,5	5,92	28,2
Hidrogen sulfurat H ₂ S	1,50	7,15	1,41	6,08	1,04	4,97
Metan CH ₄	2,00	9,52	4,00	17,16	2,96	14,1
Monoxid de carbon CO	0,50	2,38	0,57	2,46	0,422	2,01
Naftalen C ₁₀ H ₈	–	–	3,0	12,9	2,22	10,6

Tab. 4.2. – continuare

Combustibilul		$\frac{m^3_{N} O_2}{m^3_{N} cb}$	$\frac{m^3_{N} aer}{m^3_{N} cb}$	$\frac{kg O_2}{kg cb}$	$\frac{kg aer}{kg cb}$	$\frac{m^3_{N} O_2}{kg cb}$	$\frac{m^3_{N} aer}{kg cb}$
Octan	C_8H_{18}	–	–	3,51	15,1	2,6	12,4
Propan	C_3H_8	5,0	23,8	3,64	15,7	2,69	12,8
Propilenă	C_3H_6	4,5	21,4	3,43	14,8	2,54	12,1
Sulf	S	–	–	1,0	4,31	0,74	3,52

Chiar la proporții stoichiometrice, căldura utilă este diminuată de prezența azotului din aer, care „absoarbe” o parte din această căldură. De aceea, combustia cu aer îmbogățit în oxigen (numită și ox-combustie) este una din tehnicile utilizate pentru a crește temperatura gazelor de ardere.

Pentru a ilustra impactul deficitului sau excesului de aer asupra căldurii utile, Fig. 4.2., (adaptată după [31]), prezintă variația acesteia cu variația procentului de aer în raport cu proporția stoichiometrică. Explicația faptului că, odată cu creșterea temperaturii gazelor de ardere, căldura utilă scade, se explică prin aceea că la temperaturi înalte își face apariția fenomenul de disociere, care consumă o parte din căldura disponibilă.

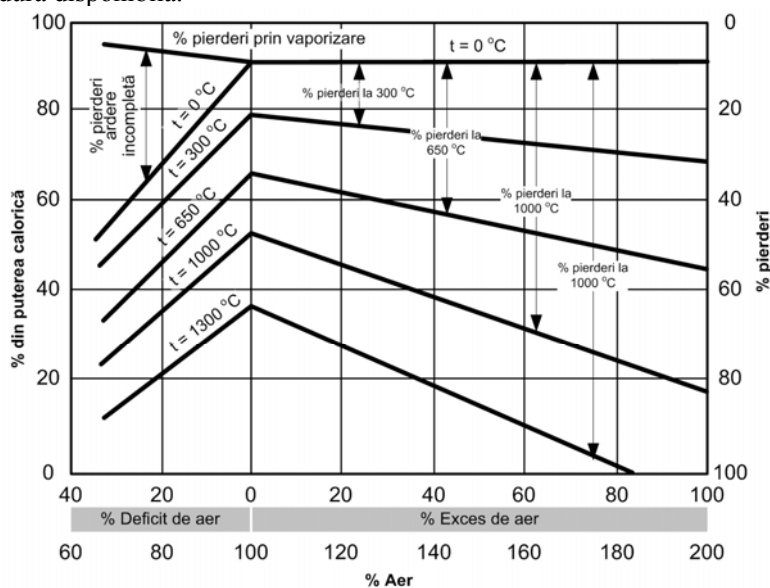
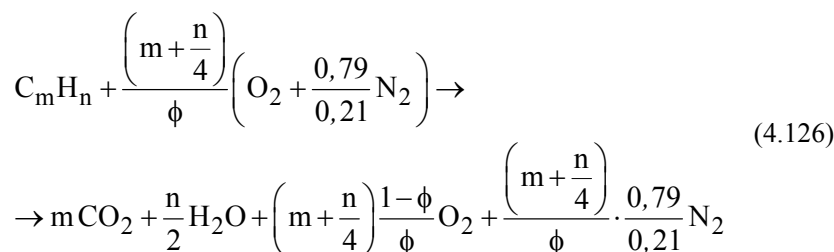


Fig. 4.2. Pierderi procentuale din căldura utilă la arderea cu deficit și cu exces de aer

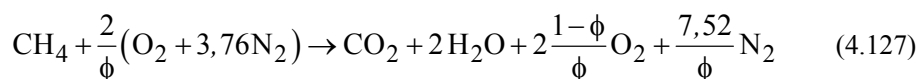
Amestecurile non-stoechiometrice se împart în *amestecuri cu exces de aer* sau *sărace* ($\phi < 1$) și *amestecuri cu deficit de aer*, sau *bogate*⁴ ($\phi > 1$).

a. amestecuri cu exces de aer (sărace)

Aceste amestecuri sunt caracterizate prin $\varepsilon > 1$, $RCA < 1$, sau $\phi < 1$. Datorită excesului de aer, în gazele de ardere se va afla oxigen. Ecuația generală de ardere a unei hidrocarburi (4.110) se scrie în acest caz:

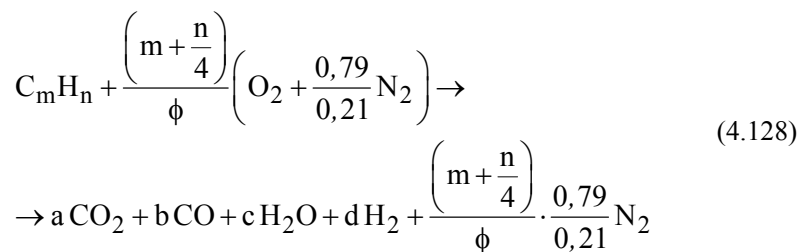


Pentru cazul particular exemplificat (arderea metanului), ecuația de mai sus se scrie:



b. amestecuri cu deficit de aer (bogate)

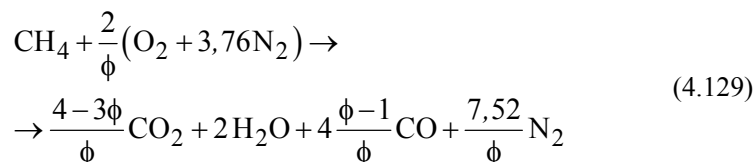
Caracteristicile amestecurilor cu deficit de aer sunt $\varepsilon < 1$, $RCA > 1$, sau $\phi > 1$. Datorită deficitului de aer, în gazele de ardere se vor găsi produși ai arderii incomplete. Ecuația generală de ardere a unei hidrocarburi (4.110) devine:



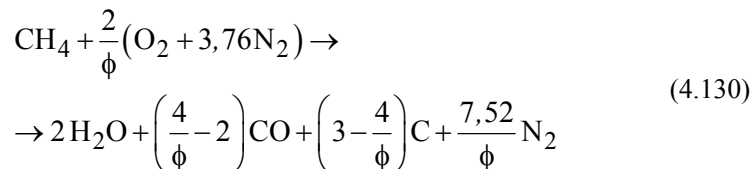
⁴ Termenii “sărac” sau “bogat” sunt formulări prescurtate pentru “sărac în combustibil”, respectiv “bogat în combustibil”.

unde a , b , c , și d sunt coeficienți ce trebuie determinați. Deoarece sunt mai multe necunoscute decât ecuații, acești coeficienți se determină pe baza calculelor de echilibru al reacțiilor chimice.

Considerăm din nou exemplul arderii metanului. Pentru a se elimina inconvenientul numărului mare de necunoscute, se face ipoteza combinării preferențiale a hidrogenului cu oxigenul. Astfel, carbonul rămâne în deficit de oxigen și atunci arderea acestuia se oprește la stadiul de monoxid de carbon. În realitate, disocierea moleculelor de apă rezultate din arderea hidrogenului produce molecule de oxigen care se combină cu carbonul sau cu monoxidul de carbon, rezultând atât CO, cât și CO₂. Ecuația de ardere a metanului se scrie:



Se observă că ecuația (4.129) este valabilă doar pentru $\phi < 4/3$, altfel cantitatea de CO₂ devine negativă. Pentru $\phi > 4/3$ (amestecuri cu mare deficit de oxigen), în producția de ardere apare carbonul liber (sub formă de funingine), iar dioxidul de carbon nu se mai formează:



În instalațiile de ardere reale, se poate produce CO chiar și la exces de aer, atunci când fie amestecarea dintre aer și combustibil este slabă, apărând zone cu deficit local de aer, fie când flacăra spală suprafețe reci și astfel reacția de oxidare se oprește la stadii intermediare.

CAPITOLUL 5.

ELEMENTE DE CINETICĂ CHIMICĂ

5.1. INTRODUCERE

Termenul „cinetică¹” este utilizat în științele naturii pentru a desemna dependența de timp a unui fenomen. Cinetica chimică este o ramură a chimiei care studiază modificarea în timp a concentrațiilor participanților la reacție. Cu alte cuvinte, această ramură a chimiei studiază viteza de desfășurare a unei reacții chimice și factorii care influențează această viteză. Obiectul său de studiu îl constituie procesele chimice de transformare a reactanților în produși, ținând cont de faptul că aceste procese decurg în timp, fiind rezultatul unor mecanisme specifice. Scopul urmărit este acela de a cunoaște în profunzime aceste mecanisme, astfel încât să putem prezice și controla viteza de reacție.

Drept urmare, putem afirma că cinetica chimică studiază:

- reacția, viteza de reacție, modificarea acesteia, relația dintre viteza de reacție și concentrația reactanților;
- influența diversilor parametri cum ar fi temperatura, presiunea, starea de agregare a reactanților și produșilor;
- metodele și tehnicile de control al reacției (de exemplu cataliza);
- mecanismul reacției: care sunt etapele și compușii intermediari, pe ce căi (drumuri) are loc transformarea reactanților în produși, ce factori influențează compoziția produșilor.

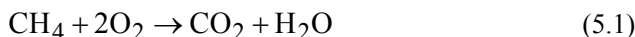
Cinetica chimică vine să completeze Principiul II al termodinamicii prin aceea că introduce factorul timp în desfășurarea proceselor. Termodinamica, prin Principiul II, ne spune ce direcție va lua o reacție chimică atunci când sunt întrunite anumite condiții de presiune și temperatură, iar cinetica ne permite să prevedem viteza de desfășurare a reacției, deci durata acesteia până ce se atinge echilibrul. Principiul II ne dă săgeata timpului, iar cinetica chimică ne dă chiar timpul din punct de vedere cantitativ.

O reacție chimică are loc atunci când moleculele de specii diferite se ciocnesc. În urma unora dintre aceste ciocniri se formează noi molecule: moleculele reactanților se „sparg” în atomi sau radicali, care se unesc apoi cu alți atomi sau radicali, formând noi molecule (produși). Pentru ca „spargerea” să poată avea loc, moleculele trebuie să aibă suficientă energie cinetică. Această energie se numește *energie de activare*. Prin spargerea moleculelor de reactanți, se eliberează energia de legătură, care este diferită de energia ce se consumă pentru formarea noilor legături ale moleculelor de produși, ceea ce explică efectul termic al reacției chimice.

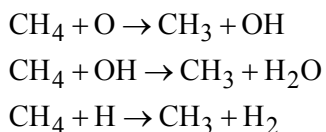
Reacțiile chimice pe care le scriem sunt ecuații globale, care maschează

¹ Din gr. *kinetos* = mișcare, deci evoluție.

mecanismele proceselor chimice reale. Spre exemplu, reacția de ardere a metanului:



este doar rezultatul final al unui șir de *reacții elementare*, în care molecula de metan se sparge parțial prin ruperea unei singure sau a mai multor legături carbon-hidrogen. Se pot scrie astfel trei ecuații pentru reacțiile elementare de rupere a unei singure legături:



Reacțiile elementare de mai sus se explică prin aceea că interacțiunile prin ciocnire între molecule nu au întotdeauna suficientă energie pentru a realiza ruperea tuturor celor 4 legături, ci doar a trei, două sau una. Astfel, procesul real este format din sute de mii de reacții elementare, în urma cărora se formează o multitudine de specii.

5.2. VITEZA REACȚIEI

În timpul reacției, unele specii (reactanții) dispar, în timp ce altele apar (produșii). Aceasta înseamnă că, pentru o specie dată, concentrația acesteia variază încontinuu: scade, dacă este vorba de un reactant, respectiv crește, dacă este vorba de un produs. Viteza de desfășurare a unei reacții chimice reprezintă deci modificarea în timp a concentrației unei specii.

Fie, spre exemplu, reacția bimoleculară:



Conform ecuației (5.2), o moleculă din reactantul (specia) *A* reacționează cu o moleculă din reactantul (specia) *B*, rezultând câte o moleculă din speciile (produșii) *C* și *D*. De fapt, mecanismul este mult mai complicat decât apare din scrierea reacției de mai sus. Prin ciocnirea moleculelor din speciile *A* și *B*, rezultă un așa-numit *complex activat* AB^* care apoi se poate comporta în două feluri: fie formează produșii *C* și *D*, fie revine în starea inițială (*A* și *B*). Odată însă ce începe formarea de produși, concentrațiile (notate mai departe între paranteze pătrate) se

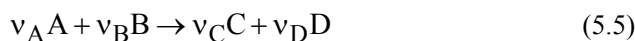
modifică în timp, astfel încât se poate defini viteza de reacție V ca:

$$V = \frac{d[\]}{d\tau} \left[\frac{\text{kmol}}{\text{m}^3 \text{ s}} \right] \quad (5.3)$$

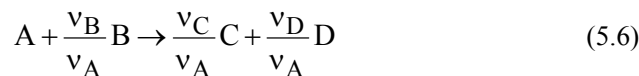
Viteza reacției nu este constantă, ci se modifică în timp, datorită modului neliniar de variație a concentrației. Vitezele de reacție ale reactanților sunt negative, deoarece concentrațiile acestora scad, iar cele ale produșilor sunt pozitive, deoarece concentrațiile acestora cresc. Astfel putem scrie:

$$V = -\frac{d[A]}{d\tau} = -\frac{d[B]}{d\tau} = \frac{d[C]}{d\tau} = \frac{d[D]}{d\tau} \quad (5.4)$$

În reacția (5.2) coeficienții stoechiometrici sunt unitari. Expresiile vitezei reacției se modifică dacă coeficienții stoechiometrici sunt diferiți de 1. Fie reacția:



cu v_A , v_B , v_C și v_D diferiți de 1. Datorită coeficienților stoechiometrici, viteza reacției în raport cu fiecare specie va fi diferită. Pentru a obține o viteză unică în raport cu toți participanții la reacție, procedăm astfel: împărțim ecuația (5.5) prin v_A și obținem:



Mai departe, raționăm după cum urmează:

- în mărime absolută, viteza de variație a concentrației reactantului B este de $\frac{v_B}{v_A}$ ori mai mare decât cea a lui A :

$$\frac{d[B]}{d\tau} = \frac{v_B}{v_A} \frac{d[A]}{d\tau} \Rightarrow \frac{1}{v_A} \frac{d[A]}{d\tau} = \frac{1}{v_B} \frac{d[B]}{d\tau} \quad (5.7)$$

- viteza de variație a concentrației produsului C este de $\frac{v_C}{v_A}$ ori mai mare decât cea a lui A :

$$\frac{d[C]}{d\tau} = \frac{v_C}{v_A} \frac{d[A]}{d\tau} \Rightarrow \frac{1}{v_A} \frac{d[A]}{d\tau} = \frac{1}{v_C} \frac{d[C]}{d\tau} \quad (5.8)$$

- în mod similar, pentru produsul D :

$$\frac{d[D]}{d\tau} = \frac{v_D}{v_A} \frac{d[A]}{d\tau} \Rightarrow \frac{1}{v_A} \frac{d[A]}{d\tau} = \frac{1}{v_D} \frac{d[D]}{d\tau} \quad (5.9)$$

Din ecuațiile (5.7), (5.8) și (5.9) rezultă deci că viteza reacției se scrie în acest caz:

$$V = \frac{1}{v_A} \frac{d[A]}{d\tau} = \frac{1}{v_B} \frac{d[B]}{d\tau} = \frac{1}{v_C} \frac{d[C]}{d\tau} = \frac{1}{v_D} \frac{d[D]}{d\tau} \quad (5.10)$$

unde, pentru a se obține peste tot o valoare pozitivă, valorile coeficienților stoechiometrici ai reactanților se iau negative.

5.3. LEGEA ACȚIUNII MASELOR ȘI VITEZA REACȚIEI CHIMICE

Reacțiile chimice sunt reversibile, în sensul că ele pot avea loc în ambele sensuri, și în realitate chiar așa se întâmplă: o reacție tip (5.2) are loc simultan de la dreapta la stânga și de la stânga la dreapta. Reactanții A și B dau producții C și D , dar și aceștia din urmă reacționează, dând producții A și B . Vom scrie atunci:



Pentru reacția directă (de la stânga la dreapta), viteza reacției este rezultatul ciocnirilor „reușite” adică acele ciocniri dintre moleculele de speciile A și B , care au drept consecință formarea compușilor C și D . Aceste ciocniri se mai numesc și *eficace*. Doar o anumită proporție din numărul total de ciocniri reprezintă ciocnirile

eficace, motiv pentru care marea majoritate a reacțiilor chimice nu se declanșează spontan și nu decurg cu viteză foarte mare. Un calcul simplu ne arată că viteza de reacție este proporțională cu produsul dintre numărul de molecule ale substanței A și cel al substanței B . Cum aceste numere sunt proporționale cu concentrațiile celor două substanțe, atunci putem scrie următoarea relație pentru viteza reacției directe:

$$V_{\rightarrow} = k_{\rightarrow} [A]^{V_A} [B]^{V_B} \quad (5.12)$$

unde k_{\rightarrow} se numește *constanta de viteză*, sau *viteza specifică* și depinde în principal de temperatură și de substanțele implicate. Constanta de viteză se determină experimental.

În cazul reacției inverse (de la dreapta la stânga), moleculele produșilor C și D se ciocnesc, unele desfăcându-se în moleculele inițiale (ale reactanților A și B). Pe baza unui raționament similar, vom scrie expresia vitezei reacției inverse ca fiind proporțională cu concentrațiile produșilor:

$$V_{\leftarrow} = k_{\leftarrow} [C]^{V_C} [D]^{V_D} \quad (5.13)$$

Constanta de viteză k depinde de temperatură, respectând **legea lui Arrhenius**:

$$k(T) = A_k e^{-\frac{E_a}{RT}} \quad (5.14)$$

unde A_k este un coeficient și E_a este energia de activare, ambele determinate experimental, iar R este constanta universală a gazelor perfecte.

Cât timp reacția evoluează (avansează), cele două viteze sunt diferite: viteza reacției directe este mai mare decât cea a reacției inverse și predomină generarea de produși (ale căror concentrații cresc), în timp ce reactanții se consumă, concentrațiile acestora scăzând. Se atinge însă un stadiu al reacției în care cele două fenomene contradictorii se contrabalansează: consumul de reactanți devine egal cu generarea de produși. Se spune că reacția a ajuns la **echilibru**. La echilibru, cele două viteze de reacție sunt egale:

$$V_{\rightarrow} = V_{\leftarrow} \Rightarrow k_{\rightarrow} [A]^{V_A} [B]^{V_B} = k_{\leftarrow} [C]^{V_C} [D]^{V_D} \quad (5.15)$$

Se introduce *constanta de echilibru* K a reacției, ca raport dintre constantele de viteză:

$$K = \frac{k_{\rightarrow}}{k_{\leftarrow}} = \frac{[C]^{v_C} [D]^{v_D}}{[A]^{v_A} [B]^{v_B}} \quad (5.16)$$

Ecuția (5.16) reprezintă **legea acțiunii maselor**, al cărei enunț este următorul:

Pentru o reacție la echilibru, raportul dintre produsul concentrațiilor produșilor de reacție și produsul concentrațiilor reactanților este o constantă

Constanta de echilibru depinde de temperatură și de presiune.

Dacă reacția are loc în fază gazoasă, atunci expresia constantei de echilibru devine:

$$K = \frac{y_C^{v_C} y_D^{v_D}}{y_A^{v_A} y_B^{v_B}} \cdot \left(\frac{p}{p_{\text{ref}}} \right)^{v_C + v_D - v_A - v_B} = \frac{n_C^{v_C} n_D^{v_D}}{n_A^{v_A} n_B^{v_B}} \cdot \left(\frac{p}{n} \right)^{v_C + v_D - v_A - v_B} \quad (5.17)$$

unde:

y_i – fracțiile molare ale speciilor în raport cu amestecul la echilibru;

n_i – numărul de kilomoli al speciei i :

$$n = n_A + n_B + n_C + n_D \quad (5.18)$$

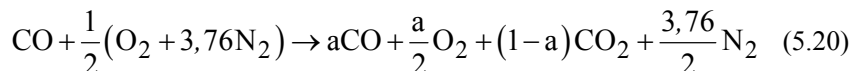
p – presiunea la care are loc reacția;

p_{ref} – presiunea de referință

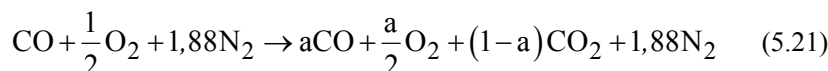
Următorul exemplu este edificator. Fie ecuația de ardere a monoxidului de carbon:



Ecuția de mai sus este pentru cazul ideal al transformării complete a reactanților în produsul reacției. În realitate, reacția se oprește într-un stadiu intermediar, în care produșii sunt CO_2 , CO și O_2 . Scriem reacția, presupunând în plus că arderea are loc în prezența aerului, și nu cu oxigen pur:



sau:



În ecuația (5.21), a reprezintă numărul de kilomoli de monoxid de carbon prezenți în produșii de ardere. Numărul total n de kilomoli de produși de reacție este:

$$n = a + \frac{a}{2} + (1-a) + 1,88 = \frac{5,76 + a}{2} \quad (5.22)$$

În momentul în care se stabilește echilibrul, dioxidul de carbon este în echilibru cu oxigenul și monoxidul de carbon:



și atunci cu numerele de kilomoli din reacția globală (5.21) și cu coeficienții stoechiometrici din ecuația (5.23), constanta de echilibru a reacției de ardere se calculează aplicând ecuația (5.17):

$$K = \frac{n_{\text{CO}}^{v_{\text{CO}}} n_{\text{O}_2}^{v_{\text{O}_2}}}{n_{\text{CO}_2}^{v_{\text{CO}_2}}} \cdot \left(\frac{p}{p_{\text{ref}}} \right)^{v_{\text{CO}} + v_{\text{O}_2} - v_{\text{CO}_2}} = \frac{a \left(\frac{a}{2} \right)^{\frac{1}{2}}}{1 - a} \cdot \left(\frac{p}{\frac{p_{\text{ref}}}{5,76 + a}} \right)^{\frac{1}{2}} \quad (5.24)$$

Din ecuația (5.24) se poate determina numărul de kilomoli a și deci proporțiile substanțelor care corespund echilibrului reacției, dacă se cunoaște valoarea constantei de echilibru. Pentru aceasta, s-au întocmit tabele cu logaritmiile constantei K pentru diverse temperaturi (vezi Tab. 5.1.).

Constanta de echilibru se mai poate calcula funcție de temperatură, utilizând ecuații empirice. Tabelul 5.2., adaptat după [5], prezintă datele privitoare la cele mai des întâlnite reacții în domeniul arderii. În tabel sunt cuprinse ecuațiile empirice pentru constanta de viteză k și pentru constanta de echilibru K , precum și valorile pentru ΔH_{298} și pentru ΔS_{298} .

Tab. 5.1. Logaritmi naturali ai constantei de echilibru la presiunea de 1 MPa (după [38])

Temp. K	$H_2 \rightleftharpoons 2H$	$O_2 \rightleftharpoons 2O$	$N_2 \rightleftharpoons 2N$	$2H_2O \rightleftharpoons 2H_2 + O_2$	$2H_2O \rightleftharpoons H_2 + 2OH$	$2CO_2 \rightleftharpoons 2CO + O_2$	$N_2 + O_2 \rightleftharpoons 2NO$
500	-92.827	-105.630	-213.372	-105.382	-120.562	-115.232	-40.590
1000	-39.803	-45.150	-99.127	-46.326	-52.068	-47.058	-18.776
1200	-30.874	-35.005	-80.011	-36.364	-40.566	-35.742	-15.138
1400	-24.463	-27.742	-66.329	-29.218	-32.198	-27.684	-12.540
1600	-19.637	-22.285	-56.055	-23.842	-26.132	-21.660	-10.588
1800	-15.866	-18.030	-48.051	-19.652	-21.314	-16.994	-9.072
2000	-12.840	-14.622	-41.645	-16.290	-17.456	-13.270	-7.862
2200	-10.353	-11.827	-36.391	-13.536	-14.296	-10.240	-6.866
2400	-8.276	-9.497	-32.011	-11.238	-11.664	-7.720	-6.038
2600	-6.517	-7.521	-28.304	-9.296	-9.438	-5.602	-5.342
2800	-5.002	-5.826	-25.117	-7.624	-7.526	-3.788	-4.742
3000	-3.685	-4.357	-22.359	-6.172	-5.874	-2.222	-4.228
3200	-2.534	-3.072	-19.937	-4.902	-4.424	-0.858	-3.776
3400	-1.516	-1.935	-17.800	-3.782	-3.152	0.338	-3.380
3600	-0.609	-0.926	-15.898	-2.784	-2.176	1.402	-3.026
3800	0.202	-0.019	-14.199	-1.890	-1.002	2.352	-2.712
4000	0.934	0.796	-12.660	-1.084	-0.088	3.198	-2.432
4500	2.486	2.513	-9.414	0.624	1.840	4.980	-1.842
5000	3.725	3.895	-6.807	1.992	3.378	6.394	-1.372
5500	4.743	5.023	-4.666	3.120	4.636	7.542	-0.994
6000	5.590	5.963	-2.865	4.064	5.686	8.490	-0.682

Tab. 5.2. Reacții frecvent întâlnite în domeniul arderii

Reacția	k $\left[\frac{\text{cm}^3}{\text{molecule} \cdot \text{s}} \right]$	Interval de tempe- ratură [K]	K (T = 300...5000 K)	ΔH_{298} $\left[\frac{\text{kJ}}{\text{mol}} \right]$	ΔS_{298} $\left[\frac{\text{J}}{\text{mol} \cdot \text{K}} \right]$
REACTII BIMOLECULARE					
O + H ₂ → OH + H	$6,34 \cdot 10^{-12} \cdot \exp(-400/T) +$ $+1,46 \cdot 10^{-9} \cdot \exp(-9650/T)$	298...3300	$1,87 \cdot T^{0,023} \cdot \exp(-694/T)$	5,90	6,69
O + OH → O ₂ + H	$2,0 \cdot 10^{-10} \cdot T^{-0,352} \cdot \exp(113/T)$	250...3000	$3,48 \cdot 10^{-3} \cdot T^{0,367} \cdot \exp(8390/T)$	-68,29	-25,04
O + N ₂ → NO + N	$3,0 \cdot 10^{-10} \cdot \exp(-38400/T)$	1700...4000	$1,93 \cdot T^{0,093} \cdot \exp(-37700/T)$	313,8	11,2
O + NO → O ₂ + N	$1,14 \cdot 10^{-15} \cdot T^{1,13} \cdot \exp(-19200/T)$	1500...5000	$8,13 \cdot 10^{-2} \cdot T^{0,117} \cdot \exp(-15950/T)$	133,2	-13,37
O + N ₂ O → 2NO	$1,5 \cdot 10^{-10} \cdot \exp(-13930/T)$	1000...4000	$5,9 \cdot 10^4 \cdot T^{-0,883} \cdot \exp(17790/T)$	-150,6	40,4
O + N ₂ O → O ₂ + N ₂	$6,1 \cdot 10^{-12} \cdot \exp(-8020/T)$	1000...2500	$2,48 \cdot 10^3 \cdot T^{-0,865} \cdot \exp(39540/T)$	-331,2	15,7
O + NH ₃ → OH + NH ₂	$2,7 \cdot 10^{-17} \cdot T^{1,35} \cdot \exp(-3250/T)$	300...2000	$6,47 \cdot 10^2 \cdot T^{-0,446} \cdot \exp(-3120/T)$	23,4	24,7
O + CH ₄ → OH + CH ₃	$7,3 \cdot 10^{-19} \cdot T^{2,5} \cdot \exp(-3310/T)$	400...2500	$9,5 \cdot 10^2 \cdot T^{-0,345} \cdot \exp(-1510/T)$	9,25	30,58
H + O ₂ → OH + O	$3,43 \cdot 10^{-10} \cdot T^{-0,097} \cdot \exp(-7560/T)$	8000...3500	$2,88 \cdot 10^2 \cdot T^{-0,367} \cdot \exp(-8390/T)$	68,29	25,04
H + H ₂ O → OH + H ₂	$7,5 \cdot 10^{-16} \cdot T^{1,6} \cdot \exp(-9030/T)$	800...2500	$15,9 \cdot T^{1,52} \cdot \exp(-7510/T)$	60,96	10,9
H + NO → OH + N	$3,6 \cdot 10^{-10} \cdot \exp(-24910/T)$	1500...4500	$23,4 \cdot T^{-0,250} \cdot \exp(-24340/T)$	201,6	11,67
H + NO ₂ → OH + NO	$4,2 \cdot 10^{-10} \cdot \exp(-340/T)$	230...800	$2,4 \cdot 10^4 \cdot T^{-0,751} \cdot \exp(14570/T)$	-123,7	39,9
H + CO ₂ → OH + CO	$4,6 \cdot 10^{-10} \cdot \exp(-13915/T)$	1000...3000	$2,12 \cdot 10^6 \cdot T^{-1,163} \cdot \exp(-12760/T)$	102,2	52,9
OH + H ₂ → H ₂ O + H	$3,6 \cdot 10^{-16} \cdot T^{1,52} \cdot \exp(-1740/T)$	250...2500	$6,29 \cdot 10^{-2} \cdot T^{0,161} \cdot \exp(7510/T)$	-60,94	-10,90
OH + OH → H ₂ O + O	$5,56 \cdot 10^{-20} \cdot T^{2,42} \cdot \exp(970/T)$	250...2400	$3,36 \cdot 10^{-2} \cdot T^{0,139} \cdot \exp(8200/T)$	-66,8	-17,6

Tab. 5.2. – continuare

Reactia	k $\left[\frac{\text{cm}^3}{\text{molecule} \cdot \text{s}} \right]$	Interval de tempe- ratură [K]	K (T = 300...5000 K)	ΔH_{298} $\left[\frac{\text{kJ}}{\text{mol}} \right]$	ΔS_{298} $\left[\frac{\text{J}}{\text{mol} \cdot \text{K}} \right]$
N + O ₂ → NO + O	$9,7 \cdot 10^{-15} \cdot T^{1,01} \cdot \exp(-3120/T)$	280...5000	$11,8 \cdot T^{-0,117} \cdot \exp(15950/T)$	-133	13,37
N + OH → NO + H	$1,8 \cdot 10^{-10} \cdot T^{-0,2}$	100...2500	$4,28 \cdot 10^{-2} \cdot T^{0,250} \cdot \exp(25340/T)$	-201,6	-11,7
N + NO → N ₂ + O	$3,5 \cdot 10^{-11}$	210...3700	$0,517 \cdot T^{-0,088} \cdot \exp(37000/T)$	-313,8	-11,3
REACTIILE COMBINARE					
O + NO → NO ₂	$9,2 \cdot 10^{-28} \cdot T^{1,6} \left[\frac{\text{cm}^6}{\text{molecule}^2 \cdot \text{s}} \right]$	200...2200	$1,28 \cdot 10^{-28} \cdot T^{0,622} \cdot \exp(36930/T)$ $\left[\frac{\text{cm}^3}{\text{molecule}} \right]$	-306,4	-131,8
H + H → H ₂	$2,8 \cdot 10^{-31} \cdot T^{-0,6} \left[\frac{\text{cm}^6}{\text{molecule}^2 \cdot \text{s}} \right]$	200...5000	$1,64 \cdot 10^{-24} \cdot T^{-0,151} \cdot \exp(52190/T)$ $\left[\frac{\text{cm}^3}{\text{molecule}} \right]$	-435,9	-98,6
H + OH → H ₂ O	$3,9 \cdot 10^{-25} \cdot T^{-2} \left[\frac{\text{cm}^6}{\text{molecule}^2 \cdot \text{s}} \right]$	300...3000	$1,03 \cdot 10^{25} \cdot T^{0,010} \cdot \exp(59700/T)$ $\left[\frac{\text{cm}^3}{\text{molecule}} \right]$	-496,9	-109,5

Tab. 5.2. – continuare

Reacția	k $\left[\frac{\text{cm}^3}{\text{molecule} \cdot \text{s}} \right]$	Interval de tempe- ratură [K]	K (T = 300...5000 K)	ΔH_{298}^\ddagger $\left[\frac{\text{kJ}}{\text{mol}} \right]$	ΔS_{298}^\ddagger $\left[\frac{\text{J}}{\text{mol} \cdot \text{K}} \right]$
REAȚIILE DESCOMPUNERE					
$\text{H}_2 \rightarrow \text{H} + \text{H}$	$1,5 \cdot 10^{-9} \cdot \exp(-48350/T)$	2500...8000	$6,09 \cdot 10^{23} \cdot T^{0,151} \cdot \exp(-52190/T)$ $\left[\frac{\text{molecule}}{\text{cm}^3} \right]$	435,9	98,6
$\text{H}_2\text{O} \rightarrow \text{H} + \text{OH}$	$3,7 \cdot 10^{-8} \cdot \exp(-52900/T)$	2570...3290	$9,7 \cdot 10^{24} \cdot T^{-0,010} \cdot \exp(-59700/T)$ $\left[\frac{\text{molecule}}{\text{cm}^3} \right]$	496,9	109,5

CAPITOLUL 6.

ARDEREA CU DISOCIERE

6.1. INTRODUCERE

Arderea este un proces puternic exoterm, motiv pentru care temperatura produșilor de ardere atinge valori foarte ridicate. La aceste temperaturi intervine un proces altfel prea puțin prezent sau neglijabil, și anume **disocierea**. Disocierea este descompunerea moleculelor gazoase sub acțiunea temperaturilor ridicate, rezultând noi specii (atomi, radicali sau molecule). Consecința imediată a disocierii este modificarea compoziției produșilor de ardere prin transformarea parțială în alte specii a moleculelor apărute inițial ca rezultat al reacțiilor de oxidare. O a doua consecință este scăderea temperaturii gazelor de ardere, deoarece disocierea este un fenomen endoterm, care consumă o parte din căldura dezvoltată prin ardere. Astfel, temperatura teoretică de ardere (în absența disocierii) va fi mai mare decât cea reală, rezultată în urma disocierii.

Reacțiile de ardere conțin doar produșii inițiali și cei finali, fără da informații asupra stadiilor și speciilor intermediare. Acestea se determină scriind reacțiile de disociere. Pentru a se putea determina gradul de disociere, trebuie să se determine constantele de echilibru ale reacțiilor de disociere.

6.2. TEMPERATURA ADIABATICĂ DE ARDERE

Temperatura adiabatică de ardere (numită și *temperatura adiabatică a flăcării*) este temperatura produșilor de ardere în condițiile în care aceștia nu participă la un schimb de lucru mecanic, iar schimbul de căldură cu exteriorul al incintei de ardere, este împiedicat. La arderea în condiții stoechiometrice și fără disociere, temperatura adiabatică de ardere este maximă.

Temperatura adiabatică de ardere va fi mai mică în următoarele situații:

- la arderea incompletă (cu amestec combustibil bogat), deoarece rămâne energie chimică nevalorificată;
- la arderea completă (amestec stoechiometric) cu disociere;
- la arderea completă fără disociere, dar cu coeficient de exces de aer supraunitar (amestec combustibil sărac).

Temperatura adiabatică de ardere se calculează împărțind procesul în două etape (vezi și Fig. 6.1.):

- procesul 1** → **i** la presiune și temperatură constante (de obicei $p = 0,1 \text{ MPa}$ și $t = 25^\circ\text{C}$), în care, pentru menținerea temperaturii la o valoare constantă, se extrage din sistem căldura de reacție Q_r :

$$\Delta h_{1 \rightarrow i} = h_i - h_1 = -|q_r| \quad (6.1)$$

2. **procesul i → 2** la presiune constantă, în care produșilor de reacție li se restituie căldura de reacție q_r :

$$\Delta h_{i \rightarrow 2} = h_2 - h_i = q_r \quad (6.2)$$

Această împărțire este justificată de faptul că $dh = 0$, deoarece $\delta q = 0$ și $\delta l = 0$, conform ipotezelor care stau la baza definiției temperaturii adiabatice de ardere. Rezultă că $\Delta h = 0$ și deci $\Delta h = \Delta h_{1 \rightarrow i} + \Delta h_{i \rightarrow 2} = 0$.

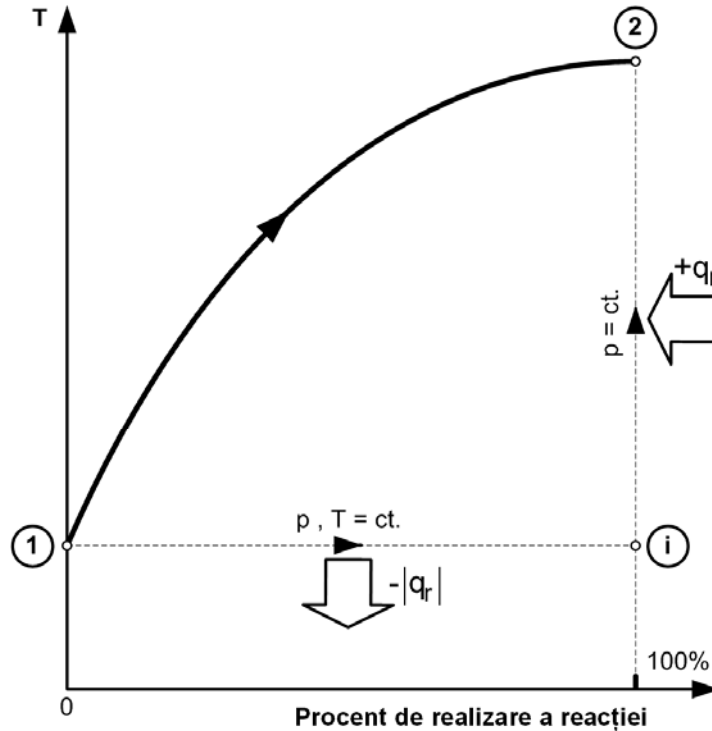


Fig. 6.1. Etapele procesului de calcul al temperaturii adiabatice de ardere

Cum $T_i = T_1$ deoarece procesul $1 \rightarrow i$ este izoterm, ținând cont de ecuația (6.2), putem scrie:

$$\int_{T_1=T_1}^{T_2} c_p(T) dT = q_r \quad (6.3)$$

Temperatura T_2 din ecuația (6.3) este tocmai temperatura adiabatică de ardere și deci, rezolvând această ecuație cu privire la necunoscuta T_2 , vom obține temperatura adiabatică de ardere (evident, trebuie cunoscută legea de variație cu temperatura a căldurii specifice izobare).

În realitate, dacă T_2 este foarte ridicată, atunci intervine disocierea produșilor de ardere (care consumă căldură), astfel încât trebuie adăugate ecuații de bilanț termic și masic cu referire la speciile care apar, pentru a determina temperatura adiabatică de ardere după disociere (T_2^d). Aceste calcule se fac pentru o celulă fictivă de disociere în care au loc reacțiile de disociere a produșilor de ardere.

6.3. CALCULUL GRADULUI DE DISOCIERE

La sfârșitul arderii, amestecul de gaze reprezentând produșii de ardere se află într-o stare de echilibru dinamic: viteza de creare a moleculelor de produși este egală cu viteza de distrugere a acestora prin disociere. Fie, spre exemplu, reacția de ardere a carbonului:



Reacția de mai sus nu se oprește la stadiul de formare a dioxidului de carbon: datorită temperaturii ridicate, dioxidul de carbon disociază în monoxid de carbon și oxigen:



La echilibru, doar „a” kilomoli de CO_2 au disociat, restul rămânând ca atare. Coeficientul a se numește *grad de disociere* sau *variabila de progres a reacției*. Scriem bilanțul reacției (6.5) pentru starea inițială și în urma modificării numărului de kilomoli:

	$2CO_2$	\rightleftharpoons	$2CO$	$+$	O_2
Starea inițială	1		0		0
Se modifică	$-2a$		$+2a$		$+a$
La echilibru	$1 - 2a$		$2a$		a

Atunci, reacția globală poate fi scrisă:



Calculul se face pe o celulă de disociere fictivă, conform Fig. 6.2.

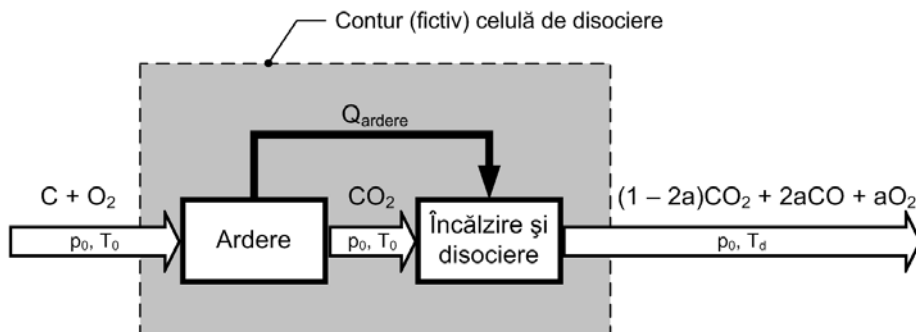
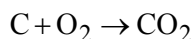


Fig. 6.2. Schema celulei de disociere pentru reacția de disociere a CO_2

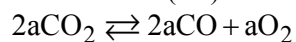
Observatie

Ecuția (6.6) poate fi obținută și astfel:

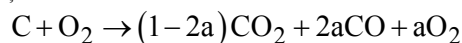
– se scrie ecuația reacției de ardere:



– se amplifică ecuația de disociere (6.5) cu a :



– se adună cele două ecuații reținându-se în membrul drept reacțanții inițiali și se obține:



Având la dispoziție ecuația globală (cu disociere), se calculează întâi numărul total de kilomoli la echilibru:

$$n = (1 - 2a) + 2a + a = 1 + a \quad (6.7)$$

și fracțiile molare la echilibru pentru speciile rezultate:

$$y_{\text{CO}_2} = \frac{1-2a}{1+a} \quad (6.8)$$

$$y_{\text{CO}} = \frac{2a}{1+a} \quad (6.9)$$

$$y_{\text{O}_2} = \frac{a}{1+a} \quad (6.10)$$

Aplicând acum ecuației de disociere (6.5) legea acțiunii maselor:

$$K = \frac{(y_{\text{CO}})^2 y_{\text{O}_2}}{(y_{\text{CO}_2})^2} \left(\frac{p}{p_0} \right)^{2+1-2} = \frac{\left(\frac{2a}{1+a} \right)^2 \cdot \frac{a}{1+a} \cdot \frac{p}{p_0}}{\left(\frac{1-2a}{1+a} \right)^2} \quad (6.11)$$

și cunoscând valoarea constantei de echilibru la temperatura adiabatică de ardere, se poate determina gradul de disociere a .

Reacțiile uzuale de disociere sunt:





Pentru determinarea constantei reacției de disociere se pot folosi fie tabelele în care aceasta este dată pentru fiecare reacție pentru diverse valori ale temperaturii, fie relația următoare [20]:

$$\log_{10} K(T) = A_1 \ln\left(\frac{T}{1000}\right) + \frac{A_2}{T} + A_3 + A_4 \cdot T + A_5 \cdot T^2 \quad (6.18)$$

Tabelul 6.1. cuprinde valorile coeficienților ecuației (6.18) pentru reacțiile de disociere (6.12) ... (6.17).

Tab. 6.1. Coeficienții ecuației (6.18) pentru constanta de echilibru a reacțiilor de disociere

Ecuția	A ₁	A ₂	A ₃	A ₄	A ₅
(6.12)	0,432168	-0,112464·10 ⁵	2,67269	-0,745744·10 ⁻⁴	0,242484·10 ⁻⁸
(6.13)	0,310805	-0,129540·10 ⁵	3,21179	-0,738336·10 ⁻⁴	0,344645·10 ⁻⁸
(6.14)	-0,142784	-0,213308·10 ⁴	0,853461	0,355015·10 ⁻⁴	-0,310227·10 ⁻⁸
(6.15)	0,0015079	-0,470959·10 ⁴	0,646096	0,272805·10 ⁻³	-0,154444·10 ⁻⁸
(6.16)	-0,752364	0,124210·10 ⁵	-2,60186	0,259556·10 ⁻³	-0,162687·10 ⁻⁷
(6.17)	-0,00415302	0,148627·10 ⁵	-4,75746	0,124699·10 ⁻³	-0,900227·10 ⁻⁸

6.4. EXEMPLU ȘI ALGORITM DE CALCUL AL ARDERII CU DISOCIERE

În acest subcapitol se prezintă algoritmul de calcul dezvoltat de autori pentru arderea cu aer îmbogățit în oxigen (oxi-combustie) în focarul unui cazan de abur cu presiune supracritică cu străbateră directă [25-29]. Algoritmul a fost dezvoltat în cadrul unui contract de consultanță cu American Air Liquide Inc., privind studiul posibilităților de introducere a oxii-combustiei la arderea gazului natural în cazanele energetice. Același algoritm, cu modificări minore, a fost aplicat pentru oxii-combustia în cazul unui turbomotor cu gaze [14-16].

6.4.1. Date inițiale

Combustibilul ars în focarul cazanului este gaz natural cu următoarea

compoziție:

86,5% CH₄, 7,9% C₂H₆, 2,2% C₃H₈, 0,3% C₄H₁₀, 0,5% CO₂, 2,6% N₂

Comburantul este aer atmosferic sau îmbogățit cu oxigen, mergând până la 100% O₂. Temperatura de preîncălzire a aerului este T_{PH} = 317°C, iar coeficientul de exces de aer este λ = 1,07 (exces de aer de 7%).

6.4.2. Ecuații de ardere

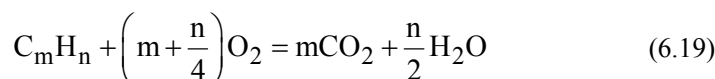
Introducem notațiile următoare pentru fracțiile volumice ale componentelor combustibilului:

- (ch4): fracția volumică (molară) a metanului [m³ CH₄ /m³ cb]
- (c2h6) : fracția volumică (molară) a etanului [m³ C₂H₆ /m³ cb]
- (c3h8) : fracția volumică (molară) a propanului [m³ C₃H₈ /m³ cb]
- (c4h10) : fracția volumică (molară) a n-butanului [m³ C₄H₁₀ /m³ cb]
- (co2) : fracția volumică (molară) a dioxidului de carbon [m³ CO₂ /m³ cb]
- (n2) : fracția volumică (molară) a azotului [m³ N₂ /m³ cb]

Cu aceste notații, vor rezulta valorile:

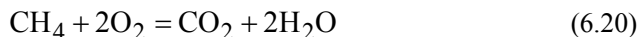
$$\begin{aligned}(\text{ch4}) &= 0,865 \\(\text{c2h6}) &= 0,079 \\(\text{c3h8}) &= 0,022 \\(\text{c4h10}) &= 0,003 \\(\text{co2}) &= 0,005 \\(\text{n2}) &= 0,026\end{aligned}$$

Se pleacă de la ecuația generală de ardere a unei hidrocarburi:

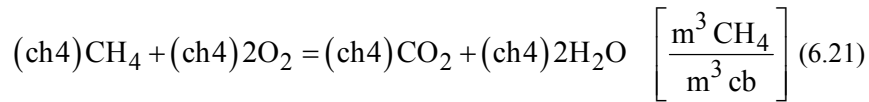
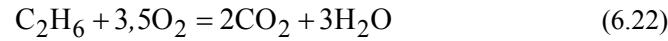


și se particularizează după cum urmează:

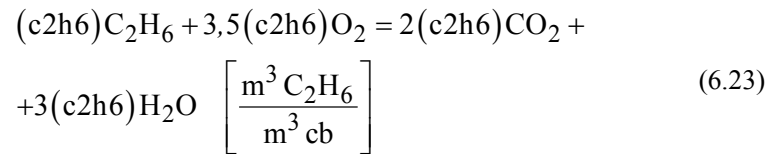
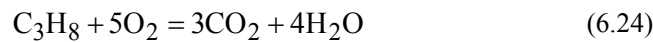
metan CH₄ (m = 1, n = 4):



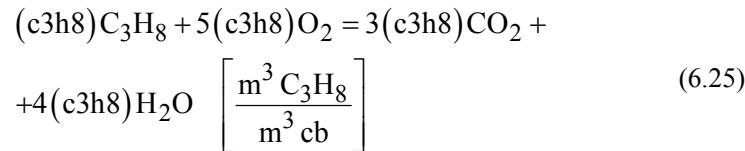
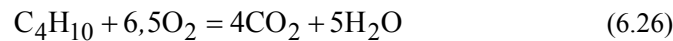
⇒

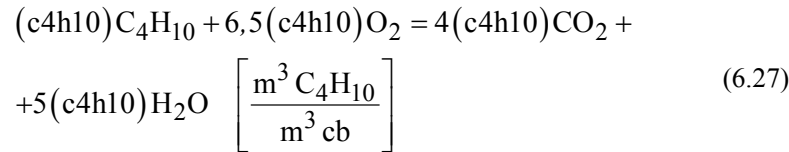
**etan C₂H₆ (m = 2, n = 6):**

⇒

**propan C₃H₈ (m = 3, n = 8):**

⇒

**n-butan C₄H₁₀ (m = 4, n = 10):**



6.4.3. Oxigenul minim necesar

Se adună volumele de oxigen din ecuațiile de ardere de mai sus și rezultă:

$$V_{O_2}^{\min} = 2(ch4) + 3,5(c2h6) + 5(c3h8) + 6,5(c4h10) \left[\frac{m^3 O_2}{m^3 cb} \right] \quad (6.28)$$

Volumul minim de azot din aer:

$$V_{N_2}^{\min} = 0,79V_a^{\min} = 0,79 \frac{V_{O_2}^{\min}}{0,21} = 3,76V_{O_2}^{\min} \left[\frac{m^3 N_2}{m^3 cb} \right] \quad (6.29)$$

unde V_a^{\min} reprezintă volumul minim de aer uscat.

6.4.4. Volumul minim de aer uscat

Volumul minim de aer uscat se determină ținând cont că proporția de oxigen în aerul uscat este de 0,21.

$$V_a^{\min} = \frac{V_{O_2}^{\min}}{0,21} = 4,76V_{O_2}^{\min} \left[\frac{m^3 a}{m^3 cb} \right] \quad (6.30)$$

6.4.5. Volumul minim de aer umed

Fie x_0 conținutul de umiditate al aerului de ardere. Ecuația pentru aerul umed minim necesar este:

$$V_{au}^{min} = V_a^{min} (1 + 1,61x_0) \left[\frac{m^3 \text{ au}}{m^3 \text{ cb}} \right] \quad (6.31)$$

6.4.6. Aerul necesar arderii

$$V_{aer} = \lambda V_{au}^{min} = \lambda V_a^{min} (1 + 1,61x_0) \left[\frac{m^3 \text{ aer}}{m^3 \text{ cb}} \right] \quad (6.32)$$

6.4.7. Bilanțul de substanță al focarului cazanului

Figura 6.3. schematizează fluxurile de intrare și ieșire din focar. Volumele de gaze corespunzătoare sunt explicitate în Tab. 6.2.

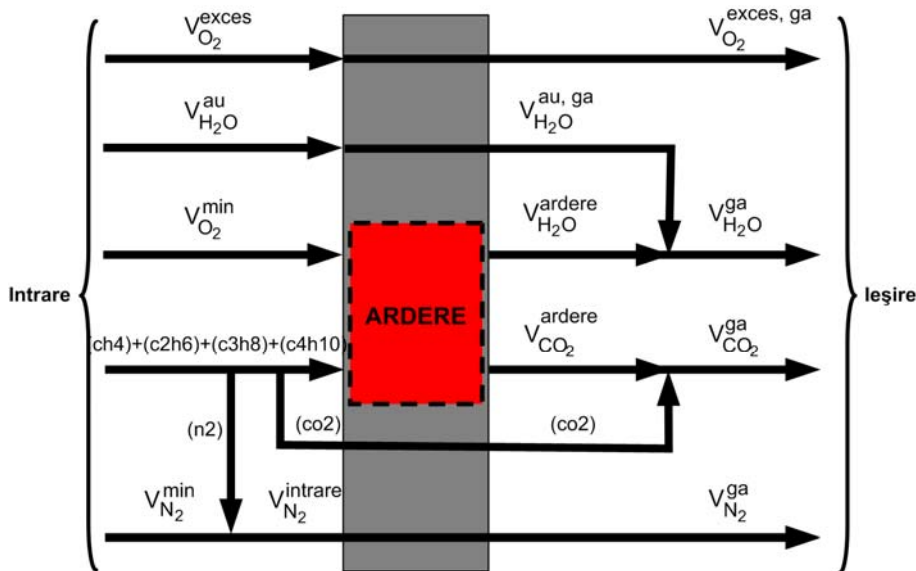


Fig. 6.3. Schema bilanțului de substanță al focarului

Mai sus și în cele ce urmează, pentru simplificarea scrierii, în relații am utilizat și vom folosi prescurtările:

- a* - pentru aerul uscat
- ga* - pentru gaze de ardere
- au* - pentru aerul umed
- aer* - pentru aerul total (cu exces de aer)
- ard* - pentru ardere (combustie)

Tab. 6.2. Volume de reactanți și de produși per m³ de combustibil

INTRARE	IEȘIRE
Reactanți	Produși
<u>Combustibil:</u> $(ch4)+(c2h6)+(c3h8)+(c4h10)$	$V_{CO_2}^{ardere} = (ch4) + 2(c2h6) +$ $+3(c3h8) + 4(c4h10)$
<u>Volum minim de oxigen:</u> $V_{O_2}^{min} = 2(ch4) + 3,5(c2h6) +$ $+5(c3h8) + 6,5(c4h10)$	$V_{H_2O}^{ardere} = 2(ch4) + 3(c2h6) +$ $+4(c3h8) + 5(c4h10)$
NU PARTICIPĂ ÎN REACȚIILE DE ARDERE	
$V_{O_2}^{exces} = (\lambda - 1)V_{O_2}^{min}$	$V_{O_2}^{exces, ga} = V_{O_2}^{exces} = (\lambda - 1)V_{O_2}^{min}$
$V_{H_2O}^{aer\ umed} = 1,61 \times 0 \lambda V_{aer\ umed}^{min}$	$V_{H_2O}^{au, ga} = V_{H_2O}^{au} =$ $= 1,61 \times 0 \lambda V_a^{min}$
(co2)	(co2)
$V_{N_2}^{intrare} = \lambda V_{N_2}^{min} + (n2)$	$V_{N_2}^{ga} = V_{N_2}^{intrare} = \lambda V_{N_2}^{min} + (n2)$

6.4.8. Volumul de gaze de ardere rezultate

Se însumează volumele de gaze care părăsesc focarul (vezi și schema din Fig. 6.3).

$$V_{ga} = V_{CO_2}^{ga} + V_{H_2O}^{ga} + V_{O_2}^{exces, ga} + V_{N_2}^{ga} \left[\frac{m^3 ga}{m^3 cb} \right] \quad (6.33)$$

În ecuația de mai sus:

$$V_{CO_2}^{ga} = V_{CO_2}^{ard} + (co_2) \left[\frac{m^3 CO_2}{m^3 cb} \right] \quad (6.34)$$

$$V_{H_2O}^{ga} = V_{H_2O}^{ard} + V_{H_2O}^{au, ga} \left[\frac{m^3 H_2O}{m^3 cb} \right] \quad (6.35)$$

$$V_{O_2}^{exces, ga} = (\lambda - 1) V_{O_2}^{min} \left[\frac{m^3 O_2}{m^3 cb} \right] \quad (6.36)$$

$$V_{N_2}^{ga} = \lambda V_{N_2}^{min} + (n_2) \left[\frac{m^3 N_2}{m^3 cb} \right] \quad (6.37)$$

6.4.9. Temperatura adiabatică de ardere în absența disocierii

Schema utilizată pentru determinarea temperaturii adiabatice de ardere în absența disocierii este prezentată în Fig. 6.4. și este compusă din camera de combustie CC și două schimbătoare de căldură fictive, SC1 și SC2. Primul schimbător de căldură este necesar pentru a „extrage” căldura de preîncălzire Q_{PI} din aerul de ardere, astfel încât acesta să intre în camera de combustie cu

temperatura de referință T_0 . Căldura Q_0 degajată prin ardere în camera de combustie este extrasă, astfel încât gazele de ardere să o părăsească la temperatura T_0 . Al doilea schimbător de căldură este necesar pentru a "restitui" această căldură gazelor de ardere și a permite astfel calcularea temperaturii adiabatice de ardere T_{ga} . Semnificația lui Q_0 este cea de putere calorică inferioară și se calculează cu relația:

$$Q_0 = (ch4)Q_{CH_4}^v + (c2h6)Q_{C_2H_6}^v + (c3h8)Q_{C_3H_8}^v + (c4h10)Q_{C_4H_{10}}^v \left[\frac{\text{kJ}}{\text{m}^3 \text{ cb}} \right] \quad (6.38)$$

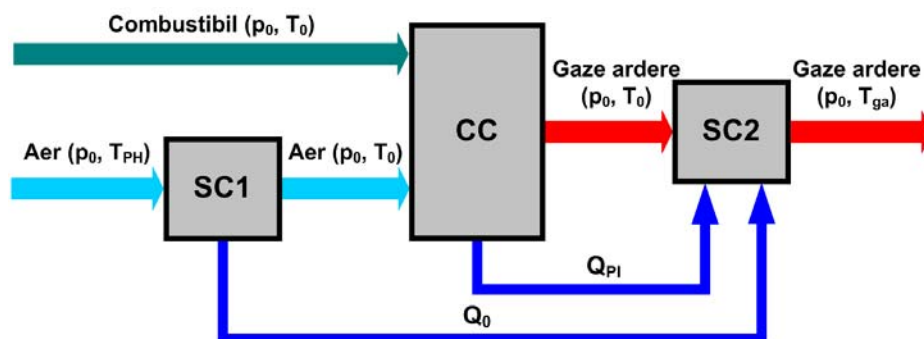


Fig. 6.4. Schema pentru calculul temperaturii adiabatice de ardere în absența disocierii

În ecuația (6.38), mărimile notate Q^v reprezintă puterile calorice inferioare ale componentelor combustibilului raportate la metrul cub și sunt date în Tab. 6.3.

Tab. 6.3. Puteri calorice inferioare ale componentelor combustibilului

Component	Masa molară [kg/kmol]	Q_i [kJ/kg]	Q_i^v [kJ/m ³]
CH ₄	16.043	50010	35795
C ₂ H ₆	30.07	47484	63703
C ₃ H ₈	44.097	46353	91194
C ₄ H ₁₀	58.124	45714	118546

Ecuția din care se determină temperatura adiabatică de ardere T_{ga} este cea de bilanț termic pentru schimbătorul de căldură SC2:

$$Q_0 + Q_{PI} = \sum_i \left(V_i^{ga} \int_{T_0}^{T_{ga}} c_{p,i}^{ga} dT \right) \left[\frac{\text{kJ}}{\text{m}^3 \text{ cb}} \right] \quad (6.39)$$

Căldura consumată pentru preîncălzirea aerului Q_{PI} se determină cu relația:

$$Q_{PI} = V_a \int_{T_0}^{T_{PI}} \left(x_{O_2} c_{p, O_2} + x_{N_2} c_{p, N_2} + x_{H_2O} c_{p, H_2O} \right) dT \left[\frac{\text{kJ}}{\text{m}^3 \text{ cb}} \right] \quad (6.40)$$

unde:

$$x_{O_2} = \frac{V_{O_2}^{\min}}{V_a^{\min}} \text{ este fracția volumică a oxigenului în aerul umed minim;}$$

$$x_{N_2} = \frac{V_{N_2}^{\min}}{V_a^{\min}} \text{ este fracția volumică a azotului în aerul umed minim;}$$

$$x_{H_2O} = \frac{V_{H_2O}^a}{V_a^{\min}} \text{ este fracția volumică a vaporilor de apă în aerul umed minim.}$$

Membrul drept al ecuației (6.39) se calculează cu relația:

$$\begin{aligned} \sum_i \left(V_i^{ga} \int_{T_0}^{T_{ga}} c_{p,i}^{ga} dT \right) &= V_{CO_2}^{ga} \int_{T_0}^{T_{ga}} c_{p, CO_2}^{ga} dT + V_{H_2O}^{ga} \int_{T_0}^{T_{ga}} c_{p, H_2O}^{ga} dT + \\ &+ V_{O_2}^{ga} \int_{T_0}^{T_{ga}} c_{p, O_2}^{ga} dT + V_{N_2}^{ga} \int_{T_0}^{T_{ga}} c_{p, N_2}^{ga} dT \end{aligned} \quad (6.41)$$

În această relație, căldurile specifice volumice ale componentelor

combustibilului au următoarele expresii, calculate pe baza căldurilor specifice molare tabelate în [38] pentru presiunea de 1,1 MPa:

$$c_{p, CO_2} = -0,1666681 + 0,136205 \cdot T^{0,25} - 1,8307308 \cdot 10^{-3} \cdot T + 1,079593 \cdot 10^{-7} \cdot T^2 \left[\frac{\text{kJ}}{\text{m}^3\text{K}} \right] \quad (6.42)$$

$$c_{p, H_2O} = 6,382172 - 2,5894729 \cdot T^{0,25} + 0,3691933 \cdot T^{0,5} - 1,6502632 \cdot 10^{-3} \cdot T \left[\frac{\text{kJ}}{\text{m}^3\text{K}} \right] \quad (6.43)$$

$$c_{p, O_2} = 1,67008 + 8,968502 \cdot 10^{-7} \cdot T^{0,75} - 7966,8957 \cdot T^{-0,75} + 105683,9 \cdot T^{-2} \left[\frac{\text{kJ}}{\text{m}^3\text{K}} \right] \quad (6.44)$$

$$c_{p, N_2} = 1,742661 - 22878,11 \cdot T^{-1,5} + 478584,8 \cdot T^{-2} - 3,660212 \cdot 10^7 \cdot T^{-3} \left[\frac{\text{kJ}}{\text{m}^3\text{K}} \right] \quad (6.45)$$

Ecuția (6.39) este transcendentă și de aceea găsirea soluției T_{ga} se poate face numai recurgând la tehnici numerice. În acest caz, metoda Newton-Raphson (a tangentei) este cea indicată, deoarece poate fi ușor aplicată prin intermediul unui algoritm relativ simplu, iar numărul de iterații este redus.

6.4.10. Calculul arderii cu disociere

Dacă arderea s-ar desfășura fără disociere, atunci produșii ar fi CO_2 și H_2O , iar în gazele de ardere s-ar mai afla N_2 (care nu participă la ardere) și O_2 din excesul de aer. Datorită temperaturii ridicate care rezultă, aceste gaze disociază. În plus, unii produși de disociere disociază ei înșiși, rezultând un complex lanț de

reacții de disociere. Din rațiuni de simplitate, considerăm doar cele mai importante reacții de disociere. Acestea se împart în:

- **reacții primare**, în care disociază produșii de ardere;
- **reacții secundare**, în care ca reactanți participă produșii rezultați din reacțiile primare.

Facem următoarele notații pentru volumele componentelor gazelor de ardere care disociază în reacțiile primare:

$$V_{\text{CO}_2}^{\text{ga}} = y_1$$

$$V_{\text{H}_2\text{O}}^{\text{ga}} = y_2$$

$$V_{\text{N}_2}^{\text{ga}} = y_3$$

$$V_{\text{O}_2}^{\text{exces, ga}} = y_4$$

Reacțiile de disociere considerate sunt:

1. Disociere CO_2



2. Disociere H_2O :

2.a. Disociere în H_2 și O_2 :



2.b. Disociere în OH și H_2 :



3. Disociere N_2



4. Disociere O_2



5. Combinare O_2 și N_2 6. Disociere H_2 

Pentru determinarea gradului de disociere la fiecare reacție, se folosește modelul de la § 6.3. pentru disocierea dioxidului de carbon. Se scrie bilanțul reacției pentru starea inițială și în urma modificării numărului de kilomoli:

	$2CO_2$	\rightleftharpoons	$2CO$	$+$	O_2
Starea inițială	1		0		0
Se modifică	$-2a$		$+2a$		$+a$
La echilibru	$1 - 2a$		$2a$		a

În Tab. 6.4. sunt cuprinse reacțiile de disociere considerate, împărțite în reacții primare și reacții secundare, precum și expresiile de calcul ale volumelor reactanților pe categorii.

La echilibru, raportul dintre reactanți și produși este determinat de constanta de echilibru K a reacției, care depinde de presiune și de temperatură. Frațiile participanților la reacție (reactanți și produși) se determină funcție de valoarea constantei de reacție, care la rândul său este dependentă de temperatură (presupunem presiunea constantă), iar temperatura este necunoscută, ea fiind determinată de gradul de disociere. Volumele de produși finali se determină funcție de valorile constantelor de reacție luate din tabele funcție de temperatură.

Volumul final al gazelor de ardere va rezulta prin însumarea volumelor produșilor fiecărei reacții de disociere:

$$V_{CO_2}^{ga} = (1 - 2a)y_1 \left[\frac{m^3 CO_2}{m^3 cb} \right] \quad (6.53)$$

$$V_{H_2O}^{ga} = (1 - 2b - 2c)y_2 \left[\frac{m^3 H_2O}{m^3 cb} \right] \quad (6.54)$$

$$V_{\text{H}_2}^{\text{ga}} = (1-g)(2b+c)y_2 \left[\frac{\text{m}^3 \text{H}_2}{\text{m}^3 \text{cb}} \right] \quad (6.55)$$

$$V_{\text{CO}}^{\text{ga}} = 2ay_1 \left[\frac{\text{m}^3 \text{CO}}{\text{m}^3 \text{cb}} \right] \quad (6.56)$$

$$V_{\text{O}_2}^{\text{ga}} = (1-e)(ay_1 + by_2 + y_4) - fy_3 \left[\frac{\text{m}^3 \text{O}_2}{\text{m}^3 \text{cb}} \right] \quad (6.57)$$

$$V_{\text{OH}}^{\text{ga}} = 2cy_2 \left[\frac{\text{m}^3 \text{OH}}{\text{m}^3 \text{cb}} \right] \quad (6.58)$$

$$V_{\text{O}}^{\text{ga}} = 2e(ay_1 + by_2 + y_4) \left[\frac{\text{m}^3 \text{O}}{\text{m}^3 \text{cb}} \right] \quad (6.59)$$

$$V_{\text{H}}^{\text{ga}} = 2g(2b+c)y_2 \left[\frac{\text{m}^3 \text{H}}{\text{m}^3 \text{cb}} \right] \quad (6.60)$$

$$V_{\text{N}_2}^{\text{ga}} = (1-d-f)y_3 \left[\frac{\text{m}^3 \text{N}_2}{\text{m}^3 \text{cb}} \right] \quad (6.61)$$

$$V_{\text{NO}}^{\text{ga}} = 2fy_3 \left[\frac{\text{m}^3 \text{ NO}}{\text{m}^3 \text{ cb}} \right] \quad (6.62)$$

$$V_{\text{N}}^{\text{ga}} = 2dy_3 \left[\frac{\text{m}^3 \text{ N}}{\text{m}^3 \text{ cb}} \right] \quad (6.63)$$

Rezultă:

$$\begin{aligned} V_{\text{ga}} = & V_{\text{CO}_2}^{\text{ga}} + V_{\text{H}_2\text{O}}^{\text{ga}} + V_{\text{H}_2}^{\text{ga}} + V_{\text{CO}}^{\text{ga}} + V_{\text{O}_2}^{\text{ga}} + V_{\text{OH}}^{\text{ga}} + V_{\text{O}}^{\text{ga}} + V_{\text{H}}^{\text{ga}} + V_{\text{N}_2}^{\text{ga}} + \\ & + V_{\text{NO}}^{\text{ga}} + V_{\text{N}}^{\text{ga}} = (1+a+ae)y_1 + (1+b+c+be+2bg+cg)y_2 + \\ & + (1+d)y_3 + (1+e)y_4 \left[\frac{\text{m}^3 \text{ ga}}{\text{m}^3 \text{ comb}} \right] \end{aligned} \quad (6.64)$$

Pentru calculul gradului de disociere pentru fiecare reacție generică $\nu_A \cdot A + \nu_B \cdot B \rightleftharpoons \nu_C \cdot C + \nu_D \cdot D$, se folosește legea acțiunii maselor – ecuația (5.17):

$$K = \frac{z_C^{\nu_C} z_D^{\nu_D}}{z_A^{\nu_A} z_B^{\nu_B}} \cdot \left(\frac{p}{p_{\text{ref}}} \right)^{\nu_C + \nu_D - \nu_A - \nu_B} = \frac{z_C^{\nu_C} z_D^{\nu_D}}{z_A^{\nu_A} z_B^{\nu_B}} \quad (6.65)$$

în care prin z s-a notat fracția molară a speciei respective și s-a presupus că reacțiile au loc la presiunea de referință.

6.4.10.1. Expresiile constantelor de reacție rezultate din legea acțiunii maselor

Deducerea acestor expresii permite, odată cunoscută valoarea constantei de reacție, determinarea gradului de disociere pentru fiecare reacție și deci aflarea fracțiilor molare ale speciilor care se vor afla în gazele de ardere în urma disocierii. Problema nu este totuși atât de simplă cum pare, deoarece este necesară rezolvarea simultană a tot atâtea ecuații neliniare câte reacții de disociere sunt. Metoda utilizată de autori pentru găsirea soluției sistemului de ecuații neliniare se bazează pe un proces iterativ de tip încercare-și-eroare.

Tab.6.4. Reacții de disociere și bilanțuri de produși

REAȚIA	VOLUMELE REACTANȚILOR	VOLUME REZULTATE DUPĂ DISOCIERE		
		Ca produși finali	Ca produși secundari care participă în alte reacții	Consumate din reactanți
A. REACȚII PRIMARE				
1. Disociere CO₂ $2\text{CO}_2 \rightleftharpoons 2\text{CO} + \text{O}_2$ 1 0 0 -2a 2a a 1-2a 2a a	$y_1 \left[\frac{\text{m}^3 \text{CO}_2}{\text{m}^3 \text{cb}} \right]$	$(1-2a)y_1 \left[\frac{\text{m}^3 \text{CO}_2}{\text{m}^3 \text{cb}} \right]$ $2ay_1 \left[\frac{\text{m}^3 \text{CO}}{\text{m}^3 \text{cb}} \right]$	$ay_1 \left[\frac{\text{m}^3 \text{O}_2}{\text{m}^3 \text{cb}} \right]$	$-2ay_1 \left[\frac{\text{m}^3 \text{CO}_2}{\text{m}^3 \text{cb}} \right]$
2. Disociere H₂O $2\text{H}_2\text{O} \rightleftharpoons 2\text{H}_2 + \text{O}_2$ 1 0 0 -2b 2b b 1-2b 2b b $2\text{H}_2\text{O} \rightleftharpoons 2\text{OH} + \text{H}_2$ 1 0 0 -2c 2c c 1-2c 2c c	$y_2 \left[\frac{\text{m}^3 \text{H}_2\text{O}}{\text{m}^3 \text{cb}} \right]$		$2by_2 \left[\frac{\text{m}^3 \text{H}_2}{\text{m}^3 \text{cb}} \right]$ $by_2 \left[\frac{\text{m}^3 \text{O}_2}{\text{m}^3 \text{cb}} \right]$ $cy_2 \left[\frac{\text{m}^3 \text{H}_2}{\text{m}^3 \text{cb}} \right]$	$-2by_2 \left[\frac{\text{m}^3 \text{H}_2\text{O}}{\text{m}^3 \text{cb}} \right]$ $-2cy_2 \left[\frac{\text{m}^3 \text{H}_2\text{O}}{\text{m}^3 \text{cb}} \right]$
	bilanț H ₂ O rămas	$(1-2b-2c)y_2 \left[\frac{\text{m}^3 \text{H}_2\text{O}}{\text{m}^3 \text{cb}} \right]$		
3. Disociere N₂ $\text{N}_2 \rightleftharpoons 2\text{N}$ 1 0 -d 2d 1-d 2d	$y_3 \left[\frac{\text{m}^3 \text{N}_2}{\text{m}^3 \text{cb}} \right]$	$2dy_3 \left[\frac{\text{m}^3 \text{N}}{\text{m}^3 \text{cb}} \right]$		$-dy_3 \left[\frac{\text{m}^3 \text{N}_2}{\text{m}^3 \text{cb}} \right]$

Tab.6.4 – continuare

REAȚIA	VOLUMELE REACTANȚILOR	VOLUME REZULTATE DUPĂ DISOCIERE		
		Ca produși finali	Ca produși secundari care participă în alte reacții	Consumate din reactanți
B. REACȚII AVÂND DREPT REACTANȚI PRODUSII REACȚIILOR PRIMARE				
5. Disociere O₂ O ₂ ⇌ 2O 1 0 -e 2e 1-e 2e	$y_4' = y_4 + ay_1 + by_2$ $\left[\frac{m^3 O_2}{m^3 cb} \right]$	$2e(y_4 + ay_1 + by_2)$ $\left[\frac{m^3 O}{m^3 cb} \right]$		$-e(y_4 + ay_1 + by_2)$ $\left[\frac{m^3 O_2}{m^3 cb} \right]$
6. Combinare O₂ și N₂ O ₂ + N ₂ ⇌ 2NO 1 1 0 -f -f 2f 1-f 1-f 2f	y_3 $\left[\frac{m^3 N_2}{m^3 cb} \right]$	$2fy_3$ $\left[\frac{m^3 NO}{m^3 cb} \right]$		$-fy_3$ $\left[\frac{m^3 O_2}{m^3 cb} \right]$ $-fy_3$ $\left[\frac{m^3 N_2}{m^3 cb} \right]$
	bilanț O ₂ rămas	$(1-e)(y_4 + ay_1 + by_2) - fy_3$ $\left[\frac{m^3 O_2}{m^3 cb} \right]$		
	bilanț N ₂ rămas	$(1-d-f)y_3$ $\left[\frac{m^3 N_2}{m^3 cb} \right]$		
7. Disociere H₂ H ₂ ⇌ 2H 1 0 -g 2g 1-g 2g	$(2b+c)y_2$ $\left[\frac{m^3 H_2}{m^3 cb} \right]$	$(1-g)(2b+c)y_2$ $\left[\frac{m^3 H_2}{m^3 cb} \right]$ $2g(2b+c)y_2$ $\left[\frac{m^3 H}{m^3 cb} \right]$		$-g(2b+c)y_2$ $\left[\frac{m^3 H_2}{m^3 cb} \right]$

Pentru demararea procesului, sunt necesare valori de start pentru necunoscute (gradele de disociere). Particularitatea metodei dezvoltate de autori constă în calcularea acestor valori de start ca valori aproximative, obținute egalând cu zero toate gradele de disociere, altele decât cel specific reacției respective. Cu aceste valori astfel obținute, se trece la procesul iterativ propriu-zis, care conduce la valorile finale căutate. În cele ce urmează, sunt prezentate expresiile obținute pentru constanta de reacție pentru fiecare reacție în parte, atât în forma completă, cât și în cea simplificată, necesară demarării procesului iterativ.

Constanta K_1 a reacției $2\text{CO}_2 \rightleftharpoons 2\text{CO} + \text{O}_2$

Ecuția (6.65) capătă forma particulară:

$$K_1 = \frac{(z_{\text{CO}})^2 z_{\text{O}_2}}{(z_{\text{CO}_2})^2} \quad (6.66)$$

cu fracțiile molare: $z_{\text{CO}} = \frac{V_{\text{CO}}}{V_{\text{fg}}}$; $z_{\text{O}_2} = \frac{V_{\text{O}_2}}{V_{\text{fg}}}$; $z_{\text{CO}_2} = \frac{V_{\text{CO}_2}}{V_{\text{fg}}}$.

Rezultă:

$$K_1 = \frac{(V_{\text{CO}})^2 V_{\text{O}_2}}{(V_{\text{CO}_2})^2 V_{\text{fg}}} \quad (6.67)$$

Se înlocuiesc volumele din ecuația (6.67) cu valorile din ecuațiile (6.53), (6.56), (6.57) și (6.64).

Se obține expresia:

$$K_1 = \frac{4a^2 [(1-e)(ay_1 + by_2 + y_4) - fy_3]}{(1-2a)^2 \cdot [(1+a+ae)y_1 + (1+b+c+be+2bg+cg)y_2 + (1+d)y_3 + (1+e)y_4]} \quad (6.68)$$

După cum se observă, gradele de disociere ale tuturor reacțiilor sunt prezente și de aceea, pentru a avea o valoare de start, egalăm pe b, c, d, e, f și g cu zero. Se obține expresia de start K_1^1 (pasul inițial al iterației, notat „1”) pentru K_1 , cu care se demarează procesul iterativ. Începând cu pasul al

doilea, se utilizează ecuația (6.68), în care valorile lui a, b, c, d, e, f și g sunt cele obținute în pasul anterior. Se procedează identic cu toate constantele reacțiilor de disociere.

Făcând deci $b = c = d = e = f = g = 0$, obținem:

$$K_1^1 = \frac{4a^2 (ay_1 + y_4)}{(1-2a)^2 [(1+a)y_1 + y_2 + y_3 + y_4]} \quad (6.69)$$

Din această ecuație, cunoscând pe K_1^1 , se poate determina valoarea lui a care va fi folosită în pasul următor.

Constanta K_2 a reacției $2H_2O \rightleftharpoons 2H_2 + O_2$

Ecuția (6.65) devine:

$$K_2 = \frac{(z_{H_2})^2 z_{O_2}}{(z_{H_2O})^2} = \frac{(V_{H_2})^2 V_{O_2}}{(V_{H_2O})^2 V_{fg}} \quad (6.70)$$

Prin înlocuirea volumelor, se obține:

$$K_2 = \frac{(1-g)^2 (2b+c)^2 [(1-e)(ay_1 + by_2 + y_4) - fy_3]}{(1-2b-2c)^2 [(1+a+ae)y_1 + (1+b+c+be+2bg+cg)y_2 + (1+d)y_3 + (1+e)y_4]} \quad (6.71)$$

Forma simplificată a constantei este:

$$K_2^1 = \frac{4b^2 (by_2 + y_4)}{(1-2b)^2 [y_1 + (1+b)y_2 + y_3 + y_4]} \quad (6.72)$$

Constanta K_3 a reacției $2H_2O \rightleftharpoons 2OH + 2H_2$

Expresia din legea acțiunii maselor:

$$K_3 = \frac{(z_{\text{OH}})^2 z_{\text{H}_2}}{(z_{\text{H}_2\text{O}})^2} = \frac{(V_{\text{OH}})^2 V_{\text{H}_2}}{(V_{\text{H}_2\text{O}})^2 V_{\text{fg}}} \quad (6.73)$$

Rezultă:

$$K_3 = \frac{4c^2(1-g)(2b+c)y_2}{(1-2b-2c)^2[(1+a+ae)y_1 + (1+b+c+be+2bg+cg)y_2 + (1+d)y_3 + (1+e)y_4]} \quad (6.74)$$

și, egalând a, b, d, e, f și g cu zero:

$$K_3^1 = \frac{4c^3 y_2}{(1-2c)^2 [y_1 + (1+c)y_2 + y_3 + y_4]} \quad (6.75)$$

Constanta K_4 a reacției $\text{N}_2 \rightleftharpoons 2\text{N}$

Ecuția (6.65) particularizată devine:

$$K_4 = \frac{(z_{\text{N}})^2}{z_{\text{N}_2}} = \frac{(V_{\text{N}})^2}{V_{\text{N}_2} V_{\text{fg}}} \quad (6.76)$$

Înlocuind volumele respective, se obține:

$$K_4 = \frac{4d^2 y_3}{(1-d-f)[(1+a+ae)y_1 + (1+b+c+be+2bg+cg)y_2 + (1+d)y_3 + (1+e)y_4]} \quad (6.77)$$

iar expresia simplificată a constantei va fi:

$$K_4^1 = \frac{4d^2 y_3}{(1-d)[y_1 + y_2 + (1+d)y_3 + y_4]} \quad (6.78)$$

Constanta K_5 a reacției $\text{O}_2 \rightleftharpoons 2\text{O}$

Ecuția (6.65) are forma particulară:

$$K_5 = \frac{(z_O)^2}{z_{O_2}} = \frac{(V_O)^2}{V_{O_2} V_{fg}} \quad (6.79)$$

iar constanta K_5 va fi:

$$K_5 = \frac{4e^2 (ay_1 + by_2 + y_4)^2}{[(1-e)(ay_1 + by_2 + y_4) - fy_3]} \cdot \frac{4e^2 (ay_1 + by_2 + y_4)^2}{[(1+a+ae)y_1 + (1+b+c+be+2bg+cg)y_2 + (1+d)y_3 + (1+e)y_4]} \quad (6.80)$$

Expresia simplificată este:

$$K_5^1 = \frac{4e^2 y_4}{(1-e) \cdot [y_1 + y_2 + y_3 + (1+e)y_4]} \quad (6.81)$$

Constanta K_6 a reacției $O_2 + N_2 \rightleftharpoons 2NO$

Legea acțiunii maselor este în acest caz:

$$K_6 = \frac{(z_{NO})^2}{z_{O_2} z_{N_2}} = \frac{(V_{NO})^2}{V_{O_2} V_{N_2}} \quad (6.82)$$

conducând la expresia:

$$K_6 = \frac{4f^2 y_3}{(1-d-f) \cdot [(1-e)(ay_1 + by_2 + y_4) - fy_3]} \quad (6.83)$$

Formula simplificată devine:

$$K_6^1 = \frac{4f^2 y_3}{(1-f)(y_4 - fy_3)} \quad (6.84)$$

Constanta K_7 a reacției $H_2 \rightleftharpoons 2H$

Din legea acțiunii maselor rezultă:

$$K_7 = \frac{(z_H)^2}{z_{H_2}} = \frac{(V_H)^2}{V_{H_2} V_{fg}} \quad (6.85)$$

Constanta K_7 este în consecință:

$$K_7 = \frac{4g^2(2b+c)y_2}{(1-g)[(1+a+ae)y_1 + (1+b+c+be+2bg+cg)y_2 + (1+d)y_3 + (1+e)y_4]} \quad (6.86)$$

Această reacție de disociere constituie un caz particular, deoarece hidrogenul molecular este singura specie care rezultă **independent** de celelalte reacții de disociere. De aceea, determinarea valorii de start pentru fracția g este imposibilă (egalând cu zero celelalte fracții, K_7 devine deasemeni egal zero). Ieșirea din impas se face calculând pe g din ecuația (6.86) funcție de valorile de start ale celorlalte fracții. Pentru ceilalți pași ai iterației, algoritmul este același ca și în cazul celorlalte reacții de disociere.

O situație similară se întâlnește în cazul reacției de disociere a oxigenului, la arderea stoechiometrică ($\lambda = 1$): neexistând exces de oxigen, acesta nu există nici în gazele de ardere și deci acesta nu poate disocia într-o reacție primară, ci doar ca rezultat al reacțiilor primare. În acest caz, la primul pas se impune valoarea zero pentru e (fracția de oxigen disociaat), iar pentru pașii următori, calculul lui e se face plecând de la ecuația (6.86).

6.4.10.2. Determinarea constantelor reacțiilor de disociere

Determinarea valorii constantei de reacție se face pe baza datelor din Tab. 6.5. Cum în tabel sunt date valori discrete pentru anumite temperaturi, iar temperaturile din calcule sunt în general diferite de cele din tabel, a trebuit să se recurgă la legea de variație a constantei de echilibru a reacției funcție de temperatură. A fost considerată o lege de tipul:

$$\ln K = -\frac{1}{T}x_1 + (\ln T)x_2 + Tx_3 + T^2x_4 + T^3x_5 \quad (6.87)$$

Tab. 6.5. Logaritmi naturali ai constantei de echilibru la presiunea de 1 MPa pentru reacțiile de disociere considerate

Temp. K	$H_2 \rightleftharpoons 2H$	$O_2 \rightleftharpoons 2O$	$N_2 \rightleftharpoons 2N$	$2H_2O \rightleftharpoons 2H_2 + O_2$	$2H_2O \rightleftharpoons H_2 + 2OH$	$2CO_2 \rightleftharpoons 2CO + O_2$	$N_2 + O_2 \rightleftharpoons 2NO$
500	-92,827	-105,630	-213,372	-105,382	-120,562	-115,232	-40,590
1000	-39,803	-45,150	-99,127	-46,326	-52,068	-47,058	-18,776
1200	-30,874	-35,005	-80,011	-36,364	-40,566	-35,742	-15,138
1400	-24,463	-27,742	-66,329	-29,218	-32,198	-27,684	-12,540
1600	-19,637	-22,285	-56,055	-23,842	-26,132	-21,660	-10,588
1800	-15,866	-18,030	-48,051	-19,652	-21,314	-16,994	-9,072
2000	-12,840	-14,622	-41,645	-16,290	-17,456	-13,270	-7,862
2200	-10,353	-11,827	-36,391	-13,536	-14,296	-10,240	-6,866
2400	-8,276	-9,497	-32,011	-11,238	-11,664	-7,720	-6,038
2600	-6,517	-7,521	-28,304	-9,296	-9,438	-5,602	-5,342
2800	-5,002	-5,826	-25,117	-7,624	-7,526	-3,788	-4,742
3000	-3,685	-4,357	-22,359	-6,172	-5,874	-2,222	-4,228
3200	-2,534	-3,072	-19,937	-4,902	-4,424	-0,858	-3,776
3400	-1,516	-1,935	-17,800	-3,782	-3,152	0,338	-3,380
3600	-0,609	-0,926	-15,898	-2,784	-2,176	1,402	-3,026
3800	0,202	-0,019	-14,199	-1,890	-1,002	2,352	-2,712
4000	0,934	0,796	-12,660	-1,084	-0,088	3,198	-2,432
4500	2,486	2,513	-9,414	0,624	1,840	4,980	-1,842
5000	3,725	3,895	-6,807	1,992	3,378	6,394	-1,372
5500	4,743	5,023	-4,666	3,120	4,636	7,542	-0,994
6000	5,590	5,963	-2,865	4,064	5,686	8,490	-0,682

Această lege permite o aproximare în 5 puncte a variației constantei de echilibru, ceea ce implică cunoașterea a 5 valori ale constantei pentru 5 temperaturi. Din acest motiv, plaja de valori ale temperaturii din tabel a fost împărțită în 5 intervale a câte 5 valori, pentru a putea determina coeficienții x_i ai ecuației (6.87):

- intervalul 1: $T = 500 - 1600$ K
- intervalul 2: $T = 1600 - 2400$ K
- intervalul 3: $T = 2400 - 3200$ K
- intervalul 4: $T = 3200 - 4000$ K
- intervalul 5: $T = 4000 - 5000$ K

Calcularea coeficienților x_i se face pentru intervalul în care se află temperatura, ceea ce înseamnă găsirea soluției unui sistem de 5 ecuații liniare cu 5 necunoscute (coeficienții x_i), de forma:

$$a_{i,1}x_1 + a_{i,2}x_2 + a_{i,3}x_3 + a_{i,4}x_4 + a_{i,5}x_5 = b_i \quad (6.88)$$

unde:

$$a_{i,1} = -\frac{1}{T_{i,\text{interval}}} \quad (6.89)$$

$$a_{i,2} = \ln(T_{i,\text{interval}}) \quad (6.90)$$

$$a_{i,3} = T_{i,\text{interval}} \quad (6.91)$$

$$a_{i,4} = T_{i,\text{interval}}^2 \quad (6.92)$$

$$a_{i,5} = T_{i,\text{interval}}^3 \quad (6.93)$$

$$b_{i, \text{interval}} = \ln(K_{i, \text{interval}}) \quad (6.94)$$

Sistemul poate fi scris în formă matricială:

$$A_{ij} \cdot X_i = B_i \quad (6.95)$$

unde:

$$A_{i,j} = \begin{pmatrix} a_{1,1} & a_{1,2} & a_{1,3} & a_{1,4} & a_{1,5} \\ a_{2,1} & a_{2,2} & a_{2,3} & a_{2,4} & a_{2,5} \\ a_{3,1} & a_{3,2} & a_{3,3} & a_{3,4} & a_{3,5} \\ a_{4,1} & a_{4,2} & a_{4,3} & a_{4,4} & a_{4,5} \\ a_{5,1} & a_{5,2} & a_{5,3} & a_{5,4} & a_{5,5} \end{pmatrix} \quad (6.96)$$

$$X_i = \begin{pmatrix} x_1 \\ x_2 \\ x_3 \\ x_4 \\ x_5 \end{pmatrix} \quad (6.97)$$

$$B_i = \begin{pmatrix} b_1 \\ b_2 \\ b_3 \\ b_4 \\ b_5 \end{pmatrix} \quad (6.98)$$

Determinarea soluției sistemului se face prin algoritmul Gauss, care transformă matricea A_{ij} a necunoscutelor într-o matrice diagonală astfel încât determinarea elementelor vectorului X_i devine extrem de ușoară.

După ce s-au determinat coeficienții x_i prin tehnica descrisă mai sus,

valoarea constantei de echilibru a reacției se calculează substituind valoarea temperaturii în ecuația (6.87).

Odată valorile constantelor K_i astfel determinate, fracțiile dissociate se determină prin tehnica încercare-și-eroare descrisă mai jos.

6.4.10.3. Determinarea temperaturii adiabatice de ardere după disociere

Deoarece căldurile specifice volumice care intervin în ecuația de bilanț termic utilizată pentru determinarea temperaturii adiabatice de ardere sunt dependente de temperatură, aceasta va fi o ecuație transcendentă, a cărei necunoscută este temperatura adiabatică de ardere după disociere. Soluția ecuației se determină prin metoda Newton-Raphson.

Ecuția de bilanț are forma:

$$H_{cb} + H_{aer} = H_{l,ga} \left(T_{l,ga}, V_i \left(T_{l,ga} \right) \right) \quad (6.99)$$

unde:

- H_{cb} – entalpia combustibilului la temperatura de preîncălzire T_{PI} ;
- H_{aer} – entalpia aerului la temperatura de preîncălzire T_{PI} ;
- $H_{l,ga}$ – entalpia gazelor de ardere la temperatura adiabatică de ardere $T_{l,ga}$ după disociere, ca funcție de această temperatură necunoscută și de compoziția gazelor de ardere, care și ea este dependentă de temperatură;
- V_i – volumele componentelor gazelor de ardere, rezultate în urma disocierii.

Entalpia combustibilului H_{cb} se scrie astfel:

$$\begin{aligned}
H_{cb} = & (ch4) \left[(h_f^0)_{CH_4} + \int_{T_0}^{T_{PI}} c_{p, CH_4} dT \right] + (c2h6) \left[(h_f^0)_{C_2H_6} + \int_{T_0}^{T_{PI}} c_{p, C_2H_6} dT \right] + \\
& + (c3h8) \left[(h_f^0)_{C_3H_8} + \int_{T_0}^{T_{PI}} c_{p, C_3H_8} dT \right] + (c4h10) \left[(h_f^0)_{C_4H_{10}} + \int_{T_0}^{T_{PI}} c_{p, C_4H_{10}} dT \right] + \\
& + (co2) \left[(h_f^0)_{CO_2} + \int_{T_0}^{T_{PI}} c_{p, CO_2} dT \right] + (n2) \int_{T_0}^{T_{PI}} c_{p, N_2} dT \quad \left[\frac{J}{m^3 \text{ cb}} \right]
\end{aligned} \quad (6.100)$$

Entalpia aerului se determină cu ecuația:

$$\begin{aligned}
H_{aer} = & V_a \left[x_{O_2} \int_{T_0}^{T_{PI}} c_{p, O_2} dT + x_{N_2} \int_{T_0}^{T_{PI}} c_{p, N_2} dT + \right. \\
& \left. + x_{H_2O} \left((h_f^0)_{H_2O} + \int_{T_0}^{T_{PI}} c_{p, H_2O} dT \right) \right] \quad \left[\frac{J}{m^3 \text{ cb}} \right]
\end{aligned} \quad (6.101)$$

Pentru entalpia gazelor de ardere după disociere se folosește ecuația:

$$\begin{aligned}
H_{l,ga} = & V_{CO_2} \left[(h_f^0)_{CO_2} + \int_{T_0}^{T_{l,ga}} c_{p, CO_2} dT \right] + V_{CO} \left[(h_f^0)_{CO} + \int_{T_0}^{T_{l,ga}} c_{p, CO} dT \right] + \\
& + V_{H_2O} \left[(h_f^0)_{H_2O} + \int_{T_0}^{T_{l,ga}} c_{p, H_2O} dT \right] + V_{OH} \left[(h_f^0)_{OH} + \int_{T_0}^{T_{l,ga}} c_{p, OH} dT \right] + \\
& + V_O \left[(h_f^0)_O + \int_{T_0}^{T_{l,ga}} c_{p, O} dT \right] + V_H \left[(h_f^0)_H + \int_{T_0}^{T_{l,ga}} c_{p, H} dT \right] +
\end{aligned} \quad (6.102)$$

$$\begin{aligned}
 &+V_N \left[\left(h_f^0 \right)_N + \int_{T_0}^{T_{1,ga}} c_{p,N} dT \right] + V_{NO} \left[\left(h_f^0 \right)_{NO} + \int_{T_0}^{T_{1,ga}} c_{p,NO} dT \right] + \\
 &+V_{N_2} \int_{T_0}^{T_{1,ga}} c_{p,N_2} dT + V_{O_2} \int_{T_0}^{T_{1,ga}} c_{p,O_2} dT + V_{H_2} \int_{T_0}^{T_{1,ga}} c_{p,H_2} dT \quad \left[\frac{J}{m^3 \text{ cb}} \right]
 \end{aligned}$$

În ecuațiile (6.100) ... (6.102) mărimile $\left(h_f^0 \right)_i$ reprezintă entalpiile de formare ale componentelor. Acestea sunt tabelate mai jos:

Tab.6.6. Entalpii de formare

Component	Entalpie de formare [kJ / m ³]
CO ₂	-17557
CO	-4931,25
H ₂ O	-10789,1
OH	1760,64
O	11117,83
H	9525,44
NO	4041,76
N	21087,1
CH ₄	-3340,46
C ₂ H ₆	-3777,42
C ₃ H ₈	-4633,13
C ₄ H ₁₀	-5628,1

Variația cu temperatura a căldurilor specifice izobare ale gazelor care intervin în procesele de disociere este dată sub formă polinomială în ecuațiile

următoare (în ecuațiile (6.42) ... (6.45) sunt date polinoamele pentru CO₂, H₂O, O₂, și N₂):

$$c_{p, \text{CO}} = 3,0849023 - 9,94124 \cdot 10^{-4} \cdot T^{0,75} - 89,573481 \cdot T^{-0,5} + 249,38173 \cdot T^{-0,75} \left[\frac{\text{kJ}}{\text{m}^3 \text{K}} \right] \quad (6.103)$$

$$c_{p, \text{OH}} = 3,6381726 - 0,837339 \cdot T^{0,25} + 0,0244486 \cdot T^{0,75} - 1,90327 \cdot 10^{-3} \cdot T \left[\frac{\text{kJ}}{\text{m}^3 \text{K}} \right] \quad (6.104)$$

$$c_{p, \text{NO}} = 2,6449094 - 7,62737 \cdot 10^{-3} \cdot T^{0,5} - 31,503971 \cdot T^{-0,5} + 3341,1707 \cdot T^{-1,5} \left[\frac{\text{kJ}}{\text{m}^3 \text{K}} \right] \quad (6.105)$$

$$c_{p, \text{H}_2} = 2,520969 - 991,46025 \cdot T^{-0,75} + 5197,6443 \cdot T^{-1} - 25015,615 \cdot T^{-1,5} \left[\frac{\text{kJ}}{\text{m}^3 \text{K}} \right] \quad (6.106)$$

$$c_{p, \text{CH}_4} = -30,02008 + 6,204069 \cdot T^{0,25} - 3,509488 \cdot 10^{-2} \cdot T^{0,75} + 144,499 \cdot T^{-0,5} \left[\frac{\text{kJ}}{\text{m}^3 \text{K}} \right] \quad (6.107)$$

$$c_{p, C_2H_6} = 0,3076203 + 7,700545 \cdot 10^{-3} \cdot T - 2,856251 \cdot 10^{-6} \cdot T^2 + 3,24797 \cdot 10^{-10} \cdot T^3 \quad \left[\frac{\text{kJ}}{\text{m}^3 \text{K}} \right] \quad (6.108)$$

$$c_{p, C_3H_8} = -0,1803337 + 1,358972 \cdot 10^{-2} \cdot T - 7,009012 \cdot 10^{-6} \cdot T^2 + 1,414741 \cdot 10^{-9} \cdot T^3 \quad \left[\frac{\text{kJ}}{\text{m}^3 \text{K}} \right] \quad (6.109)$$

$$c_{p, C_4H_{10}} = 0,1764076 + 1,656108 \cdot 10^{-2} \cdot T - 8,177924 \cdot 10^{-6} \cdot T^2 + 1,560632 \cdot 10^{-9} \cdot T^3 \quad \left[\frac{\text{kJ}}{\text{m}^3 \text{K}} \right] \quad (6.110)$$

Pentru căldurile specifice ale O, H și N se consideră valoarea constantă de 0,9273 kJ/m³K.

6.4.10.4. Programele de computer pentru calculul arderii

Autorii au transpus algoritmul de calcul al arderii descris mai sus într-un pachet software scris în limbaj QBASIC. Programul, scris într-o manieră unitară, este exemplificat în **Anexa** de la sfârșitul cărții. Datele de ieșire ale programului constituie date de intrare pentru un alt program, care determină suprafețele de schimb de căldură ale cazanului de abur. Deoarece această parte nu constituie subiectul cărții de față, nu va fi prezentată.

Programul, numit BOIL_COMBUSTION, are ca date de intrare:

- compoziția combustibilului și puterea sa calorică inferioară;
- temperaturile aerului (atmosferic și după preîncălzire);
- umiditatea atmosferică;
- pentru oxii-combustie, procentele volumice de oxigen și azot din oxidant (aer îmbogățit cu oxigen, putând merge până la 100% O₂);
- entalpiile de formare ale diverselor gaze care compun combustibilul, oxidantul și gazele de ardere;
- coeficientul de exces de aer.

Primul modul al programului calculează volumul de aer necesar arderii și volumele componentelor gazelor de ardere în ipoteza arderii fără disociere (și care constituie valorile de start pentru calculul disocierii), fracțiile volumice de oxigen, azot și vapori de apă din aerul umed și temperatura adiabatică de ardere în absența disocierii. Aceasta din urmă, deși nu este necesară mersului procesului de calcul, este determinată doar pentru a avea un nivel de referință pentru valoarea temperaturii adiabatică de ardere rezultate în urma disocierii.

Modulul principal al programului determină temperatura adiabatică de ardere după disociere ($T_{1, ga}$) și compoziția gazelor de ardere (volume și fracții molare). La fiecare pas al iterației principale, valoarea temperaturii se determină din ecuația de bilanț (6.99) astfel:

- se calculează cei doi membri ai ecuației de bilanț și se scad, rezultând astfel funcția a cărei rădăcină este noua valoare a temperaturii;
- deoarece este o ecuație transcendentă, soluția acesteia este obținută prin metoda Newton-Raphson, ceea ce implică determinarea derivatei funcției respective;
- se compară valoarea astfel obținută cu cea din pasul anterior al iterației Newton-Raphson și dacă diferența este mai mică decât 0,5 K, aceasta este valoarea care se adoptă pentru temperatura adiabatică de ardere din pasul actual al iterației principale; dacă nu, se reia procedura Newton-Raphson.

Rularea variantelor inițiale ale programului a arătat că în procesul iterativ de determinare a temperaturii adiabatică de ardere și a compoziției gazelor de ardere, utilizarea valorii temperaturii din pasul anterior al iterației ca valoare de start pentru iterația curentă, nu duce întotdeauna la convergența procedurii. De aceea s-a adoptat o tehnică incrementală în care temperatura pentru noul pas se obține din valoarea de la pasul precedent, adăugându-se un increment variabil ca valoare: la început acesta este mare, dar pe măsură ce diferența dintre două valori succesive ale temperaturii se reduce, se reduce și incrementul (ajungând la fracțiuni de grad) până ce se obține o bună concordanță a valorilor succesive ale temperaturii. La acest moment, procesul iterativ este oprit, iar valoarea finală a temperaturii adiabatică de ardere după disociere se stabilește ca medie aritmetică a valorilor din ultimii doi pași.

Modulul principal al programului are următoarele subrutine:

- **disoc:** Subrutina calculează fracțiile disociate (gradele de disociere a , b , c , d , e , f și g) pentru reacțiile de disociere, precum și volumele și fracțiile molare ale fiecărei specii care rezultă. Ca subprogram al acestei subrutine, se folosește subrutina **eqconst**.
- **eqconst:** Această subrutină calculează valorile constantelor de echilibru K_i ale reacțiilor de disociere pentru valoarea temperaturii din pasul curent al iterației. Pentru aceasta, programul citește datele din Tab.6.5.,

care sunt structurate în 35 de subrutine, corespunzând la 7 reacții \times 5 intervale de câte 5 valori (subrutinele **range 11 ... range 75**). Soluțiile ecuațiilor de tip (6.87) sunt obținute cu subrutina **gauss**, conform algoritmului eliminării gaussiene.

- **spheat**: Subrutina determină căldurile specifice ale diverselor gaze care intervin în reacții.
- **integrals**: Integralele căldurilor specifice utilizate pentru a calcula entalpiile din ecuațiile (6.100) ... (6.102) sunt determinate cu această subrutină.
- **printing**: Această subrutină cuprinde opțiunile și modul de printare a datelor de ieșire (temperatura adiabatică de ardere după disociere, volume și fracții molare).

6.4.10.4. Rezultate numerice

Rezultatele calculelor efectuate cu ajutorul pachetului software prezentat au fost comparate cu cele obținute cu un soft comercial de specialitate, și anume CHEMKIN™, profilat pe cinetica reacțiilor chimice și în special pe calculele de ardere. Introducând aceleași date de intrare, rezultatele au fost într-o foarte bună concordanță, confirmând corectitudinea algoritmului folosit de autori și a pachetului software original dezvoltat pentru acest algoritm. Spre exemplificare, în Tab. 6.7. sunt prezentate în coloane alăturate rezultatele proprii și cele furnizate de CHEMKIN pentru arderea cu aer atmosferic, preîncălzit la 590 K și cu coeficientul de exces de aer $\lambda = 1,07$.

Tab. 6.7. Comparație între rezultatele obținute cu programul BOIL_COMBUSTION și cele obținute cu CHEMKIN

Specia	BOIL_COMBUSTION: $T_{1,ga} = 2326,256 \text{ K}$	CHEMKIN: $T_{1,ga} = 2328,6 \text{ K}$
CO ₂	$8,275487 \cdot 10^{-2}$	$8,2542 \cdot 10^{-2}$
H ₂ O	$1,656387 \cdot 10^{-1}$	$1,6652 \cdot 10^{-1}$
H ₂	$3,300526 \cdot 10^{-3}$	$3,5715 \cdot 10^{-3}$
CO	$9,213151 \cdot 10^{-3}$	$9,9995 \cdot 10^{-3}$
O ₂	$1,488425 \cdot 10^{-2}$	$1,3783 \cdot 10^{-3}$
OH	$5,739938 \cdot 10^{-3}$	$5,5283 \cdot 10^{-3}$
O	$7,0411 \cdot 10^{-4}$	$7,0564 \cdot 10^{-4}$
H	$6,380673 \cdot 10^{-4}$	$6,8756 \cdot 10^{-4}$
N ₂	$7,1277 \cdot 10^{-1}$	$7,1234 \cdot 10^{-1}$
NO	$4,356429 \cdot 10^{-3}$	$4,3243 \cdot 10^{-3}$
N	$4,3908 \cdot 10^{-8}$	0

Diferențele (foarte mici, dealtfel) se explică prin aceea că CHEMKIN ia în considerare și alte reacții de disociere, rezultând și alte specii, cum ar fi: HO₂, CH, CH₂, CH₃, CH₂O, CH₂OH. Temperatura adiabatică de ardere diferă doar cu 2 K, ceea ce reprezintă o foarte bună concordanță.

Scopul urmărit fiind studiarea arderii cu aer îmbogățit în oxigen, tabelul de mai jos cuprinde temperatura adiabatică de ardere și compoziția gazelor de ardere la echilibru, în fracții molare, pentru diverse procente de oxigen în aerul de ardere, obținute cu programul BOIL_COMBUSTION. Se observă creșterea temperaturii adiabactice de ardere cu creșterea procentului de oxigen.

Tab. 6.7. Temperatura adiabatică de ardere și compoziția la echilibru pentru diverse procente de oxigen în aerul de ardere.

	25% O ₂	35% O ₂	50% O ₂	75% O ₂	100% O ₂
T _{1, ga} [K]	2466,0	2860,27	2850,25	2994,7	3077,6
CO ₂	8,815609·10 ⁻²	9,5203·10 ⁻²	1,013745·10 ⁻¹	1,091985·10 ⁻¹	1,153174·10 ⁻¹
H ₂ O	1,873328·10 ⁻¹	2,295488·10 ⁻¹	2,748869·10 ⁻¹	3,2619·10 ⁻¹	3,60208·10 ⁻¹
H ₂	6,594691·10 ⁻³	1,637222·10 ⁻²	3,084102·10 ⁻²	5,045012·10 ⁻²	6,46925·10 ⁻²
CO	1,858885·10 ⁻²	4,438413·10 ⁻²	7,863383·10 ⁻²	1,215484·10 ⁻¹	1,521448·10 ⁻¹
O ₂	2,08624·10 ⁻²	3,634816·10 ⁻²	5,697469·10 ⁻²	8,416795·10 ⁻²	1,080412·10 ⁻¹
OH	9,955648·10 ⁻³	2,390938·10 ⁻²	4,521618·10 ⁻²	7,544787·10 ⁻²	1,00528·10 ⁻¹
O	1,765141·10 ⁻³	6,329597·10 ⁻³	1,574345·10 ⁻²	3,225314·10 ⁻²	4,822652·10 ⁻²
H	1,759021·10 ⁻³	6,75549·10 ⁻³	1,713841·10 ⁻²	3,500786·10 ⁻²	5,084046·10 ⁻²
N ₂	6,585283·10 ⁻¹	5,302525·10 ⁻¹	3,647741·10 ⁻¹	1,521521·10 ⁻¹	6,4494·10 ⁻¹⁰
NO	6,456972·10 ⁻³	1,089518·10 ⁻²	1,441379·10 ⁻²	1,357881·10 ⁻²	1,103541·10 ⁻⁶
N	1,728714·10 ⁻⁷	1,014643·10 ⁻⁶	3,057492·10 ⁻⁶	5,261717·10 ⁻⁶	5,77042·10 ⁻¹⁰

CAPITOLUL 7.

CONTROLUL ARDERII

7.1. INTRODUCERE

La arderea teoretică (stoechiometrică), în gazele de ardere se găsesc doar dioxid de carbon și vapori de apă. Dacă arderea este reală dar completă (cu exces de aer), atunci gazele de ardere mai conțin în plus și oxigen provenit din excesul de aer.

Pentru asigurarea unei arderi cât mai complete, contactul aer-combustibil este esențial, în contextul unui exces de aer minim. Excesul de aer trebuie să fie minim, pentru ca temperatura adiabatică de ardere să fie cât mai apropiată de valoarea maximă, corespunzătoare arderii stoechiometrice.

Factorii prin care arderea poate fi controlată sunt:

1. Gradul de pulverizare a combustibilului. Cu cât combustibilul este mai fin pulverizat, cu atât amestecarea cu aerul primar¹ se face mai bine, arderea fiind mai completă. În cazul cărbunelui, arderea cărbunelui-praf decurge mai complet decât cea a cărbunelui-bulgări. Păcura pulverizată arde mai bine decât în jet, pulverizarea făcându-se fie cu aer comprimat, fie cu abur sub presiune. La combustibilii gazoși, turbionarea, adică crearea unei mișcări elicoidale care stimulează formarea de turbioane (vârtejuri), conduce la o amestecare eficientă.

2. Debitul de combustibil

3. Amestecarea aer-combustibil în zona de ardere. Creșterea gradului de amestecare se realizează prin asigurarea unei cât mai mari viteze relative dintre aer și particula de combustibil. De exemplu, în cazul motoarelor Diesel, aerul din camera de ardere este puternic turbionat prin configurarea geometrică specială a camerei de ardere și a capului pistonului, iar jeturile de combustibil pulverizate de către injector sunt orientate astfel încât picătura de motorină să se deplaseze în contracurent cu aerul. La viteză relativă nulă sau mică, în jurul picăturii care arde se formează o anvelopă de gaze de ardere care întrerupe contactul cu aerul proaspăt și arderea încetează, rămânând combustibil nears. La viteze relative mari, această anvelopă este suflată, arderea putând decurge normal și complet.

4. Tirajul. La tiraj natural, viteza aerului este mică și scad posibilitățile de amestecare. Dacă tirajul este forțat, viteza relativă este mare și amestecarea este mai bună.

¹ Aerul primar este aerul care se amestecă cu combustibilul în arzător. Aerul secundar este aerul care difuzează în flacără, provenind din exteriorul acesteia (mediul în care pătrunde flacără).

Arderea în condiții stoechiometrice este o ardere în condiții ideale, procentul de CO_2 în gazele de ardere fiind maxim. Rezultă deci că proporția în care dioxidul de carbon este prezent în produșii de ardere poate constitui un indicator al calității arderii. Explicația constă în aceea că este mult mai puțin probabil ca hidrogenul de constituție al combustibilului să ardă incomplet, deoarece atomii de hidrogen sunt mult mai mobili, au viteze mai mari și deci probabilitatea de combinare cu oxigenul din aer este mult mai mare. Carbonul însă arde mai greu, motiv pentru care arderea incompletă are loc cu un grad maxim de probabilitate datorită acestuia.

Furnizând aerul minim necesar, arderea în condiții reale va fi cu siguranță incompletă datorită amestecării insuficiente și de aceea este necesară suplimentarea cantității de aer de ardere astfel încât combustia să decurgă complet. Excesul de aer trebuie să fie minim, deoarece determină o scădere a temperaturii adiabatice de ardere. Principala cauză a arderii incomplete este amestecarea insuficientă, care face ca în unele regiuni ale volumului în care are loc combustia, să fie deficit de aer (amestecul este bogat), în timp ce în alte regiuni, amestecul este sărac (exces prea mare de aer). Cum timpul de rezidență a particulei de combustibil în volumul de ardere este finit, fracțiuni de combustibil (în cazul cel mai rău) părăsesc incinta fără să fi ars (de exemplu la arderea cărbunelui-bulgări pe grătar), sau reacțiile de ardere se opresc la stadii intermediare, fără a se ajunge integral la produșii finali (de exemplu, arderea carbonului se oprește parțial la stadiul intermediar de monoxid de carbon). De aceea, prezența monoxidului de carbon în gazele de ardere este semnul incontestabil că arderea a fost incompletă. Figura 7.1. ilustrează relația care se stabilește între excesul de aer și compoziția procentuală (în volume) a gazelor de ardere în ceea ce privește oxigenul, dioxidul de carbon și monoxidul de carbon.

Funcționarea instalației de ardere la maximum posibil de eficiență înseamnă găsirea optimului dintre două efecte contradictorii:

- exces de aer insuficient, care conduce la ardere incompletă;
- exces de aer prea mare, care face ca arderea să fie completă, dar scade temperatura adiabatică de ardere.

Așa cum am afirmat mai sus, pe instalația reală, determinarea procentului de dioxid de carbon ar putea da indicații asupra excesului de aer, dar metoda nu este utilizată deoarece, așa cum se observă în Fig. 7.2., o ardere cu amestec bogat ar indica procentul de CO_2 caracteristic unei arderi complete cu exces de aer. O orizontală corespunzând procentului respectiv de CO_2 intersectează cele două ramuri ale curbei dioxidului de carbon în două puncte, deci simultan pentru deficit de aer și pentru exces de aer. Dacă însă se trasează curba procentului de oxigen, atunci nedeterminarea nu se mai manifestă, deoarece la arderea cu amestec bogat gazele de ardere nu conțin oxigen, pe când la arderea cu exces de aer, în produșii de ardere se va găsi O_2 într-un procent proporțional cu excesul de aer.

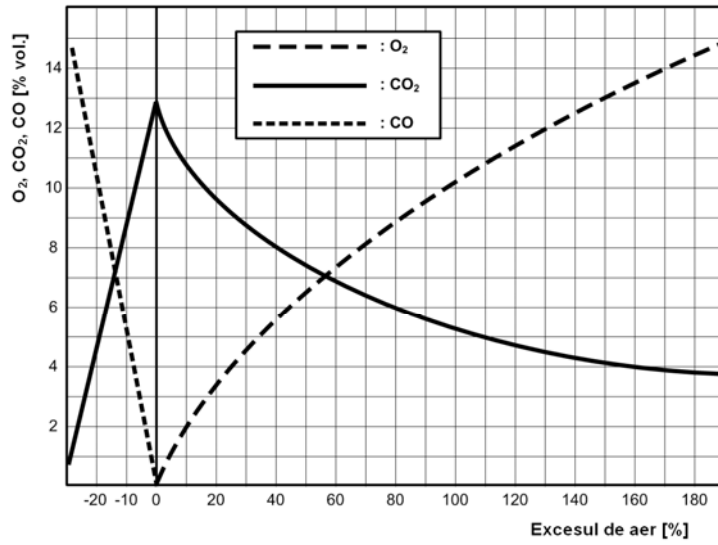


Fig. 7.1. Variația procentelor volumice de O_2 , CO_2 și CO în gazele de ardere

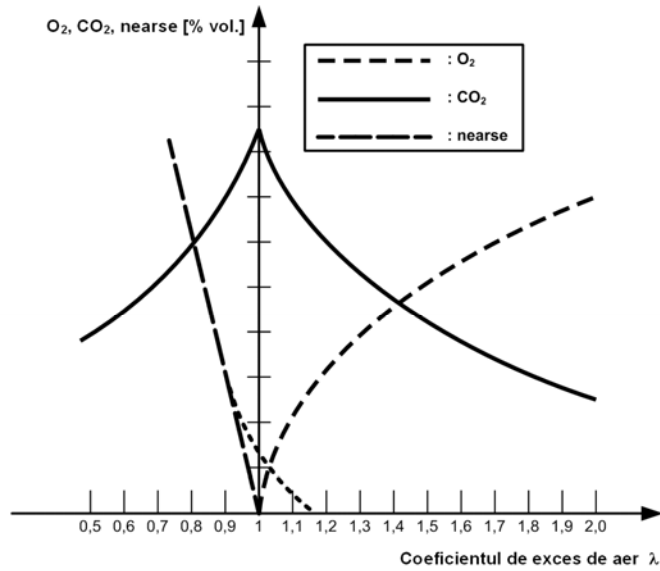


Fig. 7.2. Variația procentelor volumice de O_2 , CO și nearse în gazele de ardere

Pe aceeași figură, curba punctată fin care se desprinde din dreapta teoretică reprezentând procentul de elemente combustibile rămase nearse, descrie condițiile reale. Această curbă arată că este necesar un mic exces de aer pentru ca elementele nearse să ardă complet, fapt explicabil prin condițiile concrete în care se realizează amestecarea aer-combustibil (care este imperfectă).

Figura 7.3. prezintă curbele procentajelor de O₂ și CO₂ pentru diverse tipuri de combustibili, funcție de coeficientul de exces de aer λ.

7.2. CONTROLUL ANALITIC AL PROCESULUI DE ARDERE

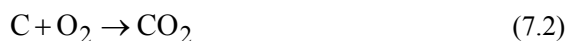
În condițiile reale de exploatare, determinarea prin calcul a componentelor procesului de ardere (cantități de aer și de gaze de ardere, coeficient de exces de aer) plecând de la compoziția combustibilului este imposibilă, deoarece arderea este incompletă și nu se cunosc pierderile. Din acest motiv, calculul acestor componente trebuie să aibă ca date de plecare atât compoziția combustibilului, cât și valorile măsurate ale componentelor gazelor de ardere. În cele ce urmează, vom detalia metodologia de calcul analitic al componentelor procesului de ardere în condiții reale în cele două cazuri: pentru combustibilii solizi și lichizi și pentru combustibilii gazoși.

7.2.1. Combustibili solizi și lichizi

7.2.1.1. Calculul volumului gazelor de ardere

Calculul volumului de gaze de ardere uscate

Se pleacă de la reacțiile posibile de oxidare a carbonului:



Deasemeni, se consideră și posibilele reacții de formare de hidrocarburi, dar se neglijează formarea hidrocarburilor superioare metanului:



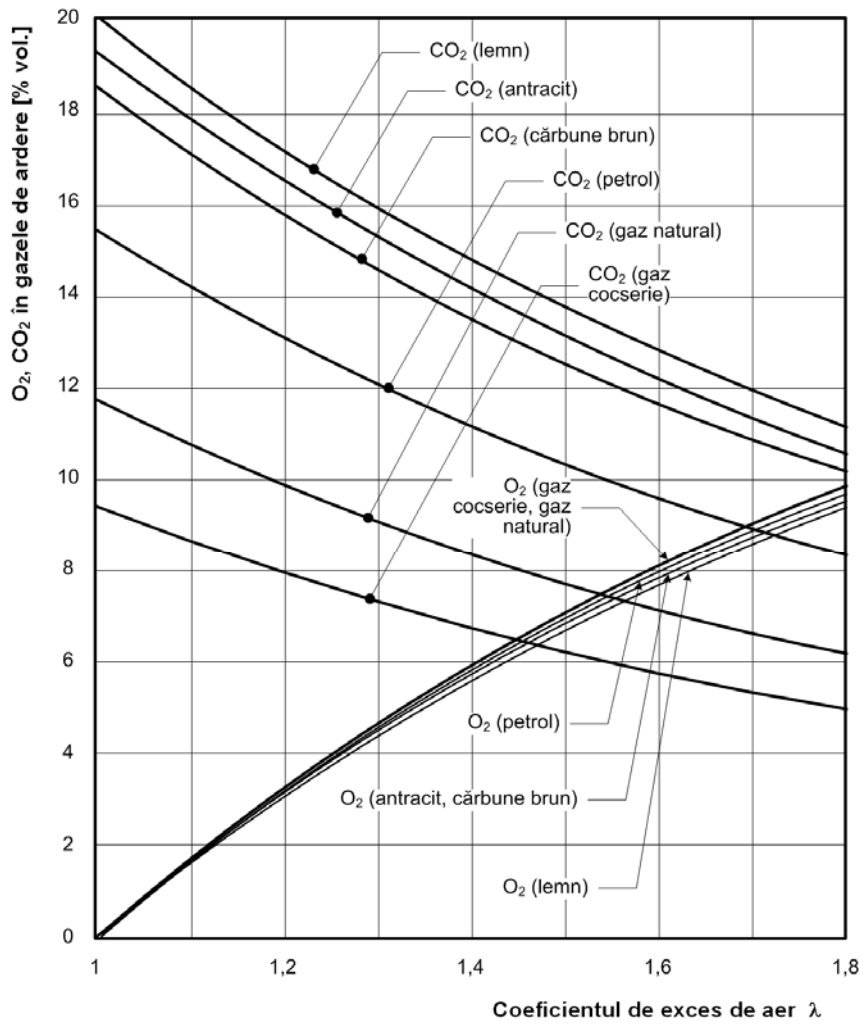


Fig. 7.3. Variația procentelor volumice de O_2 și CO_2 în gazele de ardere funcție de excesul de aer la arderea diversilor combustibili

Volumele de compuși care se formează în condițiile arderii stoechiometrice dacă întreaga cantitate de carbon de constituție $\frac{C^i}{100}$ din combustibil s-ar transforma numai în CO, în CO₂, sau în CH₄, sunt:

$$V_{CO}^0 = 1,8678 \frac{C^i}{100} = \frac{1}{0,536} \frac{C^i}{100} \left[\frac{m^3 CO}{kg cb} \right] \quad (7.4)$$

$$V_{CO_2}^0 = 1,8678 \frac{C^i}{100} = \frac{1}{0,536} \frac{C^i}{100} \left[\frac{m^3 CO_2}{kg cb} \right] \quad (7.5)$$

$$V_{CH_4}^0 = 1,8678 \frac{C^i}{100} = \frac{1}{0,536} \frac{C^i}{100} \left[\frac{m^3 CH_4}{kg cb} \right] \quad (7.6)$$

În realitate carbonul din combustibil se transformă în CO, CO₂ și CH₄ respectiv în proporțiile x_{CO} , x_{CO_2} și x_{CH_4} a căror sumă este egală cu unitatea și prin urmare, volumele produșilor carbonului vor fi:

$$V_{CO} = x_{CO} V_{CO}^0 = 1,8678 x_{CO} \frac{C^i}{100} = \frac{1}{0,536} x_{CO} \frac{C^i}{100} \left[\frac{m^3 CO}{kg cb} \right] \quad (7.7)$$

$$V_{CO_2} = x_{CO_2} V_{CO_2}^0 = 1,8678 x_{CO_2} \frac{C^i}{100} = \frac{1}{0,536} x_{CO_2} \frac{C^i}{100} \left[\frac{m^3 CO_2}{kg cb} \right] \quad (7.8)$$

$$V_{CH_4} = x_{CH_4} V_{CH_4}^0 = 1,8678 x_{CH_4} \frac{C^i}{100} = \frac{1}{0,536} x_{CH_4} \frac{C^i}{100} \left[\frac{m^3 CH_4}{kg cb} \right] \quad (7.9)$$

La combustibilii care conțin sulf, se calculează *carbonul redus* $\frac{K^i}{100}$, care simplifică calculele prin includerea sulfurii:

$$\frac{K^i}{100} = \frac{C^i}{100} + 0,375 \frac{S^i}{100} \quad (7.10)$$

și atunci, în loc de volumul de dioxid de carbon V_{CO_2} , se calculează volumul V_{RO_2} de gaze triatomice.

Fie mai departe compoziția procentuală a gazelor de ardere rezultată în urma prelevării unei mostre de gaze și a analizei acesteia. Vom nota procentul volumic al unui component prin formula chimică a componentului respectiv. Pot surveni următoarele trei situații:

a) Ardere teoretică (stoechiometrică)

Componentele găsite în gazele de ardere sunt dioxidul de carbon, dioxidul de sulf și azotul. Compoziția gazelor de ardere va fi:

$$CO_2 + SO_2 + N_2 = 100\% \quad (7.11)$$

b) Ardere reală completă

Deoarece în acest caz arderea se face cu exces de aer, la componentele de la arderea teoretică se adaugă oxigenul. Compoziția gazelor de ardere va fi:

$$CO_2 + SO_2 + O_2 + N_2 = 100\% \quad (7.12)$$

c) Ardere reală incompletă

Arderea fiind incompletă, la producții din cazul arderii reale complete se adaugă monoxidul de carbon, hidrogenul și metanul. Compoziția gazelor de ardere este:

$$CO_2 + SO_2 + CO + H_2 + CH_4 + O_2 + N_2 = 100\% \quad (7.13)$$

În ecuațiile (7.11) ... (7.13) înlocuim procentajele dioxidului de carbon și al dioxidului de sulf cu cel al gazelor triatomice:

$$\text{CO}_2 + \text{SO}_2 = \text{RO}_2 \quad (7.14)$$

Volumul produşilor carbonului va fi atunci:

$$V_{\text{RO}_2} + V_{\text{CO}} + V_{\text{CH}_4} = 1,8678 \frac{K^i}{100} = \frac{1}{0,536} \cdot \frac{K^i}{100} \left[\frac{\text{m}^3}{\text{kg cb}} \right] \quad (7.15)$$

Notând cu $V_{\text{gu}}^{\text{inc}}$ volumul gazelor de ardere uscate la arderea incompletă exprimat în $\left[\frac{\text{m}^3}{\text{kg cb}} \right]$, atunci volumele produşilor carbonului se pot scrie funcţie de compoziţia gazelor de ardere astfel:

$$V_{\text{RO}_2} = \frac{\text{RO}_2}{100} V_{\text{gu}}^{\text{inc}} \left[\frac{\text{m}^3 \text{RO}_2}{\text{kg cb}} \right] \quad (7.16)$$

$$V_{\text{CO}} = \frac{\text{CO}}{100} V_{\text{gu}}^{\text{inc}} \left[\frac{\text{m}^3 \text{CO}}{\text{kg cb}} \right] \quad (7.17)$$

$$V_{\text{CH}_4} = \frac{\text{CH}_4}{100} V_{\text{gu}}^{\text{inc}} \left[\frac{\text{m}^3 \text{CH}_4}{\text{kg cb}} \right] \quad (7.18)$$

Astfel, ecuaţia (7.15) devine:

$$\frac{\text{RO}_2}{100} V_{\text{ga,u}}^{\text{inc}} + \frac{\text{CO}}{100} V_{\text{ga,u}}^{\text{inc}} + \frac{\text{CH}_4}{100} V_{\text{ga,u}}^{\text{inc}} = \frac{1}{0,536} \cdot \frac{K^i}{100} \left[\frac{\text{m}^3}{\text{kg cb}} \right] \quad (7.19)$$

iar volumul gazelor de ardere uscate la arderea incompletă se poate scrie:

$$V_{\text{gu}}^{\text{inc}} = \frac{K^i}{0,536(\text{RO}_2 + \text{CO} + \text{CH}_4)} \left[\frac{\text{m}^3 \text{ gu}}{\text{kg cb}} \right] \quad (7.20)$$

Dacă arderea este reală și completă, ecuația (7.20) devine:

$$V_{\text{gu}} = \frac{K^i}{0,536 \text{RO}_2} \left[\frac{\text{m}^3 \text{ gu}}{\text{kg cb}} \right] \quad (7.21)$$

iar dacă este teoretică, atunci volumul teoretic de gaze de ardere uscate este:

$$V_{\text{gu}}^0 = \frac{K^i}{0,536 \text{RO}_2^{\text{max}}} \left[\frac{\text{m}^3 \text{ gu}}{\text{kg cb}} \right] \quad (7.22)$$

Pentru determinarea volumului gazelor de ardere mai trebuie calculat volumul vaporilor de apă. Aceștia rezultă din:

- arderea hidrogenului de constituție al combustibilului $\left(\frac{H^i}{100} \right)$;
- umiditatea totală W_i a combustibilului;
- umiditatea atmosferică x .

Calculul volumului de vapori de apă din gazele de ardere, provenit din arderea hidrogenului de constituție

La arderea incompletă, nu tot hidrogenul de constituție se transformă în apă, o parte regăsindu-se în gazele de ardere sub formă de hidrogen molecular și de metan (acesta din urmă rezultând din recombinații ale hidrogenului cu carbonul) – vezi ecuația (7.13). Fie $V_{\text{H}_2\text{O}, \text{H}_2}^{\text{inc}}$ volumul de vapori de apă rezultat la arderea

incompletă prin combustia hidrogenului de constituție, exprimat în $\left[\frac{\text{m}^3 \text{ H}_2\text{O}}{\text{kg cb}} \right]$.

Acesta reprezintă diferența dintre volumul teoretic de vapori de apă rezultat la arderea stoechiometrică $\left(V_{\text{H}_2\text{O}}^0 \right)$ a hidrogenului și suma volumelor de hidrogen

$(V_{H_2}^{gu})$ și de metan $(V_{CH_4}^{gu})$ din gazele de ardere uscate:

$$V_{H_2O, H_2}^{inc} = V_{H_2O}^0 - (V_{H_2}^{gu} + V_{CH_4}^{gu}) \left[\frac{m^3 H_2O}{kg\ cb} \right] \quad (7.23)$$

Deoarece în ecuația (7.23) volumele din paranteză au alte unități de măsură decât volumele de vapori de apă, ele trebuie amplificate cu niște factori astfel încât ecuația să fie omogenă dimensional.

Astfel volumul $V_{H_2}^{gu}$, exprimat în $\left[\frac{m^3 H_2}{m^3\ gu} \right]$, trebuie amplificat cu raportul $\frac{\rho_{H_2}}{\rho_{H_2O}}$ măsurat în $\left[\frac{m^3 H_2O}{m^3 H_2} \right]$, iar volumul $V_{CH_4}^{gu}$, exprimat în $\left[\frac{m^3 CH_4}{m^3\ gu} \right]$, va trebui amplificat cu raportul $\frac{\rho_{CH_4}}{\rho_{H_2O}}$, exprimat în $\left[\frac{m^3 H_2O}{m^3 CH_4} \right]$. Ecuația (7.23) scrisă acum corect dimensional devine:

$$V_{H_2O, H_2}^{inc} = V_{H_2O}^0 - \left(\frac{\rho_{H_2}}{\rho_{H_2O}} \cdot V_{H_2}^{gu} + \frac{\rho_{CH_4}}{\rho_{H_2O}} \cdot V_{CH_4}^{gu} \right) \left[\frac{m^3 H_2O}{kg\ cb} \right] \quad (7.24)$$

Ținând cont de ecuația (4.26), volumul $V_{H_2O}^0$ se scrie:

$$V_{H_2O}^0 = \frac{m_{H_2O}}{\rho_{H_2O}} = \frac{9 \cdot H^i}{100 \cdot \rho_{H_2O}} = 9 \frac{H^i}{100 \cdot \rho_{H_2O}} \left[\frac{m^3 H_2O}{kg\ cb} \right] \quad (7.25)$$

Volumul de hidrogen din gazele de ardere uscate se determină astfel:

$$\begin{aligned} \frac{\rho_{H_2}}{\rho_{H_2O}} \cdot V_{H_2}^{gu} &= \frac{\rho_{H_2}}{\rho_{H_2O}} \cdot \frac{H_2}{100} \cdot V_{gu}^{inc} = \\ &= \frac{1}{100 \cdot \rho_{H_2O}} \cdot \rho_{H_2} \cdot H_2 \cdot V_{gu}^{inc} \left[\frac{m^3 H_2O}{kg\ cb} \right] \end{aligned} \quad (7.26)$$

În mod similar se calculează volumul de metan din gazele de ardere uscate:

$$\begin{aligned} \frac{\rho_{CH_4}}{\rho_{H_2O}} \cdot V_{CH_4}^{gu} &= \frac{\rho_{CH_4}}{\rho_{H_2O}} \cdot \frac{CH_4}{100} \cdot V_{gu}^{inc} = \\ &= \frac{1}{100 \cdot \rho_{H_2O}} \cdot \rho_{CH_4} \cdot CH_4 \cdot V_{gu}^{inc} \left[\frac{m^3 H_2O}{kg\ cb} \right] \end{aligned} \quad (7.27)$$

Reamintim că în ecuațiile (7.26) și (7.27), H_2 și CH_4 reprezintă respectiv procentele volumice ale hidrogenului și metanului din gazele de ardere uscate (vezi și ecuația (7.13)).

Ecuația (7.24) devine:

$$\begin{aligned} V_{H_2O, H_2}^{inc} &= 9 \frac{H^i}{100 \cdot \rho_{H_2O}} - \frac{1}{100 \cdot \rho_{H_2O}} \cdot (\rho_{H_2} \cdot H_2 + \rho_{CH_4} \cdot CH_4) \cdot V_{gu}^{inc} = \\ &= \frac{9}{100 \cdot \rho_{H_2O}} \left[H^i - \frac{1}{9} \cdot (\rho_{H_2} \cdot H_2 + \rho_{CH_4} \cdot CH_4) \cdot V_{gu}^{inc} \right] \left[\frac{m^3 H_2O}{kg\ cb} \right] \end{aligned} \quad (7.28)$$

Cum densitatea se determină cu relația $\rho = \frac{\mu}{\mathcal{V}_0}$, atunci

$$\rho_{H_2O} = \frac{\mu_{H_2O}}{\mathcal{V}_0} = \frac{18,016}{22,414} = 0,804 \frac{kg}{m_N^3} \quad (7.29)$$

$$\rho_{H_2} = \frac{\mu_{H_2}}{\%} = \frac{2}{22,414} = 0,09 \frac{\text{kg}}{\text{m}_N^3} \quad (7.30)$$

$$\rho_{CH_4} = \frac{\mu_{CH_4}}{\%} = \frac{16}{22,414} = 0,714 \frac{\text{kg}}{\text{m}_N^3} \quad (7.31)$$

Făcând înlocuirile și calculele numerice și ținând cont de ecuația (7.20), ecuația (7.28) devine:

$$V_{H_2O, H_2}^{inc} = 0,112 \cdot \left[H^i - 0,01 \cdot \frac{H_2 + 8 \cdot CH_4}{0,536(RO_2 + CO + CH_4)} \cdot K^i \right] \left[\frac{\text{m}^3 H_2O}{\text{kg cb}} \right] \quad (7.32)$$

Calculul volumului vaporilor de apă provenit din umiditatea combustibilului

Volumul V_{H_2O, W_t}^{inc} de vapori de apă rezultați din umiditatea W_t a combustibilului se calculează cu relația:

$$V_{H_2O, W_t}^{inc} = \frac{1}{\rho_{H_2O}} \cdot \frac{W_t}{100} = \frac{W_t}{80,4} \left[\frac{\text{m}^3 H_2O}{\text{kg cb}} \right] \quad (7.33)$$

Calculul volumului de vapori de apă din gazele de ardere, proveniți din umiditatea atmosferică

Sursa acestor vapori este umiditatea x a aerului $V_{aer\ umed}^{inc}$ consumat la arderea incompletă a combustibilului. Volumul $V_{H_2O, x}^{inc}$ de vapori rezultați din vaporizarea umidității atmosferice se calculează cu relația:

$$V_{H_2O, x}^{inc} = 1,61 \cdot x \cdot V_{aer\ umed}^{inc} \left[\frac{\text{m}^3 H_2O}{\text{kg cb}} \right] \quad (7.34)$$

Calculul volumului total de vapori de apă din gazele de ardere

Volumul total de vapori de apă $V_{H_2O}^{inc}$ din gazele de ardere rezultate în urma arderii incomplete a combustibilului se obține însumând volumele date de ecuațiile (7.32), (7.33) și (7.34):

$$\begin{aligned}
 V_{H_2O}^{inc} &= V_{H_2O, H_2}^{inc} + V_{H_2O, W_t}^{inc} + V_{H_2O, x}^{inc} = \\
 &= 0,112 \cdot \left[H^i - 0,01 \cdot \frac{H_2 + 8 \cdot CH_4}{0,536(RO_2 + CO + CH_4)} \cdot K^i \right] + \\
 &+ \frac{W_t}{80,4} + 1,61 \cdot x \cdot V_{aer\ umed}^{inc} \quad \left[\frac{m^3 H_2O}{kg\ cb} \right]
 \end{aligned} \quad (7.35)$$

Calculul volumului total al gazelor de ardere

Adunând volumele gazelor de ardere uscate și al vaporilor de apă, se obține volumul total al gazelor de ardere la arderea incompletă:

$$\begin{aligned}
 V_{ga}^{inc} &= V_{gu}^{inc} + V_{H_2O}^{inc} = \frac{K^i}{0,536(RO_2 + CO + CH_4)} + \\
 &+ 0,112 \cdot \left[H^i - 0,01 \cdot \frac{H_2 + 8 \cdot CH_4}{0,536(RO_2 + CO + CH_4)} \cdot K^i \right] + \\
 &+ \frac{W_t}{80,4} + 1,61 \cdot x \cdot V_{aer\ umed}^{inc} \quad \left[\frac{m^3\ ga}{kg\ cb} \right]
 \end{aligned} \quad (7.36)$$

7.2.1.2. Calculul volumului de aer consumat în procesul de ardere incompletă

Plecând de la analiza gazelor de ardere, se poate determina volumul V_a^{inc} de aer uscat consumat în procesul de ardere incompletă. Determinarea acestuia are ca punct de plecare volumul de azot $V_{N_2}^{inc}$ din gazele de ardere:

$$V_{N_2}^{inc} = 0,79 \cdot V_a^{inc} + 0,8 \cdot \frac{N^i}{100} \left[\frac{m^3 N_2}{kg\ cb} \right] \quad (7.37)$$

Pe de altă parte:

$$V_{N_2}^{inc} = \frac{N_2}{100} \cdot V_{gu}^{inc} \left[\frac{m^3 N_2}{kg\ cb} \right] \quad (7.38)$$

iar

$$N_2 = 100 - (RO_2 + CO + H_2 + CH_4 + O_2) \quad [\%] \quad (7.39)$$

deci:

$$V_{N_2}^{inc} = \frac{100 - (RO_2 + CO + H_2 + CH_4 + O_2)}{100} \cdot V_{gu}^{inc} \left[\frac{m^3 N_2}{kg\ cb} \right] \quad (7.40)$$

Egalând ecuațiile (7.37) și (7.40) și înlocuind V_{gu}^{inc} din ecuația (7.20), după o serie de calcule algebrice elementare, se obține:

$$V_a^{inc} = 0,0236 \cdot K^i \cdot \frac{100 - (RO_2 + CO + H_2 + CH_4 + O_2)}{RO_2 + CO + CH_4} - 0,01 \cdot N^i \left[\frac{m^3\ aer\ uscat}{kg\ cb} \right] \quad (7.41)$$

Volumul de aer umed se determină cu ecuația:

$$V_{aer\ umed}^{inc} = (1 + 1,61 \cdot x) \cdot V_a^{inc} \left[\frac{m^3\ aer\ umed}{kg\ cb} \right] \quad (7.42)$$

7.2.1.3. Calculul coeficientului de exces de aer

În calculul coeficientului de exces de aer la arderea reală (incompletă), se pleacă de la relația de definiție a acestuia;

$$\lambda = \frac{V_a}{V_a^0} = \frac{V_{N_2,a}}{V_{N_2,a}^0} = \frac{N_{2,a}}{N_{2,a}^0} \quad (7.43)$$

unde: $V_{N_2,a}$ este volumul de azot din aerul uscat real V_a ;

$V_{N_2,a}^0$ este volumul de azot din aerul uscat minim V_a^0 ;

$N_{2,a}$ este procentul de azot din aerul uscat real: $N_{2,a} = \frac{V_{N_2,a}}{V_a} \cdot 100$;

$N_{2,a}^0$ este procentul de azot din volumul de aer uscat minim necesar arderii:

$$N_{2,a}^0 = \frac{V_{N_2,a}^0}{V_a^0} \cdot 100.$$

Volumul $V_{N_2,a}$ de azot din aerul uscat real rezultă ca sumă dintre volumul $V_{N_2,a}^0$ de azot din aerul minim și volumul $V_{N_2,a}^{\text{exces}}$ de azot din excesul de aer:

$$V_{N_2,a} = V_{N_2,a}^0 + V_{N_2,a}^{\text{exces}} \left[\frac{\text{m}^3 \text{ N}_2}{\text{kg cb}} \right] \quad (7.44)$$

de unde:

$$V_{N_2,a}^0 = V_{N_2,a} - V_{N_2,a}^{\text{exces}} \left[\frac{\text{m}^3 \text{ N}_2}{\text{kg cb}} \right] \quad (7.45)$$

Volumul de azot din excesul de aer se determină ținând cont de proporția oxigen-azot din aer:

$$V_{N_2,a}^{\text{exces}} = \frac{79}{21} V_{O_2,a}^{\text{exces}} = 3,76 \cdot V_{O_2,a}^{\text{exces}} \left[\frac{\text{m}^3 \text{ N}_2}{\text{kg cb}} \right] \quad (7.46)$$

Cu ecuațiile (7.45) și (7.46), coeficientul de exces de aer dat de ecuația (7.43) devine:

$$\lambda = \frac{V_{N_2,a}}{V_{N_2,a}^0} = \frac{V_{N_2,a}}{V_{N_2,a} - \frac{79}{21} V_{O_2,a}^{\text{exces}}} = \frac{21}{21 - 79 \frac{V_{O_2,a}^{\text{exces}}}{V_{N_2,a}}} = \frac{1}{1 - 3,76 \cdot \frac{V_{O_2,a}^{\text{exces}}}{V_{N_2,a}}} \quad (7.47)$$

Volumul $V_{O_2,a}^{\text{exces}}$ de oxigen din excesul de aer se determină scăzând volumul de oxigen care ar fi trebuit să participe la arderea monoxidului de carbon, a hidrogenului și a metanului, din volumul V_{O_2} de oxigen din gazele de ardere calculat pe baza măsurării compoziției acestora cu un analizor de gaze:

$$V_{O_2,a}^{\text{exces}} = V_{O_2} - (0,5 \cdot V_{CO} + 0,5 \cdot V_{H_2} + 2 \cdot CH_4) \left[\frac{m^3 O_2}{kg cb} \right] \quad (7.48)$$

Ținând cont de ecuația (4.55), $V_{N_2,a}$ se poate calcula cu relația:

$$V_{N_2,a} = V_{N_2} - 0,8 \frac{N^i}{100} \left[\frac{m^3 N_2}{kg cb} \right] \quad (7.49)$$

unde V_{N_2} este volumul de azot din gazele de ardere calculat pe baza compoziției măsurate a acestora.

Se înlocuiesc în ecuația (7.47) mărimile date de ecuațiile (7.48) și (7.49) și se ține cont că:

$$V_{O_2} = \frac{O_2}{100} V_{gu}^{\text{inc}} \quad (7.50)$$

$$V_{N_2} = \frac{100 - (RO_2 + CO + H_2 + CH_4 + O_2)}{100} V_{gu}^{\text{inc}} \quad (7.51)$$

iar V_{gu}^{inc} este dat de ecuația (7.20).

Rezultă:

$$\lambda = \frac{1}{1 - 3,76 \frac{O_2 - (0,5CO + 0,5H_2 + 2CH_4)}{100 - (RO_2 + CO + H_2 + CH_4 + O_2) - 0,429 \frac{N^i}{K^i} (RO_2 + CO + CH_4)}} \quad (7.52)$$

Dacă azotul de constituție este neglijabil ($N^i \cong 0$), atunci ecuația (7.52) devine:

$$\lambda = \frac{1}{1 - 3,76 \frac{O_2 - (0,5CO + 0,5H_2 + 2CH_4)}{100 - (RO_2 + CO + H_2 + CH_4 + O_2)}} \quad (7.53)$$

Atunci când, în plus, hidrogenul și metanul din gazele de ardere sunt în proporții neglijabile, expresia coeficientului de exces de aer capătă forma:

$$\lambda = \frac{1}{1 - 3,76 \frac{O_2 - 0,5CO}{100 - (RO_2 + CO + O_2)}} \quad (7.54)$$

La arderea completă ($CO = 0$):

$$\lambda = \frac{1}{1 - 3,76 \frac{O_2}{100 - (RO_2 + O_2)}} \quad (7.55)$$

7.2.2. Combustibili gazoși

7.2.2.1. Calculul volumului gazelor de ardere

Se consideră compoziția combustibilului gazos care arde:

$$\begin{aligned} & \text{CO}^i + \text{CO}_2^i + \text{H}_2^i + \text{H}_2\text{S}^i + \text{CH}_4^i + \sum (\text{C}_m\text{H}_n)^i + \\ & + \text{O}_2^i + \text{N}_2^i + \text{W}_t^i = 100 \% \end{aligned} \quad (7.56)$$

În tabelul de mai jos sunt sistematizate componentele la intrare (în combustibil) și la ieșire (în gazele de ardere – nu se ia în considerare posibila prezență în gazele de ardere a hidrocarburilor superioare):

Tab. 7.1. Componente ale combustibilului și gazelor de ardere

La intrare (combustibil)	La ieșire (gazele de ardere)
CO^i	CO_2 (ardere)
	CO^i (nears – ardere incompletă)
CO_2^i	CO_2
CH_4^i	$\text{CO}_2 + \text{H}_2\text{O}$ (ardere)
	CH_4 (nears – ardere incompletă)
H_2S^i	$\text{SO}_2 + \text{H}_2\text{O}$ (ardere)
	H_2S (nears – ardere incompletă)
$\sum (\text{C}_m\text{H}_n)^i$	$m \cdot \text{CO}_2 + \frac{n}{2} \cdot \text{H}_2\text{O}$ (ardere)

Calculul volumului de gaze de ardere uscate

Plecând de la compoziția combustibilului și a gazelor de ardere și făcând raționamente similare celor de la combustibilii solizi și lichizi, se obține expresia:

$$V_{\text{gu}}^{\text{inc}} = \frac{\text{CO}_2^i + \text{CO}^i + \text{CH}_4^i + \text{H}_2\text{S}^i + \sum m \cdot \text{C}_m\text{H}_n^i}{\text{RO}_2 + \text{CO} + \text{CH}_4} \left[\frac{\text{m}^3 \text{ gu}}{\text{m}^3 \text{ cb}} \right] \quad (7.57)$$

Calculul volumului total de vapori de apă din gazele de ardere

La arderea unui metru cub de combustibil rezultă următorul volum de vapori de apă în gazele de ardere:

$$V_{\text{H}_2\text{O}}^{\text{inc}} = \frac{1}{100} \cdot \left[\left(\text{H}_2^i + 2\text{CH}_4^i + \sum \frac{n}{2} C_m \text{H}_n^i \right) - \frac{\text{H}_2 + \text{CH}_4}{(\text{RO}_2 + \text{CO} + \text{CH}_4)} \cdot \left(\text{CO}_2^i + \text{CO}^i + \text{CH}_4^i + \text{H}_2\text{S}^i + \sum m \cdot C_m \text{H}_n^i \right) + W_t^i \right] + 1,61 \cdot x \cdot V_a^{\text{inc}} \left[\frac{\text{m}^3 \text{H}_2\text{O}}{\text{m}^3 \text{cb}} \right] \quad (7.58)$$

Volumul gazelor de ardere la arderea incompletă a combustibilului gazos se determină însumând volumul gazelor de ardere uscate și al vaporilor de apă:

$$V_{\text{ga}}^{\text{inc}} = V_{\text{gu}}^{\text{inc}} + V_{\text{H}_2\text{O}}^{\text{inc}} \left[\frac{\text{m}^3 \text{ga}}{\text{m}^3 \text{cb}} \right] \quad (7.59)$$

7.2.2.2. Calculul volumului de aer consumat la arderea incompletă

Relația de calcul a volumului de aer uscat este:

$$V_{\text{H}_2\text{O}}^{\text{inc}} = \frac{100 - (\text{RO}_2 + \text{CO} + \text{CH}_4 + \text{H}_2 + \text{O}_2)}{0,79 \cdot (\text{RO}_2 + \text{CO} + \text{CH}_4)} \cdot \left(\text{CO}_2^i + \text{CO}^i + \text{CH}_4^i + \text{H}_2\text{S}^i + \sum m \cdot C_m \text{H}_n^i \right) - \frac{N_2^i}{79} \left[\frac{\text{m}^3 \text{ aer uscat}}{\text{m}^3 \text{cb}} \right] \quad (7.60)$$

Volumul de aer umed se determină cu ecuația:

$$V_{\text{aer umed}}^{\text{inc}} = (1 + 1,61 \cdot x) \cdot V_a^{\text{inc}} \left[\frac{\text{m}^3 \text{ aer umed}}{\text{m}^3 \text{cb}} \right] \quad (7.61)$$

7.2.2.2.3. Calculul coeficientului de exces de aer

Determinarea expresiei de calcul a coeficientului de exces de aer în cazul combustibililor gazoși se face prin raționamente similare celor de la combustibilii solizi și lichizi.

Se obține următoarea expresie:

$$\lambda = \frac{1}{1 - 3,76 \frac{O_2 - (0,5CO + 0,5H_2 + 2CH_4)}{100 - (RO_2 + CO + CH_4 + H_2 + O_2)} - \frac{N_2^i}{CO_2^i + CO^i + CH_4^i + H_2S^i + \sum m \cdot C_m H_n^i} \cdot (RO_2 + CO + CH_4)}$$

(7.62)

7.3. CONTROLUL ARDERII PE CALE GRAFICĂ. TRIUNGHIUL ARDERII

Metoda grafică de control al arderii se bazează, la fel ca și cea analitică, pe determinarea compoziției gazelor de ardere cu ajutorul analizoarelor de gaze, dar este mult mai puțin laborioasă decât aceasta. Scopul urmărit este același: determinarea coeficientului real de exces de aer și deci stabilirea regimului real de funcționare a instalației de ardere.

Controlul grafic al arderii se face pe o diagramă special construită pentru fiecare combustibil în parte, numită *triunghi al arderii* sau diagrama Ostwald.

7.3.1. Bazele teoretice ale construcției diagramei Ostwald

Triunghiul arderii se construiește pe baza datelor experimentale culese la arderea combustibilului respectiv în diverse regimuri de ardere. Pe baza acestor date și a relațiilor de calcul care vor fi deduse mai departe, se poate construi diagrama Ostwald a combustibilului, care constituie un instrument extrem de util la analiza și interpretarea informațiilor privitoare la arderea acestuia în condiții reale.

Calculule sunt mai departe exemplificate pentru cazul combustibililor solizi sau lichizi.

Fie un combustibil solid sau lichid care arde incomplet. Presupunem că procentajele metanului și hidrocarburilor superioare în gazele de ardere sunt neglijabile. Scopul urmărit este acela de a găsi o relație între procentajele de O₂, CO₂ și CO din gazele de ardere, care să permită trasarea unor curbe parametrice. Pentru aceasta, se pleacă de la volumul de azot din gazele de ardere, care este egal cu volumul de azot din aerul uscat real:

$$V_{N_{2,a}} = \frac{79}{21} V_{O_{2,a}} = 3,76 V_{O_{2,a}} \left[\frac{m^3 N_2}{kg cb} \right]$$

(7.63)

Se știe însă că volumul $V_{O_2,a}$ de oxigen din aerul uscat are drept componente următoarele volume (mai puțin oxigenul de constituție O^i):

- V_{O_2} : volumul de oxigen rămas ca urmare a arderii incomplete, împreună cu cel provenit din excesul de aer. Acest oxigen se regăsește ca atare în gazele de ardere;
- $V_{O_2}^{CO}$: volumul de oxigen consumat pentru arderea incompletă a carbonului;
- $V_{O_2}^{CO_2}$: volumul de oxigen consumat pentru arderea completă a carbonului;
- $V_{O_2}^{SO_2}$: volumul de oxigen consumat pentru arderea sulfului;
- $V_{O_2}^{H_2O}$: volumul de oxigen consumat pentru arderea hidrogenului;

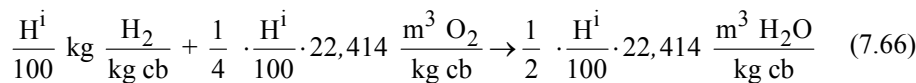
Prin urmare, se poate scrie următoarea relație:

$$V_{N_2,a} = 3,76V_{O_2,a} = 3,76 \left(V_{O_2} + V_{O_2}^{CO} + V_{O_2}^{CO_2} + V_{O_2}^{SO_2} + V_{O_2}^{H_2O} - V_{O^i} \right) \left[\frac{m^3 N_2}{kg\ cb} \right] \quad (7.64)$$

Volumele din paranteză, care reprezintă oxigen consumat la arderea carbonului și a sulfului (care produce gazele triatomice RO_2) precum și a monoxidului de carbon, se scriu din ecuațiile de ardere și se înlocuiesc în ecuația (7.64):

$$V_{N_2,a} = 3,76V_{O_2,a} = 3,76 \left(V_{O_2} + V_{RO_2} + 0,5V_{CO} + V_{O_2}^{H_2O} - V_{O^i} \right) \left[\frac{m^3 N_2}{kg\ cb} \right] \quad (7.65)$$

Volumul de oxigen necesar arderii hidrogenului de constituție H^i se determină din ecuația de ardere:



Rezultă:

$$V_{O_2}^{H_2O} = \frac{1}{4} \cdot \frac{H^i}{100} \cdot 22,414 \left[\frac{m^3 O_2}{kg\ cb} \right] \quad (7.67)$$

Cum:

$$V_{O_i} = \frac{1}{32} \cdot \frac{O^i}{100} \cdot 22,414 \left[\frac{m^3 O_2}{kg\ cb} \right] \quad (7.68)$$

se obține următoarea relație:

$$V_{O_2}^{H_2O} - V_{O_i} = \frac{5,6}{100} \left(H^i - \frac{O^i}{8} \right) \left[\frac{m^3 O_2}{kg\ cb} \right] \quad (7.69)$$

Ecuția (7.65) devine:

$$V_{N_{2,a}} = 3,76 \left[V_{O_2} + V_{RO_2} + 0,5V_{CO} + \frac{5,6}{100} \left(H^i - \frac{O^i}{8} \right) \right] \left[\frac{m^3 N_2}{kg\ cb} \right] \quad (7.70)$$

Pe de altă parte:

$$\begin{aligned} V_{O_2} &= \frac{O_2}{100} V_{gu}^{inc} \\ V_{RO_2} &= \frac{RO_2}{100} V_{gu}^{inc} \\ V_{CO} &= \frac{CO}{100} V_{gu}^{inc} \\ V_{N_{2,a}} &= \frac{N_{2,a}}{100} V_{gu}^{inc} \end{aligned} \quad (7.71)$$

și atunci:

$$V_{N_{2,a}} = \frac{N_{2,a}}{100} \cdot V_{gu}^{inc} = \frac{3,76}{100} \left(O_2 + RO_2 + 0,5 \cdot CO + 5,6 \cdot \frac{H^i - O^i}{V_{gu}^{inc}} \right) \cdot V_{gu}^{inc} \left[\frac{m^3 N_2}{kg cb} \right] \quad (7.72)$$

Făcând simplificarea și ținând cont că

$$V_{gu}^{inc} = \frac{K^i}{0,536(RO_2 + CO)} \left[\frac{m^3 gu}{kg cb} \right] \quad (7.73)$$

unde – așa cum am presupus la început – se neglijează prezența în gazele de ardere a metanului și hidrocarburilor superioare, rezultă:

$$N_{2,a} = 3,76 \left(O_2 + RO_2 + 0,5 \cdot CO + 3 \cdot \frac{H^i - O^i}{K^i} (RO_2 + CO) \right) [\%] \quad (7.74)$$

Azotul care se găsește în gazele de ardere provine din două surse:

- azotul din aerul de ardere $V_{N_{2,a}}$ dat de ecuația (7.72);
- azotul de constituție al combustibilului V_{N^i} dat de ecuația:

$$\begin{aligned} V_{N^i} &= \frac{1}{\rho_{N_2}} \cdot \frac{N^i}{100} = \frac{1}{\rho_{N_2}} \cdot \frac{N^i}{100} \cdot \frac{V_{gu}^{inc}}{V_{gu}^{inc}} = \\ &= \frac{22,414}{28} \cdot \frac{N^i}{100} \cdot \frac{V_{gu}^{inc}}{V_{gu}^{inc}} = 0,429 \cdot \frac{N^i}{100} \cdot \frac{V_{gu}^{inc}}{V_{gu}^{inc}} \left[\frac{m^3 N_2}{kg cb} \right] \end{aligned} \quad (7.75)$$

Atunci:

$$\begin{aligned}
 V_{N_2,gu} &= V_{N_2,a} + V_{N^i} = \\
 &= \frac{3,76}{100} \left(O_2 + RO_2 + 0,5 \cdot CO + 5,6 \cdot \frac{H^i - O^i}{8} \right) \cdot V_{gu}^{inc} + \\
 &+ 0,429 \cdot \frac{N^i}{100} \cdot \frac{V_{gu}^{inc}}{V_{gu}^{inc}} \left[\frac{m^3 N_2}{kg\ cb} \right]
 \end{aligned} \quad (7.76)$$

Ținând cont că $V_{N_2,gu} = \frac{N_{2,gu}}{100} \cdot V_{gu}^{inc}$ și de ecuația (7.73), rezultă următoarea expresie pentru procentul de azot din gazele de ardere:

$$\begin{aligned}
 N_{2,gu} &= 3,76 \left(O_2 + RO_2 + 0,5 \cdot CO + 3 \cdot \frac{H^i - O^i}{K^i} (RO_2 + CO) \right) + \\
 &+ 0,429 \cdot \frac{N^i}{K^i} \cdot (RO_2 + CO) \quad [\%]
 \end{aligned} \quad (7.77)$$

Se mai poate scrie:

$$N_{2,gu} = 100 - (O_2 + RO_2 + CO) \quad [\%] \quad (7.78)$$

Înlocuind în ecuația (7.77) procentul de azot din gazele de ardere dat de ecuația (7.78) se obține o ecuație din care se poate determina procentul de monoxid de carbon:

$$CO = \frac{21 - \beta \cdot RO_2 - (RO_2 + O_2)}{0,605 + \beta} \quad [\%] \quad (7.79)$$

unde mărimea notată β se numește *caracteristica combustibilului*:

$$\beta = 2,37 \frac{H^i - \frac{O^i}{8} + 0,038 \cdot N^i}{K^i} \quad (7.80)$$

Pentru combustibilii gazoși, caracteristica combustibilului se determină cu relația [39]:

$$\beta = 0,21 \cdot \frac{N_2^i + 0,395 \cdot (CO^i + H_2^i) + 1,58 \cdot CH_4^i + 1,185 \cdot H_2S^i}{CO_2^i + CO^i + CH_4^i + \sum m C_m H_n^i + H_2S^i} + 0,79 \cdot \frac{\sum \left(m + \frac{n}{4} \right) C_m H_n^i - O^i}{CO_2^i + CO^i + CH_4^i + \sum m C_m H_n^i + H_2S^i} \quad (7.81)$$

Revenind la ecuația (7.79), aceasta se poate rescrie astfel:

$$CO(0,605 + \beta) + (1 + \beta)RO_2 + O_2 = 21 \quad (7.82)$$

Cazuri particulare:

a) $RO_2 = O_2 = 0, \Rightarrow CO$ este maxim: $CO^{max}(0,605 + \beta) = 21$

$$CO^{max} = \frac{21}{0,605 + \beta} \quad [\%] \quad (7.83)$$

b) $CO = O_2 = 0, \Rightarrow RO_2$ este maxim: $(1 + \beta)RO_2^{max} = 21$

$$RO_2^{max} = \frac{21}{1 + \beta} \quad [\%] \quad (7.84)$$

Valorile tipice pentru β și RO_2^{max} sunt date în Tab. 7.2. [39].

Tab. 7.2. Valori tipice ale lui β și RO_2^{max} pentru diverși combustibili

Combustibilul	Caracteristica β	Conținutul maxim de gaze triatomice în gazele de ardere RO_2^{max} [%]
Lemn	0,035	20,3
Turbă	0,073	19,6
Cărbune brun	0,084 ... 0,092	19,2 ... 19,3
Huilă de gaz	0,127	18,6
Antracit	0,043	20,1
Șist bituminos	0,210 ... 0,160	17,4 ... 18
Păcură	0,30 ... 0,32	15,9 ... 16,1
Gaz natural	0,78 ... 0,81	11,6 ... 11,8
Gaz de furnal	–	24,8
Gaz de gazogen	0,04 ... 0,06	20

Scriem acum ecuația (7.82) sub forma:

$$\frac{CO}{21} + \frac{RO_2}{21} + \frac{O_2}{21} = 1 \quad (7.85)$$

$$\frac{CO}{0,605 + \beta} + \frac{RO_2}{1 + \beta} = 1$$

și ținem cont de relațiile (7.83) și (7.84). Obținem ecuația:

$$\frac{CO}{CO^{max}} + \frac{RO_2}{RO_2^{max}} + \frac{O_2}{21} = 1 \quad (7.86)$$

care se numește *ecuația generală a arderii*.

7.3.2. Construcția diagramei Ostwald

Construcția triunghiului arderii se face pentru combustibilul considerat, pe baza ecuației generale a arderii. În Fig. 7.4. este exemplificată o diagramă Ostwald tipică. Etapele trasării diagramei sunt următoarele:

- pe abscisă se marchează procentul de O_2 din gazele de ardere (cu valori cuprinse între 0 și 21% – O_2^{max});

- pe ordonată se iau valorile procentului de gaze triatomice din gazele de ardere (cu valori cuprinse între 0 și RO_2^{max});

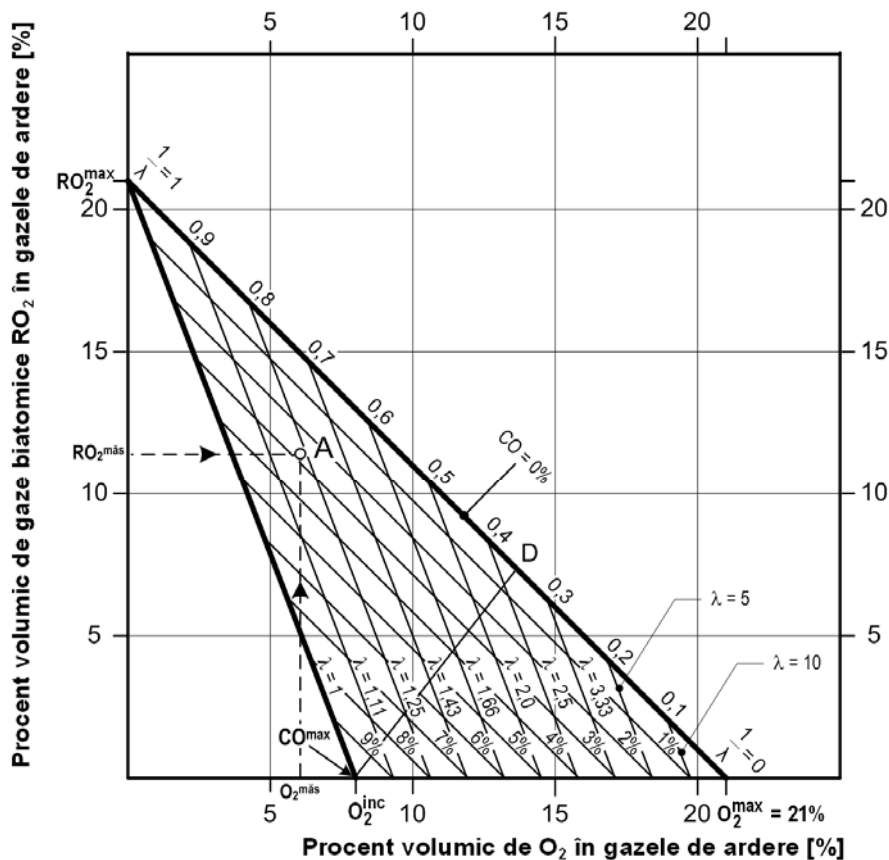


Fig. 7.4. Triunghiul arderii (diagrama Ostwald)

- unind abscisa O_2^{max} cu ordonata RO_2^{max} , se obține dreapta $O_2^{max} - RO_2^{max}$, care este dreapta arderii complete. Toate punctele de pe această dreaptă corespund arderii complete, cu diverse valori ale coeficientului de exces de aer. Extremitățile dreptei corespund celor

două cazuri-limită: RO_2^{max} – ardere stoechiometrică completă ($\lambda = 1$), respectiv O_2^{max} – ardere completă cu exces de aer infinit ($\lambda = \infty$), deci procent de oxigen în gazele de ardere egal cu cel din aerul atmosferic ($O_2 = O_2^{max}$). Această dreaptă este și dreapta de procent nul de monoxid de carbon ($CO = 0\%$).

- se marchează pe abscisă punctul O_2^{inc} , care corespunde procentului de oxigen din gazele de ardere ce rezultă la arderea total incompletă cu aerul minim ($\lambda = 1$). La acest regim de ardere, procentul de monoxid de carbon din gazele de ardere este maxim (CO^{max}), deoarece arderea întregului conținut de carbon al combustibilului se oprește la stadiul intermediar de monoxid de carbon. Unind punctele RO_2^{max} și O_2^{inc} (CO^{max}) se obține dreapta $\lambda = 1$.
- dreptele de $\lambda = \text{constant}$ se obțin astfel: pe dreapta $O_2^{max} - RO_2^{max}$ se marchează diviziuni echidistante crescător între valorile 0 (în O_2^{max}) și 1 (în RO_2^{max}) – în exemplul din Fig. 7.4., intervalul este de 0,1. Acest mod de lucru asigură că dreptele $\lambda = \text{constant}$ vor fi echidistante. De fapt, aceste valori corespund lui $1/\lambda$: în O_2^{max} , $\lambda = \infty$, deci $1/\lambda = 0$, iar în RO_2^{max} , $\lambda = 1$, deci $1/\lambda = 1$. Se stabilește atunci următoarea corespondență:

$1/\lambda$	0	0,1	0,2	0,3	0,4	0,5	0,6	0,7	0,8	0,9	1
λ	∞	10	5	3,33	2,5	2	1,66	1,43	1,25	1,11	1

Se trasează apoi prin aceste diviziuni dreptele de $\lambda = \text{constant}$, care vor fi paralele cu dreapta $RO_2^{max} - O_2^{inc}$ (CO^{max}) și având valorile din a doua linie a tabelului de corespondențe de mai sus.

Deoarece este relativ incomodă folosirea diagramei cu valori neîntregi ale dreptelor de $\lambda = \text{constant}$, se poate recurge la procedeul invers: diviziunile de pe dreapta $O_2^{max} - RO_2^{max}$ se fixează astfel încât să rezulte valori întregi pentru λ , ca de exemplu:

$1/\lambda$	0	0,1	0,2	0,4	0,5	0,667	0,714	0,769	0,833	0,909	1
λ	∞	10	5	2,5	2	1,5	1,4	1,3	1,2	1,1	1

În acest caz, dreptele $\lambda = \text{constant}$ nu vor mai rezulta echidistante.

- din punctul O_2^{inc} (CO^{max}) se trasează până în punctul D de pe dreapta $O_2^{\text{max}} - \text{RO}_2^{\text{max}}$ o dreaptă arbitrară, astfel încât aceasta să poată fi ușor divizată în segmente corespunzând diviziunilor intervalului $\text{CO} = 0 \dots \text{CO} = \text{CO}^{\text{max}}$. Prin aceste diviziuni se trasează paralele la dreapta $\text{CO} = 0$, rezultând drepte de $\text{CO} = \text{constant}$.

Modul de lucru cu diagrama Ostwald este extrem de simplu. Sunt suficiente determinarea cu un analizor de gaze a procentului de O_2 și de gaze triatomice RO_2 din gazele de ardere (pe exemplul din Fig.7.4., valorile $O_2^{\text{măs}}$, respectiv $\text{RO}_2^{\text{măs}}$) și plasarea acestora pe abscisă, respectiv pe ordonată. Se duc verticala, respectiv orizontala din aceste două puncte, obținându-se punctul A care reprezintă punctul de stare căutat. Se determină apoi citind pe diagramă conținutul procentual de CO al gazelor de ardere și coeficientul de exces de aer.

Diagrama Ostwald constituie un instrument extrem de eficient și comod de determinare a caracteristicilor arderii reale, dar are dezavantajul că trebuie trasată pentru fiecare combustibil în parte, fiind dependentă de compoziția acestuia. De aceea, poate fi folosită doar la combustibilii cu compoziție stabilă (deobicei cei lichizi și cei gazoși și mai puțin la combustibilii solizi, deoarece unii dintre aceștia au tendința de a-și modifica în timp compoziția).

7.4. ANALIZOARE DE GAZE

Analiza gazelor de ardere este necesară pentru determinarea excesului de aer real și a eficienței procesului de ardere, lucru care nu este posibil decât dacă se determină procentajele reale de CO_2 și O_2 din gazele de ardere. Pentru a avea o imagine cât mai completă (funcție de gradul de complexitate al sistemului de măsurare și de obiectivele adiționale urmărite), se mai pot măsura procentajele de CO , hidrocarburi, NO_x , SO_x .

7.4.1. Analizoare *in situ*

Instalațiile de ardere mari au sisteme de măsurare *in situ*, care permit monitorizarea continuă și în timp real a conținutului gazelor de ardere, ceea ce asigură un control eficient și prompt al arderii. Un asemenea sistem de măsurare și monitorizare este foarte scump și pretențios și de aceea este justificabil din punct

de vedere economic doar în cazul acestui gen de instalații de ardere, la care orice câștig în ceea ce privește eficiența, se traduce în economii însemnate. Sistemele de analiză *in situ* oferă un timp de răspuns foarte bun, deoarece datele obținute la punctul de prelevare sunt transmise electronic sau digital (prin fibră optică) la locul de procesare a acestora. Prezintă însă dezavantajul utilizării unor componente electronice sensibile care sunt supuse unui mediu agresiv (praf, vapori alcalini sau acizi etc.), în special la cuptoarele industriale (pentru ciment, topit sticlă etc.). Dintre sistemele de analiză *in situ* se enumeră:

- **Analizoare de oxigen cu zirconiu.** Elementul sensibil, compus din doi electrozi de platină între care se află un electrolit pe bază de zirconiu, este plasat într-o teacă asemănătoare celei a unei termorezistențe. Metoda de analiză se bazează pe compararea procentului de O_2 din gazele de ardere cu cel din aer.
- **Analizoare cu infraroșii.** O rază de radiații infraroșii este trimisă prin mediul gazos respectiv. Gazele prezente absorb selectiv radiațiile infraroșii, iar semnalul este comparat cu cel generat la traversarea unei celule de referință care conține 100% din gazul cercetat (CO_2 , O_2 , CO , H_2O , SO_x , NO_x). Celulele de referință sunt plasate pe un disc rotitor pentru a putea comuta de pe un gaz pe altul. Un impediment în funcționarea corectă a acestor analizoare îl reprezintă prezența în gazele de ardere a prafului, care ecranează sau absoarbe razele infraroșii, denaturând semnalul. Acest neajuns se înlătură plasând analizorul într-o teacă din material filtrant prin care gazele difuzează, iar praful este reținut.
- **Analizoare tip spectroscopic.** Acest tip de analizoare este cel mai modern. La bază se află spectroscopia diferențială cu absorbție, în care se analizează spectrul de absorbție al gazelor de ardere, măsurându-se intensitatea liniilor de absorbție specifice gazelor cercetate (CO_2 , SO_2 , CO , H_2O , NO). Avantajul major al acestor analizoare este prelucrarea automată a semnalului pe computere folosind software de înaltă specializare.

7.4.2. Analizoare pentru analiză periodică

La instalațiile de ardere de mai mică anvergură măsurarea conținutului gazelor de ardere se face periodic, cu analizoare de gaze specializate. Metoda măsurării periodice este relativ ineficientă, deoarece astfel, între două determinări, instalația poate funcționa perioade mari de timp cu pierderi mari, fără ca această situație să poată fi cunoscută și remediată.

În prezent, există o multitudine de analizoare pentru analiza periodică, care

pot fi clasificate după componenta măsurată:

- **Analizoare pentru CO₂.** Aceste analizoare au dezavantajul că nu pot furniza informații cu privire la regimul de funcționare (în deficit sau cu exces de aer).
- **Analizoare pentru O₂.** Folosind aceste analizoare, se poate determina regimul de funcționare, dar la arderea cu deficit de aer, nu se poate determina cât de mare este acest deficit (cât de incompletă este arderea).
- **Analizoare pentru CO₂ și O₂.** Acestea oferă informații complete asupra regimului de funcționare a instalației de ardere.
- **Analizoare pentru CO și O₂.** Sunt cele mai bune, deoarece pot preciza cu mare acuratețe regimul de funcționare.
- **Analizoare pentru O₂ și elemente nearse.** Pot oferi informații complete asupra regimului de a instalației de ardere.

La analizoarele pentru analiză periodică, prelevarea probei de gaz supuse analizei se poate face fie prin extragerea unui volum de gaze de ardere, fie în mod continuu.

Pentru primul caz, tipice sunt analizoarele Orsat sau Fyrite. Primul este staționar, proba de gaz, prelevată cu o pară de cauciuc, trebuind transportată până la analizor, în timp ce al doilea este portabil. Ambele funcționează pe același principiu (reacția selectivă cu un reactiv), măsurând procente de O₂ și CO₂ (și CO la aparatul Orsat). Precizia este acceptabilă, iar timpul de obținere a rezultatului este de ordinul a 5–10 minute. Necesită însă o pregătire specială a operatorului, în special în cazul analizorului Orsat.

La analizoarele cu prelevare continuă, proba este extrasă din canalul de gaze de ardere cu o pompă acționată mecanic și trimisă printr-un tub la analizor. Permite determinarea O₂, CO₂, CO și a hidrocarburilor și uneori măsurarea temperaturii gazelor de ardere. Asigură o precizie superioară, iar timpul de obținere a rezultatului este mai scurt (2–3 minute). Sunt ușor de folosit, necesitând o pregătire minimă a operatorului.

În tabelele 7.3. și 7.4., adaptate după [36], sunt sintetizate elementele caracteristice ale metodelor și tehnicilor de măsurare a compoziției gazelor de ardere.

Tabelul 7.3. prezintă comparativ diversele metode de determinare a conținutului gazelor de ardere. Tabelul 7.4. face o comparație între analiza periodică a compoziției gazelor de ardere și analiza *in situ*, scoțând în evidență avantajele și dezavantajele fiecărei metode.

Tab. 7.3. Prezentare comparativă a celor mai utilizate tehnici de determinare a compoziției gazelor de ardere

Tehnica de măsurare	Metoda de prelevare	Componenta măsurată						
		O ₂ [%]	CO [ppm]	CO ₂	H ₂ O	NO _x [ppm]	SO _x [ppm]	Hidrocarburi [ppm]
Infraroșu	in situ	–						
Electrochimică	in situ	0...25	0...100.000	–	–	NO 0...5000 NO ₂ 0...1000	0...5000	CH ₄ 0...55
Paramagnetică	la distanță	0...21	–	–	–	–	–	–
Absorbție chimică	la distanță	0...21			–			
Absorbție selectivă în mediu umed Aparat Orsat	la distanță	0...21			–	–	–	–
Absorbție selectivă în mediu umed Tub Dwyer	la distanță	–	–		–	–	–	–

Tab. 7.4. Analiza comparativă a analizoarelor cu prelevare (cu eșantionare) și a celor *in situ*

Analizoare cu eșantionare	Analizoare <i>in situ</i>
<p>Caracterizare: Proba de gaz (un volum fixat) este prelevată din canalul de gaze de ardere și este apoi filtrată, uscată și răcită în vederea analizei. Rezultatul determinării se referă la gazele de ardere uscate. Analizorul se află la distanță de punctul de prelevare.</p>	<p>Caracterizare: Analizorul se află la distanță sau în imediata vecinătate a punctului de prelevare, dar senzorul se află fie în canalul de gaze, fie într-o sondă scurtă care comunică cu canalul de fum. Gazul este analizat la o temperatură apropiată de cea din canalul de fum. De obicei, singura prelucrare la care sunt supuse gazele de ardere, este filtrarea pentru reținerea particulelor în suspensie. Rezultatul determinării va include și conținutul de vapori de apă.</p>

Tab. 7.4. – continuare

Analizoare cu eșantionare		Analizoare <i>in situ</i>	
Avantaje	Dezavantaje	Avantaje	Dezavantaje
Analizorul se află într-un mediu curat (fără impurități, care ar putea denatura rezultatul)	Sistemele de prelevare a probei de gaz sunt scumpe și sunt greu de întreținut	Instalare și montare ieftine și întreținere ușoară	Sunt în general mai puțin precise decât cele cu eșantionare
Proba de gaz este curată	Necesită montaj, întreținere și service din partea firmei furnizoare	Instalarea se poate face de către angajații firmei care exploatează instalația de ardere	Gazele care pot fi detectate și măsurate depind de metoda de analiză <i>in situ</i> . De exemplu, la metoda bazată pe absorbția radiațiilor infraroșii, doar gazele care absorb aceste radiații pot fi detectate
Precizie ridicată în cazul analizatoarelor aflate în laborator	Firma producătoare s-ar putea să aibă cunoștințe insuficiente despre procesul specific de ardere din instalația respectivă, pentru a proiecta corect sistemul de măsurare	Întreținerea este de obicei redusă, deoarece lipsește sistemul de prelevare, care pune cele mai mari probleme	Analiza în prezența vaporilor de apă face ca determinarea prin calcul a excesului real de aer să fie dificilă
Aceași probă (mostră) de gaz poate fi analizată în mai multe analizoare, pentru a determina mai multe componente ale gazelor de ardere	Cele mai mici neetanșeități în sistemul de prelevare conduc la erori mari, în special la conținutul de oxigen	Nu apar erorile generate de neetanșeități	Datorită locului de amplasare, analizorul este supus riscului de deteriorare

CAPITOLUL 8.

POLUAREA PRODUSĂ PRIN ARDERE

8.1. INTRODUCERE

Poluarea atmosferică se datorează aproape în exclusivitate produșilor diverselor procese de combustie. Se apreciază că în prezent, 90% din substanțele poluante din aer provin din arderea combustibililor fosili. Din această cauză, înțelegerea mecanismelor de formare a substanțelor poluante constituie primul pas în elaborarea strategiilor de reducere și control ale acestora.

Principalii poluanți produși prin ardere sunt oxizii de azot (NO și NO₂ notați generic NO_x¹ și N₂O), oxizii de sulf SO₂ și SO₃ (notați generic SO_x), produși ai arderii incomplete (CO, hidrocarburi, formaldehidă etc.) și particule solide în suspensie (funinginea). În principal, oxizii de azot sunt responsabili de smogul fotochimic, oxizii de sulf produc ploaia acidă, iar funinginea produce aerosoli care reduc transparența aerului. Tabelul 8.1., adaptat după [4] și [17], prezintă principalii poluanți generați prin ardere.

Tab. 8.1. Substanțe poluante produse prin ardere

Substanța	Caracteristici	Surse	Efecte
Oxid de azot (NO)	Gaz incolor și inodor	Procese de ardere la temperaturi ridicate: instalații de ardere și mijloace de transport	<ul style="list-style-type: none"> – smog fotochimic; – efect de seră; – afectează aparatul respirator – precursor al NO₂
Dioxid de azot (NO₂)	Gaz brun, înecăcios, cu miros caracteristic	Oxidul de azot produs prin ardere	<ul style="list-style-type: none"> – smog fotochimic; – toxic la concentrații mari
Protoxid de azot (N₂O)	Gaz incolor, neinflamabil, cu miros dulceag	Procese de ardere	<ul style="list-style-type: none"> – efect de seră (de 310 ori mai puternic decât CO₂); – distrugerea stratului de ozon
Dioxid de sulf (SO₂)	Gaz incolor, cu miros puternic înțepător	Arderea combustibililor cu conținut de sulf	<ul style="list-style-type: none"> – iritant pentru căile respiratorii; – produce acid sulfuros (H₂SO₃)

¹ De unde și denumirea de *noxe*, care s-a extins asupra oricăror emisii dăunătoare.

Tab. 8.1. - continuare

Substanța	Caracteristici	Surse	Efecte
Trioxid de sulf (SO₃)	Gaz incolor	Oxidarea dioxidului de sulf	<ul style="list-style-type: none"> – se combină cu vaporii de apă din aer și produce acid sulfuric (H₂SO₄), principala cauză a ploii acide; – coroziv, atacă structurile metalice și construcțiile în general; – afectează vegetația; – generează probleme respiratorii
Monoxid de carbon (CO)	Gaz incolor și inodor	Arderea incompletă a carbonului din combustibili	<ul style="list-style-type: none"> – toxic sau letal la concentrații mari
Ozon (O₃)	Gaz incolor cu miros caracteristic	Ațiunea razelor solare asupra oxizilor de azot și hidrocarburilor (smogul fotochimic)	<ul style="list-style-type: none"> – puternic oxidant, afectează vegetația și materialele; – generează probleme respiratorii; – efect de seră
Hidrocarburi (C_mH_n)	Compuși organici gazoși	Arderea incompletă	<ul style="list-style-type: none"> – pot provoca iritații ale căilor respiratorii și ale ochilor; – expunerea îndelungată provoacă cancer
Particule în suspensie	Orice particule de mici dimensiuni (1 ... 500 μm): funingine, cenușă, praf etc.	Arderea combustibililor solizi	<ul style="list-style-type: none"> – agravarea deficiențelor cardio-respiratorii; – unele efecte toxice

Aerul nepoluat are următoarea compoziție [17], [32]:

Tab. 8.2. Compoziția aerului uscat nepoluat

Componentul gazos	Fracție molară	ppm (vol)	$\mu\text{g}/\text{m}^3$
N ₂	0,780840	780840	$8,95 \cdot 10^8$
O ₂	0,209460	209460	$2,74 \cdot 10^8$
Ar	$9,340 \cdot 10^{-8}$	9340	$1,52 \cdot 10^7$
CO ₂	$3,55 \cdot 10^{-4}$	315	$5,67 \cdot 10^5$
Ne	$1,8 \cdot 10^{-5}$	18	$1,49 \cdot 10^4$
He	$5,2 \cdot 10^{-6}$	5,2	$8,5 \cdot 10^2$
CH ₄	$(1,0 \dots 1,2) \cdot 10^{-6}$	1,0 ... 1,2	$(6,56 \dots 7,87) \cdot 10^2$
Kr	$1,1 \cdot 10^{-6}$	1,1	$3,43 \cdot 10^3$
H ₂	$0,58 \cdot 10^{-6}$	0,58	$9,00 \cdot 10^2$
N ₂ O	$0,5 \cdot 10^{-6}$	0,5	$4,13 \cdot 10^1$
Xe	$8 \cdot 10^{-8}$	0,08	$4,29 \cdot 10^2$
CO	$(0,06 \dots 0,12) \cdot 10^{-6}$	0,06 ... 0,12	–
O ₃	$2 \cdot 10^{-8}$	0,02	–
Vapori substanțe organice	$2 \cdot 10^{-8}$	0,02	–
SO ₂ , H ₂ S, HNO ₃ , NH ₃ , CH ₂ O, HCl, NO, NO ₂ – urme			

Tabelul 8.3. prezintă principalii poluanți atmosferici produși prin ardere și caracteristicile acestora [13].

8.1.1. Efectele poluării atmosferice prin ardere

Principalele efecte produse de poluarea atmosferică rezultată din procesele de ardere sunt încălzirea globală, ploaia acidă, efectele asupra sănătății, reducerea vizibilității.

8.1.1.1. Încălzirea globală

Fenomenul de încălzire globală se explică prin procese similare celor care caracterizează efectul de seră: un spațiu vitrat va acumula energia termică provenită de la soare deoarece sticla este transparentă la radiația solară, dar este opacă la radiațiile infraroșii; or, corpurile din spațiul vitrat absorb radiația solară și reemit o parte din această energie în spectrul infraroșu. Drept urmare, această radiație infraroșie este „blocată” în spațiul vitrat al serei, ducând la acumularea de

energie termică în acest spațiu.

Dacă în cazul serelor acest fenomen este unul benefic, ducând la însemnate economii de energie pentru încălzire, în cazul Pământului, bilanțul termic pozitiv rezultat din împiedicarea radiațiilor infraroșii de a evada în spațiul extraterestru conduce la o creștere a temperaturii medii a atmosferei, cu efecte negative cum ar fi: schimbarea climei, topirea calotelor glaciare, creșterea nivelului Oceanului Mondial etc. O parte din gazele rezultate din arderea combustibililor și eliberate în atmosferă acționează exact ca sticla unei sere, absorbind radiațiile infraroșii emise de suprafața Pământului ca urmare a încălzirii acesteia de către radiația solară.

Principalul gaz cu efect de seră produs prin ardere este dioxidul de carbon. În absența arderii, acesta parcurge un circuit astfel încât concentrația sa în aer nu se modifică semnificativ pe termen lung, singura sursă de CO₂ suplimentar fiind erupțiile vulcanice. Dioxidul de carbon produs în procesul de respirație de către animale este descompus prin fotosinteză de către plante, care restituie oxigenul și fixează carbonul sub formă de masă organică, restabilind astfel echilibrul. Dacă s-ar arde numai combustibilii reprezentând această masă organică regenerabilă (motiv pentru care și acești combustibili se numesc *regenerabili*), atunci echilibrul nu ar fi afectat. Odată însă ce se ard combustibili fosili, care au fixat carbonul din CO₂ de-a lungul milioanele de ani, bilanțul dioxidului de carbon devine pozitiv, acesta acumulându-se în atmosferă în cantități din ce în ce mai mari (care depășesc capacitatea de fixare a vegetației) și determinând astfel fenomenul de încălzire globală. Cum energia la momentul actual este produsă aproape în totalitate prin arderea combustibililor fosili, acest fenomen se accelerează, efectele sale fiind deja sesizabile (de exemplu, nivelul Oceanului Mondial s-a crescut cu 15 – 20 cm în ultimul secol). Figura 8.1. (adaptată după [4]) ilustrează doar o parte din gama largă de aplicații industriale care implică procese de ardere ca unică metodă de obținere a temperaturii necesare.

Totuși, deoarece o tehnică de obținere, alta decât arderea, a temperaturilor necesare nu este la momentul actual accesibilă la scara de masă a diverselor industrii, unii autori nu includ dioxidul de carbon printre poluanții propriu-ziși, deoarece acesta este inerent oricărui proces de ardere. El nu poate fi evitat, ci doar se pot imagina tehnici de capturare (sechestrare) a acestuia astfel încât să nu poată ajunge în atmosferă.

Dacă se acceptă această excepție, atunci drept gaze poluante cu efect de seră produse de ardere sunt considerate N₂O, CH₄ și NO.

Tab. 8.3. Caracteristici ale principalilor poluanți rezultați din ardere

Substanța poluantă	Surse principale	Emisii anuale estimate [Mt/ani]	Temp de rezidență în atmosferă	Mecanisme naturale de eliminare din atmosferă	Observații
SO ₂	Combustibilii fosili	212	1 ... 4 zile	Oxidare în SO ₃ prin reacții fotochimice	Procesul de oxidare mai intens vara datorită radiației solare mai puternice
CO	– Gaze de eşapament – Alte procese de ardere	700	1 ... 3 luni	Reacții fotochimice cu CH ₄ și OH	Nu au fost măsurate modificări sesizabile pe termen lung a concentrației CO în atmosferă
NO, NO ₂	Procese de ardere	75 (sub formă de NO ₂)	2 ... 5 zile	Oxidare în nitrat	Concentrații de ordinul 10 ⁻⁵ ppm
N ₂ O	Procese de ardere	3	2 ... 100 ani	Reacții fotochimice în atmosferă	
CH ₄	– Procese de ardere – Pierderi de gaz natural	160	8 ani	Reacție cu OH, rezultând CO	Arderea biomasei ca sursă specifică
Alte hidrocarburi	Procese de ardere	40	câteva ore sau zile	Reacții fotochimice cu NO și O ₃	
CO ₂	Procese de ardere	22 000	2 ... 4 ani	– Fotosintează – Procese biogenice – Absorbție în apa oceanelor	

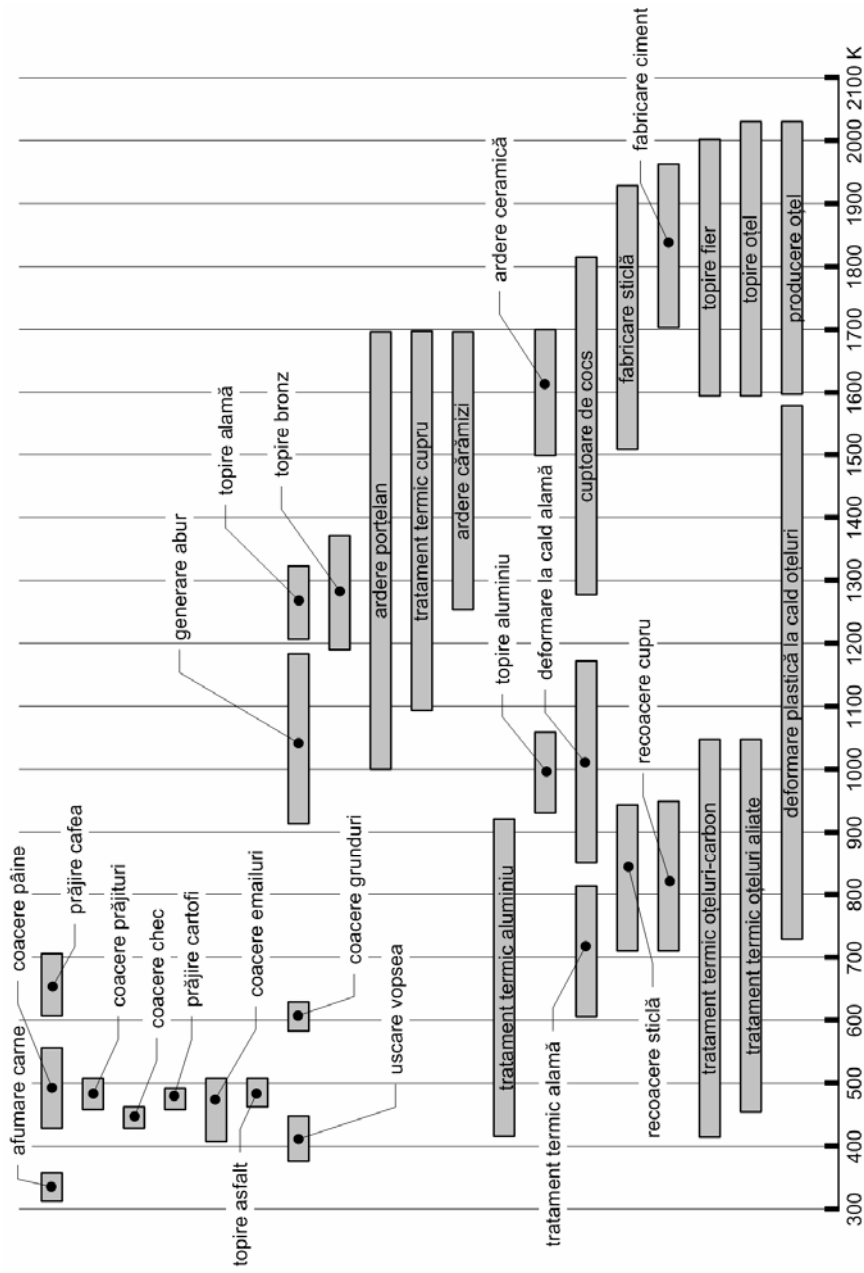


Fig. 8.1. Domenii tipice de temperaturi pentru diverse procese industriale care implică arderea

8.1.1.2. Ploaia acidă

În mod normal, ploaia este ușor acidă ($\text{pH} = 5,6$) datorită dioxidului de carbon din aer care se dizolvă în picăturile de apă, rezultând acid carbonic. Dacă însă pH -ul ploii este mai mic de 5,6, atunci ploaia se consideră acidă.

Fenomenul de ploaie acidă se datorează aproape în exclusivitate² proceselor de ardere a combustibililor fosili care produc oxizi de azot (NO_x) și oxizi de sulf (SO_x) care constituie precursorii acizilor azotic și sulfuric. Aceștia, în combinație cu vaporii de apă din atmosferă, formează acizii azotic (HNO_3) respectiv sulfuric (H_2SO_4), care sunt puternic corozivi. Efectele produse de ploaia acidă sunt afectarea culturilor, distrugerea fondului forestier, degradarea solurilor, afectarea ecosistemelor acvatice, coroziunea structurilor metalice și a construcțiilor, reducerea vizibilității.

8.1.1.3. Efecte asupra stării de sănătate a oamenilor

Poluanții atmosferici au efecte nocive asupra stării de sănătate a organismului uman. Aceste efecte pot fi imediate sau pe termen lung. Primele se manifestă la locul și în momentul expunerii la factorul nociv, iar cele din a doua categorie se manifestă în timp, datorită acumulării substanțelor toxice în țesuturile moi, sânge, oase, dinți sau păr. Se poate vorbi de acumulare, atunci când organismul fixează respectiva substanță mai repede decât o poate elimina.

În Tab. 8.4. sunt schematizate principalele efecte ale poluanților produși de ardere asupra stării de sănătate a oamenilor [7].

8.1.1.4. Efecte asupra vegetației și faunei

Unele estimări apreciază la 5% pierderile provocate recoltelor de către poluare [7]. Căile de pătrundere a poluanților în organismul plantelor sunt fie prin respirație, fie prin substanțele absorbite din sol. În special sunt afectate frunzele, rezultatul fiind o modificare a metabolismului plantei cu consecințe asupra dezvoltării acesteia și asupra capacității de reproducere. Poluanții cu efecte nocive asupra plantelor sunt ozonul, SO_2 și NO_2 . Aceștia produc deteriorări ale țesutului frunzelor (decolorări, depigmentări, scorojiri, necroză) și afectează procesele metabolice ale acestora. Ploaia acidă determină necrozarea unor porțiuni extinse din suprafața frunzelor.

Efectul asupra faunei se manifestă în special în cazul lacurilor afectate de ploaia acidă, la care o mare parte din populația de pești este decimată.

² Erupțiile vulcanice care aruncă în atmosferă mari cantități de dioxid de sulf sau chiar acid sulfuric sunt deasemeni responsabile de apariția acestui fenomen, dar doar la scară locală și pe perioade limitate.

Tab. 8.4. Poluanți proveniți din ardere și efectele asupra acestora asupra stării de sănătate

Poluantul	Efecte asupra stării de sănătate
CO	<ul style="list-style-type: none"> – reducerea capacității sistemului circulator de a transporta oxigenul la țesuturi; – scăderea capacității de a îndeplini sarcini care necesită atenție și concentrare; – agravarea bolilor cardiovasculare.
NO ₂	<ul style="list-style-type: none"> – creșterea sensibilității la agenții patogeni ai căilor respiratorii
O ₃	<ul style="list-style-type: none"> – afectarea funcției pulmonare; – tuse, greutăți în respirație; – creșterea frecvenței și intensității atacurilor de astm.
SO ₂	<ul style="list-style-type: none"> – creșterea riscului afecțiunilor respiratorii cronice; – creșterea frecvenței afecțiunilor respiratorii acute.
Particule în suspensie	<ul style="list-style-type: none"> – creșterea riscului afecțiunilor respiratorii cronice; – creșterea frecvenței afecțiunilor respiratorii acute.

8.1.2. Controlul poluării

Controlul poluării urmărește reducerea la minimum a emisiilor poluante astfel încât acestea să-și manifeste efectele nocive într-o măsură cât mai redusă. Abordarea problematicii controlului emisiilor poluante presupune următoarele elemente:

- existența unei surse controlabile (de tip industrial). Un fenomen natural (cum este un vulcan), nu poate fi controlat.
- prin control, emisiile poluante nu pot fi complet eliminate, ci doar reduce
- costul aplicării controlului crește exponențial cu proporția reducerii emisiei respective. De aceea, se impune o foarte riguroasă analiză tehnico-economică în alegerea metodei și tehnologiei de control.
- o cunoaștere aprofundată a mecanismelor de producere a emisiilor poluante și a surselor acestora.
- o foarte bună cunoaștere a legislației și reglementărilor de mediu.

Metodele generale de control al poluării sunt:

1. **Schimbarea procesului.** Această metodă constă fie în înlocuirea procesului cu unul mai puțin poluant, fie în modificarea unor faze ale procesului care să aibă ca efect o reducere a gradului de poluare implicat. În multe situații s-a dovedit mai ieftină înlocuirea completă a unei instalații care poluează,

cu alta de concepție nouă, bazată pe un proces mai puțin poluant.

2. Înlocuirea combustibilului cu altul mai puțin poluant.

3. Depoluarea. Această metodă presupune îndepărtarea poluantului din fluxul de ieșire a substanțelor dintr-un proces tehnologic, prin intercalarea unei instalații de depoluare.

La baza controlului poluării stau următoarele principii:

1. Este mai ieftin și eficient să se reducă poluarea direct la sursă;
2. Dacă reducerea poluării la sursă nu este posibilă, substanțele sau materialele poluante îndepărtate trebuie reciclate de așa manieră, încât să afecteze mediul cât mai puțin;
3. Dacă nici reciclarea nu este posibilă, substanțele poluante trebuie tratate de așa manieră, încât să afecteze mediul cât mai puțin;
4. Dacă nici tratarea nu este posibilă, ultima soluție o constituie depozitarea substanțelor poluante de așa manieră, încât să afecteze mediul cât mai puțin.

În accepțiunea generală, prin *poluant* se înțelege o substanță care în mod normal nu este prezentă în atmosferă, sau este prezentă, dar într-o concentrație sub un anumit prag (de obicei foarte scăzut).

În înțelesul comun însă, *poluant* înseamnă o substanță care dăunează atât sănătății, cât și condițiilor de mediu.

Poluanții specifici proceselor de combustie sunt oxizii de azot, oxizii de sulf, oxizii de azot, monoxidul de carbon, hidrocarburile, ozonul și particulele solide în suspensie (vezi și Tabelele 8.1. și 8.3.).

8.2. OXIZII DE AZOT

Notați generic NO_x, aceștia sunt NO, NO₂ și N₂O. Oxizii de azot sunt poluanți care apar chiar și la arderea unui combustibil „curat” (de exemplu hidrogenul), a cărui ardere produce doar vapori de apă). Explicația constă în faptul că azotul, care este un gaz necombustibil, se combină cu oxigenul la temperaturi ridicate, sursa oxizilor de azot fiind azotul din aer. O bună perioadă de timp oxizii de azot au fost ignorați, deoarece se urmărea doar obținerea unei eficiențe a arderii cât mai ridicate. Aceasta poate fi obținută prin preîncălzirea aerului de ardere, rezultatul fiind o creștere a temperaturii finale a gazelor de ardere; or, formarea oxizilor de azot este cu atât mai intensă, cu cât temperatura este mai ridicată. Un exemplu îl constituie industria sticlei, la care preîncălzirea aerului la 1300°C determină creșterea temperaturii adiabatică de ardere la 1600°C, ceea ce determină o creștere spectaculoasă a procentului de NO_x în gazele de ardere.

Rezultă că la ardere intervin două cerințe care intră în conflict: a) ridicarea temperaturii adiabatice de ardere care mărește eficiența arderii și b) reducerea temperaturii adiabatice de ardere prin care scade producerea de NOx. Pragul dincolo de care formarea NOx devine importantă, este 1500°C.

8.2.1. Mecanisme de formare

8.2.1.1. Monoxidul de azot (NO)

Monoxidul de azot este un gaz incolor și inodor. Este iritant pentru ochi și căile respiratorii, produce cefalee, iar la expunere prelungită produce sufocare, cianoză și în final, moarte. NO este precursorul pentru formarea NO₂ și constituie una din cauzele formării ozonului. Formarea monoxidului de azot are la bază 4 mecanisme, funcție de sursa de azot și de locul de formare: termic (Zeldovich), instantaneu (Fenimore), din N₂O și din combustibil.

1. Mecanismul termic (Zeldovich)

Mecanismul termic de formare a monoxidului de azot (în engleză *thermal NO*) a fost propus în anul 1946 de fizicianul sovietic Y.B. Zeldovich și are la bază reacțiile care au loc la temperaturi înalte în timpul arderii, între azotul și oxigenul din aer. Aceste reacții sunt:



în care constanta k_1 are expresia:

$$k_1 = 1,8 \cdot 10^{14} \cdot e^{-\frac{318}{RT}} \left[\frac{\text{cm}^3}{\text{mol} \cdot \text{s}} \right] \quad (8.2)$$



cu:

$$k_2 = 6,4 \cdot 10^9 \cdot T \cdot e^{-\frac{26}{RT}} \left[\frac{\text{cm}^3}{\text{mol} \cdot \text{s}} \right] \quad (8.4)$$



unde:

$$k_3 = 3,8 \cdot 10^{13} \left[\frac{\text{cm}^3}{\text{mol} \cdot \text{s}} \right] \quad (8.6)$$

Reacția determinantă este (8.1). Atomii din molecula de N_2 sunt uniți printr-o legătură triplă, ceea ce explică energia de activare mare a reacției ($E_a = 318$ kJ/kmol). Din acest motiv, reacția (8.1) devine importantă doar la temperaturi ridicate (peste 1500°C).

Viteza de formare a NO se obține din cele trei reacții:

$$\frac{d[\text{NO}]}{d\tau} = 2k_1 \cdot [\text{O}] \cdot [\text{N}_2] \quad (8.7)$$

Din ecuația (8.7) rezultă că, pentru a reduce formarea de NO, trebuie reduse concentrațiile oxigenului monoatomic sau a azotului, sau trebuie micșorată valoarea constantei k_1 prin reducerea temperaturii.

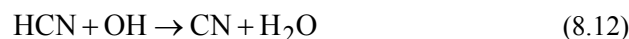
2. Mecanismul instantaneu (Fenimore)

Mecanismul instantaneu de formare a monoxidului de azot (în engleză *prompt NO*) a fost descoperit în anul 1979 de C.P. Fenimore de la General Electric Research and Development Center din Shenectady, NY [18], [19], care a observat o importantă formare de NO în regiuni ale arderii în care mecanismul Zeldovich nu putea funcționa: zonele „reci” ale flăcării, sau frontul de flacără, unde amestecul încă ners este foarte bogat. Fenimore (care a și propus termenul de *prompt NO*) a explicat formarea de NO în aceste zone prin reacțiile dintre azot și radicalii CH și CH_2 din hidrocarburi:



Reacțiile (8.8) și (8.9) constituie punctul de plecare pentru următorul lanț de reacții:





Mai departe, atomii de azot din ultimele trei reacții intră în reacțiile (8.3) și (8.5) din mecanismul Zeldovich.

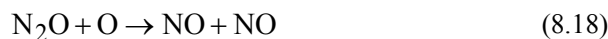
Mecanismul Fenimore este favorizat de flăcările bogate în combustibil. Energiile de activare ale reacțiilor acestui mecanism sunt mai reduse decât pentru reacția (8.1). De exemplu, reacția (8.8) are o energie de activare de 75 kJ/mol, de aproape 4 ori mai mică decât reacția (8.1), ceea ce înseamnă că mecanismul Fenimore generează NO la temperaturi mai mici decât mecanismul Zeldovich (începând de la 730°C).

3. Mecanismul de formare din N₂O

Acest mecanism este declanșat de prezența unei a treia molecule, astfel încât azotul reacționează cu oxigenul monoatomic, rezultând N₂O:



Protoxidul de azot astfel format, reacționează cu un atom de oxigen, rezultând două molecule de NO ($E_a = 97$ kJ/mol):



Mecanismul constituie sursa principală de NO la arderea cu amestecare prealabilă a amestecurilor sărace.

4. Mecanismul de formare din azot de constituție

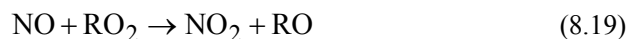
Mecanismul de formare a NO din azotul de constituție are la bază piroliza combustibililor care conțin hidrocarburi aromatice sau compuși poliaromatici cu unul sau mai mulți atomi de azot în moleculă (cărbune, păcură, cocs, uleiuri uzate). Acești compuși se descompun direct în NO în procesul de degajare a volatilelor.

8.2.1.2. Dioxidul de azot (NO₂)

Numit și hipoazotidă, este un gaz roșcat-marou cu miros sufocant și acțiune iritantă asupra căilor respiratorii. La expunere prelungită provoacă edem pulmonar și în final, decesul. Are un potențial oxidant ridicat, atacând masele plastice și acoperirile de protecție (lacuri și vopsele). Datorită proprietăților de oxidant puternic, poate deveni exploziv în prezența alcoolilor, a hidrocarburilor, și a substanțelor organice (în special a combustibililor fosili). Se combină cu vaporii de apă din atmosferă, producând acid azotic, care este puternic coroziv.

Dioxidul de azot se formează direct în procesul de combustie la temperaturi de 700 ... 950°C, în special în cazul combustibililor solizi și la timpi de rezidență mari și exces de aer ridicat.

Mecanismul de formare a NO₂ are la bază reacția monoxidului de azot cu un radical peroxid (RO₂):



8.2.1.3. Protoxidul de azot (N₂O)

Este un gaz stabil și inert care se descompune la temperaturi sub 600°C în azot și oxigen., dar în stratosferă, sub acțiunea radiațiilor ultraviolete, intră în reacții fotochimice care eliberează radicali ce distrug stratul de ozon. Este deasemeni un gaz cu efect de seră.

Mecanismul de formare a protoxidului de azot presupune intrarea în reacție a unei a treia molecule:



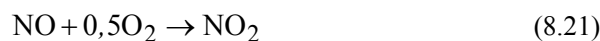
8.2.2. Efecte asupra mediului

Efectele pe care oxizii de azot le au asupra mediului sunt:

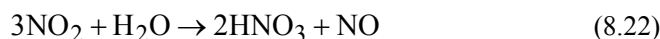
a. Producerea de ozon. Ozonul este un gaz cu efecte nocive la nivelul solului (sau în troposferă), dar benefic în stratosferă, unde constituie un

ecran împotriva radiațiilor ultraviolete. Monoxidul de azot, în prezența oxigenului și sub acțiunea radiației luminoase de la Soare produce ozon și NO_2 .

b. Ploaia acidă. Monoxidul de azot produs prin ardere reacționează cu oxigenul, producând hipoazotidă:



care apoi intră în reacție cu picăturile de ploaie, rezultând acid azotic:



Se observă că monoxidul de azot se regenerează, ceea ce constituie o amplificare a efectului negativ al prezenței NO în aerul atmosferic. Reacția (8.21) este lentă, dar are suficient timp la dispoziție pentru a avea loc.

c. Smogul. Termenul *smog* este o contragere din *smoke* (fum) + *fog* (ceață), deci este combinația ceței cu producția de poluare gazoși, în special oxizii de azot și cu particulele în suspensie (funingine). Efectele smogului sunt din cele mai nocive pentru sănătatea oamenilor, provocând sau agravând problemele respiratorii. Deasemeni, smogul reduce vizibilitatea, afectând traficul, în special cel aerian. Smogul fotochimic rezultă din acțiunea luminii solare asupra NO_2 și radicalilor liberi ai hidrocarburilor nearse din gazele de ardere și este mult mai nociv decât smogul simplu, deoarece producția reacțiilor fotochimice din smog au grad de toxicitate mult crescut.

8.2.3. Reducerea și controlul emisiilor de oxizi de azot

Reducerea și controlul emisiilor de oxizi de azot se fac prin următoarele 4 metode, derivate din metodele generale de control al poluării (vezi § 8.1.2. și Tab. 8.5.):

1. Tratarea preliminară
2. Modificarea procesului
3. Modificarea arderii
4. Tratarea post-ardere a gazelor de ardere

Tab. 8.5. Metode de reducere și control al emisiilor de oxizi de azot

Metoda de reducere	Tehnica de reducere	Procedeu de reducere
Tratare preliminară		<ul style="list-style-type: none"> – înlocuirea combustibilului – modificarea chimiei arderii prin aditivare – modificarea structurii chimice a combustibilului – înlocuirea oxidantului
Modificarea procesului		<ul style="list-style-type: none"> – reducerea debitului de combustibil – încălzire electrică – creșterea eficienței arderii – înlocuirea produsului – reducerea coeficientului de exces de aer
Modificarea arderii	Reducerea concentrației de oxigen în oxidant	<ul style="list-style-type: none"> – injecție de apă sau abur – recircularea gazelor de ardere – dozaj în trepte al combustibilului sau aerului – ardere în regim pulsatoriu
	Reducerea temperaturii	<ul style="list-style-type: none"> – reducerea preîncălzirii a aerului – injecție de apă sau abur – recircularea gazelor de ardere – re-ardere (reburning) – amestecuri preformate sărace (lean premixed flames) – arzătoare Low-NOx – burners-out-of-service (BOOS) – configurație arzătoare – BOOS
Tratarea post-ardere a gazelor de ardere	Reducerea timpului de rezidență	
	Reducere selectivă catalitică	
	Reducere selectivă necatalitică	<ul style="list-style-type: none"> – injecție amoniac (DeNOx Thermal) – injecție uree – injecție acid cianuric (RAPRENOx)
	Reducere catalitică	

8.2.3.1. Tratarea preliminară

Tratarea preliminară se aplică combustibilului și oxidantului. Sunt în uz următoarele procedee:

a. Schimbarea combustibilului

Acest procedeu constă în înlocuirea unui combustibil cu conținut ridicat de azot (de exemplu un combustibil lichid) cu altul mai sărac în azot (de exemplu gazul natural), bineînțeles dacă acest lucru este posibil în condițiile instalației de ardere date.

b. Modificarea chimiei arderii prin aditivare

Prin adăugarea de aditivi în procesul de ardere, se pot modifica reacțiile chimice care au loc astfel încât producția de ardere să conțină mai puțini oxizi de azot. Spre exemplu, dacă se injectează amoniac în aerul de ardere, scade conținutul de NO_x al gazelor de ardere.

c. Modificarea structurii chimice a combustibilului

Procedeu urmărește înlăturarea azotului din structura combustibilului (denitrificare), ca de exemplu la gazul natural, caz în care se recurge la adsorbție sau la tehnici de separare bazate pe membrane.

d. Înlocuirea oxidantului

Prin înlocuirea oxidantului, se urmărește evitarea formării de NO_x datorită azotului din aer. Un exemplu îl constituie oxicomustia, în varianta în care oxidantul este oxigenul pur. Acest procedeu este propus spre utilizare în contextul tehnicilor de captură a dioxidului de carbon, deoarece în acest caz gazele de ardere conțin doar CO₂ și vapori de apă, care pot fi ușor separați, rămânând doar dioxidul de carbon. Figura 8.2. prezintă variația proporției monoxidului de azot în gazele de ardere funcție de conținutul de oxigen din oxidant la oxi-combustie [4]. De remarcat faptul că producția de NO are un maxim la 60 ... 70% O₂, ceea ce se explică prin creșterea semnificativă a temperaturii adiabatică de ardere prin mărirea procentului de oxigen din oxidant. Odată ce este depășit acest prag critic, producția de NO scade brusc, deoarece scade puternic cantitatea de azot disponibilă; or, aceasta este sursa principală de formare a NO prin mecanism Zeldovich. La 100% O₂, monoxidul de azot nu se mai produce deloc, deoarece nu mai există azot în oxidant.

8.2.3.2. Modificarea procesului

Această metodă de reducere și control al emisiilor de NO_x acționează asupra procesului de obținere a căldurii utile. Se utilizează următoarele procedee:

a. Reducerea debitului de combustibil

Prin reducerea debitului de combustibil scade temperatura adiabatică de ardere și deci și formarea de NO_x termic deoarece arderea se face cu amestec sărac, dar în același timp scade și căldura utilă. Este cea mai ieftină și accesibilă tehnică de reducere, dar are aplicabilitate limitată.

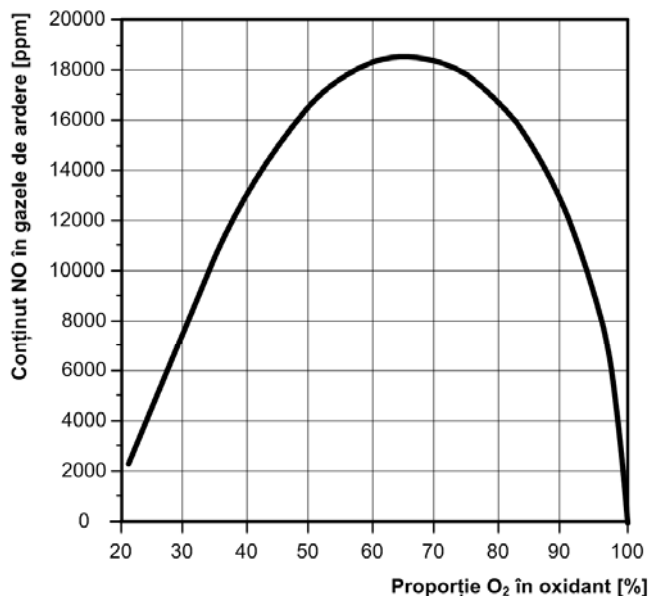


Fig. 8.2. Producția de NO funcție de procentul de oxigen în oxidant

b. Încălzirea electrică

Este aplicabilă în procesele industriale în care căldura este produsă *in situ*, prin arderea unui combustibil. Încălzirea electrică este mai convenabilă din punctul de vedere al formării de oxizi de azot, deoarece energia electrică necesară este produsă în unități specializate, în care tehnicile de reducere și control al emisiilor de oxizi de azot sunt mult mai bine stăpânite. Totuși, aplicabilitatea acestui procedeu este limitată: de exemplu, în industria petrochimică, unde însuși produsul prelucrat este sursa de căldură.

c. Creșterea eficienței arderii

Prin creșterea eficienței procesului de ardere, scade debitul de combustibil ars, efectul fiind de scădere a emisiilor de NOx. Eficiența arderii poate fi îmbunătățită de exemplu prin preîncălzirea aerului, dar această tehnică trebuie aplicată cu precauție, deoarece – așa cum am mai arătat – duce la creșterea temperaturii adiabatică de ardere, care mărește producția de NOx. Cea mai la îndemână tehnică de creștere a eficienței arderii este buna întreținere a arzătoarelor.

d. Înlocuirea produsului cu altul care necesită mai puțină energie

Acest procedeu poate fi aplicat doar acolo unde există o tehnologie alternativă care implică realizarea unui produs similar ca performanțe, dar pentru care consumul tehnologic de căldură este mai redus.

8.2.3.3. Modificarea arderii

Prin această metodă, se intervine direct asupra procesului de ardere în sensul modificării parametrilor care-l controlează astfel încât rezultatul să fie o reducere a conținutului de NOx a gazelor de ardere, fără ca prin aceasta performanțele instalației de ardere să fie afectate în mod radical. Cele mai utilizate procedee sunt:

a. Reducerea preîncălzirii aerului

Prin reducerea preîncălzirii aerului de ardere, scade temperatura adiabatică de ardere și conținutul de NOx, dar și eficiența procesului, deci gradul de reducere trebuie să fie rezultatul unui compromis între cele două efecte contradictorii.

b. Scăderea coeficientului de exces de aer

Prin reducerea excesului de aer, mai puțin azot este disponibil pentru formarea NOx și în același timp crește și eficiența, dar crește temperatura adiabatică de ardere și conținutul de CO. O importantă sursă de reducere o constituie eliminarea pătrunderilor de aer fals, care măresc coeficientul de exces de aer.

c. Arderea în trepte

Arderea în trepte constă în crearea de zone cu amestec sărac și zone cu amestec bogat, pe ansamblu însă păstrându-se același raport aer/combustibil. Procedeele se aplică fie combustibilului, fie aerului.

Dacă procedeul se aplică combustibilului, atunci prima zonă de ardere, numită *zona primară*, este cu amestec sărac (aici se introduce combustibil sub raportul stoechiometric). În zonele care urmează (*secundară* sau *terțiară*), amestecul este bogat (raport supra-stoechiometric). Drept consecință, temperatura adiabatică de ardere scade și astfel scade și producția de NOx. Conform [10], injectând în zona secundară 35...40% din debitul total de combustibil, se poate

obține o reducere de 80% a NO_x.

Aplicarea procedurii de ardere în trepte aerului constă în crearea unei zone primare cu amestec bogat prin introducerea unui debit de aer insuficient pentru arderea completă, restul de aer fiind injectat în zonele secundară și terțiară. Rezultatul este aplatizarea vârfului de temperatură, astfel încât se formează mai puțini oxizi de azot.

d. Recircularea gazelor de ardere

Efectul urmărit este răcirea flăcării, astfel încât să scadă producția de NO_x. Procedul se aplică în două variante: recircularea gazelor de ardere de la coș și recircularea gazelor de ardere din zona primară. În ambele cazuri, temperatura adiabatică de ardere scade, putându-se obține o reducere de 50% a NO_x.

e. Injecția de apă sau abur

Scopul urmărit este de a reduce temperatura, dar în același timp scade și căldura utilă. Din cele două procedee, injecția de abur este mai avantajoasă, deoarece absoarbe mai puțină căldură (nu este necesară vaporizarea apei, care implică un consum mare de căldură). Deasemeni, amestecarea cu gazele de ardere este mai bună. Eficiența este și mai mare atunci când aburul servește la vaporizarea combustibilului lichid, deoarece se realizează economii însemnate.

f. Rearderea (reburning)

Procedul constă în injecția de combustibil la distanță mare în avalul zonei primare. Arderea combustibilului în această zonă se face cu amestec bogat, care este puțin favorabil formării de NO_x. Temperaturile mai joase care rezultă în această zonă determină reducerea oxizilor de azot la azot gazos.

g. Arzătoare Low NO_x

Aceste tipuri de arzătoare au geometrii speciale, la care zona în primară arderea se face cu amestec foarte sărac, la limita stabilității flăcării.

h. Burners-out-of-service (BOOS)

Acest procedeu constă tot într-o ardere în trepte, dar pe ansamblul focarului: arzătoarele superioare insuflă doar aer, debitul lor de combustibil fiind preluat de cele inferioare, la care arderea se face cu amestec bogat. Per ansamblu, raportul combustibil/aer este neschimbat, dar în zona primară se formează puțini oxizi de azot deoarece amestecul este bogat, arderea continuându-se apoi în zona superioară, dar la temperaturi scăzute, cu formare redusă de NO_x.

i. Arderea în regim pulsatoriu

O soluție de reducere a excesului de aer o constituie arderea în regim pulsatoriu [4], care constă în alternarea rapidă a regiunilor de amestec foarte sărac cu cele cu amestec foarte bogat ale flăcării, prin intermediul unor valve cu acțiune

foarte rapidă, astfel încât pe ansamblu stoechiometria poate fi controlată prin intermediul pulsațiilor flăcării.

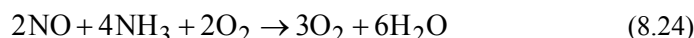
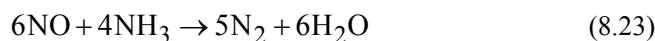
8.2.3.4. Tratarea post-ardere a gazelor de ardere

Metodele din această categorie recurg la intervenția asupra gazelor de ardere prin aditivarea cu diverși compuși, care intră în reacție cu oxizii de azot, reducându-i.

a. Reducerea selectivă catalitică (SCR³)

Agentul reducător se introduce în gazele de ardere în prezența unui catalizator. Procesul trebuie să se desfășoare într-o fereastră de temperatură bine precizată, deoarece doar în acest interval de temperaturi eficiența procesului de reducere este semnificativă. Cel mai utilizat agent de reducere este amoniacul (NH₃). Intervalul de temperaturi recomandat este (230 ... 600) °C, reducerea oxizilor de azot fiind de până la 95% în acest interval. Amoniacul poate fi pur, sau în soluție apoasă 20 ... 30%.

Reacțiile care au loc sunt:



Catalizatorii sunt în structură tip-fagure. Se utilizează următorii catalizatori [22]:

- de joasă temperatură (175 .. 250 °C): platina
- de medie temperatură (300 .. 450 °C): vanadiul
- de înaltă temperatură (350 .. 600 °C): zeoliții

Dezavantajele procedurii sunt următoarele:

- metoda este scumpă și implică costuri de operare mari;
- catalizatorul se poate ușor înfunda datorită cenușii din gazele de ardere;
- catalizatorul poate fi inactivat în anumite circumstanțe;
- regenerarea catalizatorului este de obicei mai scumpă decât înlocuirea lui și de aceea apar probleme cu catalizatorul uzat, care este periculos (mai ales vanadiul) și necesită precauții la scoaterea din uz;
- structura fagure care conține catalizatorul reprezintă o rezistență

³ Eng.: *Selective Catalytic Reduction*

aerodinamică importantă pe coșul de fum și de aceea este necesar un consum crescut de energie pentru a învinge această rezistență.

b. Reducerea selectivă necatalitică (SNCR⁴)

Acest procedeu diferă de precedentul prin aceea că injecția de agent reducător de NOx se face fără a se recurge la un catalizator, motiv pentru care este și mai ieftin.

Procedeul Thermal DeNOx

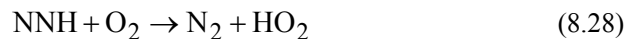
Procedeul a fost pus al punct de firma Exxon și constă în injecția de amoniac în gazele de ardere în fereastră de temperatură (870 ... 1200) °C, rezultatul fiind formarea radicalului NH₂, care intră apoi în reacțiile:



Compusul NNH fie se descompune conform reacției:



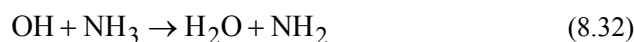
fie reacționează cu oxigenul:



Reacțiile (8.26) și (8.27) sunt la originea următorului lanț de reacții în care radicalul NH₂ se regenerează, reintrând apoi în reacții de tipul (8.25) și (8.26) și amplificând astfel efectul pozitiv al proceselor de reducere:



⁴ Eng.: *Selective Non-Catalytic Reduction*



Există o limită superioară a temperaturii pentru reacțiile din cadrul procedurii Thermal DeNOx, deoarece reacția (8.30) are efect direct asupra reacției:



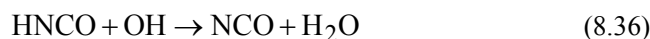
HNO se descompune imediat în NO și H:



astfel încât cele două reacții de mai sus au drept rezultat net reconvertirea NH_2 în NO. Drept urmare, amoniacul fie poate reduce NO, fie produce NO prin intermediul radicalului NH_2 . Cu cât crește temperatura, cu atât crește și rata de formare a atomilor de oxigen (conform reacției (8.30)). Există o limită dincolo de care reducerea NO dată de reacțiile (8.25) și (8.26) este contrabalansată de formarea de NO prin mecanismul descris de reacțiile (8.33) și (8.34). Această limită nu trebuie atinsă.

Procedul RAPRENOx

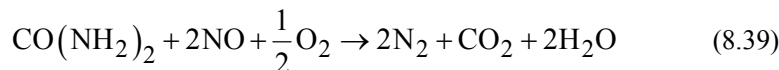
Acest procedeu constă în injecția de acid cianuric în gazele de ardere, rezultând N_2O , care este totuși un gaz cu efect de seră. Reacțiile mecanismului de reducere sunt:



Procedul NOxOUT

Pus la punct de firma Nalco Fuel Tech, procedeu se bazează pe injecția de

uree ($\text{CO}(\text{NH}_2)_2$) în gazele de ardere. Reacțiile sunt:

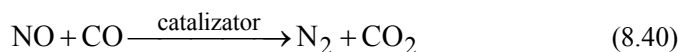


Temperatura optimă este de (870 ... 1100) °C, factori favorizanți fiind un timp de rezidență crescut și o bună amestecare.

Reducerea selectivă necatalitică are ca principal dezavantaj faptul că prin această tehnică de reducere a NOx, cresc emisiile de CO și NH₂, iar dacă amestecarea este insuficientă, poate rămâne amoniac care nu a intrat în reacție și care se regăsește în gazele de ardere.

c. Reducerea catalitică

Procedul se mai numește și „curățare catalitică”, deoarece nu necesită un reducător, fiind suficient doar catalizatorul. Monoxidul de azot reacționează cu CO în prezența catalizatorului conform reacției:



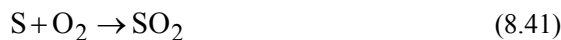
8.3. OXIZII DE SULF

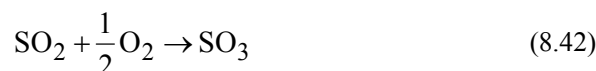
Sulful ca atare este inofensiv și în general puțin reactiv, dar oxizii acestuia produși în procesele de ardere sunt nocivi, făcând parte din categoria poluanților atmosferici. Cei mai importanți sunt SO₂ și SO₃. Primul se formează la temperaturi ridicate, al doilea formându-se la temperaturi mai joase. De aceea, din punct de vedere al arderii, dioxidul de sulf este cel care predomină, motiv pentru care accentul va cădea pe acesta. De exemplu, într-o instalație de ardere, raportul de formare este de (40 ... 80):1 în favoarea dioxidului de sulf, datorită temperaturilor ridicate ale procesului [40].

Dioxidul de sulf este un gaz incolor, cu miros pătrunzător, ușor de sesizat, și care este ușor solubil în apă, formând acidul sulfuros (H₂SO₃).

8.3.1. Mecanisme de formare

Mecanismele de formare ale SO₂ și SO₃ sunt date de reacțiile:





La temperatură ambiantă, formarea SO_3 este net favorizată. Acesta intră în reacție cu apa din atmosferă și formează acid sulfuric, care este extrem de coroziv și nociv:



8.3.2. Surse

Principala sursă de sulf o constituie combustibilii solizi (cărbune: aprox. 1%) și cei lichizi (păcura: 2%). Nu sunt totuși de neglijat și alte surse, cum ar fi materiile prime supuse prelucrării prin procese termice: de exemplu, piritele în industria prelucrării cuprului.

8.3.3. Efecte

Efectele directe și indirecte ale emisiilor de oxizi de sulf se exercită asupra sănătății (efecte directe: iritarea căilor respiratorii, agravarea afecțiunilor respiratorii cum ar fi astmul) și asupra mediului (efecte indirecte: ploaia acidă). Aceasta, fiind corozivă, atacă organismele vii (plante, insecte etc.) și structurile metalice și clădirile.

8.3.4. Reducerea și controlul emisiilor de oxizi de sulf

Metodele de reducere și control sunt aceleași ca la oxizii de azot: tratare preliminară, modificare procesului, modificarea arderii și tratarea post-ardere a gazelor de ardere.

8.3.4.1. Tratarea preliminară

Metoda se mai numește și *desulfurarea combustibilului*, deoarece presupune o tratare a acestuia astfel încât sulful de constituție să fie îndepărtat prin reacții chimice. Spre exemplu, la combustibilii lichizi, desulfurarea se face prin reducere catalitică.

8.3.4.2. Modificarea procesului

În cadrul acestei metode, fie se recurge la o altă metodă de obținere a căldurii decât arderea unui combustibil cu conținut de sulf (de exemplu încălzirea electrică), fie se caută un înlocuitor fără sulf pentru materialul cu conținut de sulf ce trebuie prelucrat termic.

8.3.4.3. Modificarea arderii

Este o metodă în general dificil de aplicat și costisitoare. Exemple:

a. Arderea în pat fluidizat cu aditivi

Este cazul cărbunelui bogat în sulf, care se arde în pat fluidizat în prezența calcarului, care reduce sulful la sulfat de calciu (CaSO_4).

b. Gazificarea cărbunelui

Prin acest procedeu, sulful din cărbune este convertit în hidrogen sulfurat (H_2S), care apoi este prelucrat în așa-numitul **procedeu Claus**:



8.3.4.4. Tratarea post-ardere a gazelor de ardere

Metoda se mai numește și *desulfurarea gazelor de ardere* și se aplică fie prin tehnici neregenerabile, fie prin tehnici regenerabile, ambele în variantele umedă sau uscată. În tehnicile neregenerabile substanța reducătoare nu se regenerează rezultând un nămol care apoi este aruncat, pe când în cele regenerabile, substanța reducătoare se regenerează și rezultă sulf sau compuși ai acestuia care pot fi apoi utilizați în alte aplicații. Exemple de procedee de tratare post-ardere:

a. Reducerea cu var în mediu umed

Este un procedeu neregenerabil, în urma căruia rezultă CaSO_4 sau CaSO_3 . După separare din nămol, amestecul de sulfat și sulfid se depozitează în halde, putând fi apoi utilizat ca umplutură la restaurarea zonelor degradate.

b. Procedeu cu amoniac

Constă în absorbția în mediu umed a amoniacului, în care gazele de ardere, în prealabil filtrate pentru îndepărtarea cenușii, sunt răcite și puse în contact cu o soluție apoasă de amoniac, care absoarbe rapid SO_2 , rezultând sau sulfat de amoniu, sau sulf și acid sulfuric, care pot fi apoi utilizate în alte procese.

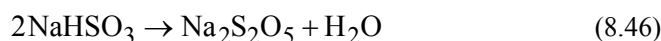
c. Procedeu Wellman-Lord

Procedeu constă în reacția în mediu umed a dioxidului de sulf din gazele de ardere cu sulfitul de sodiu, care-l absoarbe, rezultând bisulfid de sodiu:

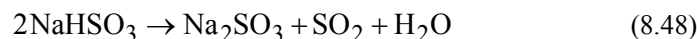


Răcind bisulfitul, acesta se transformă în piro-sulfid de sodiu (care precipită)

și apă:



Încălzind cu abur produșii reacției (8.46), cele două reacții de mai sus se inversează, permițând regenerarea sulfitei de sodiu și separarea dioxidului de sulf, care poate fi valorificat pentru obținerea acidului sulfuric.



8.4. MONOXIDUL DE CARBON

Sursa principală de monoxid de carbon o constituie arderea incompletă a carbonului din combustibil. Cele mai importante emisii sunt cele provenite de la motoarele cu ardere internă.

Monoxidul de carbon este un gaz incolor, inodor și inflamabil. Este un gaz foarte toxic și periculos deoarece are o acțiune extrem de insidioasă (nu are efect iritant și deci prezența sa în aer nu este sesizată). Inhalarea monoxidului de carbon duce la asfixiere deoarece blochează absorbția oxigenului de către hemoglobină (afinitatea acesteia față de CO este de aproximativ 300 ori mai mare decât pentru oxigen). Monoxidul de carbon este periculos chiar și la concentrații mici, mai ales că victima nu este conștientă de faptul că este intoxicată. Fig. 8.3. ilustrează efectele monoxidului de carbon la diverse concentrații funcție de timpul de expunere [24].

8.4.1. Mecanism de formare

Formarea CO este rezultatul arderii incomplete a carbonului, care se oprește la stadiul intermediar de monoxid de carbon, atunci când aerul de ardere este insuficient (amestec bogat). La instalațiile de ardere mai vechi nu se pune problema formării de CO, deoarece acestea funcționau cu un ușor exces de aer. La cele moderne însă, care sunt concepute pentru reducerea altor poluanți, monoxidul de carbon se poate forma ca o consecință a condițiilor de ardere impuse (de exemplu, la arderea în trepte, la care există o regiune de ardere cu amestec bogat, care favorizează formarea CO). În plus, temperaturile de ardere ridicate sunt un

factor favorizant, deoarece la aceste temperaturi disocierea este intensă, o parte din CO_2 disociindu-se în CO. În acest caz, este de dorit o răcire lentă a gazelor de ardere, care favorizează recombinarea CO, adică trecerea înapoi în CO_2 . La o răcire rapidă se constată o creștere cu câteva ordine de mărime a conținutului de CO din gazele de ardere față de condițiile de echilibru. Aceasta este explicația emisiilor însemnate de CO ale motoarelor cu ardere internă, la care exact aceste condiții sunt îndeplinite.

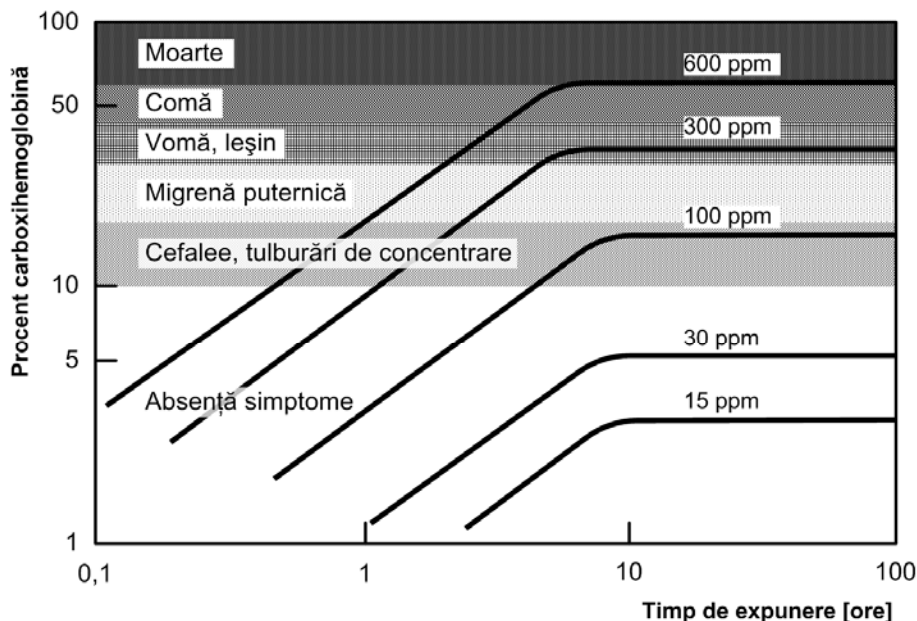


Fig. 8.3. Efectele expunerii la diverse concentrații de monoxid de carbon

Există o fereastră de temperaturi în care atât formarea de NO_x , cât și producerea de CO ating valori acceptabile sau minime. Figura 8.4. ilustrează acest lucru [33].

8.4.2. Efecte

În afară de pericolul deosebit reprezentat de toxicitatea ridicată, monoxidul de carbon prezintă și riscul de inflamabilitate. Acest risc este însă minor, deoarece implică concentrații ridicate și o temperatură de aprindere mare, condiții care nu se întâlnesc de obicei în practică.

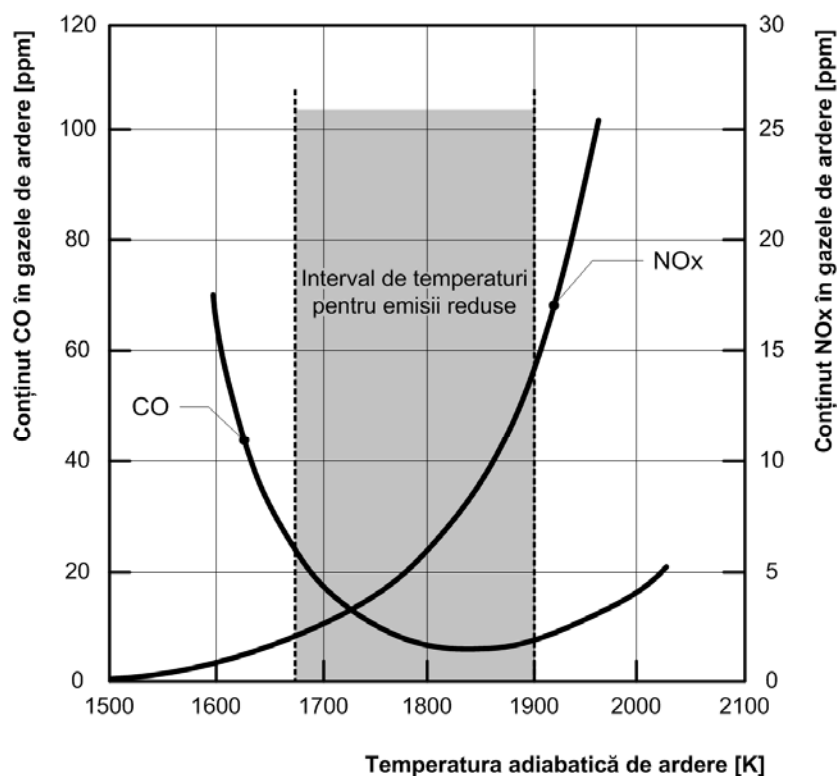


Fig. 8.4. Emisiile de oxizi de azot și de monoxid de carbon funcție de temperatură

8.4.3. Reducere

Reducerea emisiilor de monoxid de carbon se face prin cataliză la temperatură scăzută ($400 \dots 500$) $^{\circ}\text{C}$, catalizatorul fiind rodiul. Prin creșterea temperaturii, procesul de reducere se intensifică. Prezența dioxidului de sulf în gazele de ardere trebuie evitată, deoarece acesta inhibă acțiunea catalizatorului.

8.5. FUNINGINEA

Funinginea este rezultatul arderii incomplete a combustibilului și se formează în special la combustibilii lichizi grei și la cărbune, la care procesele

preliminare arderii propriu-zise (degajarea volatilelor) lasă în urmă fracțiuni bogate în carbon; or, cu cât raportul C/H al combustibilului este mai ridicat, cu atât acesta este mai predispus la formarea funinginii. De aceea, funinginea apare la combustibilii cu $C/H = 1 \dots 8$.

Funinginea este formată din hidrocarburi aromatice policiclice, o particulă constând din agregate în formă de catene din sfere (numite *particule primare*), care conțin între 10^5 și 10^6 atomi de carbon și care au diametrele între 20 și 50 nm [32].

Formarea de funingine în flacără are un rol pozitiv, deoarece funinginea arde cu flacără luminoasă, fapt care îmbunătățește în mod semnificativ calitățile radiante ale flăcării și intensificând astfel transferul de căldură. La combustibilii cu flacără puțin luminoasă (de exemplu gazul natural, care arde cu flacără albastră), formarea de funingine este stimulată prin așa numita *carburare* a flăcării, adică crearea unei zone de ardere cu amestec bogat care produce particule de carbon nears (funingine) și care ajungând în regiuni mai bogate în oxigen se aprind și ard, mărind luminozitatea flăcării și deci capacitatea acesteia de a radia căldură.

Dacă particula de funingine nu are posibilitatea de a arde, atunci aceasta va fi evacuată în atmosferă, poluând. De exemplu, atunci când particulele de fum pătrund în zone reci ale flăcării sau intră în contact cu suprafețe reci, sau pur și simplu nu au suficient timp pentru a arde (timp de rezidență redus), atunci sunt întrunite condițiile pentru emisiile de funingine. Particulele de funingine sunt lipicioase, ele aderând la suprafețele cu care vin în contact și aglomerându-se sub formă de depuneri care pot perturba în mod semnificativ funcționarea instalației de ardere (înfundarea canalelor de fum de secțiune mică, înfundarea dispozitivelor instalației de reducere a emisiilor poluante etc.).

Efectele negative generate de emisiile de funingine constau în:

- reducerea vizibilității;
- stimularea formării ceței (particulele de funingine constituie centri de condensare ideali pentru umiditatea din aerul suprasaturat);
- reducerea radiației solare care ajunge la sol, cu impact asupra temperaturii locale și în special asupra plantelor (fotosinteza);
- depunerea pe diverse suprafețe: în afara efectului inestetic, în anumite condiții compușii din funingine pot deveni corozivi, atacând suprafețele structurilor metalice și ale construcțiilor, și afectând plantele prin toxicitate;
- afectarea stării de sănătate a oamenilor și animalelor, prin acțiunea iritantă asupra aparatului respirator și prin agravarea afecțiunilor respiratorii.

Reducerea emisiilor de funingine se poate face prin mai multe metode, dintre care cele mai des utilizate sunt:

-
- filtrarea cărbunelui pentru reținerea particulelor fine, care prezintă risc crescut de formare a funinginii;
 - înlocuirea combustibililor lichizi grei și a cărbunelui cu combustibili cu risc scăzut de formarea a funinginii (gazul natural);
 - recircularea gazelor de ardere cu particule de funingine, astfel încât acestea să poată arde integral;
 - oxicomustia: ardere cu aer îmbogățit în oxigen, astfel încât acesta să fie suficient pentru arderea completă a combustibilului;
 - creșterea timpului de rezidență a particulelor de funingine în instalația de ardere, prin crearea de turbulență (această îmbunătățește și amestecarea) și prin turbionare. În acest fel, timpul petrecut de particulă în incinta de ardere este suficient pentru degajarea volatilelor și arderea carbonului fix;
 - separarea funinginii înainte de coș:
 - gravitațională prin decantare în camere de liniștire;
 - dinamică prin centrifugare în cicloane;
 - electrostatică;
 - prin filtrare;
 - prin reținere pe suprafețe umede sau prin pulverizare de apă în curentul de gaze de ardere (scrubere umede).

BIBLIOGRAFIE

1. Alcock C.B., *Thermochemical Processes. Principles and Models*, Butterworth-Heinemann, Oxford, 2001
2. Bărănescu G., *Calculul proceselor de ardere*, Editura Academiei, 1955
3. Baukal C.E., *Heat Transfer in Industrial Combustion.*: CRC Press, Boca Raton, FL, 2000
4. Baukal C.E., *Industrial Combustion Pollution and Control*, Marcel Dekker Inc., New York, 2004
5. Baulch D. L., et.al., *Evaluated Kinetic Data for Combustion Modeling: Supplement II*, J. Phys. Chem. Ref. Data, Vol. 34, No. 3, 2005
6. Beggs C., *Energy: Management, Supply and Conservation*, Butterworth-Heinemann, Oxford, 2002
7. Boubel R.W., Fox D.L., Turner D.B., Stern A.C., *Fundamentals of Air Pollution*, Academic Press, San Diego, 1997
8. Boyes W. (Editor), *Instrumentation Reference Book*, Butterworth-Heinemann, Oxford, 2003
9. Buhre B.J.P., Elliott L.K, Sheng C.D., Gupta R.P., Wall T.F, *Oxy-fuel combustion technology for coal-fired power generation*, Progress in Energy and Combustion Science 31, 283–307, Elsevier Ltd. 2005
10. Buinevicius K., Puida E., Narbutas L., *Reduction of Nitrogen Oxides Formation During Gas Burning*. Proceedings of 5th European Conference on Industrial Furnaces and Boilers, Lisbon, Portugal, Vol. II, pp. 617–622, 2000
11. Cheremisinoff N.P., *Handbook Of Air Pollution Prevention And Control*, Butterworth-Heinemann, Oxford, 2002
12. Denisov E.T., Sarkisov O.M., Likhtenshtein G.I., *Chemical Kinetics-Fundamentals And New Developments*, Elsevier Science B.V., Amsterdam, 2003

13. Dullien F.A.L., *Introduction to Industrial Gas Cleaning*. Academic Press, San Diego, CA, 1989
14. Dumitrașcu Gh., Horbaniuc B., *Influence of Oxy-Combustion Combined with Steam Injection in Gas Turbine*, Proceedings of the 2nd International Conference on Thermal Engines and Environmental Engineering METIME 07, Galați, Section C (on CD), 2007
15. Dumitrașcu Gh., O. Marin, Charon O., Horbaniuc B., *Les influences du refroidissement intermédiaire par humidification adiabatique, de l'injection de vapeur et de la combustion enrichie en oxygène sur les systèmes de cogénération à turbines à gaz*, Travaux du Colloque Franco-Roumain "Energie-Environnement-Economie et Thermodynamique", COFRET'02, București, 130-137, 2002
16. Dumitrașcu Gh., O. Marin, Charon O., Horbaniuc B., *The Influences of the Compression Interstage Cooling by Adiabatic Humidification, of the Steam Injection, and of the Oxygen-Enriched Combustion upon the Gas Turbine Co-Generation Systems*, Preprints of the International Conference "Cooling, Heating, and Power Generation Systems", Paris, Conservatoire national des arts et des métiers, vol. II, 203-209, 2001
17. El-Mahallawy F., El-Din Habik S., *Fundamentals And Technology Of Combustion*, Elsevier, Amsterdam, 2002
18. Fenimore C.P. *Formation of Nitric Oxide in Premixed Hydrocarbon Flames*. Thirteenth Symposium (International) on Combustion., The Combustion Institute, Pittsburgh, PA, 373-380, 1971.
19. Fenimore C.P., *Studies of fuel-nitrogen in rich flame gases*. 17th Int. Symp. on Combustion, The Combustion Institute, Pittsburgh, PA, 661-670, 1979.
20. Ferguson C.R., Kirkpatrick A.T., *Internal Combustion Engines: Applied Thermosciences*, John Wiley & Sons, New York, 2001
21. Graetzel M., Infelta P., *The Bases of Chemical Thermodynamics*, Universal Publisher, Parkland, Florida, 2000.
22. Heck R.M., Farrauto R.J., *Catalytic Air Pollution Control: Commercial Technology*. Van Nostrand Reinhold, New York, 1995.
23. Hester R.E., Harrison R.M., *Environmental Impact of Power Generation*, The Royal Society of Chemistry, London 1999

24. Honegger U., *Gas turbine combustion modeling for a parametric emissions monitoring system*, MS Thesis, Kansas State University, Manhattan, Kansas, 2007
25. Horbaniuc B., Dumitrașcu Gh., *Algorithm for Oxygen-Enriched Combustion*, Bul. Ins. Polit. Iași, LIV (LVIII), fasc.2, Constr. Mașini, 247-252, 2008
26. Horbaniuc B., Dumitrașcu Gh., *Possibilities to Implement Oxy-Combustion in Steam Boilers*, Proceedings of the 2nd International Conference on Thermal Engines and Environmental Engineering METIME 07, Galați, vol. 2, 77-84, 2007
27. Horbaniuc B. Dumitrașcu Gh., O. Marin, Charon O., *Oxygen-Enriched Combustion in Supercritical Steam Boilers*, Proceedings of ECOS'01 "Efficiency, Cost, Optimization, Simulation And Environmental Aspects Of Energy Systems And Processes", and the First International Conference on Applied Thermodynamics, Istanbul, (Editor A. Öztürk), ISBN 975-97568-2-2, vol. II, 485-495, 2001
28. Horbaniuc B., Marin O., Dumitrașcu Gh., Charon O., *Oxygen-Enriched Combustion in Supercritical Steam Boilers*, Energy – The International Journal, Elsevier Science Ltd., 29, 427-448, 2004
29. Horbaniuc B., O. Marin, Dumitrașcu Gh., *Implémentation de la combustion à air enrichi en oxygène dans les chaudières supra-critiques*, Colloque Franco-Roumain "Energie, Environnement, Economie et Thermodynamique", COFRET'04, Nancy, Franța, (éditeurs A. Dobrovicescu, M. Feidt), 79-84, 2004
30. Kundu P.K., Cohen I.M., *Fluid Mechanics*, Academic Press, San Diego, 2002
31. Kutz M. (Editor), *Mechanical Engineers' Handbook - Energy and Power* (3rd Edition), John Wiley & Sons Inc., New Jersey, 2006
32. Law C.K., *Combustion Physics*, Cambridge University Press, Cambridge, UK, 2006
33. Lefebvre, A.H., *Gas Turbine Combustion*, Taylor & Francis, Philadelphia, 1999
34. Miller B.G., *Coal Energy Systems*, Elsevier, Amsterdam, 2006
35. Moran, M. J., Tsatsaronis, G. *Engineering Thermodynamics, The CRC Handbook of Thermal Engineering*. Ed. Frank Kreith, Boca Raton: CRC Press LLC, 2000

36. Mullinger P., Jenkins B., *Industrial and Process Furnaces: Principles, Design and Operation*, Butterworth-Heinemann, Oxford, 2008
37. Ražnević K., Tabele și diagrame termodinamice, Ed. Tehnică, București, 1978
38. Sonntag E., Van Wylen G., *Introduction to Thermodynamics. Classical & Statistical. (Second Edition)*, John Wiley & Sons Inc., New York, 1982
39. Ungureanu C., Pănoiu N., Zubcu V., Ionel I., *Combustibili. Instalații de ardere. Cazane de abur*, Ed. "Politehnica", Timișoara, 1998
40. Wark K., Warner C.F., *Air Pollution: Its Origin and Control*, 2nd edn. Harper & Row, New York, 1981
41. Warnatz J., Maas U., Dibble R.W., *Combustion Physical and Chemical Fundamentals, Modeling and Simulation, Experiments, Pollutant Formation (4th Edition)*, Springer-Verlag Berlin, 2006
42. Weiner R.F., Mathews R.A., *Environmental Engineering*, Butterworth-Heinemann, Oxford, 2003
43. Winterborne D.E., *Advanced Thermodynamics for Engineers*, Arnold, London, 1998

ANEXĂ

BOIL COMBUSTION

```

'          COMPUTER PROGRAM "BOIL COMBUSTION 1"
'          ***** n2 > 0 *****

*****
*****
***** COMPUTER PROGRAM FOR THE CALCULUS OF THE FLUE GASES TEMPERATURE *****
*****
*****
*****

CLS

'LPRINT "          BOIL COMBUSTION 1"
'LPRINT "          ***** n2 > 0 *****"
'LPRINT
'LPRINT "COMPUTER PROGRAM FOR THE CALCULUS OF THE FLUE GASES TEMPERATURE"
'LPRINT "

n = 5
DIM a(n, n), b(n), t(n), x(n)

'INPUT DATA
'=====
'FUEL COMPOSITION
'-----
'      ch4 = .865
'      c2h6 = .079
'      c3h8 = .022
'      c4h10 = .003
'      co2 = .005
'      n2 = .026

'LOWER HEATING VALUE OF FUEL [kJ/m3]
'-----
'      qi = 38357

'TEMPERATURES [K]
'-----
'air temperature
'      t0 = 299
'preheat air temperature
'      tph = 590

'ENTHALPIES OF FORMATION [kJ/m3]
'-----
'Fuel components:

```

```

    hfc4 = -3340.46
    hfc2h6 = -3777.42
    hfc3h8 = -4633.13
    hfc4h10 = -5628.1
'Air and flue gases components:
    hfcO2 = -17557
    hfcO = -4931.25
    hfh2O = -10789.1
    hfoH = 1760.64
    hfo = 11117.83
    hfh = 9525.44
    hfno = 4041.76
    hfn = 21087.1

'AIR HUMIDITY
'-----
    'xh = .011
    xh = 0

'VOLUME FRACTIONS IN DRY AIR
'-----
' oxygen fraction
    INPUT "oxygen fraction in dry air = "; xoxd
' nitrogen fraction
    INPUT "nitrogen fraction in dry air = "; xnid

'EXCESS AIR
'-----
    INPUT "lambda = "; lambda

'=====

PRINT
PRINT "CH4 fraction (ch4) = "; ch4
PRINT "C2H6 fraction (c2h6) = "; c2h6
PRINT "C3H8 fraction (c3h8) = "; c3h8
PRINT "C4H10 fraction (c4h10) = "; c4h10
PRINT "CO2 fraction (co2) = "; co2
PRINT "N2 fraction (n2) = "; n2
PRINT "lower heating value (qi) = "; qi; "kJ / m3 fuel"
PRINT "air temperature (t0) = "; t0; "K"
PRINT "preheat air temperature (tph) = "; tph; "K"
PRINT "air humidity (xh) = "; xh; "kg water / kg dry air"
PRINT "oxygen fraction in dry air (xoxd) = "; xoxd
PRINT "nitrogen fraction in dry air (xnid) = "; xnid
PRINT "lambda = "; lambda
PRINT

PRINT "PRINT THE ABOVE RESULTS ON THE PRINTER?"
PRINT
PRINT "Hit 'y' for YES and 'n' for NO"
PRINT

DO
    pr$ = INKEY$
LOOP UNTIL pr$ = "y" OR pr$ = "n"

IF pr$ = "y" THEN
    GOTO 10
ELSEIF pr$ = "n" THEN
    GOTO 20
END IF

10 LPRINT
LPRINT "CH4 fraction (ch4) = "; ch4
LPRINT "C2H6 fraction (c2h6) = "; c2h6
LPRINT "C3H8 fraction (c3h8) = "; c3h8
LPRINT "C4H10 fraction (c4h10) = "; c4h10
LPRINT "CO2 fraction (co2) = "; co2
LPRINT "N2 fraction (n2) = "; n2
LPRINT "lower heating value (qi) = "; qi; "kJ / m3 fuel"

```


CASE 2

'-----
'O2 = 2O dissociation reaction
'-----IF t <= 1600 THEN
 GOSUB range21
 ELSEIF t <= 2400 THEN
 GOSUB range22
 ELSEIF t <= 3200 THEN
 GOSUB range23
 ELSEIF t <= 4000 THEN
 GOSUB range24
 ELSE
 GOSUB range25
END IF

GOSUB gauss

v5 = -x(1) / t + x(2) * LOG(t) + x(3) * t + x(4) * t * t + x(5) * t * t * t
k5 = EXP(v5)'PRINT "log K5 = "; v5
'PRINT "K5 = "; k5

CASE 3

'-----
'N2 = 2N dissociation reaction
'-----IF t <= 1600 THEN
 GOSUB range31
 ELSEIF t <= 2400 THEN
 GOSUB range32
 ELSEIF t <= 3200 THEN
 GOSUB range33
 ELSEIF t <= 4000 THEN
 GOSUB range34
 ELSE
 GOSUB range35
END IF

GOSUB gauss

v4 = -x(1) / t + x(2) * LOG(t) + x(3) * t + x(4) * t * t + x(5) * t * t * t
k4 = EXP(v4)'PRINT "log K4 = "; v4
'PRINT "K4 = "; k4

CASE 4

'-----
'2H2O = 2H2+O2 dissociation reaction
'-----IF t <= 1600 THEN
 GOSUB range41
 ELSEIF t <= 2400 THEN
 GOSUB range42
 ELSEIF t <= 3200 THEN
 GOSUB range43
 ELSEIF t <= 4000 THEN

```

      GOSUB range44
    ELSE
      GOSUB range45
    END IF

GOSUB gauss

v2 = -x(1) / t + x(2) * LOG(t) + x(3) * t + x(4) * t * t + x(5) * t * t * t
k2 = EXP(v2)

'PRINT "log K2 = "; v2
'PRINT "K2 ="; k2

CASE 5

'-----
'2H2O = H2+2OH dissociation reaction
'-----

IF t <= 1600 THEN
  GOSUB range51
ELSEIF t <= 2400 THEN
  GOSUB range52
ELSEIF t <= 3200 THEN
  GOSUB range53
ELSEIF t <= 4000 THEN
  GOSUB range54
ELSE
  GOSUB range55
END IF

GOSUB gauss

v3 = -x(1) / t + x(2) * LOG(t) + x(3) * t + x(4) * t * t + x(5) * t * t * t
k3 = EXP(v3)

'PRINT "log K3 = "; v3
'PRINT "K3 ="; k3

CASE 6

'-----
'2CO2 = 2CO + O2 dissociation reaction
'-----

IF t <= 1600 THEN
  GOSUB range61
ELSEIF t <= 2400 THEN
  GOSUB range62
ELSEIF t <= 3200 THEN
  GOSUB range63
ELSEIF t <= 4000 THEN
  GOSUB range64
ELSE
  GOSUB range65
END IF

GOSUB gauss

v1 = -x(1) / t + x(2) * LOG(t) + x(3) * t + x(4) * t * t + x(5) * t * t * t
k1 = EXP(v1)

'PRINT "log K1 = "; v1
'PRINT "K1 ="; k1

```

CASE 7

```

-----
'N2 + O2 = 2NO dissociation reaction
-----

```

```

IF t <= 1600 THEN
  GOSUB range71
ELSEIF t <= 2400 THEN
  GOSUB range72
ELSEIF t <= 3200 THEN
  GOSUB range73
ELSEIF t <= 4000 THEN
  GOSUB range74
ELSE
  GOSUB range75
END IF

```

GOSUB gauss

```

v6 = -x(1) / t + x(2) * LOG(t) + x(3) * t + x(4) * t * t + x(5) * t * t * t
k6 = EXP(v6)

```

```

'PRINT "log K6 = "; v6
'PRINT "K6 ="; k6

```

END SELECT

RETURN

integrals:

```

icdi = -.1666681 * (t2 - t1) + .136205 * 2 / 3 * (t2 ^ 1.5 - t1 ^ 1.5) - 1.830731E-03 * .5 * (t2 ^ 2 - t1 ^ 2) + 1.079593E-07 * (t2 ^ 3 - t1 ^ 3) / 3
iw = 6.382172 * (t2 - t1) - 2.589473 * .8 * (t2 ^ 1.25 - t1 ^ 1.25) + .3691934 * 2 / 3 * (t2 ^ 1.5 - t1 ^ 1.5) - .0016502632# * .5 * (t2 ^ 2 - t1 ^ 2)
ih2 = 2.520969 * (t2 - t1) - 3965.841 * (t2 ^ .25 - t1 ^ .25) + 5197.6443# * LOG(t2 / t1) + 50031.23 * (t2 ^ (-.5) - t1 ^ (-.5))
ico = 3.0849023# * (t2 - t1) - 5.6807E-04 * (t2 ^ 1.75 - t1 ^ 1.75) - 179.14696# * (t2 ^ .5 - t1 ^ .5) + 997.52692# * (t2 ^ .25 - t1 ^ .25)
iox = 1.670028 * (t2 - t1) + 8.968502E-07 * .4 * (t2 ^ 2.5 - t1 ^ 2.5) + 7966.8957# * 2 * (1 / SQR(t2) - 1 / SQR(t1)) - 105683.9 * (1 / t2 - 1 / t1)
ioh = 3.6381726# * (t2 - t1) - .6698712 * (t2 ^ 1.25 - t1 ^ 1.25) + .0139706 * (t2 ^ 1.75 - t1 ^ 1.75) - 9.51635E-04 * (t2 ^ 2 - t1 ^ 2)
io = 20.785 * (t2 - t1) / 22.414
ih = 20.785 * (t2 - t1) / 22.414
ini = 1.742661 * (t2 - t1) + 22878.11 * 2 * (1 / SQR(t2) - 1 / SQR(t1)) - 478584.8 * (1 / t2 - 1 / t1) + 3.660212E+07 * .5 * (t2 ^ (-2) - t1 ^ (-2))
ino = 2.6449094# * (t2 - t1) - 5.08491E-03 * (t2 ^ 1.5 - t1 ^ 1.5) - 63.007942# * (t2 ^ .5 - t1 ^ .5) - 6682.3414# * (t2 ^ (-.5) - t1 ^ (-.5))
in = 20.785 * (t2 - t1) / 22.414

ich4 = -30.02008 * (t2 - t1) + 4.963255 * (t2 ^ 1.25 - t1 ^ 1.25) - 2.005422E-02 * (t2 ^ 1.75 - t1 ^ 1.75) + 288.998 * (t2 ^ .5 - t1 ^ .5)
ic2h6 = .3076203 * (t2 - t1) + 3.850272E-03 * (t2 ^ 2 / -t1 ^ 2) - 9.520836E-07 * (t2 ^ 3 - t1 ^ 3) + 8.119926E-11 * (t2 ^ 4 - t1 ^ 4)
ic3h8 = -.1803337 * (t2 - t1) + 6.79486E-03 * (t2 ^ 2 / -t1 ^ 2) - 2.336338E-06 * (t2 ^ 3 - t1 ^ 3) + 3.536852E-10 * (t2 ^ 4 - t1 ^ 4)
ic4h10 = .1764076 * (t2 - t1) + 8.280539E-03 * (t2 ^ 2 / -t1 ^ 2) - 2.725975E-06 * (t2 ^ 3 - t1 ^ 3) + 3.901579E-10 * (t2 ^ 4 - t1 ^ 4)

```

RETURN

spheat:

```

cpcdi = -.1666681 + .136205 * t ^ .5 - 1.830731E-03 * t + 1.079593E-07 * t ^ 2
cpw = 6.382172 - 2.589473 * t ^ .25 + .3691934 * t ^ .5 - .0016502632# * t
cph2 = 2.520969 - 991.46025# * t ^ (-.75) + 5197.6443# * t ^ (-1) - 25015.615# * t ^ (-1.5)
cpc0 = 3.0849023# - 9.94124E-04 * t ^ .75 - 89.573481# * t ^ (-.5) + 249.38173# * t ^ (-.75)
cpox = 1.670028 + 8.968502E-07 * t ^ 1.5 - 7966.8957# * t ^ (-1.5) + 105683.9 * t ^ (-2)

```

```
cpoh = 3.6381726# - .837339 * t ^ .25 + .0244486 * t ^ .75 - 1.90327E-03 * t
cpo = 20.785 / 22.414
cph = 20.785 / 22.414
cpni = 1.742661 - 22878.11 * t ^ (-1.5) + 478584.8 * t ^ (-2) - 3.660212E+07 * t ^ (-3)
cpno = 2.6449094# - 7.62737E-03 * t ^ .5 - 31.503971# * t ^ (-.5) + 3341.1707# * t ^ (-1.5)
cpn = 20.785 / 22.414
```

```
cpch4 = -30.02008 + 6.204069 * t ^ .25 - 3.509488E-02 * t ^ .75 + 144.499 * t ^ (-.5)
cpc2h6 = .3076203 + 7.700545E-03 * t - 2.856251E-06 * t ^ 2 + 3.24797E-10 * t ^ 3
cpc3h8 = -.1803337 + 1.358972E-02 * t - 7.009012E-06 * t ^ 2 + 1.414741E-09 * t ^ 3
cpc4h10 = .1764076 + 1.656108E-02 * t - 8.177924E-06 * t ^ 2 + 1.560632E-09 * t ^ 3
```

RETURN

range11:

```
t(1) = 500: b(1) = -92.827
t(2) = 1000: b(2) = -39.803
t(3) = 1200: b(3) = -30.874
t(4) = 1400: b(4) = -24.463
t(5) = 1600: b(5) = -19.637
```

RETURN

range12:

```
t(1) = 1600: b(1) = -19.637
t(2) = 1800: b(2) = -15.866
t(3) = 2000: b(3) = -12.84
t(4) = 2200: b(4) = -10.353
t(5) = 2400: b(5) = -8.276
```

RETURN

range13:

```
t(1) = 2400: b(1) = -8.276
t(2) = 2600: b(2) = -6.517
t(3) = 2800: b(3) = -5.002
t(4) = 3000: b(4) = -3.685
t(5) = 3200: b(5) = -2.534
```

RETURN

range14:

```
t(1) = 3200: b(1) = -2.534
t(2) = 3400: b(2) = -1.516
t(3) = 3600: b(3) = -.609
t(4) = 3800: b(4) = .202
t(5) = 4000: b(5) = .934
```

RETURN

range15:

```
t(1) = 4000: b(1) = .934
t(2) = 4500: b(2) = 2.486
t(3) = 5000: b(3) = 3.725
t(4) = 5500: b(4) = 4.743
t(5) = 6000: b(5) = 5.59
```

RETURN

range21:

```
t(1) = 500: b(1) = -105.63
t(2) = 1000: b(2) = -45.15
t(3) = 1200: b(3) = -35.005
t(4) = 1400: b(4) = -27.742
t(5) = 1600: b(5) = -22.285
```

RETURN

range22:

```
t(1) = 1600: b(1) = -22.285
t(2) = 1800: b(2) = -18.03
t(3) = 2000: b(3) = -14.622
t(4) = 2200: b(4) = -11.827
t(5) = 2400: b(5) = -9.497
```

RETURN

range23:

```
t(1) = 2400: b(1) = -9.497
t(2) = 2600: b(2) = -7.521
t(3) = 2800: b(3) = -5.826
t(4) = 3000: b(4) = -4.357
t(5) = 3200: b(5) = -3.072
```

RETURN

range24:

```
t(1) = 3200: b(1) = -3.072
t(2) = 3400: b(2) = -1.935
t(3) = 3600: b(3) = -.926
t(4) = 3800: b(4) = -.019
t(5) = 4000: b(5) = .796
```

RETURN

range25:

```
t(1) = 4000: b(1) = .796
t(2) = 4500: b(2) = 2.513
t(3) = 5000: b(3) = 3.895
t(4) = 5500: b(4) = 5.023
t(5) = 6000: b(5) = 5.963
```

RETURN

range31:

```
t(1) = 500: b(1) = -213.372
t(2) = 1000: b(2) = -99.127
t(3) = 1200: b(3) = -80.011
t(4) = 1400: b(4) = -66.329
t(5) = 1600: b(5) = -56.055
```

RETURN

range32:

```
t(1) = 1600: b(1) = -56.055
t(2) = 1800: b(2) = -48.051
t(3) = 2000: b(3) = -41.645
t(4) = 2200: b(4) = -36.391
t(5) = 2400: b(5) = -32.011
```

RETURN

range33:

t(1) = 2400: b(1) = -32.011
t(2) = 2600: b(2) = -28.304
t(3) = 2800: b(3) = -25.117
t(4) = 3000: b(4) = -22.359
t(5) = 3200: b(5) = -19.937

RETURN

range34:

t(1) = 3200: b(1) = -19.937
t(2) = 3400: b(2) = -17.8
t(3) = 3600: b(3) = -15.898
t(4) = 3800: b(4) = -14.199
t(5) = 4000: b(5) = -12.66

RETURN

range35:

t(1) = 4000: b(1) = -12.66
t(2) = 4500: b(2) = -9.414
t(3) = 5000: b(3) = -6.807
t(4) = 5500: b(4) = -4.666
t(5) = 6000: b(5) = -2.865

RETURN

range41:

t(1) = 500: b(1) = -105.382
t(2) = 1000: b(2) = -46.326
t(3) = 1200: b(3) = -36.364
t(4) = 1400: b(4) = -29.218
t(5) = 1600: b(5) = -23.842

RETURN

range42:

t(1) = 1600: b(1) = -23.842
t(2) = 1800: b(2) = -19.652
t(3) = 2000: b(3) = -16.29
t(4) = 2200: b(4) = -13.536
t(5) = 2400: b(5) = -11.238

RETURN

range43:

t(1) = 2400: b(1) = -11.238
t(2) = 2600: b(2) = -9.296
t(3) = 2800: b(3) = -7.624
t(4) = 3000: b(4) = -6.172
t(5) = 3200: b(5) = -4.902

RETURN

range44:

t(1) = 3200: b(1) = -4.902


```
t(2) = 3400: b(2) = -3.782
t(3) = 3600: b(3) = -2.784
t(4) = 3800: b(4) = -1.89
t(5) = 4000: b(5) = -1.084
```

```
RETURN
```

```
range45:
```

```
t(1) = 4000: b(1) = -1.084
t(2) = 4500: b(2) = .624
t(3) = 5000: b(3) = 1.992
t(4) = 5500: b(4) = 3.12
t(5) = 6000: b(5) = 4.064
```

```
RETURN
```

```
range51:
```

```
t(1) = 500: b(1) = -120.562
t(2) = 1000: b(2) = -52.068
t(3) = 1200: b(3) = -40.566
t(4) = 1400: b(4) = -32.198
t(5) = 1600: b(5) = -26.132
```

```
RETURN
```

```
range52:
```

```
t(1) = 1600: b(1) = -26.132
t(2) = 1800: b(2) = -21.314
t(3) = 2000: b(3) = -17.456
t(4) = 2200: b(4) = -14.296
t(5) = 2400: b(5) = -11.664
```

```
RETURN
```

```
range53:
```

```
t(1) = 2400: b(1) = -11.664
t(2) = 2600: b(2) = -9.438
t(3) = 2800: b(3) = -7.526
t(4) = 3000: b(4) = -5.874
t(5) = 3200: b(5) = -4.424
```

```
RETURN
```

```
range54:
```

```
t(1) = 3200: b(1) = -4.424
t(2) = 3400: b(2) = -3.152
t(3) = 3600: b(3) = -2.176
t(4) = 3800: b(4) = -1.002
t(5) = 4000: b(5) = -.088
```

```
RETURN
```

```
range55:
```

```
t(1) = 4000: b(1) = -.088
t(2) = 4500: b(2) = 1.84
t(3) = 5000: b(3) = 3.378
t(4) = 5500: b(4) = 4.636
t(5) = 6000: b(5) = 5.686
```

```
RETURN
```

```
range61:
```

```
t(1) = 500: b(1) = -115.232
t(2) = 1000: b(2) = -47.058
t(3) = 1200: b(3) = -35.742
t(4) = 1400: b(4) = -27.684
t(5) = 1600: b(5) = -21.66
```

```
RETURN
```

```
range62:
```

```
t(1) = 1600: b(1) = -21.66
t(2) = 1800: b(2) = -16.994
t(3) = 2000: b(3) = -13.27
t(4) = 2200: b(4) = -10.24
t(5) = 2400: b(5) = -7.72
```

```
RETURN
```

```
range63:
```

```
t(1) = 2400: b(1) = -7.72
t(2) = 2600: b(2) = -5.602
t(3) = 2800: b(3) = -3.788
t(4) = 3000: b(4) = -2.222
t(5) = 3200: b(5) = -.858
```

```
RETURN
```

```
range64:
```

```
t(1) = 3200: b(1) = -.858
t(2) = 3400: b(2) = .338
t(3) = 3600: b(3) = 1.402
t(4) = 3800: b(4) = 2.352
t(5) = 4000: b(5) = 3.198
```

```
RETURN
```

```
range65:
```

```
t(1) = 4000: b(1) = 3.198
t(2) = 4500: b(2) = 4.98
t(3) = 5000: b(3) = 6.394
t(4) = 5500: b(4) = 7.542
t(5) = 6000: b(5) = 8.49
```

```
RETURN
```

```
range71:
```

```
t(1) = 500: b(1) = -40.59
t(2) = 1000: b(2) = -18.776
t(3) = 1200: b(3) = -15.138
t(4) = 1400: b(4) = -12.54
t(5) = 1600: b(5) = -10.588
```

```
RETURN
```

```
range72:
```

```
t(1) = 1600: b(1) = -10.588
t(2) = 1800: b(2) = -9.072
t(3) = 2000: b(3) = -7.862
t(4) = 2200: b(4) = -6.866
t(5) = 2400: b(5) = -6.038
```

```
RETURN
```

```
range73:
```

```
t(1) = 2400: b(1) = -6.038
t(2) = 2600: b(2) = -5.342
t(3) = 2800: b(3) = -4.742
t(4) = 3000: b(4) = -4.228
t(5) = 3200: b(5) = -3.776
```

```
RETURN
```

```
range74:
```

```
t(1) = 3200: b(1) = -3.776
t(2) = 3400: b(2) = -3.38
t(3) = 3600: b(3) = -3.026
t(4) = 3800: b(4) = -2.712
t(5) = 4000: b(5) = -2.432
```

```
RETURN
```

```
range75:
```

```
t(1) = 4000: b(1) = -2.432
t(2) = 4500: b(2) = -1.842
t(3) = 5000: b(3) = -1.372
t(4) = 5500: b(4) = -0.994
t(5) = 6000: b(5) = -0.682
```

```
RETURN
```

```
gauss:
```

```
FOR i = 1 TO n
  a(i, 1) = -1 / t(i)
  a(i, 2) = LOG(t(i))
  a(i, 3) = t(i)
  a(i, 4) = t(i) ^ 2
  a(i, 5) = t(i) ^ 3
NEXT i

FOR k = 1 TO n - 1

  FOR i = k + 1 TO n
    c = a(i, k)

    FOR j = k TO n
      a(i, j) = a(i, j) * a(k, k) - a(k, j) * c
    NEXT j

    b(i) = b(i) * a(k, k) - b(k) * c
  NEXT i

NEXT k

x(n) = b(n) / a(n, n)

FOR k = n - 1 TO 1 STEP -1
  sum = 0
  FOR p = k + 1 TO n
    sum = sum + a(k, p) * x(p)
  NEXT p
  x(k) = (b(k) - sum) / a(k, k)
NEXT k

RETURN
```

```
dissoc:
```

```

t = tfgn

'1. CO2 (K1)
   r = 6: GOSUB eqconst
'2. H2O=H2+O2 (K2)
   r = 4: GOSUB eqconst
'3. H2O=H2+2OH (K3)
   r = 5: GOSUB eqconst
'4. N2 (K4)
   r = 3: GOSUB eqconst
'5. O2 (K5)
   r = 2: GOSUB eqconst
'6. NO (K6)
   r = 7: GOSUB eqconst
'7. H2 (K7)
   r = 1: GOSUB eqconst

'=====
'PROGRAM FOR THE CALCULUS OF CONSTANTS FOR DISSOCIATION REACTIONS
'=====

'INITIAL STEP
'-----

'*****
'CALCULUS OF THE CONSTANT FOR THE CARBON DIOXYDE DISSOCIATION REACTION
'*****

a = 0

DO

IF k1 = 0 THEN EXIT DO

fc = 4 * a ^ 2 * (a * y1 + y4)
fc = fc - k1 * (1 - 2 * a) ^ 2 * ((1 + a) * y1 + y2 + y3 + y4)

fp = 8 * a * (a * y1 + y4) + 4 * a ^ 2 * y1
fp = fp + 4 * k1 * (1 - 2 * a) * ((1 + a) * y1 + y2 + y3 + y4)
fp = fp - k1 * (1 - 2 * a) ^ 2 * y1

an = a - fc / fp
dif = ABS(an - a) / an
a = an

LOOP UNTIL dif <= .000001

'*****
'CALCULUS OF THE CONSTANT FOR THE WATER DISSOCIATION REACTION (2H2O=2H2+O2)
'*****

b = 0

DO

IF k2 = 0 THEN EXIT DO

fc = 4 * b ^ 2 * (b * y2 + y4)
fc = fc - k2 * (1 - 2 * b) ^ 2 * (y1 + (1 + b) * y2 + y3 + y4)

fp = 8 * b * (b * y2 + y4) + 4 * b ^ 2 * y2
fp = fp + 4 * k2 * (1 - 2 * b) * (y1 + (1 + b) * y2 + y3 + y4)
fp = fp - k2 * (1 - 2 * b) ^ 2 * y2

bn = b - fc / fp

```

```

dif = ABS(bn - b) / bn
b = bn

LOOP UNTIL dif <= .000001

'*****
'CALCULUS OF THE CONSTANT FOR THE WATER DISSOCIATION REACTION (H2O=H2+2OH)
'*****

c = 0

DO

IF k3 = 0 THEN EXIT DO

fc = 4 * c ^ 3 * y2 - k3 * (1 - 2 * c) ^ 2 * (y1 + (1 + c) * y2 + y3 + y4)

fp = 12 * c ^ 2 * y2 + 4 * k3 * (1 - 2 * c) * (y1 + (1 + c) * y2 + y3 + y4)
fp = fp - k3 * (1 - 2 * c) ^ 2 * y2

cn = c - fc / fp
dif = ABS(cn - c) / cn
c = cn

LOOP UNTIL dif <= .000001

'*****
'CALCULUS OF THE CONSTANT FOR THE NITROGEN DISSOCIATION REACTION
'*****

d = 0

DO

IF k4 = 0 OR y3 = 0 THEN EXIT DO

fc = 4 * d ^ 2 * y3 - k4 * (1 - d) * (y1 + y2 + (1 + d) * y3 + y4)

fp = 8 * d * y3 + k4 * (y1 + y2 + (1 + d) * y3 + y4) - k4 * (1 - d) * y3

dn = d - fc / fp
dif = ABS(dn - d) / dn
d = dn

LOOP UNTIL dif <= .000001

'*****
'CALCULUS OF THE CONSTANT FOR THE OXYGEN DISSOCIATION REACTION
'*****

e = 0

DO

IF k5 = 0 THEN EXIT DO

fc = 4 * e ^ 2 * y4 - k5 * (1 - e) * (y1 + y2 + y3 + (1 + e) * y4)

fp = 8 * e * y4 + k5 * (y1 + y2 + y3 + (1 + e) * y4) - k5 * (1 - e) * y4

en = e - fc / fp
dif = ABS(en - e) / en
e = en

LOOP UNTIL dif <= .000001

IF lambda = 1 THEN
  e = 0

```

END IF

'CALCULUS OF THE CONSTANT FOR THE REACTION O2+N2=2NO

IF lambda = 1 THEN
f = 0

ELSE

f = 0

DO

IF k6 = 0 THEN EXIT DO

fc = 4 * f ^ 2 * y3 - k6 * (1 - f) * (y4 - f * y3)

fp = 8 * f * y3 + k6 * (y4 - f * y3) + k6 * (1 - f) * y3

f1 = f - fc / fp
dif = ABS(f1 - f) / f1
f = f1

LOOP UNTIL dif <= .000001

END IF

'CALCULUS OF THE CONSTANT FOR THE HYDROGEN DISSOCIATION REACTION

g = 0

DO

IF k7 = 0 THEN EXIT DO

p = (1 + a + a * e) * y1 + (1 + b + c + b * e + 2 * b * g + c * g) * y2
p = p + (1 + d) * y3 + (1 + e) * y4

fc = 4 * g ^ 2 * (2 * b + c) * y2 - k7 * (1 - g) * p

fp = 8 * g * (2 * b + c) * y2 + k7 * p - k7 * (1 - g) * (2 * b + c) * y2

gn = g - fc / fp
dif = ABS(gn - g) / gn
g = gn

LOOP UNTIL dif <= .000001

'FINAL STEP WITH COMPLETE RELATIONS

'1. CALCULUS OF THE CONSTANT FOR THE CARBON DIOXYDE DISSOCIATION REACTION

101 af = 0

DO

IF k1 = 0 THEN EXIT DO

p = (1 + af + af * e) * y1 + (1 + b + c + b * e + 2 * b * g + c * g) * y2
p = p + (1 + d) * y3 + (1 + e) * y4

ppp = ((1 - e) * (af * y1 + b * y2 + y4) - f * y3)

```

fc = 4 * af ^ 2 * ppp - k1 * (1 - 2 * af) ^ 2 * p

fp = 8 * af * ppp + 4 * af ^ 2 * (1 - e) * y1 + 4 * k1 * (1 - 2 * af) * p
fp = fp - k1 * (1 - 2 * af) ^ 2 * (1 + e) * y1

afn = af - fc / fp
dif = ABS(afn - af) / afn
af = afn

LOOP UNTIL dif <= .0001

'2. CALCULUS OF THE CONSTANT FOR THE WATER DISSOCIATION REACTION (2H2O=2H2+O2)
*****

bf = 0

DO

IF k2 = 0 THEN EXIT DO

p = (1 + a + a * e) * y1 + (1 + bf + c + bf * e + 2 * bf * g + c * g) * y2
p = p + (1 + d) * y3 + (1 + e) * y4

ppp = ((1 - e) * (a * y1 + bf * y2 + y4) - f * y3)

fc = (1 - g) ^ 2 * (2 * bf + c) ^ 2 * ppp - k2 * (1 - 2 * bf - 2 * c) ^ 2 * p

fp = 4 * (1 - g) ^ 2 * (2 * bf + c) * ppp
fp = fp + (1 - g) ^ 2 * (2 * bf + c) ^ 2 * (1 - e) * y2
fp = fp + 4 * k2 * (1 - 2 * bf - 2 * c) * p
fp = fp - k2 * (1 - 2 * bf - 2 * c) * (1 + e + 2 * g) * y2

bfn = bf - fc / fp
dif = ABS(bfn - bf) / bfn
bf = bfn

LOOP UNTIL dif <= .00001

'3. CALCULUS OF THE CONSTANT FOR THE WATER DISSOCIATION REACTION (H2O=H2+2OH)
*****

cf = 0

DO

IF k3 = 0 THEN EXIT DO

p = (1 + a + a * e) * y1 + (1 + b + cf + b * e + 2 * b * g + cf * g) * y2
p = p + (1 + d) * y3 + (1 + e) * y4

fc = 4 * cf ^ 2 * y2 * (1 - g) * (2 * b + cf)
fc = fc - k3 * (1 - 2 * b - 2 * cf) ^ 2 * p

fp = 8 * cf * y2 * (1 - g) * (2 * b + cf) + 4 * cf ^ 2 * y2 * (1 - g)
fp = fp + 4 * k3 * (1 - 2 * b - 2 * cf) * p
fp = fp - k3 * (1 - 2 * b - 2 * cf) ^ 2 * (1 + g) * y2

cfn = cf - fc / fp
dif = ABS(cfn - cf) / cfn
cf = cfn

LOOP UNTIL dif <= .000001

'4. CALCULUS OF THE CONSTANT FOR THE NITROGEN DISSOCIATION REACTION
*****

```

```

df = 0
DO
IF k4 = 0 THEN EXIT DO
p = (1 + a + a * e) * y1 + (1 + b + c + b * e + 2 * b * g + c * g) * y2
p = p + (1 + df) * y3 + (1 + e) * y4

fc = 4 * df ^ 2 * y3 - k4 * (1 - df - f) * p
fp = 8 * df * y3 + k4 * p - k4 * (1 - df - f) * y3

dfn = df - fc / fp
dif = ABS(dfn - df) / dfn
df = dfn

LOOP UNTIL dif <= .000001

'5. CALCULUS OF THE CONSTANT FOR THE OXYGEN DISSOCIATION REACTION
*****

ef = 0
DO
IF k5 = 0 THEN EXIT DO
p = (1 + a + a * ef) * y1 + (1 + b + c + b * ef + 2 * b * g + c * g) * y2
p = p + (1 + d) * y3 + (1 + ef) * y4

ppp = (1 - ef) * (a * y1 + b * y2 + y4) - f * y3
fc = 4 * ef ^ 2 * (a * y1 + b * y2 + y4) ^ 2 - k5 * ppp * p
fp = 8 * ef * (a * y1 + b * y2 + y4) ^ 2 + k5 * (a * y1 + b * y2 + y4) * p
fp = fp - k5 * ppp * (a * y1 + b * y2 + y4)

efn = ef - fc / fp
dif = ABS(efn - ef) / efn
ef = efn

LOOP UNTIL dif <= .000001

'6. CALCULUS OF THE CONSTANT FOR THE REACTION O2+N2=2N
*****

ff = 0
DO
IF k6 = 0 THEN EXIT DO
ppp = (1 - e) * (a * y1 + b * y2 + y4) - ff * y3
fc = 4 * ff ^ 2 * y3 - k6 * (1 - d - ff) * ppp
fp = 8 * ff * y3 + k6 * ppp + k6 * (1 - d - ff) * y3

ff1 = ff - fc / fp
dif = ABS(ff1 - ff) / ff1
ff = ff1

LOOP UNTIL dif <= .000001

'7. CALCULUS OF THE CONSTANT FOR THE HYDROGEN DISSOCIATION REACTION
*****

gf = 0

```



```

DO
IF k7 = 0 THEN EXIT DO

p = (1 + a + a * e) * y1 + (1 + b + c + b * e + 2 * b * gf + c * gf) * y2
p = p + (1 + d) * y3 + (1 + e) * y4

fc = 4 * gf ^ 2 * (2 * b + c) * y2 - k7 * (1 - gf) * p
fp = 8 * gf * (2 * b + c) * y2 + k7 * p - k7 * (1 - gf) * (2 * b + c) * y2

gfn = gf - fc / fp
dif = ABS(gfn - gf) / gfn
gf = gfn

LOOP UNTIL dif <= .000001

'.....

IF af <> 0 THEN
  IF ABS(a - af) / af >= .000001 THEN
    a = af: GOTO 101
  END IF
END IF

IF bf <> 0 THEN
  IF ABS(b - bf) / bf >= .000001 THEN
    b = bf: GOTO 101
  END IF
END IF

IF cf <> 0 THEN
  IF ABS(c - cf) / cf >= .000001 THEN
    c = cf: GOTO 101
  END IF
END IF

IF df <> 0 THEN
  IF ABS(d - df) / df >= .000001 THEN
    d = df: GOTO 101
  END IF
END IF

IF ef <> 0 THEN
  IF ABS(e - ef) / ef >= .000001 THEN
    e = ef: GOTO 101
  END IF
END IF

IF ff <> 0 THEN
  IF ABS(f - ff) / ff >= .000001 THEN
    f = ff: GOTO 101
  END IF
END IF

IF gf <> 0 THEN
  IF ABS(g - gf) / gf >= .000001 THEN
    g = gf: GOTO 101
  END IF
END IF

```

```

-----
'CALCULUS OF VOLUMES OF FLUE GASES COMPONENTS AFTER DISSOCIATION
-----

```

```

'Mollecular nitrogen volume (vnid)
'.....
      vnid = (1 - d - f) * y3

'Mollecular oxygen volume (voxd)
'.....
      voxd = (1 - e) * (a * y1 + b * y2 + y4) - f * y3

'Carbon dioxyde volume (vcdid)
'.....
      vcdid = (1 - 2 * a) * y1

'Water vapour volume (vwd)
'.....
      vwd = (1 - 2 * b - 2 * c) * y2

'Nitrogen oxyde volume (vnod)
'.....
      vnod = 2 * f * y3

'Carbon oxyde volume (vcod)
'.....
      vcod = 2 * a * y1

'Mollecular hydrogen volume (vh2d)
'.....
      vh2d = (1 - g) * (2 * b + c) * y2

'Hydroxyl volume (vohd)
'.....
      vohd = 2 * c * y2

'Atomic hydrogen volume(vhd)
'.....
      vhd = 2 * g * (2 * b + c) * y2

'Atomic nitrogen volume(vnd)
'.....
      vnd = 2 * d * y3

'Atomic oxygen volume(vod)
'.....
      vod = 2 * e * (a * y1 + b * y2 + y4)

'Flue gases volume after dissociation
'.....
      vfgd = vnid + voxd + vcdid + vwd + vnod + vcod + vh2d + vohd + vhd + vnd + vod

```

```

-----
'MOLE FRACTIONS AFTER DISSOCIATION
-----

```

```

'Mollecular nitrogen mole fraction (znid)
'.....
      znid = vnid / vfgd

'Mollecular oxygen mole fraction (zoxd)
'.....
      zoxd = voxd / vfgd

'Carbon dioxyde mole fraction (zcdid)
'.....

```

```

      zcdid = vcdid / vfgd
'Water mole fraction (zwd)
'.....
      zwd = vwd / vfgd
'Nitrogen oxyde mole fraction (znod)
'.....
      znod = vnod / vfgd
'Carbon oxyde mole fraction (zcod)
'.....
      zcod = vcod / vfgd
'Mollecular hydrogen mole fraction (zh2d)
'.....
      zh2d = vh2d / vfgd
'OH mole fraction (zohd)
'.....
      zohd = vohd / vfgd
'Atomic hydrogen mole fraction (zhd)
'.....
      zhd = vhd / vfgd
'Atomic nitrogen mole fraction(znd)
'.....
      znd = vnd / vfgd
'Atomic oxygen mole fraction (zod)
'.....
      zod = vod / vfgd

RETURN

printing:

PRINT
PRINT "HIT ANY KEY TO PRINT VOLUMES AND MOLE FRACTIONS OF FLUE GASES COMPONENTS"

DO
h$ = INKEY$
LOOP UNTIL h$ <> ""

IF xoxd = .21 AND lambda = 1.07 THEN
  a$ = "B A S E   C A S E"
ELSEIF xoxd = .21 AND lambda <> 1.07 THEN
  a$ = "A I R"
ELSE
  a$ = "O X Y G E N"
END IF

PRINT "#####"
PRINT "          "; a$
PRINT "-----"
PRINT "oxygen fraction in dry air (xoxd)      = "; xoxd
PRINT "Lambda                                = "; lambda
PRINT "#####"
PRINT "Flue gases temperature after dissociation = "; tt; TAB(56); " Degrees Kelvin"
PRINT
PRINT "Volumes of flue gases components at temperature"; tt; "[K]"
PRINT "=====
PRINT "Carbon dioxyde volume (vCO2):      "; "vCO2 = "; vcdid; TAB(57); " m3 / m3 fuel"
PRINT "Water volume (vH2O):                "; "vH2O = "; vwd; TAB(57); " m3 / m3 fuel"
PRINT "Mollecular hydrogen volume (vH2):    "; "vH2 = "; vh2d; TAB(57); " m3 / m3 fuel"
PRINT "Carbon oxyde volume (vCO):           "; "vCO = "; vcod; TAB(57); " m3 / m3 fuel"
PRINT "Mollecular oxygen volume (vO2):      "; "vO2 = "; voxd; TAB(57); " m3 / m3 fuel"
PRINT "OH volume (vOH):                    "; "vOH = "; vohd; TAB(57); " m3 / m3 fuel"
PRINT "Atomic oxygen volume (vO):          "; "vO = "; vod; TAB(57); " m3 / m3 fuel"
PRINT "Atomic hydrogen volume (vH):        "; "vH = "; vhd; TAB(57); " m3 / m3 fuel"
PRINT "Mollecular nitrogen volume (vN2):    "; "vN2 = "; vnid; TAB(57); " m3 / m3 fuel"
PRINT "Nitrogen oxyde volume (vNO):        "; "vNO = "; vnod; TAB(57); " m3 / m3 fuel"

```

```

PRINT "Mollecular nitrogen volume (vN): "; "vN = "; vnd; TAB(57); " m3 / m3 fuel"
PRINT "....."
PRINT "Flue gases volume (vfgd): "; "vfgd = "; vfgd; TAB(57); " m3 / m3 fuel"
PRINT
PRINT "Mole composition of flue gases at temperature"; tt; "[K]"
PRINT "=====
PRINT "Carbon dioxide mole fraction (CO2): "; "CO2 = "; zcdid;
PRINT "Water mole fraction (H2O): "; "H2O = "; zwd;
PRINT "Mollecular hydrogen mole fraction (H2): "; "H2 = "; zh2d;
PRINT "Carbon oxyde mole fraction (CO): "; "CO = "; zcod;
PRINT "Mollecular oxygen mole fraction (O2): "; "O2 = "; zoxd;
PRINT "Hydroxyl mole fraction (OH): "; "OH = "; zohd;
PRINT "Atomic oxygen mole fraction (O): "; "O = "; zod;
PRINT "Atomic hydrogen mole fraction (H): "; "H = "; zhd;
PRINT "Mollecular nitrogen mole fraction (N2): "; "N2 = "; znid;
PRINT "Nitrogen oxyde mole fraction (NO): "; "NO = "; znod;
PRINT "Atomic nitrogen mole fraction (N): "; "N = "; znd;
PRINT

PRINT
PRINT "PRINT THE ABOVE DATA ON THE PRINTER?"
PRINT
PRINT "Hit 'y' for YES and 'n' for NO"
PRINT

DO
pr$ = INKEY$
LOOP UNTIL pr$ = "y" OR pr$ = "n"

IF pr$ = "y" THEN
GOTO 1001
ELSEIF pr$ = "n" THEN
GOTO 2002
END IF

1001
LPRINT "#####"
LPRINT " "; a$
LPRINT "-----"
LPRINT "oxygen fraction in dry air (xoxd) = "; xoxd
LPRINT "Lambda = "; lambda
LPRINT "#####"
LPRINT "Flue gases temperature after dissociation = "; tt; TAB(56); " Degrees Kelvin"
LPRINT
LPRINT "Volumes of flue gases components at temperature"; tt; "[K]"
LPRINT "=====
LPRINT "Carbon dioxide volume (vCO2): "; "vCO2 = "; vcdid; TAB(57); " m3 / m3 fuel"
LPRINT "Water volume (vH2O): "; "vH2O = "; vwd; TAB(57); " m3 / m3 fuel"
LPRINT "Mollecular hydrogen volume (vH2): "; "vH2 = "; vh2d; TAB(57); " m3 / m3 fuel"
LPRINT "Carbon oxyde volume (vCO): "; "vCO = "; vcod; TAB(57); " m3 / m3 fuel"
LPRINT "Mollecular oxygen volume (vO2): "; "vO2 = "; voxd; TAB(57); " m3 / m3 fuel"
LPRINT "OH volume (vOH): "; "vOH = "; vohd; TAB(57); " m3 / m3 fuel"
LPRINT "Atomic oxygen volume (vO): "; "vO = "; vod; TAB(57); " m3 / m3 fuel"
LPRINT "Atomic hydrogen volume (vH): "; "vH = "; vhd; TAB(57); " m3 / m3 fuel"
LPRINT "Mollecular nitrogen volume (vN2): "; "vN2 = "; vnid; TAB(57); " m3 / m3 fuel"
LPRINT "Nitrogen oxyde volume (vNO): "; "vNO = "; vnod; TAB(57); " m3 / m3 fuel"
LPRINT "Mollecular nitrogen volume (vN): "; "vN = "; vnd; TAB(57); " m3 / m3 fuel"
LPRINT "....."
LPRINT "Flue gases volume (vfgd): "; "vfgd = "; vfgd; TAB(57); " m3 / m3 fuel"
LPRINT
LPRINT "Mole composition of flue gases at temperature"; tt; "[K]"
LPRINT "=====
LPRINT
LPRINT "Carbon dioxide mole fraction (CO2): "; "CO2 = "; zcdid;
LPRINT "Water mole fraction (H2O): "; "H2O = "; zwd;
LPRINT "Mollecular hydrogen mole fraction (H2): "; "H2 = "; zh2d;
LPRINT "Carbon oxyde mole fraction (CO): "; "CO = "; zcod;
LPRINT "Mollecular oxygen mole fraction (O2): "; "O2 = "; zoxd;
LPRINT "Hydroxyl mole fraction (OH): "; "OH = "; zohd;
LPRINT "Atomic oxygen mole fraction (O): "; "O = "; zod;

```

```
LPRINT "Atomic hydrogen mole fraction (H):      "; "H  = "; zhd;  
LPRINT "Mollecular nitrogen mole fraction (N2): "; "N2 = "; znid;  
LPRINT "Nitrogen oxyde mole fraction (NO):      "; "NO = "; znod;  
LPRINT "Atomic nitrogen mole fraction (N):      "; "N  = "; znd;  
LPRINT
```

```
2002 RETURN
```


INDEX

A

Aerul minim necesar	68, 81, 114
Aerul uscat minim necesar	68, 81, 114
Amestecuri bogate	89
Amestecuri sărace	89
Amoniac	197, 202
Analizoare de gaze	172
cu infraroșii	173
de oxigen cu zirconiu	173
tip spectroscopic	173
Antracitul	48
Ardere	
în regim pulsatoriu	196
în trepte	195
reală	
completă	150, 152
incompletă	150, 156
teoretică	144, 150, 152
Ardere stoichiometrică .. <i>Vezi</i> Ardere teoretică	
Arzătoare Low NOx	196

B

Burners-out-of-service	196
------------------------------	-----

C

Caracteristica combustibilului	167
Carbonul redus	150
Catalizatori	197
Căldura	13
de reacție	37–40
latentă de vaporizare	43
specifică	13
la presiune constantă	17, 137
la volum constant	17
masică	16

molară	16
reală	17
volumică	16, 119
Cărbune brun	47
Cinetica chimică	92
Coefficient de exces de aer ..	69, 157, 162, 195
Comburent	58
Combustibili	42
bomba calorimetrică	43
cărbuni	47–52
balast	47, 50
clasificare	47
compoziție	48–51
criteriul de aprindere	51
criteriul de intensitate a arderii	52
masa combustibilă	48
masa minerală necombustibilă	48
materile volatile	50, 207
umiditatea	49
compoziție	46–47
gazoși	53
lichizi	52
benzine	52
compoziție	52
kerosen	52
motorina	52
păcura	52, 144
putere calorică	42
inferioară	43, 118
superioară	43
Constanta caracteristică a gazului	16
Constanta de echilibru	97, 111
Constanta de reacție	127, 131
Constanta universală a gazelor perfecte	16

D

Denitrificare	193
Desulfurare	201
combustibil	201

gaze de ardere.....202
 Diagrama Ostwald163, 169
 Disociere106, 120

E

Echilibru chimic.....96
 Echilibru termodinamic11
 Ecuația termică de stare a gazului perfect...15
 Efectul de seră.....180
 Energia11
 Energia internă.....12
 Energie de activare.....92
 Energie liberă *Vezi* potențial Helmholtz
 Entalpie12–13
 de formare33–37, 137
 de reacție *Vezi* Căldura de reacție
 liberă.....24, 25, *Vezi* potențial Gibbs
 molară parțială.....32
 Entropia14
 Exces de aer144, 145, 195
 Exponent adiabatic.....18

F

Fracție masică19
 Fracție molară19
 Fracție volumică.....19, 119
 Funcție de stare12, 22
 Funinginea.....206

G

Gazificarea cărbunelui202
 Gazul perfect15–21
 amestecuri18–21
 călduri specifice16–18
 Generare de entropie.....15
 Grad de disociere108, 124

H

Hipoazotidă190
 Huila48

Î

Încălzirea globală180

K

Kilomol10

L

Legea acțiunii maselor.....95–99, 124
 Legea lui Arrhenius96

M

Marimi molare parțiale32
 Masă molară10
 Mecanismul Fenimore188
 Mecanismul Zeldovich187
 Metoda Newton-Raphson135, 140

O

Oxi-combustie.....88, 111, 139, 193
 Oxidant.....58
 Oxigenul minim necesar67, 80, 114
 Ozonul190

P

Parametri de stare10
 extensivi10
 intensivi10
 Ploaia acidă184, 191
 Potențial chimic23–30
 Potențial Gibbs.....22, 24, 30
 Potențial Helmholtz22
 Potențial izobar-izoterm.. *Vezi* potențial Gibbs
 Potențial izocor-izoterm..... *Vezi* potențial
 Helmholtz
 Potențiale termodinamice21–30, 25
 Presiune parțială.....20
 Principiul I.....13, 23, 34
 Principiul II14, 23
 Procedul NOxOUT199
 Procedul RAPRENOx.....199
 Procedul Thermal DeNOx198
 Procedul Wellman-Lord.....202
 Procent de exces de aer.....86
 Proces ireversibil.....14, 15, 22, 23
 Proces reversibil.....14, 15, 22, 23
 Protoxid de azot190

Putere calorică.....42–45

R

Raport aer-combustibil85

Raport combustibil-aer85

Raport de echivalență.....86

Reburning.....196

Recircularea gazelor de ardere.....196, 207

Reducere catalitică.....200

Reducere selectivă catalitică.....197

Reducere selectivă necatalitică.....198

Relația lui Mayer.....17

Relațiile lui Maxwell.....27

S

Sistem termodinamic10

 deschis10

 închis10

Smog.....191

 fotochimic191

Stare termodinamică10

Starea standard.....34, 37

Sulfur.....200

T

Temperatura11

 adiabatică de ardere.. 106–8, 117, 119, 135

Timp de rezidență200, 206, 207

Tiraj144

Triunghiul arderii..... *Vezi* Diagrama Ostwald

Turbă47

V

Variabila de progres a reacției.... *Vezi* Grad de disociere

Viteza reacției chimice.....93–95

Volum masic *Vezi* Volum specific

Volum molar11, 16

Volum specific10

